



دانشگاه صنعتی شاهرود

دانشکده عمران و معماری

رساله دکتری

توسعه روشهای نوین برای بازیافت تنش و برآورد خطا در تحلیل مسائل به روش ایزوژئومتریک

احمد گنجعلی

استاد راهنما:

دکتر بهروز حسنی

مهر 1392

بِسْمِ اللَّهِ الرَّحْمَنِ الرَّحِيمِ



دانشگاه صنعتی شاهرود

دانشکده عمران و معماری

گروه عمران

توسعه روشهای نوین برای بازیافت تنش و برآورد خطا در تحلیل مسائل به روش ایزوژئومتریک

دانشجو: احمد گنجعلی

استاد راهنما:

دکتر بهروز حسنی

رساله دکتری جهت اخذ درجه دکتری

مهر 1392



دانشگاه گیلان

مدیریت تحصیلات تکمیلی

فرم شماره ۱۲

باسمه تعالی

شماره: ۹۲/۱۳۸

تاریخ: ۹۲/۷/۲۱

ویرایش:

صورت جلسه دفاع از رساله دکتری (Ph.D)

بدینوسیله گواهی می شود آقای احمد گنجعلی دانشجوی دکتری رشته عمران به شماره دانشجویی ۸۸۱۸۲۶۵ ورودی مهر ماه سال ۱۳۸۸ در تاریخ ۹۲/۷/۲۱ از رساله خود با عنوان: روشهای نوین برای باز یافت تنش و برآورد خطا در تحلیل مسائل به روش ایزوژئومتریکی دفاع و با اخذ نمره به درجه : عالی..... نائل گردید.

<input checked="" type="checkbox"/> الف) درجه عالی: نمره ۱۹-۲۰	<input type="checkbox"/> ب) درجه بسیار خوب: نمره ۱۸/۹۹-۱۷
<input type="checkbox"/> ج) درجه خوب: نمره ۱۶/۹۹-۱۵	<input type="checkbox"/> د) غیر قابل قبول و نیاز به دفاع مجدد دارد
<input type="checkbox"/> نیاز به اصلاحات دارد	

ه) رساله

ردیف	هیئت داوران	نام و نام خانوادگی	مرتبه علمی	امضاء
۱	دکتر بهروز حسینی	استاد راهنما	دانشیار	
۲	دکتر رضا نادری	استاد مدعو داخلی	استادیار	
۳	دکتر علی کیهانی	استاد مدعو داخلی	استادیار	
۴	دکتر سهیل محمدی	استاد مدعو خارجی	استاد	
۵	دکتر امیر عباس عابدینی	سرپرست (نماینده) تحصیلات تکمیلی دانشکده	استادیار	

مدیر محترم تحصیلات تکمیلی دانشگاه:

ضمن تأیید مراتب فوق مقرر فرمائید اقدامات لازم بعمل آید.

رئیس دانشکده و رئیس هیأت داوران:

تاریخ و امضاء:

تقدیم بہ روح پدرم،

محمد رضا گنجعلی

و

تقدیم بہ همسر مگر بہ زندگی من معنایی دیگر بخشید.

تشکر و قدردانی؛

حمد و سپاس پروردگار جهانیان را که الطاف رحمتش همگان را فرا گرفته و انوار حکمتش هدایتگر و روشنی بخش راه و طریق انسانهاست. رحمت واسعه الهی فرصتی مغتنم داد تا به اقتضای توان و وسع خود از محضر اساتیدی گرانقدر بهره جویم و ره توشه‌ای از بار علمی آنها بگیرم. در این رهگذر به رسم ادب خود را ملزم می‌دانم که با تواضع و از صمیم قلب مراتب سپاس و تشکر خالصانه خود را نسبت به این عزیزان ابراز نمایم.

در این رابطه از استاد راهنمای گرامی جناب آقای دکتر بهروز حسنی کمال تشکر و قدردانی را دارم؛ چرا که از ایشان در این هفت سالی که افتخار آشنایشان را داشتم، علاوه بر یادگیری نکات علمی ارزنده، درس‌هایی از اخلاق نیز آموختم. صبر و تواضع ایشان در برخورد با دانشجویان بسیار کم نظیر و مثال زدنی است. تمام امیدم این است که بعد از اتمام این رساله نیز بتوانم این ارتباط را حفظ نمایم و همواره از رهنمودهای ایشان در زندگی استفاده نمایم.

همچنین مراتب سپاس و قدردانی خود را نسبت به اساتید بزرگوار، آقایان دکتر نادری، دکتر توکلی، دکتر کیهانی، دکتر کلات جاری، دکتر علایی، دکتر احمدی و کلیه اساتید محترم دانشکده مهندسی عمران دانشگاه شاهرود که از محضرشان کسب فیض نموده‌ام، ابراز می‌نمایم. و لازم می‌دانم که از دوستان عزیزم از جمله، دکتر ناصر ظریف مقدم، دکتر مسعود مهدی زاده، مهندس مازیار کوشا، مهندس ابوالفضل حجت پناه، مهندس ابوذر میرزاخانی نیز تشکر نمایم.

اما پدرم، امیدوارم که روحتان همواره در رحمت ایزدی و در پرتو مهر اباعبدالله الحسین (ع) شاد باشد. تمام تلاشم را می‌کنم که در این دنیا ذخیره اخرویتان باشم. و از مادر مهربانم، که تمام زندگیم مدیون دعای خیر اوست؛ خاضعانه تشکر نموده، سلامتی، تندرستی و طول عمر ایشان را از خداوند مسئلت دارم.

در پایان از همسر، که با صبر و راهنماییهای مدبرانه خود نقش مهمی در به پایان رساندن این رساله داشتند کمال قدردانی و تشکر را دارم و امیدوارم که روزی بتوانم قدردان زحماتشان باشم.

دانشجو تأیید می نماید که مطالب مندرج در این پایان نامه (رساله) نتیجه تحقیقات خودش می باشد و در صورت استفاده از نتایج دیگران مرجع آن را ذکر نموده است.

کلیه حقوق مادی مترتب از نتایج مطالعات ، آزمایشات و نوآوری ناشی از تحقیق موضوع این پایان نامه (رساله) متعلق به دانشگاه شاهرود می باشد .

مهر ماه سال یک هزار و سیصد و نود دو

چکیده:

استفاده از فناوری طراحی به کمک رایانه در تحلیل مسائل با استفاده از روش نوین ایزوژئومتریکی دارای مزیت های فراوانی است که از جمله ی آنها حذف خطای مدلسازی هندسه می باشد؛ اما در روشهای عددی وجود خطا در تقریب تابع مجهول امری اجتناب ناپذیر است و همواره باعث نگرانی محققین در قابلیت اطمینان نتایج بوده است. در این رساله به توسعه روشهایی پرداخته می شود که با استفاده از آن بتوان میزان خطای حاصل از تحلیل ایزوژئومتریکی را برآورد کرد. این مفاهیم در دو بخش اصلی تنظیم شده است.

در بخش اول به معرفی روش برآورد خطا مبتنی بر نقاط فوق همگرا در تحلیل ایزوژئومتریکی مسائل تنش- کرنش مسطح، متقارن محوری و مسائل سه بعدی پرداخته شده است؛ و نشان داده خواهد شد که چرا نقاط انتگرال گیری گوسی در تحلیل ایزوژئومتریکی دارای خاصیت فوق همگرایی هستند. در این روش، با استفاده از نقاط فوق همگرا، برای تابع مقادیر هر یک از مؤلفه های میدان تنش در هر وصله، یک سطح فرضی ساخته می شود که از تنش ایزوژئومتریکی دقیقتر است. به منظور تعریف این سطح از همان توابع شکل نربزی استفاده می کنیم که در روش ایزوژئومتریکی برای تقریب زدن تابع جابجایی به کار گرفته می شوند. نتایج نشان دهنده کارایی مناسب تخمین کننده خطای پیشنهادی در برآورد خطای موجود در تحلیل مسائل تنش-کرنش مسطح، متقارن محوری و مسائل سه بعدی به روش ایزوژئومتریکی می باشد.

در بخش دوم به معرفی یک روش ابداعی دیگر جهت بهبود تنش حاصل از تحلیل ایزوژئومتریکی و برآورد خطای آن با استفاده از قید معادلات تعادل پرداخته شده است. در این روش با استفاده از ارضای معادلات تعادل در هر وصله از فضای محاسباتی تحلیل ایزوژئومتریکی یک سطح تنش بهبود یافته بدست می آید. این سطح تنش با استفاده از توابع شکل نربز هم مرتبه با توابع برآورد کننده تابع جابجایی ساخته می شود. ویژگی این برآورد کنند خطا عدم نیاز به نقاط انتگرال گیری گوسی به عنوان نقاط فوق همگرای تنش است. جهت بررسی کارایی این برآورد کننده خطا به مدلسازی و تحلیل شش مسئله الاستیسیته دارای حل تحلیلی و مقایسه نتایج بدست آمده از این روش با روش مبتنی بر نقاط فوق همگرا و نتایج دقیق پرداخته شده است. نتایج نشان دهنده کارایی بهتر این روش نسبت به روش بازیافت تنش بر پایه استفاده از خاصیت نقاط فوق همگرا است و بر این اساس می توان از این روش نیز به عنوان یک روش ساده و موثر دیگر جهت بازیافت تنش و برآورد خطا در روش ایزوژئومتریکی نام برد.

کلمات کلیدی: تحلیل ایزوژئومتریکی، برآورد خطا، بازیافت تنش، نقاط فوق همگرا، معادلات تعادل

لیست مقالات حاصل از تحقیقات این رساله

مقالات ژورنالی (ISI):

- Hassani, B; Ganjali, A; Tavakkoli, M; (2012) “**An isogeometrical approach to error estimation and stress recovery**”, *European Journal of Mechanics A/Solids*, 31, 101-109.

مقالات چاپ شده در نشریات علمی پژوهشی (ISC):

- بهروز حسنی؛ احمد گنجعلی؛ مهدی توکلی؛ (1390) "برآورد خطا و بهبود میدان تنش بدست آمده از تحلیل مسائل به روش ایزوژئومتریکی" مجله (ISC) و علمی-پژوهشی مهندسی عمران دانشگاه فردوسی مشهد، دوره 22، شماره 2، صفحه 17-32.
- بهروز حسنی؛ احمد گنجعلی؛ ابوالفضل حجت پناه؛ (1390) "تحلیل و بهینه سازی شکل سازه-های متقارن محوری با استفاده از تحلیل ایزوژئومتریکی" مجله (ISC) و علمی-پژوهشی مکانیک سازه‌ها و شاره‌ها دانشگاه صنعتی شاهرود، دوره 1، شماره 1، صفحه 1-13.
- بهروز حسنی؛ احمد گنجعلی؛ (1391) "استفاده از نیروهای وارد بر وصله‌های تحلیل ایزوژئومتریکی جهت محاسبه تنش بهبود یافته و برآورد توزیع خطا" مجله (ISC) و علمی-پژوهشی مکانیک سازه‌ها و شاره‌ها دانشگاه صنعتی شاهرود، دوره 2، شماره 2، صفحه 13-29.
- بهروز حسنی؛ احمد گنجعلی؛ "بررسی تاثیر نقاط فوق همگرای تنش جهت بهبود حل و برآورد خطا در تحلیل ایزوژئومتریکی مسائل متقارن محوری" مجله (ISC) و علمی-پژوهشی مهندسی مکانیک، دانشگاه فردوسی مشهد.

مقالات چاپ شده در کنفرانس‌ها:

- Hassani, B; Ganjali, A; Tavakkoli, M; (2010) “**Error Estimation and Stress Recovery in the Isogeometrical Analysis Method**”, *The Fourth International Conference on Structural Engineering, Mechanics and Computation (SEMC)*, Cape Town South Africa.

- بهروز حسنی؛ احمد گنجعلی؛ عبدالغفور خادم الرسول؛ (1390) "معرفی روشی هندسی جهت برآورد خطای موجود در تحلیل مسائل به روش ایزوژئومتریکی" ششمین کنفرانس ملی مهندسی عمران، سمنان، دانشگاه سمنان، ایران.
- بهروز حسنی؛ احمد گنجعلی؛ عبدالغفور خادم الرسول؛ (1390) "برآورد خطای موجود در تحلیل ایزوژئومتریکی صفحه ترکدار تحت کشش" نوزدهمین همایش سالانه مهندسی مکانیک ایران، بیرجند، دانشگاه بیرجند، ایران.

- بهروز حسنی؛ احمد گنجعلی؛ ابوالفضل حجت پناه منتظری؛ (1390) " بررسی عملکرد روش ایزوژئومتریکی در بهینه سازی شکل سازه های متقارن محوری " کنفرانس هوافضای ایران، تهران، دانشگاه شهید ستاری.
- بهروز حسنی؛ احمد گنجعلی؛ (1391) " نقاط فوق همگرای تنش در تحلیل ایزوژئومتریکی " نهمین کنفرانس بین المللی مهندسی عمران، دانشگاه صنعتی اصفهان، ایران.
- بهروز حسنی؛ احمد گنجعلی؛ ابوالفضل حجت پناه منتظری؛ (1391) " بهینه سازی شکل سازه های متقارن محوری با استفاده از تحلیل ایزوژئومتریکی " نهمین کنفرانس بین المللی مهندسی عمران، دانشگاه صنعتی اصفهان، ایران.
- بهروز حسنی؛ احمد گنجعلی؛ (1391) " استفاده از معادلات تعادل جهت بازیافت تنش و برآورد خطا در تحلیل مسائل به روش ایزوژئومتریکی " اولین کنفرانس بین المللی مهندسی مکانیک و فناوریهای پیشرفته، هتل بین المللی عباسی، اصفهان، ایران.

فهرست مطالب

فصل اول

مقدمه و کلیات

- 1-1- مقدمه 2
- 2-1- روش اجزای محدود 3
- 3-1- منابع خطا در روش اجزای محدود 4
- 4-1- پیشینه علمی برآورد خطا و آنالیز تطبیقی در اجزای محدود 5
- 5-1- هدف و تشریح مسأله در این رساله 7

فصل دوم

برآورد کننده‌های خطا در روش اجزای محدود

- 1-2- مقدمه 11
- 2-2- روشهای برآورد خطا مبتنی بر محاسبه مانده‌ها 12
- 3-2- روشهای برآورد خطا مبتنی بر بازیافت تنش (گرادیان) 14
- 2-3-1- روش میانگین‌گیری 16
- 2-3-2- روش تصویر L_2 16
- 3-3-2- روش بازیافت تنش بر مبنای نقاط فوق هم‌گرا SPR 17
- 4-3-2- روش بازیافت تنش بر مبنای تعادل در زیر دامنه‌ها، REP 19
- 5-3-2- شکل بهبود یافته روش بازیافت تنش بر مبنای تعادل در زیر دامنه‌ها 20
- 6-3-2- روش بازیافت تنش بر پایه درونیابی مینیمم مربعات متحرک (MLSI) 21
- 7-3-2- بهبود روش SPR با اضافه کردن معادلات و شرایط مرزی (SPRE) 24
- 8-3-2- روش بازیافت تنش LP 24
- 4-2- معیارهای بیان خطا 27
- 1-4-2- مفهوم نرم 28
- 2-4-2- معیار خطای انرژی 28
- 3-4-2- درصد خطای نسبی η 29
- 4-4-2- معیار خطای L_2 30
- 5-4-2- جذر مجموع مربعات خطا 31
- 6-4-2- شاخص تأثیر θ 32

2-4-7- تعریف شاخص X_i 32

فصل سوم

روش بازیافت تنش و برآورد خطا در تحلیل ایزوژئومتریکی مسائل تنش- کرنش مسطح

1-3- مقدمه 36

2-3- روش ایزوژئومتریکی 37

3-2-1- بی- اسپلین و نریز 38

3-2-2- فرمول بندی روش ایزوژئومتریکی در مسائل تنش-کرنش مسطح 41

3-3- تشریح روش برآورد خطای مسائل تنش-کرنش مسطح، بر مبنای استفاده از نقاط فوق همگرای گوسی ... 49

3-3-1- دلیل دقت بیشتر تنش، در نقاط گوسی تحلیل ایزوژئومتریکی 52

3-4- تیر دو سر مفصل تحت بار گسترده 57

3-5- تیر طره دایره‌ای شکل 60

3-6- صفحه دایره‌ای تحت بار متمرکز فشاری 66

3-7- بررسی تعداد بهینه نقاط انتگرالگیری گوس به عنوان نقاط فوق همگرای تنش 69

فصل چهارم

بازیافت تنش و برآورد خطا در تحلیل ایزوژئومتریکی مسائل متقارن محوری

1-4- مقدمه 72

2-4- سازه‌های دارای تقارن محوری 72

3-4- فرمول بندی تحلیل ایزوژئومتریکی در مسائل متقارن محوری 73

4-4- تشریح روش برآورد خطا در مسائل متقارن محوری 76

5-4- لوله بلند جدار ضخیم تحت فشار داخلی و خارجی 78

6-4- صفحه دایره‌ای شکل تحت بار متمرکز 83

فصل پنجم

بازیافت تنش و برآورد خطا در تحلیل ایزوژئومتریکی مسائل سه بعدی

- 1-5- مقدمه 89
- 2-5- تولید هندسه سه بعدی با استفاده از تکنیک نریز 89
- 3-5- فرمولبندی تحلیل ایزوژئومتریکی در مسائل سه بعدی 91
- 4-5- نحوه محاسبه تنش بهبود یافته در مسائل سه بعدی 96
- 5-5- تیر طره مکعب مستطیلی 97
- 6-5- تیر طره استوانه‌ای 103

فصل ششم

بهبود تنش و برآورد خطا با استفاده از تعادل در هر وصله از تحلیل ایزوژئومتریکی

- 1-6- مقدمه 110
- 2-6- نحوه تشکیل سطح تنش بهبود یافته بر مبنای استفاده از تعادل در هر وصله از تحلیل ایزوژئومتریکی 111
- 3-6- تیر دو سر مفصل تحت بار گسترده 117
- 4-6- تیر طره تیموشنکو 121
- 5-6- صفحه ترکدار تحت کشش 125
- 6-6- تیر طره دایره‌ای شکل 129
- 7-6- صفحه نامحدود سوراخدار 133
- 8-6- صفحه دایره‌ای تحت بار متمرکز فشاری 137

فصل هفتم

جمع بندی نتایج و پیشنهادات

- 1-7- مقدمه 144
- 2-7- نتیجه گیری 145

150..... 3-7- پیشنهادات

پیوست

معرفی الگوریتم و برنامه تحلیل و برآورد خطای روش ایزوژئومتریکی در مسائل تنش- کرنش مسطح، متقارن محوری
و مسائل سه‌بعدی 153

168 مراجع

فهرست اشکال

- شکل 1-2 عدم پیوستگی شیب در مرز المان..... 13
- شکل 2-2 محاسبه سهم گره‌ها در روش SPR..... 18
- شکل 3-2 ناحیه محلی مشخص شده بمنظور محاسبه مشتق..... 22
- شکل 1-3 شبکه نقاط کنترلی و سطح نریز مربوط به آن..... 41
- شکل 2-3 نقاط کنترلی مورد تاثیر هر المان از دامنه مدل‌سازی شده با چهار وصله و توابع شکل نریز درجه سه.. 43
- شکل 3-3 المان‌های ساخته شده به وسیله دهانه‌های گره‌ای نریز [25]..... 47
- شکل 4-3 نقاط فوق همگرا در روش ایزوژئومتریک..... 56
- شکل 5-3 تیر دوسر مفصل تحت بار گسترده..... 57
- شکل 6-3 پارامترهای تعریف شده در حل تحلیلی تیر دوسر مفصل تحت بار گسترده [54]..... 57
- شکل 7-3 نقاط کنترلی مورد استفاده در مدل‌سازی تیر دوسر مفصل تحت بار گسترده..... 58
- شکل 8-3 سطح تنش σ_x تیر دو سر مفصل تحت بار گسترده..... 59
- شکل 9-3 سطح تنش τ_{xy} تیر دو سر مفصل تحت بار گسترده..... 60
- شکل 10-3 نحوه توزیع نرم خطای انرژی تیر دو سر مفصل تحت بار گسترده..... 61
- شکل 11-3 تیر طره دایره‌ای شکل..... 62
- شکل 12-3 نحوه آرایش و شماره گذاری نقاط کنترلی تیر طره دایره‌ای شکل..... 63
- شکل 13-3 کانتور تنش s_y تیر طره دایره‌ای شکل..... 64
- شکل 14-3 نحوه توزیع نرم خطای انرژی دقیق و تقریبی تیر طره دایره‌ای شکل..... 65
- شکل 15-3 صفحه دایره‌ای تحت بار متمرکز فشاری..... 66
- شکل 16-3 آرایش نقاط کنترلی و المان‌بندی در صفحه دایره‌ای تحت فشار..... 67
- شکل 17-3 نحوه توزیع نرم خطای انرژی صفحه دایره‌ای..... 68
- شکل 18-3 نقاط گوسی استفاده شده به عنوان نقاط فوق همگرای تنش..... 69
- شکل 1-4 تحلیل دو بعدی در حالت تقارن محوری..... 73
- شکل 2-4 لوله جدار ضخیم تحت فشار داخلی و خارجی..... 78
- شکل 3-4 نقاط کنترلی و شرایط مرزی لوله جدار ضخیم تحت فشار داخلی و خارجی..... 79
- شکل 4-4 کانتور تنش مولفه s_r لوله جدار ضخیم..... 80
- شکل 5-4 توزیع نرم خطای انرژی لوله جدار ضخیم..... 81

- شکل 4-6 نمودار تغییرات مولفه‌های تنش لوله جدار ضخیم در مسیر $Z=0.5$ 82
- شکل 4-7 صفحه دایره‌ای شکل تحت بار متمرکز در مرکز 83
- شکل 4-8 نقاط کنترلی و شرایط مرزی صفحه دایره‌ای تحت بار متمرکز در مرکز..... 84
- شکل 4-9 توزیع نرم خطای انرژی صفحه دایره‌ای 85
- شکل 4-10 نمودار تغییرات مولفه‌های تنش صفحه دایره‌ای در مسیر $Z=0.25$ 86
- شکل 4-11 نمودار تغییرات مولفه‌های تنش صفحه دایره‌ای در مسیر $R=0.5$ 87
- شکل 5-1 شبکه نقاط کنترلی و حجم نربز مربوط به آن 90
- شکل 5-2 شرایط مرزی یک مسئله الاستیسیته 94
- شکل 5-3 تیر طره با مقطع مستطیلی [54] 97
- شکل 5-4 توزیع تنش s_x تیر طره مکعب مستطیلی 99
- شکل 5-5 نحوه توزیع نرم خطای L_2 تنش s_x 100
- شکل 5-6 نحوه توزیع نرم خطای L_2 تنش t_{xy} 101
- شکل 5-7 نحوه توزیع نرم خطای L_2 تنش t_{zx} 102
- شکل 5-8 تیر طره با مقطع دایره [54] 103
- شکل 5-9 توزیع تنش s_x تیر طره استوانه‌ای 105
- شکل 5-10 نحوه توزیع نرم خطای L_2 تنش s_x تیر طره استوانه‌ای 106
- شکل 5-11 نحوه توزیع نرم خطای L_2 تنش t_{xy} تیر طره استوانه‌ای 107
- شکل 5-12 نحوه توزیع نرم خطای L_2 تنش t_{zx} 108
- شکل 6-1 مدلسازی یک مسئله دوبعدی در روش ایزوژئومتریکی 112
- شکل 6-2 نقاط کنترلی و شرایط مرزی مدلسازی شده در تحلیل ایزوژئومتریکی تیر دو سر مفصل تحت بار گسترده 118
- شکل 6-3 نحوه توزیع نرم خطای انرژی تیر دو سر مفصل تحت بار گسترده..... 119
- شکل 6-4 نمودار تغییرات مولفه تنش s_y تیر دو سر مفصل تحت بار گسترده در مسیر $y=1/96$ 120
- شکل 6-5 نمودار تغییرات مولفه تنش t_{xy} تیر دو سر مفصل تحت بار گسترده در مسیر $y=1/0$ 120
- شکل 6-6 تیر طره در شرایط تنش مستوی 121
- شکل 6-7 نقاط کنترلی و شرایط مرزی مدلسازی شده در تحلیل ایزوژئومتریکی تیر طره تیموشنکو 122
- شکل 6-8 نحوه توزیع نرم خطای انرژی تیر طره تیموشنکو 123
- شکل 6-9 نمودار تغییرات تنش تیر طره تیموشنکو در مسیر $x=0/1$ 124

- شکل 6-10 نمودار تغییرات مولفه تنش S_y تیر طره تیموشنکو در مسیر $y=1/9$ 125
- شکل 6-11 صفحه مربعی ترکدار تحت تنش کششی 126
- شکل 6-12 نقاط کنترلی و شرایط مرزی مدلسازی شده در تحلیل ایزوژئومتریکی صفحه ترکدار 127
- شکل 6-13 نحوه توزیع نرم خطای انرژی صفحه ترکدار تحت کشش 128
- شکل 6-14 نحوه توزیع تنش‌های S_x, S_y صفحه ترکدار تحت کشش 129
- شکل 6-15 نقاط کنترلی و شرایط مرزی مدلسازی شده در تحلیل ایزوژئومتریکی تیر طره دایره‌ای 130
- شکل 6-16 نحوه توزیع نرم خطای انرژی تیر طره دایره‌ای 131
- شکل 6-17 نمودار تغییرات تنش تیر طره دایره‌ای در مسیر $x=0/04$ 132
- شکل 6-18 صفحه نامحدود سوراخدار 133
- شکل 6-19 دامنه مدلسازی شده صفحه نامحدود سوراخدار 133
- شکل 6-20 نقاط کنترلی و شرایط مرزی مدلسازی شده در تحلیل ایزوژئومتریکی صفحه نامحدود سوراخدار ... 134
- شکل 6-21 نحوه توزیع نرم خطای انرژی صفحه نامحدود سوراخدار 135
- شکل 6-22 نمودار تغییرات مولفه تنش S_x صفحه نامحدود سوراخدار در مسیر $x=1/0$ 136
- شکل 6-23 نمودار تغییرات مولفه تنش S_y صفحه نامحدود سوراخدار در مسیر $y=1/0$ 136
- شکل 6-24 شبکه نقاط کنترلی در مدلسازی صفحه دایره‌ای 137
- شکل 6-25 نحوه توزیع نرم خطای انرژی صفحه دایره‌ای تحت بار متمرکز فشاری 139
- شکل 6-26 نحوه توزیع تنش S_x صفحه دایره‌ای تحت بار متمرکز فشاری 140
- شکل 6-27 نحوه توزیع تنش S_y صفحه دایره‌ای تحت بار متمرکز فشاری 141
- شکل 6-28 نحوه توزیع تنش t_{xy} صفحه دایره‌ای تحت بار متمرکز فشاری 142

فهرست جداول

جدول 1-3 مقادیر شاخص تاثیر برآورد کننده خطا، برای نقاط گوسی مختلف 69

فصل اول

مقدمه و کلیات

1-1- مقدمه

همگام با رشد علوم و فناوری، مسائل مهندسی نیز روز به روز پیچیده تر می‌شوند. با پیچیده تر شدن مسائل و لزوم حل سریعتر و دقیق تر آنها، روشهای تحلیلی دیگر جوابگوی نیازهای روز افزون جوامع نیستند. با چنین نگرشی، محققان همواره سعی کرده‌اند در کنار توسعه مبانی علوم، روشهای عددی را نیز توسعه بخشند.

در این مسیر، روشهای متعددی توسط محققین ابداع گشته است. از مهمترین اینها می‌توان به روش تفاضلهای محدود، روش اجزای محدود، روش احجام محدود، روش المانهای مرزی و همچنین روش ایزوژئومتریک که از جمله جدیدترین روشها است، اشاره کرد. هر کدام از این روشها موارد کاربرد خاص خود را دارند و هنوز هم محققان در صدد رشد و توسعه این روشها و ابداع روشهای جدید هستند. روش اجزای محدود یکی از روشهایی است که کاربرد فراوانی در حل مسائل بسیاری از رشته‌های مهندسی و به خصوص مسائل مکانیک جامدات دارد. ریشه‌های توسعه این روش را باید در اوائل دهه 1940 میلادی جستجو کرد. در سال 1943 کورانت معادله پواسون پیچش را توسط آنچه امروز المانهای مثلثی خطی نامیده می‌شود، حل کرد، اما کارهای وی مدتها ناشناخته ماند. روش اجزای محدود به شکل امروزی آن، ریشه در کارهای ترنر و همکاران وی در سال 1957 دارد. در سال 1960، کلاف نام «اجزای محدود» را بر این روش نهاد؛ و کاربرد این روش برای حل معادلات دیفرانسیل پاره‌ای¹ در سال 1965 توسط زینکوویچ پیشنهاد شد [1].

تاکنون مقالات و کتابهای فراوانی در زمینه توسعه روشهای عددی نوشته شده‌اند و هنوز روشها و تکنیکهای جدیدی در این زمینه مطرح می‌شوند تا بتوانند نتایج با دقت مطلوبتری را ارائه دهند؛ اما از همان آغاز مدل سازی رخدادهای فیزیکی توسط کامپیوتر و شکل گیری مبانی روشهای عددی در تحلیل مسائل مهندسی وجود خطا در محاسبات منشأ اصلی نگرانی بوده است.

¹ Partial Differential Equations

حال مهمترین سوالی که در اینجا مطرح است این است که، با وجود در دسترس نبودن حل دقیق برای تمام مسائل، چگونه می توان خطا را اندازه گرفت، کنترل کرد و بطور موثر و قابل توجه مقدار آن را کاهش داد؟

در پاسخ به این سوالات روشهای برآورد خطا همگام با به وجود آمدن روشهای عددی توسعه یافته اند که در ادامه این پژوهش به آنها اشاره خواهد شد.

1-2- روش اجزای محدود

روش کلاسیک تحلیل یک محیط پیوسته بدین قرار است که یک تابع تنش یا تغییر شکل که معادلات دیفرانسیل تعادل، روابط تنش- کرنش، و شرایط سازگاری را در هر نقطه از دامنه شامل شرایط مرزی برآورده سازد، تعیین می شود. با توجه به قیدهای معمولاً پیچیده، تعداد حل های کلاسیک موجود، بسیار محدود می باشد. به علاوه اکثر نتایج بدست آمده از روش های کلاسیک به صورت سریهای نامتناهی می باشد که در محاسبات علمی فقط چند جمله اول آنها به کار گرفته می شود که نتیجه آن ایجاد یک تقریب در نتایج است. در صورت عدم تعیین یک تابع صریح، می توان معادله دیفرانسیل تعادل را به کمک روش تفاوت های محدود¹ حل نمود، لیکن این روش نیز ایراداتی دارد که عدم ارضاء شرایط مرزی و عدم دقت در نتایج بدست آمده از جمله آنها است [2].

روش تقریبی دیگری که امروزه به عنوان یک ابزار قوی برای حل عددی محدوده وسیعی از مسائل هندسی به کار می رود، روش اجزای محدود² است. در روش اجزای محدود، محیط پیوسته به اجزای هندسی ساده و کوچکتری که (جزء محدود) نامیده می شود، تقسیم می گردد. این عمل را جزء بندی کردن³ می گویند. سپس با انتخاب یک تابع شکل⁴ تغییر مکان، مشخصات مصالح و تنشهای داخلی بر حسب تغییر مکانهای مجهول گره های هر یک از این اجزاء تعریف می گردد. با توجه به ترتیب

¹ Finite difference

² Finite Element

³ Discretizing

⁴ Shape Function

قرارگیری اجزاء در کنار یکدیگر، معادلات آنها بر هم سوار شده و با منظور کردن نیروهای خارجی و شرایط تکیه گاهی در محل گرها، معادلات تعادل کل سیستم بدست می‌آید. این معادلات نیروهای گرهی را به تغییر مکانهای گرهی ربط می‌دهند. با حل این معادلات تغییر مکانهای گرهی و با استفاده از آنها تنشهای داخلی محاسبه می‌شوند [2].

1-3- منابع خطا در روش اجزای محدود

واضح است که روش اجزای محدود یک روش تقریبی است. منابع خطا در روش اجرای محدود را می‌توان به سه گروه عمده تقسیم کرد [3]:

1- **خطای ناشی از تقریب زدن دامنه حل مسأله**: این خطا از آنجا ناشی می‌شود که در حالت کلی نمی‌توان دامنه حل مسأله را با المانهای مورد نظر به طور کامل پوشانید. برای مثال، یک صفحه دایره‌ای شکل را هیچگاه نمی‌توان با المانهای مثلثی خطی به طور کامل مدل نمود. هر چند که با ریز تر نمودن شبکه المانها این خطا را می‌توان کاهش داد.

2- **خطای ناشی از گرد کردن اعداد**: این گروه از خطاها بستگی به سخت افزار و نرم افزار مورد استفاده برای محاسبات دارد. از آنجا که تعداد محدودی از ارقام یک عدد در رایانه ذخیره می‌شود، استفاده از این عدد در محاسبات باعث ایجاد خطا خواهد شد و به علت اینکه محاسبات معمولاً به صورت زنجیروار به نتایج مراحل قبل وابسته است، این موضوع باعث گسترش خطا در تمامی حل می‌گردد. بر خلاف سایر انواع خطاها، ریز تر نمودن شبکه المان بندی معمولاً این گروه از خطاها را تشدید می‌کند. برای کاهش این گروه از خطاها، باید به صورت سخت افزاری و یا نرم افزاری تعداد ارقامی از یک عدد را که در رایانه نگهداری می‌شود، افزایش داد که این کار با افزایش حافظه مورد نیاز و همچنین بالا رفتن زمان حل همراه است.

3- **خطای ناشی از گسسته سازی**: این گروه از خطاها، عمده ترین منبع خطا در روش اجزای

محدود بوده و ناشی از تقریب زدن میدان جابجایی به وسیله توابع شکل می‌باشد. این گروه از خطاها

نیز با ریزتر کردن شبکه المان بندی و بالا بردن درجه توابع شکل مورد استفاده، کاهش می‌یابد. این سه گروه خطا در حل عددی معادله دیفرانسیل و برای مثال در بدست آوردن مقدار جابجایی u هر گره از معادلات الاستیسیته وارد می‌شود.

1-4- پیشینه علمی برآورد خطا و آنالیز تطبیقی در اجزای محدود

از اولین مقاله‌هایی که در آن یک روش عمومی از تخمین خطا بیان شد، مقاله‌هایی است که توسط ریچاردسون¹ در سال 1910 نوشته شده است. اصولاً روش ریچاردسون در تخمین خطا از این حقیقت پیروی می‌کند که خطا در هر طرحی از تفاوت محدود معمولاً به اندازه مش‌های مورد استفاده (یا امروزه اندازه جزء محدود) بستگی دارد [4].

کار اصلی در تخمین خطا در سال 1978 و توسط بابوشکا² و رینبولت³ آغاز شد. روش آنها بر این اساس بود، که دقت باقیمانده را در یک گروه از المانها و یا یک المان تنها مورد بررسی قرار داده و به کمک آن می‌توانستند خطا را تخمین بزنند [4].

معمولاً کیفیت و درستی روشهای تخمین خطا به وسیله مقایسه بین معیار خاصی از خطای واقعی و خطای تقریبی بررسی می‌گردد. البته امکان محاسبه خطای دقیق برای یک سری مسائل خاص که حل دقیق آنها در دسترس است، وجود دارد. در این راستا، نسبت خطای تقریبی به خطای واقعی شاخص تأثیر⁴ نامیده می‌شود که این نسبت اولین بار توسط بابوشکا در سال 1981 ارائه شد [5].

در سال 1984 یک کنفرانس مهمی پیرامون اصلاح وفقی و تخمین خطاها در لیسبون برگزار شد. در این کنفرانس پیشرفتهای جدیدی در زمینه برآوردکننده‌ها ارائه شد که یکی از این پیشرفتهای روش المان باز یافت بود. روش فوق توسط دمکوویز⁵ ارائه شد و برای بسیاری از مسائل فیزیک و مکانیک

¹ L.F. Richardson

² I. Babuška

³ C. Rheinboldt

⁴ Effectivity Index

⁵ Demkowicz

قابل اجرا بود و سرانجام روند مشابهی توسط بنک¹ و وزر² ارائه گردید که منظور اصلی آنها ارائه روش آنالیز ریاضی بر مسائل بیضوی دو بعدی بود [4].

بابوشکا و همکارانش در 1986 برای اولین بار شبکه المان بهینه را شبکه‌ای با توزیع یکنواخت معیار خطای انرژی³ روی کل دامنه، برای مسائل یک بعدی تعریف کردند [6]. از این پس این تعریف در همه روشهای آنالیز تطبیقی مورد استفاده قرار گرفت.

در سال 1987 زینکوویچ و زو روش بازیافت تنشها را در برآورد خطا ابداع کردند. و در همان سال روش ساده‌ای برای تخمین خطای کلی و محلی در حل المانهای محدود و شکلی ساده از آنالیز تطبیقی به روش h را ابداع کردند [7].

در سال 1989 زینکوویچ و زو طی مقاله‌ای با تقریب خطا در مسائل خمش صفحه، روشی را برای اصلاح المان بندی مثلثی که طی آن، بعد المانها ریزتر می‌شد بر مبنای آنالیز تطبیقی ارائه کردند [8]. از این پس این دو محقق تحقیقات زیادی در آنالیز تطبیقی انجام دادند و در سال 1992 روش SPR⁴ را در برآورد خطای حل المانهای محدود و آنالیز تطبیقی، طی دو مقاله معروف ارائه کردند [9 و 10].

در 1993 دن و همکارانش روش مانده‌ها در برآورد خطا را با اضافه کردن قیود تعادل اصلاح کردند [11].

در سال 1993 بوگدا⁵ و اولیور یک روش کلی در بهبود خطا در حل مسائل بهینه سازی شکل با استفاده از آنالیز تطبیقی ارائه کردند [12].

در 1997 برومند و زینکوویچ روش قدرتمند دیگری در برآورد خطا ارائه کردند که نسبت به روشهای قبلی دارای هیچ محدودیتی نبود [13 و 14]. این روش قابل استفاده در اکثر مسائل به ویژه مسائل

¹ Bank

² Weiser

³ Energy error norm

⁴ Superconvergent Patch Recovery

⁵ Bugeda

پلاستیک است که این ویژگی یک مزیت مهم به شمار می‌آید.

اینها تنها گوشه‌ای از کارهایی بود که در زمینه برآورد خطا و حل تطبیقی مسائل انجام شده است. و نمی‌توان به تمام مقالاتی که در این زمینه تاکنون به چاپ رسیده است، اشاره کرد. امروزه روشهای برآورد خطا و بهبود نتایج بدست آمده از تحلیل عددی مسائل یکی از مهمترین شاخه‌های علم مکانیک محاسباتی به شمار می‌رود و هنوز نیز یکی از پر مخاطب ترین موضوعات مورد علاقه محققین است و مقالات بسیاری در زمینه توسعه روشهای آن به چاپ می‌رسد.

1-5- هدف و تشریح مسأله در این رساله

با توجه به اینکه طراحی مهندسی عمدتاً با استفاده از نتایج بدست آمده از تحلیل های عددی صورت می‌پذیرد، در صورتی که نتوان به نتایج تحلیل عددی با قابلیت اطمینان بالا دست یافت، طرح مهندسی با مشکل مواجه خواهد شد. از اینرو یافتن راه حلی مناسب جهت برآورد خطا و بهبود حل مسئله همگام با پیدایش و توسعه روش‌های عددی مورد توجه قرار داشته است و امروزه یکی از مهمترین شاخه های پژوهش در زمینه مکانیک محاسباتی به شمار می‌رود.

تحلیل ایزوژئومتری یک روش جدید در آنالیز مسائل مهندسی به شمار می‌رود و با توجه به مزایای بالقوه ای که نسبت به دیگر روشهای عددی از جمله اجزای محدود دارد، تصور می‌شود که در آینده‌ای نزدیک بتواند به صورت گسترده در علوم مختلف به کار رود. علیرغم دقت نسبتاً خوب روش تحلیل ایزوژئومتریک، نظیر هر روش دیگر عددی، وجود خطا در آن اجتناب ناپذیر است؛ و باتوجه به اینکه در حالت کلی پاسخ دقیق مسائل موجود نیست، یافتن راه حلی جهت برآورد خطای موجود در محاسبات از اهمیت ویژه‌ای برخوردار است. در این پژوهش بدنبال ابداع و توسعه روشهایی مناسب جهت بهبود حل ایزوژئومتری و برآورد خطای موجود در آن می‌باشیم. با توجه به اینکه روش تحلیل ایزوژئومتری یک روش نوین در آنالیز مسائل مهندسی است، هنوز دارای کمبودهای فراوانی در زمینه پژوهش بر روی تخمین خطای نتایج بدست آمده از آن می‌باشد که این امر اهمیت موضوع این رساله

را بیشتر روشن می‌سازد.

با توجه به روند بهبود روش های بازیافت تنش و برآورد خطا در دیگر روش های عددی در این پژوهش نیز انتظار می‌رود که بتوان به بهبود و ارائه روش های نوین در برآورد خطای تحلیل مسائل به روش ایزوژئومتریکی دست یافت. هدف از بهبود روش برآورد خطا در تحلیل ایزوژئومتریکی، بالا بردن شاخص تاثیر تخمین کننده خطا و انطباق بیشتر نحوه توزیع خطای بدست آمده از برآورد کننده خطای پیشنهادی با برآورد کننده خطای دقیق در حل مسائل مختلف می‌باشد. با استفاده از روش های پیشنهادی جهت بازیافت تنش و بهبود حل ایزوژئومتریکی در این پژوهش می‌توان به افزایش دقت نتایج در حل تمام مسائلی پرداخت که در آنها از روش ایزوژئومتریکی جهت تحلیل استفاده شده است. همچنین کاربرد اصلی روش برآورد کننده خطا در این پژوهش استفاده از آن در حل تطبیقی و بهبود محلی شبکه تحلیل ایزوژئومتریکی می‌باشد. روش برآورد کننده خطای پیشنهادی، مناطقی از دامنه حل ایزوژئومتریکی که دارای خطای زیادی می‌باشند را شناسایی می‌کند که به کمک آن می‌توان به بهبود محلی شبکه در آن مناطق و افزایش دقت حل ایزوژئومتریکی دست یافت.

پژوهش شکل گرفته در قالب این رساله دکتری از سه بخش کلی زیر تشکیل شده است.

در بخش اول، سعی شده است تا خواننده را با انواع روشهای برآورد خطا در اجزای محدود آشنا سازد. بدین منظور دو دسته روش برآورد خطا معرفی شده است. روش های برآورد خطا مبتنی بر محاسبه مانده ها و روش های برآورد خطا بر پایه بازیافت تنش، دو دسته روش برآورد خطا در اجزای محدود می‌باشند. با توجه به کارایی مطلوب روشهای بازیافت تنش نسبت به روشهای مبتنی بر محاسبه مانده ها در اجزای محدود، در ادامه این بخش به معرفی چندین روش برآورد خطا مبتنی بر بازیافت تنش پرداخته شده است. هدف از این بخش، آشنایی با مفاهیمی است که در برآورد خطای روش ایزوژئومتریکی مورد استفاده قرار گرفته است.

در بخش دوم، به طور خلاصه اصول به کار گرفته شده در تحلیل ایزوژئومتریکی بیان شده است و

فرمولبندی مسائل تنش-کرنش مسطح، متقارن محوری و مسائل سه بعدی در تحلیل ایزوژئومتریکی ارائه شده است. همچنین به تشریح روش برآورد خطا بر مبنای نقاط فوق همگرای تنش در مسائل تنش-کرنش مسطح، متقارن محوری و مسائل سه بعدی پرداخته شده است؛ و با حل چندین مثال مختلف کارایی این روش را در برآورد خطای مسائل دوبعدی و سه بعدی مورد بررسی قرار داده است. در بخش سوم، به معرفی روش برآورد خطا بر مبنای استفاده از تعادل در هر وصله از تحلیل ایزوژئومتریکی پرداخته شده است. کارایی این روش با حل شش مثال مورد بررسی قرار گرفته است و نتایج حاصل از آن با روش برآورد خطا مبتنی بر نقاط فوق همگرا، مقایسه شده است. در انتها نیز به معرفی برنامه نوشته شده به زبان فرترن جهت تحلیل و برآورد خطای روش ایزوژئومتریکی در مسائل تنش-کرنش مسطح، متقارن محوری و مسائل سه بعدی پرداخته شده است.

فصل دوم

برآورد کننده‌های خطا در روش

اجزای محدود

2-1- مقدمه

از نظر یک تقسیم بندی، برآورد کننده های خطا در دو دسته پسرونده¹ و پیشرونده² قرار می گیرند که از بین آنها موضوع برآورد پسرونده خطا به صورت یکی از جنبه های بسیار مهم در کاربرد روش اجزای محدود به شمار می رود. در این نوع برآورد، پس از هر بار حل مسأله با روش اجزای محدود، با استفاده از مقادیر محاسبه شده، خطا برآورد می شود. در صورتی که برآورد پیشرونده خطا، اطلاعاتی درباره همگرایی و پایداری حل های مختلف ارائه می دهد. همچنین اطلاعاتی اجمالی درباره رفتار خطا، مادامی که متغیرهای شبکه تغییر می کند، ارائه می دهد اما هیچ اطلاعات کمی درباره مقدار خطا در یک مسئله خاص ارائه نمی کند [15].

در تقسیم بندی مشابه روشهای تخمین خطا در دو گروه عمده زیر قرار می گیرند:

1- **استقرایی:** این گروه از برآورد کننده های خطا قبل از حل مسأله، بر اساس خواص حل دقیق آن مانند هموار بودن و غیره، اطلاعاتی در مورد نرخ حدی همگرایی (حالتی که ابعاد المانهای به کار رفته به سمت صفر میل می کند) فراهم می آورند. به لحاظ کاربرد محدود، این گروه از برآورد کننده های خطا بیشتر در تحقیقات تئوری به کار برده می شوند.

2- **استنتاجی:** این گروه از برآورد کننده های خطا، با استفاده از نتایج یک حل اجزای محدود و با استفاده از فرضیات اولیه، تخمینی از توزیع خطای یک کمیت در دامنه حل مسأله ارائه می دهند. برآورد کننده های خطای استنتاجی امروزه نقش عمده ای در کاربردهای عملی مهندسی ایفا می کنند، از این رو در این تحقیق تنها این گروه از برآورد کننده های خطا مورد توجه قرار گرفته است.

در برآورد خطا به روش استنتاجی، دو رویکرد عمده وجود دارد. اولین رویکرد، تخمین خطا بر اساس روشهای باقیمانده است، که از ادامه کار بابوشکا می باشد. و دومین، که امروزه تأکید بر استفاده از آن می باشد، استفاده از روشها با وصله های خود تعادلی³ است، که در این زمینه انس ورس و آدن پیشتاز

¹ posteriori estimation of error

² priori estimation of error

³ self-equilibrating patches

می باشند. روشهای برآورد خطا مبتنی بر بازیافت تنش (گرادیان) نیز در این دسته قرار می گیرند [4]. در ادامه این فصل به شرح و توضیح این دو رویکرد می پردازیم.

2-2- روشهای برآورد خطا مبتنی بر محاسبه مانده ها

از آنجا که حل اجزای محدود یک معادله دیفرانسیل، با حل دقیق آن متفاوت است، واضح است که حل اجزای محدود، معادله دیفرانسیل را به طور کامل ارضا نمی نماید. همچنین در یک حل اجزای محدود، اصولاً تنها میدان متغیر اصلی معادله (u) دارای پیوستگی در لبه المانها می باشد و میدان گرادیان آن، (s) گسسته است. این موضوع، اساس تخمین خطا در این دسته از روشها است. در اینجا با قرار دادن حل حاصل از روش اجزای محدود در معادله دیفرانسیل اولیه و محاسبه مانده آن و نیز محاسبه پرش میدان گرادیان در لبه المانها، تخمینی از خطای حل اجزای محدود به دست می آید. این روش نخستین تلاش برای محاسبه خطا در روش اجزای محدود بوده است. این روش و نیز ایده تعیین خطاها در روش اجزای محدود اولین بار در سال 1978 توسط بابوشکا و رینبولت مطرح شد [1]. در ادامه به شرح مختصری از این روش می پردازیم [2]:

فرض کنید معادله دیفرانسیل حاکم بر یک مسئله الاستیسیته با شرایط مرزی معلوم به صورت زیر است:

$$\mathbf{L}\mathbf{U} + \mathbf{P} = 0 \quad \text{in } \Omega \quad (1-2)$$

$$\mathbf{L}_0\mathbf{U} + \mathbf{P}_0 = 0 \quad \text{in } \Gamma$$

که در آن \mathbf{L}_0 و \mathbf{L} اپراتورهای خطی و \mathbf{U} میدان جابجایی است. منظور از Ω کل ناحیه و Γ مرز است.

اکنون با استفاده از روشهایی مثل روش گالرکین می توان یک میدان جابجایی پیشنهادی \mathbf{u}^h بدست آورد. اگر این میدان جابجایی تقریبی در معادله (1-2) قرار داده شود، طرف دوم این معادله به علت وجود خطای گسسته سازی صفر نخواهد شد. این مقدار را مانده می گویند و آن را با τ نمایش می دهند.

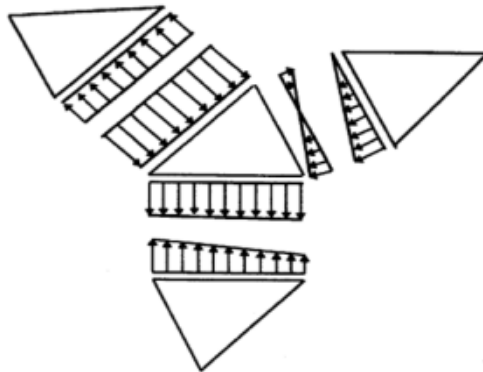
$$r = L\ddot{U} + P \quad (2-2)$$

با استفاده از این رابطه مقدار خطا در هر نقطه قابل محاسبه است. بنابراین می توان مقدار خطا را برای هر المان با انتگرال گیری روی المان به صورت زیر محاسبه نمود

$$\|e_i\|^2 = \int_{\Omega_e} r^2 d\Omega \quad (3-2)$$

که در این رابطه e_i شاخص خطا و Ω_e سطح المان i ام است. البته مقدار خطایی که از رابطه فوق به دست می آید قسمتی از خطای کل المان است.

اگر یک مسئله الاستیسیته از نوع C^0 مطرح باشد، پیوستگی در تغییر مکان وجود دارد ولی در مشتق و یا شیب آن پیوستگی وجود ندارد و این بدان معنی است که تنشها در مرز المان با تنشهای مرزی المان مجاور خود تفاوت دارند. شکل 1-2 این موضوع را نشان می دهد.



شکل 1-2 عدم پیوستگی شیب در مرز المان

با توجه به مطالب فوق شاخص خطا به صورت زیر اصلاح می گردد

$$\|e^2\| = c_1 \int_{\Omega} r^2 d\Omega + c_2 \int_{\Gamma} J^2 d\Gamma \quad (4-2)$$

در رابطه فوق J مقدار پرش در مرز المانها و Γ مرز بین کل المانهاست. برای یک المان تنها در حالت دو بعدی ضرایب c_1 و c_2 محاسبه شده است. این ضرایب به صورت زیر محاسبه می شوند.

$$c_1 = \frac{h^2}{24kp^2} \quad (5-2)$$

$$c_2 = \frac{h}{24kp}$$

در این روابط h اندازه المان، p درجه یا توان توابع شکل و k ضریبی است که بستگی به معادله دیفرانسیل حاکم دارد. مثلاً برای مسائل تنش و کرنش مستوی ضریب k به صورت زیر بدست آمده است.

$$k = \frac{E}{1-n} \quad (6-2)$$

که E مدول یانگ و n ضریب پواسون است. بنابراین مقدار خطا برای هر المان به صورت زیر محاسبه می‌گردد.

$$\|e_i^2\| = \frac{h^2}{24kp^2} \int_{\Omega_i} r^2 d\Omega + \frac{h}{24kp} \int_{r_i} J^2 d\Gamma \quad (7-2)$$

در نتیجه خطا روی کل محیط برابر است با

$$\|e^2\|_{total} = \sum_{i=1}^m \|e_i^2\| \quad (8-2)$$

در رابطه بالا m تعداد کل المانهاست.

در تحقیقاتی که بابوشکا همراه با یک تیم تحقیقاتی به سرپرستی پروفسور استروبولیس¹ از دانشگاه تگزاس، انجام دادند، روشی ابداع شد که به کمک آن می‌توان مقایسه‌ای بین روشهای تخمین خطا انجام داد. این روش آزمون وصله بابوشکا نام گرفت و بر اساس آن پی برده شد که روشهای بازیافتی در مقایسه با روشهای باقیمانده‌ای از دقت و همگرایی بهتری برخوردار می‌باشند [4]. لذا در این تحقیق از بررسی بیشتر این دسته از برآورد کننده‌ها صرف نظر می‌شود.

3-2- روشهای برآورد خطا مبتنی بر بازیافت تنش (گرادیان)

پس از حل معادله دیفرانسیل الاستیسیته توسط روش اجزای محدود و به دست آوردن مقادیر جابجایی در هر گره، در صورتی که به دست آوردن مقادیر دقیق تنش (گرادیان میدان) در گره‌ها،

¹ Strouboulis

روی مرز المانها و یا هر جای دیگر از دامنه مورد نظر باشد، در آن صورت باید از روش های بازیافت تنش استفاده نمود. زیرا اگر مسأله تغییراتی، از درجات پایین، مانند C^0 باشد، تنها تابع جابجایی در نقاط گرهی و مرز المانها پیوسته بوده و تنش یا گرادیان میدان در آن نقاط گسسته و همراه با پرش می باشد. برای مثال در هر گره که چهار المان مربعی شکل به آن متصل باشد، فقط یک مقدار جابجایی پس از حل معادله دیفرانسیل به وسیله اجزای محدود موجود بوده، ولی برای مشتق اول و تنش، به دلیل ناپیوسته بودن شیب در آن گره، از هر المان متصل به گره مذکور مقداری متفاوت، یعنی در مجموع چهار مقدار مختلف برای آن گره وجود خواهد داشت. این موضوع برای کلیه مرزهای المانها نیز صادق می باشد. از اینجا می توان به اهمیت بحث بازیافت تنش پی برد. زیرا قاعدتا باید فقط یک مقدار مشخص، نزدیک به حل دقیق، برای مشتق اول یا تنش در هر گره موجود باشد که به دست آوردن این مقدار، با استفاده از عملیات تکمیلی بازیافت تنش به روی نتایج حاصل از حل روش اجزای محدود مقدور می باشد، که خود شامل روشهای مختلفی است.

به طور کلی بازیافت تنش روشی به منظور بالا بردن دقت، و پیوسته و هموار نمودن میدان تنش یا گرادیان میدان به دست آمده از حل اجزای محدود است. در این روش با استفاده از حل روش اجزای محدود، یک جواب نزدیک به حل دقیق یا تحلیلی در هر گره یا در نقاط دلخواه روی دامنه محاسبه شده که دقت بالاتری نسبت به حل اولیه اجزای محدود داشته است.

این میدان تنش بهبود یافته، به صورت زیر تعریف می شود :

$$\sigma^* = N \bar{\sigma}^* \quad (9-2)$$

که در آن $\bar{\sigma}^*$ مقادیر گرهی این میدان و N توابع شکل مورد استفاده در المانها است. با استفاده از این میدان بهبود یافته، خطای بازیافت به صورت زیر تعریف می شود :

$$e_{\sigma}^* = \sigma^* - \sigma_h \quad (10-2)$$

که در رابطه بالا σ_h تنش ناشی از اجزای محدود می باشد. روشهای متعددی برای بازیافت تنش از حل اجزای محدود وجود دارد. واضح است که کارایی روند بازیافت نقش عمده ای در کارایی این گروه از

برآورد کننده های خطا دارد. در ادامه این فصل، مهمترین این روشها بررسی خواهد شد.

2-3-1- روش میانگین گیری¹

روشی که توسط هینتن و کمپیل² در سال 1974 برای بازیابی تنش به کار برده شده است، که در حال حاضر نیز در برخی نرم افزارهای اجزای محدود برای به دست آوردن یک مقدار واحد تنش در گرهها به کار می رود [16].

در این مقاله دو متد سراسری و موضعی پیشنهاد شده است. در روش موضعی پیشنهاد شده ابتدا مقادیر تنش در نقاط گوسی به وسیله روش اجزای محدود به دست آمده و پس از آن با استفاده از برونمایی در هر المان مربعی با چهار نقطه گوسی، مقادیر تنش در گرهها به دست می آید. میانگین تنش حاصل از المانهای متصل به هر گره پس از عمل برونمایی به عنوان مقدار بهبود یافته آن تعریف می گردد و مطابق رابطه داریم :

$$\bar{\sigma}_i^* = \frac{1}{r_i} \sum_{t \in X_i} \sigma_h^t \Big|_{X_i} \quad (11-2)$$

که در آن σ_h^t تنش محاسبه شده در المان t در محل گره i ام بعد از عمل برونمایی و r_i تعداد المانهای متصل به گره i ام می باشد. این روش با وجود سادگی و سرعت بالا در مسائل ساده که شبکه المان بندی منظم است، کارایی قابل قبولی دارد.

2-3-2- روش تصویر L_2 ³

اودن و براچلی⁴ در سال 1971 روش تصویر L_2 را پیشنهاد کردند [17]. این روش از اولین روشهای بازیافت تنش محسوب می شود. در این روش با کمینه کردن عبارت زیر :

$$\Pi = \int_{\Omega} (\sigma^* - \sigma_h)^T (\sigma^* - \sigma_h) d\Omega \quad (12-2)$$

¹ Averaging Method

² Hinton and Campbell

³ L_2 Projection Method

⁴ Oden and Brauchli

روی دامنه حل، مقادیر گرهی میدان تنش بازیافتی به صورت زیر بدست می آید:

$$\bar{\sigma}^* = \mathbf{A}^{-1} \left(\int_{\Omega} \mathbf{N}^T \mathbf{D} \mathbf{B} d\Omega \right) \bar{\mathbf{u}}_h \quad (13-2)$$

که در آن:

$$\mathbf{A} = \int_{\Omega} \mathbf{N}^T \mathbf{N} d\Omega \quad (14-2)$$

و σ^* تنش بازیافتی و σ_h تنش به دست آمده از حل اجزای محدود و Ω دامنه حل می باشد. البته این روش کارایی محدودی داشته و با ابداع روشهای جدیدتر به ندرت از آن استفاده می شود.

2-3-3- روش بازیافت تنش بر مبنای نقاط فوق هم گرا¹ SPR

این روش بازیافت تنش در سال 1992 توسط زینکوویچ و زو ابداع شد و گام بسیار بلندی در بازیافت تنش برداشته شد [9]. امروزه این روش به عنوان یکی از بهترین و موثرترین روشها برای برآورد خطا در مسائل مهندسی به کار می رود. اساس این روش بر مبنای استفاده از نقاطی است که در آنها تنش بدست آمده از تحلیل تقریبی نسبت به سایر نقاط از دقت بیشتری برخوردار می باشد. در این نقاط مرتبه همگرایی گرادیان یک تابع، یک مرتبه از مقداری که از تقریب تابع شکل مربوط به حل تقریبی انتظار می رود، بالاتر است. به همین دلیل به این نقاط، نقاط فوق همگرا گفته می شود که اولین بار توسط بارلو مطرح شده است [2].

در این روش با برازش یک میدان به صورت چند جمله ای با ضرایب نامعین بر روی گرادیان حاصل از روش اجزای محدود روی گروه المانهای متصل به هر گره²، میدان گرادیان بهبود یافته تعیین می شود. این میدان به صورت زیر فرض می شود:

$$\sigma_p^* = \mathbf{P} \mathbf{a} \quad (15-2)$$

در روابط فوق σ_p^* ، تنش بهبود یافته، \mathbf{P} مجموعه تک جمله ای های حداکثر هم درجه با توابع شکل

¹ Superconvergent patch recovery
² patch

المان و \mathbf{a} مقادیر ثابت مجهول هستند، با کمینه کردن تابع (16-2) مقادیر مجهول مطابق رابطه (17-2) به دست می آید.

$$\mathbf{F}(\mathbf{a}) = \sum_{i=1}^n (\boldsymbol{\sigma}_h(x_i, y_i) - \boldsymbol{\sigma}_p^*(x_i, y_i))^2 = \sum_{i=1}^n (\boldsymbol{\sigma}_h(x_i, y_i) - \mathbf{p}(x_i, y_i) \mathbf{a})^2 \quad (16-2)$$

$$\mathbf{a} = \mathbf{A}^{-1} \mathbf{b} \quad (17-2)$$

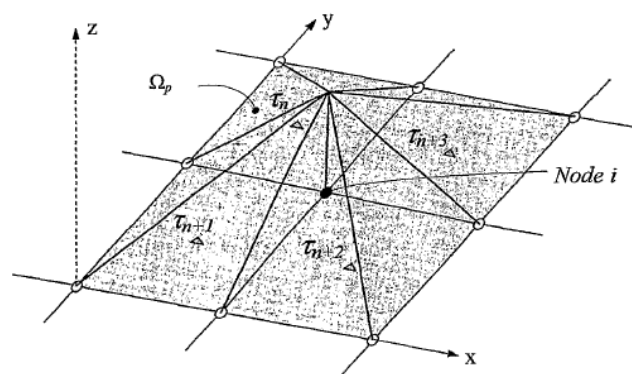
در رابطه (17-2) \mathbf{A} و \mathbf{b} به صورت زیر تعریف می شوند:

$$\mathbf{A} = \sum_{i=1}^n \mathbf{P}^T(x_i, y_i) \mathbf{P}(x_i, y_i) \quad (18-2)$$

$$\mathbf{b} = \sum_{i=1}^n \mathbf{P}^T(x_i, y_i) \boldsymbol{\sigma}_h(x_i, y_i) \quad (19-2)$$

در این روابط، $\boldsymbol{\sigma}_h$ تنش به دست آمده از روش اجزای محدود، x_i و y_i مختصات نقاط فوق همگرا یا نقاط بهینه نمونه گیری گرادیان در Ω_p و n تعداد المانهای موجود در هر وصله¹ است.

پس از محاسبه \mathbf{a} ، سهم گره های موجود در Ω_p از رابطه (15-2) به وسیله یک تابع شکل خطی که مرکز آن بروی گره i ام است، محاسبه می شود (شکل 2-2). واضح است که این سهم برای گره اصلی برابر واحد و برای سایر گره ها گوشه ای برابر صفر می باشد. عملیات فوق برای گره های میانی، یعنی گره هایی که در رئوس واقع نشده اند انجام نمی گیرد و سهم حاصل از عملیات به روی گره های گوشه ای برای آنها منظور می گردد.



شکل 2-2 محاسبه سهم گره ها در روش SPR

¹ patch

2-3-4- روش بازیافت تنش بر مبنای تعادل در زیر دامنه‌ها،¹ REP

این روش بازیافت در سال 1997 توسط برومند و زینکویچ ابداع شد [13]. در این روش بر خلاف روش SPR احتیاج به مشخص نمودن نقاط فوق همگرا در المان نیست. اساس کار در این روش، معادل قرار دادن نیروهای عمل کننده بر یک گروه از المانها برای میدان تنش حاصل از روش اجزای محدود و میدان تنش بهبود یافته² است. اگر مانند روش SPR حول گره i (واقع در گوشه هر المان) یک زیر دامنه Ω_p در نظر گرفته شود، برآیند نیروهای عمل کننده بر آن را می‌توان به صورت زیر به دست آورد:

$$\mathbf{F}_p = \int_{\Omega_p} \mathbf{B}^T \boldsymbol{\sigma}_h d\Omega \quad (20-2)$$

در رابطه بالا، \mathbf{F}_p برآیند اثر نیروهای باقیمانده دامنه و نیز اثر نیروهای بدنه بر این گروه از المانها است. همین کمیت را می‌توان برای میدان تنش بازیافتی تعریف نمود:

$$\mathbf{F}_p^* = \int_{\Omega_p} \mathbf{B}^T \boldsymbol{\sigma}^* d\Omega \quad (21-2)$$

در این روش میدان تنش به صورت زیر تعریف می‌شود:

$$\boldsymbol{\sigma}^* = \mathbf{P}\mathbf{a} = \begin{bmatrix} \mathbf{p} & & & \\ & \mathbf{p} & & \\ & & \mathbf{O} & \\ & & & \mathbf{p} \end{bmatrix} \cdot \begin{Bmatrix} a_1 \\ a_2 \\ \mathbf{M} \\ a_{D_s} \end{Bmatrix} \quad (22-2)$$

که در آن \mathbf{p} مجموعه تک جمله‌ایهای هم درجه با توابع شکل به کار رفته در المان و D_s بعد میدان تنش است. از آنجا که تعداد معادلات و مجهولات به احتمال زیاد با هم برابر نیست، سعی می‌شود دو

کمیت \mathbf{F}_p و \mathbf{F}_p^* به صورت تقریبی برابر قرار داده شوند. به این منظور، با کمینه کردن تابع زیر:

$$\Pi = \left(\int_{\Omega_p} \mathbf{B}^T \boldsymbol{\sigma}^* d\Omega - \int_{\Omega_p} \mathbf{B}^T \boldsymbol{\sigma}_h d\Omega \right)^T \left(\int_{\Omega_p} \mathbf{B}^T \boldsymbol{\sigma}^* d\Omega - \int_{\Omega_p} \mathbf{B}^T \boldsymbol{\sigma}_h d\Omega \right) \quad (23-2)$$

¹ Recovery by Equilibrium in Patches

² Improved Stress Field

می توان ضرایب مجهول را محاسبه نمود. اگر تابع فوق به صورت زیر نوشته شود:

$$\Pi = (\mathbf{H}\mathbf{a} - \mathbf{F}_p)^T (\mathbf{H}\mathbf{a} - \mathbf{F}_p) \quad (24-2)$$

که در آن:

$$\mathbf{H} = \int_{\Omega_p} \mathbf{B}^T \mathbf{P} d\Omega \quad (25-2)$$

با کمینه کردن رابطه (24-2)، ضرایب مجهول به صورت زیر محاسبه می شوند:

$$\mathbf{a} = (\mathbf{H}^T \mathbf{H})^{-1} \mathbf{H}^T \mathbf{F}_p \quad (26-2)$$

اما از آنجایی که گاهی تعداد معادلات نهفته در کمینه کردن رابطه (24-2) کمتر از تعداد مجهولات است، محاسبه \mathbf{a} از رابطه فوق امکان پذیر نیست. به همین منظور، رابطه بالا به صورت زیر اصلاح می گردد:

$$\mathbf{a} = \left(\mathbf{H}^T \mathbf{H} + \sum_{t \in r_i} \mathbf{H}^{tT} \mathbf{H}^t \right)^{-1} \left(\mathbf{H}^T \mathbf{F}_p + \sum_{t \in r_i} \mathbf{H}^{tT} \mathbf{F}^t \right) \quad (27-2)$$

که در آن \mathbf{F}^t (نیروهای عمل کننده بر روی المان t) به صورت زیر تعریف می گردد:

$$\mathbf{F}^t = \int_{\Omega^t} \mathbf{B}^T \boldsymbol{\sigma}_h^t d\Omega \quad (28-2)$$

کارایی این روش قابل مقایسه با روش قبل (استفاده از نقاط فوق همگرا) است.

2-3-5- شکل بهبود یافته روش بازیافت تنش بر مبنای تعادل در زیر دامنه ها

چند ماه پس از ابداع فرم اصلی روش بازیافت تنش بر مبنای تعادل در گروه المان، همان محققین شکل بهبود یافته این روش را ارائه و کارایی آن را با کمک روش عددی ارائه شده توسط بابوشکا و همکارانش [15]، برای مسائل دو بعدی انتقال حرارت و الاستیسیته در میانه دامنه بررسی کردند [14]. نتایج حاصل از این بررسی نشان می دهد که در مسائل ذکر شده، شکل بهبود یافته این روش کارایی بالاتر یا در حد روش SPR دارد. در این روش نیروی ناشی از هر کدام از مولفه های تنش برای تنش ناشی از حل اجزای محدود و میدان تنش بهبود یافته، همانند روش قبل به صورت تقریبی با هم برابر

قرار داده می‌شوند. در این روش با ثابت ماندن تعداد مجهولات، تعداد معادلات افزایش یافته و بنابراین کارایی برآورد کننده افزایش می‌یابد.

2-3-6- روش بازیافت تنش بر پایه درونیابی مینیمم مربعات متحرک (MLSI)¹

در سال 1994 تابارا، بلیکر و بلچکو² طی ارائه مقاله‌ای، بازیابی تنش را با استفاده از درونیابی حداقل مربعات متحرک برای آن دسته از مسائل اجزای محدود که از درجه C^{-1} بودند، پیشنهاد کردند [18]. لازم به ذکر است که در مسائل اجزای محدود از درجه C^{-1} ، تغییر مکان نقاط گرهی نیز ناپیوسته می‌باشند. در این روش با در نظر گرفتن ابر³ به جای استفاده از زیر دامنه⁴، به وسیله المانهای متصل به گره و نیز با تخصیص وزن به هر یک از نقاط داخل ابر بر اساس نزدیک یا دور بودن از گره مرکزی، همگرایی روش نسبت به روش SPR ارتقا داده شده است. ایده اساسی درونیابی حداقل مربعات متحرک، بر استفاده از روش حداقل مربعات وزنی⁵ در عبور دادن بهترین منحنی از نقاط مورد نظر است. تجربیات و آزمونهای عددی بر روی روش مینیمم مربعات متحرک در مسایل مختلف کارآیی آن را تایید می‌نمایند [18].

به منظور شرح روش، مسئله‌ای با میدان Ω و مرز Γ را در نظر می‌گیریم. گسسته سازی توسط روشهای اجزای محدود انجام پذیرفته است. یک مش فرضی همانند شکل (2-3) در نظر گرفته و در آن سیستم مختصات عمومی با (\bar{x}, \bar{y}) مشخص شده است. برای محاسبه مشتق مرتبه اول یا تنشها، یک وصله محلی Ω_g با مرکز \bar{x}_g و شعاع دامنه R_g در نظر می‌گیریم، که مختصات محلی (x, y) همانند شکل (2-3) تعریف شده است.

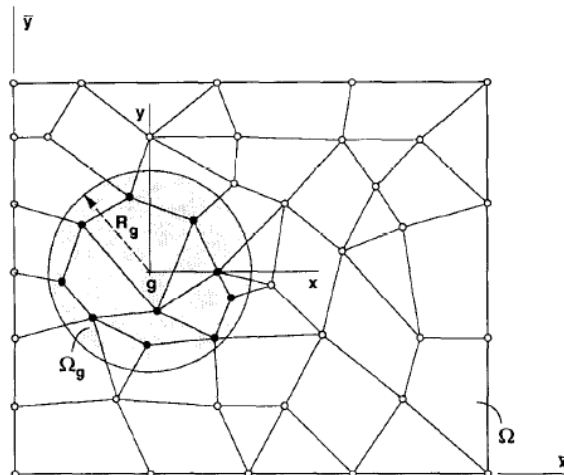
¹ Moving least square interpolants (MLSI)

² Tabbara & Blaker & Bleitschko

³ Cloud

⁴ Patch

⁵ Weighted Least Square Approximation



شکل 2-3 ناحیه محلی مشخص شده بمنظور محاسبه مشتق

ایده اساسی و اصلی در روش درونیابی حداقل مربعات متحرک، استفاده از روش حداقل مربعات وزنی برای منطبق کردن $\mathbf{u}_i^*(x)$ بر همه u_{ii}^h در دامنه Ω_g است.

$$\mathbf{u}_i^*(x) = \mathbf{P}(x)\mathbf{a}_i(x) \quad (29-2)$$

که نتیجه تخمینی بدست آمده از حل اجزای محدود برای هر مولفه تغییر مکان i در گره I می باشد. در اینجا $\mathbf{P}(x)$ بردار جملات چند جمله ای و $\mathbf{a}_i(x)$ بردار شامل ضرایبی وابسته به x می باشد. برای مثال در حالت خطی رابطه (2-30) و در حالت درجه دو در رابطه (2-31)، بردارهای \mathbf{P} و \mathbf{a} نشان داده شده است.

$$\mathbf{P} = [1 \quad x \quad y \quad xy] \quad , \mathbf{a}_i^T = [a_1 \quad a_2 \quad a_3 \quad a_4]_i \quad (30-2)$$

$$\mathbf{P} = [1 \quad x \quad y \quad xy \quad x^2 \quad y^2] \quad , \mathbf{a}_i^T = [a_1 \quad a_2 \quad a_3 \quad a_4 \quad a_5 \quad a_6]_i \quad (31-2)$$

در روش درونیابی حداقل مربعات متحرک، مطابق با رابطه (2-32)، مجهولات $\mathbf{a}_i(x)$ با کمینه کردن تفاضل وزنی مربعات تغییر مکانها معین می شوند که در آن N تعداد گرهها در ناحیه محلی Ω_g و $w(x)$ تابع وزن می باشد.

$$\mathbf{S}(\mathbf{a}_i(x)) = \sum_{i=1}^N w(x_i) (\mathbf{P}(x_i)\mathbf{a}_i(x) - \mathbf{u}_{ii}^h)^2 \quad (32-2)$$

تابع وزن می بایست تابعی مثبت باشد، که مقدار ماکزیمم آن در مرکز \bar{x}_g رخ می دهد و با فاصله گرفتن از مرکز \bar{x}_g بطور یکنواخت کاهش می یابد. این تابع وزنی می تواند همانند رابطه (2-33) در نظر گرفته شود.

$$w(x) = e^{-c^2[(x/x_m)^2 + (y/y_m)^2]} \quad (33-2)$$

که در آن $x_m = \text{Max } |x_I|$ ، $y_m = \text{Max } |y_I|$ و $x_I, y_I (I = 1, \dots, N)$ مختصات گره در ناحیه محلی می باشد. ضریب c در رابطه تابع وزن سرعت کاهش آن را کنترل می کند.

با مینیمم نمودن تابع $S(a_i(x))$ مقادیر $a_i(x)$ به شکل زیر تعیین می گردد.

$$\mathbf{a}_i(x) = \mathbf{A}^{-1}(x) \mathbf{b}_i(x) \quad (34-2)$$

$$\mathbf{A} = \sum_{i=1}^N w(x_I) \mathbf{P}^T(x_I) \mathbf{P}(x_I) \quad (35-2)$$

$$\mathbf{b}_i(x) = \sum_{i=1}^N w(x_I) \mathbf{P}^T(x_I) \mathbf{u}_{ii}^h \quad (36-2)$$

رتبه¹ ماتریس \mathbf{A} در رابطه (35-2) وابسته به تعداد گره های موجود در ناحیه محلی می باشد. شرط داشتن جواب برای ماتریس \mathbf{A} وجود حداقل تعداد گره در ناحیه محلی به اندازه N_c (تعداد ضرایب $a_i(x)$) می باشد. هر چند شرط بالا برای داشتن معکوس ماتریس \mathbf{A} لازم می باشد اما کافی نیست، زیرا ممکن است، گره ها در یک امتداد قرار گرفته باشند. برای حالت خطی و درجه دو، N_c بترتیب 4 و 6 می باشد. لازم بذکر می باشد در محاسبات مشتق از وابستگی \mathbf{a} به \mathbf{x} با توجه به تاثیر ناچیز آن صرف نظر شده است. در حل بالا محدودیتی در انتخاب ناحیه محلی و مرکز آن وجود ندارد. حال با مشتق گیری از \mathbf{u} بدست آمده، مطابق رابطه 37-2 کرنش تعیین می گردد.

$$\boldsymbol{\varepsilon}^*(x) = \mathbf{D} \mathbf{u}^*(x) \quad (37-2)$$

که در آن \mathbf{D} اپراتور دیفراسیل و $\mathbf{u}^*(x)$ تغییر مکان درونیابی شده می باشد. درونیابی مقادیر گرهی به وسیله روش حداقل مربعات متحرک، ابزار آسان و موثری را برای بازیافت تشن مسائل خطی فراهم می سازد. در بیشتر حالات، بازیابی مقادیر تنش، دارای رفتار فوق همگرا می باشد. سرعت همگرایی نیز یک درجه بالاتر از سرعت همگرایی حل های اجزای محدود استاندارد است. برخلاف روش SPR، در این روش استفاده از نقاط فوق همگرا ضروری نیست. بنابراین، این روش به سادگی برای المانهای مختلف از قبیل مثلثی و مربعی شکل در اجزای محدود بکار برده می شود.

¹ Rank

2-3-7- بهبود روش SPR با اضافه کردن معادلات و شرایط مرزی (SPRE)¹

در سال 1994 ویبرگ، عبدالوهاب و زیوکاس طی مقاله‌ای سعی نمودند با اضافه کردن شرایطی به روش SPR، روش مذکور را بهبود بخشند [19]. آنها همچنین توانستند با ارائه روش SPREB² پیشرفت بیشتری را برای بازیافت تنش در نزدیکی مرزهایی نشان دهند که تغییر مکانها یا بارهای گرهی، از پیش اعمال شده‌اند. زیرا روشهای SPR و SPRE شرایط مرزی را به خوبی برآورده نمی‌کنند. آنها با استفاده از روش گالرکین و اضافه کردن معادلات تعادل، تنشهای بازیافتی را تحت تاثیر قرار دادند. به عبارت دیگر، باقیمانده معادله تعادل را با روش حداقل مربعات استاندارد کمینه کردند. همچنین در همان سال، بلیکر و بلچکو نیز کار مشابهی را با تفاوتی در جزئیات روش کار انجام دادند و توانستند نتایج تقریباً مشابهی بدست آورند [20].

2-3-8- روش بازیافت تنش LP

در این بخش روشی با نام LP ارائه می‌گردد، که در سال 1997 توسط لی و همکاران پیشنهاد شده است [21]. اساس این روش در محاسبه سطح تنش بهبود یافته بدین صورت است که میدان تنش بازیافتی، با استفاده از تابع مینیمم مربعات در نقاط فوق همگرا و استفاده از باقیمانده معادله تعادل در روش کار مجازی در هر ناحیه تعیین می‌گردد. در واقع این روش ترکیبی از دو روش SPR و REP می‌باشد که از مزایای هر دو روش استفاده و با ترکیب آنها معایبشان را نیز کاهش داده است. نتایج عددی، کارایی نسبتاً بهتر این روش را نسبت به روش SPR و REP نشان می‌دهد [22]. همانطور که در روش SPR بیان شد، تنش بازیافتی در این روش با σ_p نمایش داده می‌شود.

$$\sigma_p = \mathbf{P}\mathbf{a} \quad (38-2)$$

که در آن \mathbf{P} ماتریس توابع چند جمله‌ای با درجه مناسب و \mathbf{a} بردار ضرایب مجهول می‌باشد. در حالت یک بعدی که تنش دارای یک مولفه می‌باشد، \mathbf{P} مانند رابطه (2-39) و در حالت دو بعدی که دارای

¹ Superconvergent Patch Recovery Incorporating Equilibrium

² Superconvergent Patch Recovery Incorporating Equilibrium and Boundary Conditions

سه مولفه تنش می باشد، همانند رابطه (2-40) بیان می شود.

$$\mathbf{P} = [1, x, x^2, x^3, \dots, x^p] \quad (39-2)$$

$$\bar{\mathbf{P}} = \begin{bmatrix} \bar{\mathbf{p}} & 0 & 0 \\ 0 & \bar{\mathbf{p}} & 0 \\ 0 & 0 & \bar{\mathbf{p}} \end{bmatrix} \quad (40-2)$$

که در آن $\bar{\mathbf{P}}$ برای حالت دو بعدی برابر مقدار زیر می باشد.

$$\bar{\mathbf{P}} = [1, x, y, x^2, xy, \dots, x^p, x^{p-1}y, \dots, xy^{p-1}, y^p] \quad (41-2)$$

در اینصورت خطای ناشی از حل اجزای محدود، با اختلاف بین تنش بازیافتی و تنش اجزای محدود در نقاط گوسی، مطابق رابطه زیر بیان می شود.

$$e_i = \sigma_p(x_i, y_i) - \sigma_h(x_i, y_i) = \mathbf{P}(x_i, y_i) \mathbf{a} - \sigma_h(x_i, y_i) \quad (42-2)$$

در رابطه بالا σ_h تنش اجزای محدود، σ_p تنش بهبود یافته و e_i خطا در نقاط فوق همگرای گوسی می باشد.

اما در حالت کلی، در درجات بالای چند جمله ای $\bar{\mathbf{P}}$ ، تنش بازیافتی σ_p نمی تواند معادله تعادل را ارضا نماید [21]. به همین دلیل قید معادله تعادل به شکل روش کار مجازی همانند رابطه (2-43) در نظر گرفته می شود.

$$d\Pi = \int_V d\varepsilon^T \boldsymbol{\sigma} dV - \int_S d\mathbf{u}^T \mathbf{T} dS - \int_V d\mathbf{u}^T \mathbf{f} dV = 0 \quad (43-2)$$

که در آن:

$d\varepsilon$: بردار کرنش مجازی $d\mathbf{u}$: بردار تغییر مکان مجازی \mathbf{f} : بردار نیروی پیکره

\mathbf{T} : بردار نیروی سطحی V : حجم S : سطح مرز

حال اگر بجای $\boldsymbol{\sigma}$ در رابطه (2-43) σ_p را قرار دهیم باقیمانده معادله تعادل مطابق زیر بدست می آید:

$$d\Pi_{residual} = \int_{V_p} d\varepsilon^T \sigma_p dV - \int_{S_p} d\mathbf{u}^T \mathbf{T} dS - \int_{V_p} d\mathbf{u}^T \mathbf{f} dV = 0 \quad (43-2)$$

که در آن V_p حجم ناحیه و S_p سطح مرزی در هر ناحیه می باشد.

همچنین تغییر مکان مجازی $d\mathbf{u}$ و کرنش مجازی $d\varepsilon$ توسط روابط (2-44) و (2-45) مشخص می گردد.

$$d\mathbf{u} = \mathbf{N}d\mathbf{q}_p \quad (44-2)$$

$$d\boldsymbol{\varepsilon} = \mathbf{B}d\mathbf{q}_p \quad (45-2)$$

که در روابط بالا $d\mathbf{q}_p$ بردار تغییر مکان مجازی گره‌ها، \mathbf{B} ماتریس کرنش - تغییر مکان و \mathbf{N} ماتریس تابع شکل می‌باشد.

با استفاده از معادله‌های (38-2) و (45-2) بخش اول از معادله (43-2) به صورت زیر بیان می‌شود.

$$\int_{V_p} d\boldsymbol{\varepsilon}^T \boldsymbol{\sigma}_p dV = d\mathbf{q}_p^T \left(\int_{V_p} \mathbf{B}^T \mathbf{P} dV \right) \mathbf{a} = d\mathbf{q}_p^T \mathbf{C} \mathbf{a} \quad (46-2)$$

که در آن ماتریس \mathbf{C} به صورت زیر تعریف می‌شود.

$$\mathbf{C} = \int_{V_p} \mathbf{B}^T \mathbf{P} dV \quad (47-2)$$

در اینصورت بخش دوم و سوم معادله (43-2) نیز همانند رابطه (48-2) بیان می‌شوند.

$$\int_{S_p} d\mathbf{u}^T \mathbf{T} dS + \int_{V_p} d\mathbf{u}^T \mathbf{f} dV = d\mathbf{q}_p^T \mathbf{F}_p \quad (48-2)$$

که در آن بردار \mathbf{F} به صورت زیر تعریف می‌شود.

$$\mathbf{F}_p = \int_{S_p} \mathbf{N}^T \mathbf{T} dS + \int_{V_p} \mathbf{N}^T \mathbf{f} dV \quad (49-2)$$

در رابطه بالا \mathbf{N} ماتریس تابع شکل تعریف شده بر روی سطح مرزی ناحیه و \mathbf{F}_p بردار نیروی است که از حل اجزای محدود تعیین می‌گردد.

با جایگزاری روابط (43-2) و (48-2) در عبارت باقیمانده معادله تعادل یعنی رابطه (43-2) مطابق

زیر خواهیم داشت:

$$d\Pi_{residual} = d\mathbf{q}_p^T (\mathbf{C}\mathbf{a} - \mathbf{F}_p) = d\mathbf{q}_p^T \mathbf{R}_{eq} \quad (50-2)$$

که در آن \mathbf{R}_{eq} باقیمانده معادله تعادل به صورت زیر تعریف می‌شود.

$$\mathbf{R}_{eq} = \mathbf{C}\mathbf{a} - \mathbf{F}_p \quad (51-2)$$

به منظور محاسبه ضرایب مجهول بردار \mathbf{a} ، باقیمانده تنش در نقاط گوسی e_i ، و باقیمانده معادله

تعادل \mathbf{R}_{eq} جهت تولید فانکشنال $\mathbf{F}(\mathbf{a})$ به صورت رابطه زیر مورد استفاده قرار می‌گیرند.

$$F(\mathbf{a}) = \sum_{i=1}^n e_i^T e_i + b \mathbf{R}_{eq}^T \mathbf{R}_{eq} = \sum_{i=1}^n (\mathbf{P}\mathbf{a} - \boldsymbol{\sigma}_h)^T (\mathbf{P}\mathbf{a} - \boldsymbol{\sigma}_h) + b (\mathbf{C}\mathbf{a} - \mathbf{F}_p)^T (\mathbf{C}\mathbf{a} - \mathbf{F}_p) \quad (52-2)$$

که در آن n تعداد نقاط گوسی در هر وصله و b پارامتر جریمه می‌باشد. زمانی که پارامتر b ، صفر

در نظر گرفته شود مقدار فانگشنال $F(\mathbf{a})$ مطابق روش SPR خواهد بود.

به منظور محاسبه ضرایب مجهول \mathbf{a} می‌بایست رابطه (2-52) مینیمم گردد، بدین منظور مطابق زیر خواهیم داشت:

$$\frac{\partial F(\mathbf{a})}{\partial \mathbf{a}} = 0 \quad (53-2)$$

$$\left(\sum_{i=1}^n \mathbf{P}^T \mathbf{P} + b \mathbf{C}^T \mathbf{C} \right) \mathbf{a} = \sum_{i=1}^n \mathbf{P}^T \boldsymbol{\sigma}_h + b \mathbf{C}^T \mathbf{F}_p$$

ماتریس ضرایب \mathbf{a} با استفاده از روشهای حل معادله همانند روش حذفی گاوس قابل محاسبه خواهد بود. با محاسبه ماتریس ضرایب \mathbf{a} ، و جایگذاری در رابطه (2-38) میدان تنش بازیافتی تعیین می‌شود.

2-4- معیارهای بیان خطا

در حالت کلی، خطا عبارت است از اختلاف بین حل دقیق و حل تقریبی که به روش اجزای محدود بدست آمده است. بنابراین خطای حل تنش بصورت زیر بدست می‌آید:

$$e_s = \boldsymbol{\sigma} - \boldsymbol{\sigma}_h \quad (54-2)$$

که در آن $\boldsymbol{\sigma}$ میدان تنش دقیق است. اما به دلیل عدم دسترسی به میدان تنش واقعی می‌توان از میدان تنش اصلاح شده استفاده کرد که این میدان تنش جدید توسط یکی از روشهای بازیافت تنش بدست آمده است. بنابراین خطای تقریبی بصورت زیر محاسبه می‌شود:

$$\bar{e}_s = \boldsymbol{\sigma}^* - \boldsymbol{\sigma}_h \quad (55-2)$$

رابطهٔ اخیر مقدار خطای تقریبی را در یک نقطه برآورد می‌کند ضمن اینکه این مقدار ممکن است از نظر عددی، کوچکتر از صفر باشد. بنابراین برای درک بهتر خطا از معیارهای بهتری برای بیان آن استفاده می‌شود.

مهمترین معیارهای بیان خطا عبارتند از [2و3]:

1- معیار خطای انرژی¹

¹ Energy Norm

2- معیار خطای L_2

2-4-1- مفهوم نرم

برای پی بردن به مفهوم نرم، ابتدا ضرب داخلی توابع f و g را بر روی بازه (a, b) به ازای تابع مفروض $w(x) \geq 0$ را در نظر می گیریم [23].

$$\langle f, g \rangle_w = \int_a^b f(x) \cdot g(x) w(x) dx \quad (56-2)$$

با ایده گرفتن از فضای سه بعدی و رابطه ضرب داخلی با طول بردارها در آنجا، در اینجا نیز همراه با ضرب داخلی، مفهوم نرم (تعمیم مفهوم طول) بردارها را مطرح می کنیم [23]:

نرم بردار f به صورت زیر تعریف می شود:

$$\|f\| = \langle f, f \rangle_w^{\frac{1}{2}} \quad (57-2)$$

به ازای هر بردار f از فضا، شرایط اساسی نرم به صورت زیر می باشد:

$$\|f\| \geq 0 \quad (58-2)$$

$$\|f + g\| \leq \|f\| + \|g\|$$

$$\|af\| = \|a\| \cdot \|f\|$$

$$f = 0 \Leftrightarrow \|f\| = 0$$

2-4-2- معیار خطای انرژی

اگر معادله دیفرانسیل مسائل الاستیسیته را به صورت زیر در نظر بگیریم:

$$\mathbf{Lu} + \mathbf{b} = 0 \text{ on } \Omega \quad (59-2)$$

طبق تعریف، نرم انرژی برای مسائل الاستیسیته با معادله رفتاری فوق به کمک رابطه زیر بیان می شود:

$$\|U\| = \left[\int_{\Omega} \mathbf{u}^T \mathbf{L} \mathbf{u} d\Omega \right]^{\frac{1}{2}} = \left[\int_{\Omega} \mathbf{u}^T (\mathbf{S}^T \mathbf{D} \mathbf{S}) \mathbf{u} d\Omega \right]^{\frac{1}{2}} \quad (60-2)$$

$$\|U\| = \left[\int_{\Omega} (\mathbf{Su})^T \mathbf{D}(\mathbf{Su}) d\Omega \right]^{\frac{1}{2}} \quad (61-2)$$

$$= \left[\int_{\Omega} \boldsymbol{\varepsilon}^T \mathbf{D}\boldsymbol{\varepsilon} d\Omega \right]^{\frac{1}{2}} \quad (62-2)$$

$$= \left[\int_{\Omega} \boldsymbol{\sigma}^T \mathbf{D}^{-1}\boldsymbol{\sigma} d\Omega \right]^{\frac{1}{2}} \quad (63-2)$$

و نرم انرژی برای خطاها برای یک مسئله الاستیسیته خطی توسط روابط زیر بیان می شود [2]:

$$\|e\| = \left[\int_{\Omega} \mathbf{e}^T \mathbf{L}\mathbf{e} d\Omega \right]^{\frac{1}{2}} = \left[\int_{\Omega} (\mathbf{u} - \mathbf{u}_h)^T \mathbf{L}(\mathbf{u} - \mathbf{u}_h) d\Omega \right]^{\frac{1}{2}} \quad (64-2)$$

$$= \left[\int_{\Omega} (\boldsymbol{\varepsilon} - \boldsymbol{\varepsilon}_h)^T \mathbf{D}(\boldsymbol{\varepsilon} - \boldsymbol{\varepsilon}_h) d\Omega \right]^{\frac{1}{2}} \quad (65-2)$$

$$= \left[\int_{\Omega} (\boldsymbol{\varepsilon} - \boldsymbol{\varepsilon}_h)^T (\boldsymbol{\sigma} - \boldsymbol{\sigma}_h) d\Omega \right]^{\frac{1}{2}} \quad (66-2)$$

$$= \left[\int_{\Omega} (\boldsymbol{\sigma} - \boldsymbol{\sigma}_h)^T \mathbf{D}^{-1}(\boldsymbol{\sigma} - \boldsymbol{\sigma}_h) d\Omega \right]^{\frac{1}{2}} \quad (67-2)$$

3-4-2- درصد خطای نسبی η

بیان خطا به صورت مقدار مطلق، عملاً شاخص مناسبی برای درک آن نمی باشد و لذا معمولاً خطا به

صورت نسبی از مقدار کل بیان می شود. درصد خطای نسبی نرم انرژی با رابطه زیر بیان می شود:

$$h = \frac{\|e\|}{\|U\|} \times 100 \% \quad (68-2)$$

از طرفی همانطور که قبلاً بحث شد، میدان تنش، کرنش و یا جابجایی به طور دقیق در دست نیست،

پس در محاسبه معیار خطا بایستی از میدان تنش اصلاح شده استفاده کرد:

$$\|e\| \approx \|\bar{e}\| = \left[\int_{\Omega} (\boldsymbol{\sigma}^* - \boldsymbol{\sigma}_h)^T \mathbf{D}^{-1}(\boldsymbol{\sigma}^* - \boldsymbol{\sigma}_h) d\Omega \right]^{\frac{1}{2}} \quad (69-2)$$

در نتیجه درصد خطای نسبی نیز به صورت تقریبی و با توجه به حل اصلاح شده بیان می شود:

$$\bar{h} = \frac{\|\bar{e}\|}{\|\bar{u}\|} \quad (70-2)$$

که در رابطه فوق \bar{u} به صورت زیر محاسبه می شود:

$$\|\bar{u}\| = \left[\|\mathbf{u}^*\|^2 + \|\bar{e}\|^2 \right]^{\frac{1}{2}} \quad (71-2)$$

$$\|\mathbf{u}^*\| = \left[\int_{\Omega} \boldsymbol{\sigma}^* \mathbf{D}^{-1} \boldsymbol{\sigma}^* d\Omega \right]^{\frac{1}{2}} \quad (72-2)$$

چنانچه خطای نسبی قابل قبول در یک مسئله را \hat{h} بنامیم، بنابراین شرط یک حل قابل قبول توسط روش اجزای محدود این است که:

$$h \leq \hat{h} \quad (73-2)$$

مقدار \hat{h} معمولا در کارهای عملی کمتر از 5 درصد در نظر گرفته می شود [2].

2-4-4- معیار خطای L_2

نرم L_2 برای خطای تغییر مکان، تنش و کرنش به صورت روابط زیر تعریف می شوند:

$$\|e_u\|_{L_2} = \left[\int_{\Omega} (\mathbf{u} - \mathbf{u}_h)^T (\mathbf{u} - \mathbf{u}_h) d\Omega \right]^{\frac{1}{2}} \quad (74-2)$$

$$\|e_s\|_{L_2} = \left[\int_{\Omega} (\boldsymbol{\sigma} - \boldsymbol{\sigma}_h)^T (\boldsymbol{\sigma} - \boldsymbol{\sigma}_h) d\Omega \right]^{\frac{1}{2}} \quad (75-2)$$

$$\|e_e\|_{L_2} = \left[\int_{\Omega} (\boldsymbol{\varepsilon} - \boldsymbol{\varepsilon}_h)^T (\boldsymbol{\varepsilon} - \boldsymbol{\varepsilon}_h) d\Omega \right]^{\frac{1}{2}} \quad (76-2)$$

مشاهده می شود که رابطه (75-2) مشابه رابطه نرم انرژی است با این تفاوت که تابع وزنی \mathbf{D}^{-1} را ندارد. بنابراین نرمهای تعریف شده در روابط (74-2) و (75-2) و (76-2) به ما این اجازه را می دهند که توجه خود را روی کمیت مورد نظر متمرکز نمائیم.

درصد خطای نسبی برای معیار L_2 به صورت زیر محاسبه می شود:

$$\|s^*\|_{L_2} = \left[\frac{\int_{\Omega} \sigma^{*T} \sigma^* d\Omega}{\Omega} \right]^{\frac{1}{2}} \quad (77-2)$$

$$\|e_s^*\| = \left[\frac{\int_{\Omega} (\sigma^* - \sigma_h)^T (\sigma^* - \sigma_h) d\Omega}{\Omega} \right]^{\frac{1}{2}} \quad (78-2)$$

$$h = \left[\frac{\|e_s^*\|^2}{\|s^*\|_{L_2}^2 + \|e_s^*\|^2} \right]^{\frac{1}{2}} \quad (79-2)$$

2-4-5- جذر مجموع مربعات¹ خطا

اگر جذر مجموع مربعات خطای تنش به صورت نرمالیزه شده برای یک ناحیه Ω مورد نظر باشد مقدار آن از رابطه زیر قابل محاسبه می باشد [2].

$$\Delta s = \|e_s\|_{RMS} = \left[\frac{\|e_s\|_{L_2}^2}{\Omega} \right]^{\frac{1}{2}} \quad (80-2)$$

$$\|s\|_{RMS} = \left[\frac{\int_{\Omega} \sigma^T \sigma d\Omega}{\Omega} \right]^{\frac{1}{2}} \quad (81-2)$$

خطای نسبی نرمالیزه شده تنش عبارت است از:

$$h = \frac{\|e_s\|_{RMS}}{\|s\|_{RMS}} \times 100 \% \quad (82-2)$$

هر یک از نرمهای بالا می توانند بر روی کل دامنه، جزئی از دامنه و یا فقط یک المان محاسبه شوند؛ در این صورت خطای کل به صورت زیر محاسبه می شود:

¹Root mean square

$$\|e\|^2 = \sum_{i=1}^m \|e_i\|^2 \quad (83-2)$$

که در آن m تعداد اجزای شبکه می باشد.

2-4-6- شاخص تأثیر θ

برای بعضی مسائل خاص که حل دقیق مسئله موجود است می توان معیار خطای دقیق و تقریبی را بدست آورد. نسبت معیار خطای تقریبی به معیار خطای واقعی، بیانگر همگرایی حل به سمت حل واقعی است و معیاری برای بیان دقت محاسبه گر خطا می باشد که این نسبت شاخص تأثیر نامیده می شود.

$$q = \frac{\|\bar{e}\|}{\|e\|} \quad (84-2)$$

هنگامی یک محاسبه گر خطا دارای کارایی مناسب است که شاخص تأثیر به سمت واحد میل نماید.

2-4-7- تعریف شاخص x_i

همان طور که در بخش 2-4-3 بیان شد، با محاسبه η و مقایسه آن با \hat{h} می توان به قابل قبول بودن خطای اتفاق افتاده در تحلیل به روش اجزای محدود برای محیط جزء بندی شده پی برد. به طوری که اگر $h \langle \hat{h}$ باشد، خطاهای اتفاق افتاده قابل قبول بوده و چنانچه $h \rangle \hat{h}$ باشد، خطای اتفاق افتاده بیش از مقدار مجاز بوده و برای رسیدن به جواب قابل قبول باید شبکه جزء بندی شده اصلاح گردد. اما سئوالی که در اینجا مطرح است، این است که شبکه جزء بندی شده چگونه باید اصلاح شود [2].

برای اصلاح شبکه جزء بندی شده اولین راه حلی که به نظر می رسد کوچکتر نمودن کلیه المانها تا حصول $h \langle \hat{h}$ می باشد. اما راه حل فوق یک راه حل اقتصادی نیست و موجب می شود که حجم مسئله بسیار بزرگ شده و حل آن نیازمند نرم افزارهای با ظرفیت بالا می باشد. اما راه حلی که به نظر می آید از کارایی بیشتری برخوردار بوده و موجب کمترین افزایش حجم مسئله می گردد، کوچکتر

نمودن موضعی مسئله می‌باشد. یعنی در جاهایی که خطا بیش از خطای مجاز می‌باشد، عملیات اصلاحی اعمال شود و در جاهایی که خطای اتفاق افتاده کمتر از خطای مجاز می‌باشد، دست نخورده باقی بماند، روش اخیر به اصلاح وفقی معروف است. اما در روش اخیر نیازمند ابزار یا پارامتری هستیم، که بتوان به کمک آن خطای موضعی کلیه اجزاء را محاسبه نمود. این پارامتر به x_i معروف است که در ادامه به نحوه محاسبه آن می‌پردازیم.

برای آنکه یک معیاری داشته باشیم تا بتوانیم بگوییم که در کجاها خطا بیشتر است، شاخص x_i را برای تک تک اجزاء به صورت زیر تعریف می‌کنیم. به منظور تعمیم خطای نسبی نرمها برای تک تک اجزاء مطابق تعریف بابوشکا فرض می‌شود که درصد خطا به طور یکنواخت بین کلیه اجزاء توزیع شده است. پس خواهیم داشت [2]:

$$\|e^*\|^2 = \sum_{i=1}^m \|e_i^*\|^2 \quad (85-2)$$

$$\|e^*\|^2 = m \cdot \|e_i^*\|^2 \quad (86-2)$$

که در آن m تعداد اجزاء در کل ناحیه Ω می‌باشد.

$$h = \left[\frac{\|e^*\|^2}{\|u^*\|^2 + \|e^*\|^2} \right]^{\frac{1}{2}} = \left[\frac{m \cdot \|e_i^*\|^2}{\|u^*\|^2 + \|e^*\|^2} \right]^{\frac{1}{2}} \quad (87-2)$$

چنانچه خطای مجاز¹ را با $\|e^*\|_{per}$ نمایش دهیم، خواهیم داشت:

$$h = \hat{h} \Rightarrow \|e^*\|_i = \|e^*\|_{per} \quad (88-2)$$

$$\hat{h}^2 = \frac{m \|e^*\|_{per}^2}{\|u^*\|^2 + \|e^*\|^2} \quad (89-2)$$

$$\|e^*\|_{per} = \frac{\hat{h}}{\sqrt{m}} \left[\|u^*\|^2 + \|e^*\|^2 \right]^{\frac{1}{2}} \quad (90-2)$$

¹ Permissible

طبق تعریف شاخص x_i عبارت خواهد بود با:

$$x_i = \frac{\|e^*\|_i}{\|e\|_{per}} \quad (91-2)$$

بنابراین به عنوان یک معیار چنانچه $x_i < 1$ باشد، خطای جزء مورد نظر (iام) مورد قبول بوده و چنانچه $x_i > 1$ باشد، خطای جزء فوق بیش از مقدار مجاز خواهد بود.

فصل سوم

**روش بازیافت تنش و برآورد خطا در تحلیل
ایزوژنومتریک مسائل تنش- کرنش مسطح**

3-1- مقدمه

در این فصل به تشریح یک روش ابداعی جهت بهبود میدان تنش بدست آمده از روش ایزوژئومتریکی و تخمین خطای موجود در تحلیل مسائل تنش-کرنش مسطح پرداخته می‌شود. روش تخمین کننده خطایی که در اینجا به آن اشاره خواهد شد در دسته روشهای برآورد خطا، مبتنی بر بازیافت تنش (گرادیان) قرار می‌گیرد؛ که اولین بار توسط حسنی و همکاران در مقاله‌ای در سال 2012 معرفی شد [24].

در این روش، با استفاده از نقاط فوق‌همگرا، برای تابع مقادیر هریک از مؤلفه‌های میدان تنش در هر ناحیه، یک سطح فرضی ساخته می‌شود که دقت بیشتری نسبت به سطح تنش بدست آمده از تحلیل ایزوژئومتریکی دارد. به منظور تعریف این سطح از همان توابع شکل نربزی¹ استفاده می‌کنیم که در روش ایزوژئومتریکی برای تقریب زدن تابع جابجایی به کار گرفته می‌شوند. حسنی و همکاران، نشان دادند که تخمین کننده خطای پیشنهادی از کارایی مناسبی جهت برآورد خطای موجود در تحلیل مسائل تنش-کرنش مسطح به روش ایزوژئومتریکی برخوردار است [24]. اما از نکاتی که در این مقاله به آن اشاره نشده بود، دلیل فوق‌همگرا بودن نقاط گوسی در تحلیل ایزوژئومتریکی است و همچنین تعداد نقاط گوسی مناسب به عنوان نقاط بهینه تنش در تحلیل و برآورد خطای مسائل تنش-کرنش مسطح به روش ایزوژئومتریکی است.

در این فصل اثبات می‌شود که چرا نقاط گوسی همانند روش اجزای محدود، در تحلیل ایزوژئومتریکی نیز از خاصیت فوق‌همگرایی برخوردار می‌باشند. همچنین در این فصل به بررسی تعداد نقاط انتگرال-گیری گوسی به عنوان نقاط بهینه تنش، جهت بهبود حل و برآورد خطای تحلیل ایزوژئومتریکی پرداخته خواهد شد. بدین منظور به مدلسازی سه مسئله که دارای حل دقیق می‌باشند، پرداخته شده است و با مقایسه نرم خطای انرژی دقیق و تقریبی بدست آمده از 4، 9، 16، 25 و 36 نقطه گوسی، به

¹ Nurbs shape functions

بررسی تعداد نقاط بهینه تنش جهت بهبود حل و برآورد خطا تحلیل ایزوژئومتریکی پرداخته شده است.

در ادامه به صورت مختصر، به بیان مفاهیم اولیه که در تحلیل ایزوژئومتریکی مطرح است، پرداخته می‌شود.

3-2- روش ایزوژئومتریکی

با پیشرفت سریع علوم و تکنولوژی، روشهای عددی توسعه و تنوع چشمگیری یافته‌اند. از جمله جدیدترین این روشهای می‌توان روش ایزوژئومتریکی را نام برد. تحلیل ایزوژئومتریکی، بالقوه دارای ویژگی‌های منحصر به فرد و مناسبی است که شاید در آینده‌ای نه چندان دور بتواند جایگزین روشهای عددی متداول نظیر اجزای محدود و نقاط محدود گردد. وجود برخی معایب در روش اجزای محدود، از جمله وجود خطا در تعریف مرزهای مسائل با هندسه پیچیده و یا مسائل با تغییرات شدید در بارگذاری و خواص مصالح و نیز نیاز به تولید مکرر شبکه المانها در برخی مسائل، نظیر مسائلی که در چارچوب لاگرانژی حل می‌شوند و یا مسائل بهینه‌سازی شکل سازه، از جمله علل ابداع این روش می‌باشد. این روش برای اولین بار طی مقاله ای در سال 2005 توسط هیوز و همکارانش معرفی شد [25]. روش ایزوژئومتریکی دارای بعضی مفاهیم شبیه روش اجزای محدود و روشهای بدون مش می‌باشد که می‌تواند برای حل مسائل معادلات دیفرانسیل جزئی حاکم در حوزه‌های مختلف علوم و مهندسی، از جمله الاستیسیته، به کار رود. در این روش از تکنیکهای طراحی به کمک کامپیوتر¹ استفاده شده است. دلیل اینکه روشهای طراحی به کمک کامپیوتر تاکنون در روش اجزای محدود به صورت گسترده وارد نشده است مربوط به اختلاف زمانی، در پیدایش این دو نسبت به یکدیگر می‌باشد. آغاز پیدایش روشهای اجزای محدود در سالهای 1950 تا 1960 میلادی بوده است در حالی که روشهای طراحی به کمک کامپیوتر بعدها در حدود سالهای 1970 تا 1980 شکل گرفته‌اند [25].

¹ CAD(Computer Aided Design)

ایده‌ای که در این روش معرفی شده است بر اساس بی- اسپلاین‌های نسبی غیر یکنواخت¹ به وجود آمده است. در این روش ضمن استفاده از خواص توابع پایه اسپلاین و نربز در تعریف دقیق منحنی‌ها و سطوح، از آنها جهت درونیابی و تقریب سازی هم استفاده می‌شود. در چند سال اخیر، روش ایزوژئومتریکی به سرعت در زمینه‌های مختلفی توسعه داده شده است که می‌توان به موارد کاربردی همچون مراجع [26-32]، کاربرد آن در دینامیک سیالات [33-38]، مکانیک سازه‌ها [39-47] و الکترومغناطیس [48-49] اشاره نمود. همچنین در این زمینه یک کتاب به چاپ رسیده است که برای مطالعه بیشتر می‌توان به آن مراجعه کرد [50].

در ادامه جهت آشنایی بیشتر با مفاهیم روش ایزوژئومتریکی، به معرفی منحنی‌ها و سطوح بی-اسپلاین و نربز و همچنین فرمولبندی روش ایزوژئومتریکی در تحلیل مسائل تنش-کرنش مسطح پرداخته می‌شود.

3-2-1- بی - اسپلاین و نربز

در این بخش به طور خلاصه و در حد نیاز، به معرفی منحنی‌ها و سطوح بی- اسپلاین و نربز پرداخته می‌شود. برای آشنایی بیشتر، مراجعه به مراجع [51 و 52] پیشنهاد می‌شود.

نربزها از بی- اسپلاین‌ها ساخته می‌شوند. بی- اسپلاین‌ها در یک فضای پارامتری (ناحیه)² تعریف می‌شوند. نواحی مذکور دامنه مدلسازی شده را به چندین زیر دامنه تقسیم می‌کنند. یک بردار گرهی³ در فضای پارامتری یک بعدی از یک سری مختصات به صورت زیر تشکیل می‌شود [51].

$$\Xi = \{x_1, x_2, \dots, x_{n+p+1}\}, x_{i+1} \geq x_i \quad i = 1, 2, \dots, n+p+1 \quad (1-3)$$

که در آن x_i آامین گره، p مرتبه چند جمله ای و n تعداد توابع شکل تشکیل دهنده بی- اسپلاین به شمار می‌رود. انواع مختلفی از بردارهای گره ای وجود دارد ولی در این بحث فقط از نوع خاصی از

¹ Non-Uniform Rational B-splines(NURBS)

² Patch

³ Knot Vector

بردارهای گره ای بنام بردارهای گره ای نامتناوب¹ (یا باز)² استفاده می کنیم. این نوع بردارها به فرم زیر نشان داده می شوند:

$$\Xi = \left\{ a_{p+1}, \dots, a, x_{p+1}, \dots, x_{m-p-1}, b_{p+1} \right\} \quad (2-3)$$

در این صورت آمین تابع پایه ای بی اسپلاین از درجه p (مرتبه $p+1$) که با $N_{i,p}(x)$ نشان داده می شود بصورت زیر تعریف می شود [51]:

$$N_{i,0}(x) = \begin{cases} 1 & \text{if } x_i \leq x < x_{i+1} \\ 0 & \text{otherwise} \end{cases} \quad (3-3)$$

$$N_{i,p}(x) = \frac{x-x_i}{x_{i+1}-x_i} N_{i,p-1}(x) + \frac{x_{i+p+1}-x}{x_{i+p+1}-x_{i+1}} N_{i+1,p-1}(x)$$

با استفاده از تعاریف بالا، منحنی بی- اسپلاین از درجه P بصورت زیر تعریف می شود [51]:

$$C(x) = \sum_{i=0}^n N_{i,p}(x) P_i \quad a \leq x \leq b \quad (4-3)$$

$C(x)$ یک منحنی چند جمله ای قطعه ای³ است که در آن $\{P_i\}$ نقاط کنترلی و $\{N_{i,p}(x)\}$ توابع پایه ای بی-اسپلاین هستند، که روی بردار گره ای نامتناوبی بصورت رابطه (2-3) با فرض $a=0$ و $b=1$ تعریف می شوند.

اگر p درجه توابع پایه، $n+1$ تعداد نقاط کنترلی و $m+1$ تعداد گره ها باشند، آنگاه می توان رابطه $m=n+p+1$ را برای آنها نوشت.

به طرز مشابهی سطوح بی- اسپلاین بصورت زیر تعریف می شود [51]:

¹ Nonperiodic knot vector

² Open

³ Piecewise polynomial curve

$$S(\mathbf{x}, \mathbf{h}) = \sum_{i=0}^n \sum_{j=0}^m N_{i,p}(\mathbf{x}) N_{j,q}(\mathbf{h}) P_{i,j} \quad (5-3)$$

که در آن:

$$\Xi = \left\{ \underbrace{0, \dots, 0}_{p+1}, x_{p+1}, \dots, x_{r-p-1}, \underbrace{1, \dots, 1}_{p+1} \right\} ; \quad (6-3)$$

$$H = \left\{ \underbrace{0, \dots, 0}_{q+1}, h_{q+1}, \dots, h_{s-q-1}, \underbrace{1, \dots, 1}_{q+1} \right\}$$

بطوری که تعداد نقاط کنترلی در جهت x برابر $n+1$ و در جهت y برابر $m+1$ است و بردار گره‌ای Ξ دارای $r+1$ گره و H دارای $s+1$ گره می‌باشد.

یک منحنی نریز از درجه p بصورت زیر تعریف می‌شود [51]:

$$C(x) = \frac{\sum_{i=0}^n N_{i,p}(x) w_i P_i}{\sum_{i=0}^n N_{i,p}(x) w_i} \quad a \leq x \leq b \quad (7-3)$$

که در آن $\{P_i\}$ نقاط کنترلی، $\{w_i\}$ وزن‌ها و $\{N_{i,p}(x)\}$ توابع پایه‌ای بی-اسپلاین از درجه p هستند، که بر روی بردار گره‌ای بصورت رابطه (2-3) تعریف شده‌اند.

و در نهایت، یک سطح نریز که در جهت x از درجه p ، و در جهت h از درجه q باشد، بصورت زیر تعریف می‌شود [51]:

$$S(\mathbf{x}, \mathbf{h}) = \frac{\sum_{i=0}^n \sum_{j=0}^m N_{i,p}(\mathbf{x}) N_{j,q}(\mathbf{h}) w_{i,j} P_{i,j}}{\sum_{i=0}^n \sum_{j=0}^m N_{i,p}(\mathbf{x}) N_{j,q}(\mathbf{h}) w_{i,j}} \quad 0 \leq x, h \leq 1 \quad (8-3)$$

در عبارت فوق $\{P_{i,j}\}$ شبکه نقاط کنترلی می‌باشد که در دو جهت تعریف شده است؛ همچنین وزن‌ها و $\{w_{i,j}\}$ و $\{N_{i,p}(x)\}$ و $\{N_{j,q}(h)\}$ توابع پایه‌ای بی-اسپلاین هستند که بر روی بردارهای

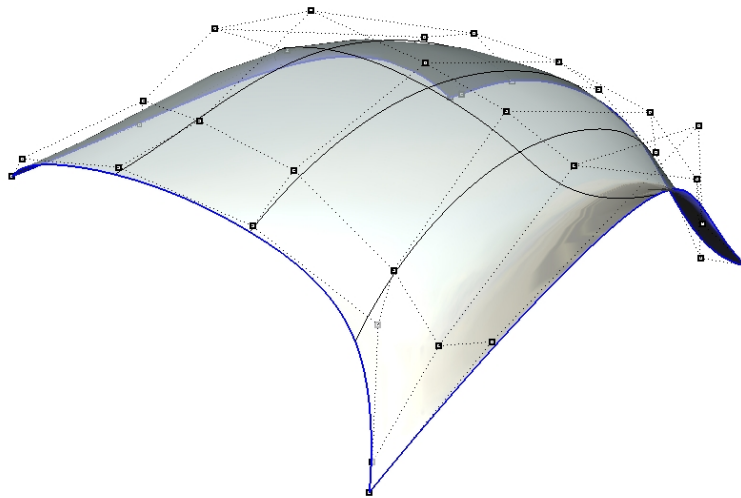
گره‌ای به صورت رابطه (6-3) تعریف شده‌اند. در رابطه (8-3) اگر توابع پایه‌ای نسبی قطعه‌ای را بصورت زیر تعریف کنیم:

$$R_{i,j}(x,h) = \frac{N_{i,p}(x)N_{j,q}(h)w_{i,j}}{\sum_{k=0}^n \sum_{l=0}^m N_{k,p}(x)N_{l,q}(h)w_{k,l}} \quad (9-3)$$

خواهیم داشت:

$$S(x,h) = \sum_{i=0}^n \sum_{j=0}^m R_{i,j}(x,h)P_{i,j} \quad (10-3)$$

در شکل 1-3 شبکه نقاط کنترلی و سطح نربز بدست آمده از آن با توابع پایه درجه دو مشاهده می‌شود.



شکل 1-3 شبکه نقاط کنترلی و سطح نربز مربوط به آن

3-2-2- فرمول‌بندی روش ایزوژئومتریک در مسائل تنش-کرنش مسطح

به منظور تحلیل یک محیط پیوسته در ایزوژئومتریک، باید آن محیط را به یک محیط گسسته تبدیل نمود، این عمل در روش ایزوژئومتریک با استفاده از نقاط کنترلی و بردار گرهی نربز صورت می‌پذیرد. همانطور که در بخش قبل اشاره شد، سطوح نربز از یکسری توابع پایه به همراه نقاط کنترلی و بردارهای گره‌ای تشکیل شده است. نقاط کنترلی تشکیل دهنده شبکه‌ای از نقاط هستند. یک رویه

نریز را در صورت معلوم بودن بردارهای گره‌ای، با مشخص نمودن نقاط کنترلی آن می‌توان تعریف نمود.

بطور کلی در روش ایزوژئومتریکی مقدار مجهول مسئله در حالت دوبعدی، (به طور مثال مولفه تغییر مکان جهت x) به عنوان یک سطح نریز، طوری تعیین می‌شود که ارتفاع سطح تشکیل شده از تراز مبنا در هر نقطه از دامنه بیان کننده مقدار مجهول مسئله در آن مکان باشد. در مسائل تنش و کرنش مسطح اگر نقاط کنترلی را طوری انتخاب کنیم که مولفه‌های اول و دوم مختصات این نقاط (P_x, P_y) ، بتوانند هندسه مسئله را برآورد کنند؛ در اینصورت مولفه سوم مختصات این نقاط (P_z) طوری محاسبه می‌شود که درونیایی بین این نقاط به وسیله توابع پایه‌ای نریز، نشان دهنده تغییر مکان آن نقطه باشد؛ در حقیقت می‌توان رویه‌ای تشکیل داد که تصویر آن روی صفحه xy نشان دهنده هندسه مسئله و ارتفاع رویه در هر نقطه (z) نسبت به صفحه xy نشان دهنده مجهول مسئله در آن نقطه (تغییر مکان) باشد.

اگر هر مولفه تغییر مکان در دامنه مسئله به صورت یک صفحه در نظر گرفته شود، در اینصورت با استفاده از مفهوم نریز می‌توان صفحه مربوط به هر مولفه تغییر مکان را در حالت دو بعدی به صورت زیر نمایش داد:

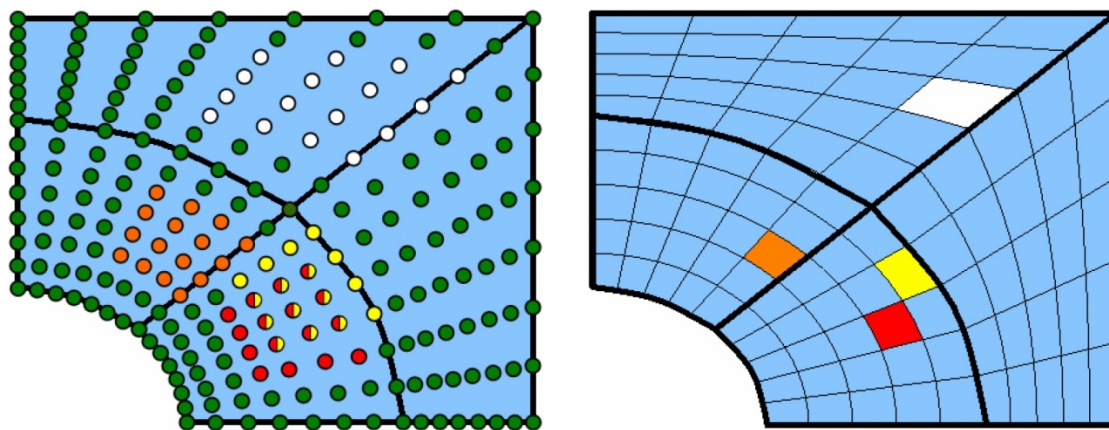
$$\mathbf{u} = \begin{Bmatrix} u(x, y) \\ v(x, y) \end{Bmatrix} \approx \hat{\mathbf{u}} = \sum_{j=0}^m \sum_{i=0}^n R_{i,j} P_{i,j} \quad (11-3)$$

در رابطه بالا $n+1$ تعداد نقاط کنترلی در جهت x و $m+1$ تعداد نقاط کنترلی در جهت y و $P_{i,j}$ مولفه‌های سوم مختصات نقاط کنترلی نریز در جهت u و v می‌باشد که به عنوان تنها پارامتر مجهول برای تعیین صفحه هر مولفه تغییر مکان به شمار می‌رود. $R_{i,j}$ ، توابع پایه‌ای نریز هستند که عملکردی شبیه توابع شکل در اجزای محدود دارند.

همچنین با در نظر گرفتن دستگاه مختصات نرمال $(0 \leq x, h \leq 1)$ داریم:

$$\hat{\mathbf{u}} = \begin{Bmatrix} \hat{u}(x, h) \\ \hat{v}(x, h) \end{Bmatrix} = \begin{Bmatrix} \sum_{i=0}^m \sum_{j=0}^n R_{i,j}(x, h) P_{u i, j} \\ \sum_{i=0}^m \sum_{j=0}^n R_{i,j}(x, h) P_{v i, j} \end{Bmatrix} \quad (12-3)$$

با توجه به خاصیت بازه تاثیر توابع نریز که بیان می‌کند برای هر x, h فقط تعداد محدودی از این توابع غیر صفر می‌باشند [51]، می‌توان برای کم کردن هزینه محاسبات کامپیوتر معادله (12-3) را به صورت زیر تغییر داد. بدین منظور اگر فرض کنیم x, h به ترتیب در دهانه‌های گره‌ای نام و زام قرار دارند (یعنی $x \in [x_i, x_{i+1})$ و $h \in [h_j, h_{j+1})$)، و درجه توابع پایه‌ای در جهت بردار گره‌ای Ξ ، p و در جهت بردار گره‌ای H ، q باشند، آنگاه فقط حداکثر $(p+1)(q+1)$ تابع پایه‌ای غیر صفر وجود خواهد داشت. در این صورت هر المان نریز تنها بر تعداد مشخصی از نقاط کنترلی پیرامون خود تاثیرگذار است. به طور مثال در شکل 2-3 شبکه المان‌ها و نقاط کنترلی دامنه مدلسازی شده با چهار وصله توسط توابع پایه نریز درجه سه نشان داده شده است. همان طور که مشاهده می‌شود هر المان نریز در بازه تاثیر خود دارای $16 = (3+1)(3+1)$ نقطه کنترلی می‌باشد.



ب) شبکه نقاط کنترلی

الف) شبکه المانها

شکل 2-3 نقاط کنترلی مورد تاثیر هر المان از دامنه مدلسازی شده با چهار وصله و توابع شکل نریز درجه سه

با توجه به خاصیت بازه تاثیر توابع نریز می‌توان معادله (12-3) را به شکل معادله (13-3) بیان نمود.

$$\hat{\mathbf{u}} = \begin{Bmatrix} u(\mathbf{x}, h) \\ v(\mathbf{x}, h) \end{Bmatrix} = \begin{Bmatrix} \sum_{k=i-p}^i \sum_{l=j-q}^j R_{k,l}(\mathbf{x}, h) \mathbf{P}_{u k,l} \\ \sum_{k=i-p}^i \sum_{l=j-q}^j R_{k,l}(\mathbf{x}, h) \mathbf{P}_{v k,l} \end{Bmatrix} \quad (13-3)$$

فرم ماتریسی رابطه (13-3) به صورت زیر می‌باشد:

$$\hat{\mathbf{u}} = \bar{\mathbf{R}} \bar{\mathbf{P}} \quad (14-3)$$

در رابطه بالا $\hat{\mathbf{u}}$ ماتریس ستونی تغییر مکان‌های جهت x و y ، $\bar{\mathbf{R}}$ ماتریس توابع پایه‌ای نسبی نرئز و $\bar{\mathbf{P}}$ ماتریس ستونی مولفه سوم نقاط کنترلی به صورت زیر می‌باشند:

$$\hat{\mathbf{u}}^{i,j} = [u_{i,j} \quad v_{i,j}]^T \quad (15-3)$$

$$\bar{\mathbf{R}} = \begin{bmatrix} R_{i-p,j-q}(\mathbf{x}, h) & 0 & \dots & R_{i-p,j}(\mathbf{x}, h) & 0 & \dots & R_{i,j}(\mathbf{x}, h) & 0 \\ 0 & R_{i-p,j-q}(\mathbf{x}, h) & \dots & 0 & R_{i-p,j}(\mathbf{x}, h) & \dots & 0 & R_{i,j}(\mathbf{x}, h) \end{bmatrix} \quad (16-3)$$

$$\bar{\mathbf{P}} = [P_{u i-p,j-q} \quad P_{v i-p,j-q} \quad \dots \quad P_{u i-p,j} \quad P_{v i-p,j} \quad \dots \quad P_{u i,j} \quad P_{v i,j}]^T \quad (17-3)$$

بعد از محاسبه تغییر مکانها، ماتریس کرنش به صورت زیر محاسبه می‌شود:

$$\boldsymbol{\varepsilon} = \mathbf{L} \mathbf{u} \quad (18-3)$$

در این رابطه \mathbf{u} بردار تغییر مکان و \mathbf{L} عملگر دیفرانسیل می‌باشد که برای مسائل دو بعدی تنش و کرنش مسطح بصورت زیر تعریف می‌شود:

$$\mathbf{L} = \begin{bmatrix} \frac{\partial}{\partial x} & 0 \\ 0 & \frac{\partial}{\partial y} \\ \frac{\partial}{\partial y} & \frac{\partial}{\partial x} \end{bmatrix} \quad (19-3)$$

با جایگذاری رابطه (14-3) ماتریس کرنش به صورت زیر محاسبه می‌شود:

$$\boldsymbol{\varepsilon} = \mathbf{B}\bar{\mathbf{P}} \quad (20-3)$$

که در آن $\mathbf{B} = \mathbf{L}\bar{\mathbf{R}}$ می‌باشد.

همچنین با فرض وجود رفتار خطی کشسان، رابطه بین تنش ها و کرنش ها خطی و بصورت زیر محاسبه می‌شود:

$$\boldsymbol{\sigma} = \mathbf{D}(\boldsymbol{\varepsilon} - \boldsymbol{\varepsilon}_0) + \boldsymbol{\sigma}_0 \quad (21-3)$$

در رابطه (21-3) تنش پسماند، $\boldsymbol{\varepsilon}_0$ کرنش اولیه و \mathbf{D} ماتریس کشسانی است که به طور مثال برای مسائل تنش مسطح به صورت زیر می‌باشد:

$$\mathbf{D} = \frac{E}{1-n^2} \begin{bmatrix} 1 & n & 0 \\ n & 1 & 0 \\ 0 & 0 & (1-n)/2 \end{bmatrix} \quad (22-3)$$

همانند روش اجزای محدود می‌توان با استفاده از رهیافت کار مجازی و یا انرژی پتانسیل به تشکیل ماتریس سختی پرداخت که در ادامه با استفاده از روش کار مجازی ماتریس سختی در تحلیل ایزوژئومتریک استخراج می‌شود.

در صورتی که Γ مرزهای مسئله مورد نظر با دامنه Ω ، نیروهای کالبدی و \mathbf{t} نیروهای سطحی باشد، با استفاده از روش کار مجازی داریم:

$$\int_{\Omega} d\boldsymbol{\varepsilon}^T \boldsymbol{\sigma} d\Omega - \int_{\Omega} d\mathbf{u}^T \mathbf{b} d\Omega - \int_{\Gamma} d\mathbf{u}^T \mathbf{t} d\Gamma = 0 \quad (23-3)$$

با جایگذاری روابط (14-3) و (20-3) داریم:

$$\int_{\Omega} d\bar{\mathbf{P}}^T \mathbf{B}^T \boldsymbol{\sigma} d\Omega - \int_{\Omega} d\bar{\mathbf{P}}^T \bar{\mathbf{R}}^T \mathbf{b} d\Omega - \int_{\Gamma} d\bar{\mathbf{P}}^T \bar{\mathbf{R}}^T \mathbf{t} d\Gamma = 0 \quad (24-3)$$

همچنین با حذف $d\bar{\mathbf{P}}$ و استفاده از رابطه (21-3) خواهیم داشت:

$$\int_{\Omega} \mathbf{B}^T \mathbf{D} \boldsymbol{\varepsilon} d\Omega - \int_{\Omega} \mathbf{B}^T \mathbf{D} \boldsymbol{\varepsilon}_0 d\Omega + \int_{\Omega} \mathbf{B}^T \boldsymbol{\sigma}_0 d\Omega - \int_{\Omega} \bar{\mathbf{R}}^T \mathbf{b} d\Omega - \int_{\Gamma} \bar{\mathbf{R}}^T \mathbf{t} d\Gamma = 0 \quad (25-3)$$

و با جایگذاری رابطه (20-3) داریم:

$$\int_{\Omega} \mathbf{B}^T \mathbf{D} \mathbf{B} \bar{\mathbf{P}} d\Omega - \int_{\Omega} \mathbf{B}^T \mathbf{D} \boldsymbol{\varepsilon}_0 d\Omega + \int_{\Omega} \mathbf{B}^T \boldsymbol{\sigma}_0 d\Omega - \int_{\Omega} \bar{\mathbf{R}}^T \mathbf{b} d\Omega - \int_{\Gamma} \bar{\mathbf{R}}^T \mathbf{t} d\Gamma = 0 \quad (26-3)$$

در صورت عدم وجود تنش و کرنش اولیه رابطه (26-3) به صورت زیر نوشته می‌شود:

$$\mathbf{K} \mathbf{U} = \mathbf{F} \quad (27-3)$$

که در آن \mathbf{K} ماتریس ضرایب (سختی)، \mathbf{U} مجهولات مسئله (مختصات سوم نقاط کنترلی) و \mathbf{F} نیروهای خارجی وارده بر زیر دامنه می‌باشند؛ که بصورت زیر تعریف می‌شوند:

$$\mathbf{K} = \int_{\Omega} \mathbf{B}^T \mathbf{D} \mathbf{B} d\Omega \quad (28-3)$$

$$\mathbf{F} = \int_{\Omega} \bar{\mathbf{R}}^T \mathbf{b} d\Omega + \int_{\Gamma} \bar{\mathbf{R}}^T \mathbf{t} d\Gamma \quad (29-3)$$

و در نهایت با حل دستگاه معادلات (27-3) مجهولات مسئله (مختصات سوم نقاط کنترلی) محاسبه می‌شوند. باید توجه داشت که یکی از تفاوت‌های روش ایزوژئومتریک با اجزای محدود این است که بردار مجهولات بدست آمده در روش ایزوژئومتریک، تغییر مکان سازه نیست بلکه مکان نقاط کنترلی مولفه-های جابجایی است که ممکن است این نقاط بر سازه منطبق نباشند و در نتیجه تغییر مکان سازه را نخواهند داد. با مشخص شدن مختصات سوم نقاط کنترلی برای هر مولفه جابجایی، تغییر مکان سازه به صورت یک سطح نرئز با استفاده از رابطه (8-3) بدست می‌آید.

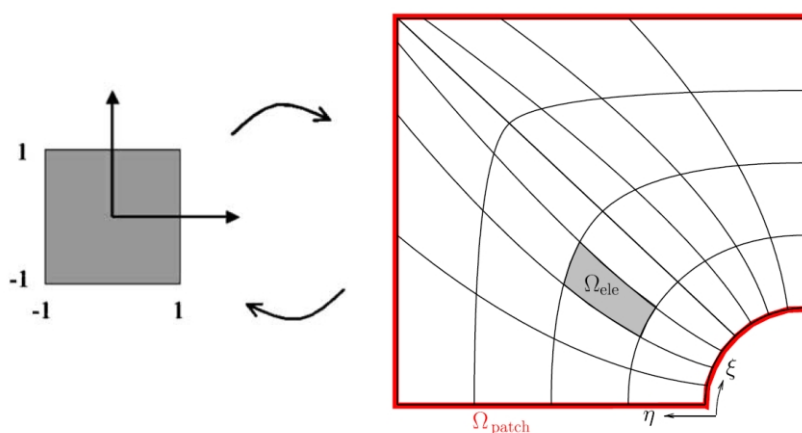
در روش ایزوژئومتریک از توابع شکل مشابهی برای تقریب هندسه و تحلیل مسئله استفاده می‌شود. در این صورت، نقاط کنترلی و بردار گرهی یکسانی برای مدلسازی هندسی مسئله و همچنین تقریب تابع مجهول به کار می‌رود. بنابراین هندسه مسئله نیز به صورت زیر تعریف می‌شود:

$$x(\mathbf{x}, h) = \sum_{i=0}^n \sum_{j=0}^m R_{i,j}(\mathbf{x}, h) P_{xi,j} \quad (30-3)$$

$$y(\mathbf{x}, h) = \sum_{i=0}^n \sum_{j=0}^m R_{i,j}(\mathbf{x}, h) P_{yi,j}$$

که در آن x, h مولفه‌های مختصات نرمال هستند ($0 \leq x, h \leq 1$)، و $P_{xi,j}$ ، $P_{yi,j}$ به ترتیب اولین و دومین مؤلفه‌های مختصات نقاط کنترلی می‌باشند.

در این روش برای حل عددی انتگرال ماتریس سختی از روش انتگرال گیری گوس استفاده می‌شود. بدین منظور نیاز به المان بندی دامنه مسئله داریم، تا بتوانیم از نقاط گوس و وزن‌های ارائه شده برای المان‌های چهارضلعی استفاده کنیم. عمل المان بندی در ایزوژئومتریک با استفاده از دهانه‌های گره‌ای نریز انجام می‌پذیرد. بطوری که هر زیر مجموعه بصورت $[h_i, h_{i+1}] \times [x_i, x_{i+1}]$ یک المان نریز نامیده می‌شود. در شکل 3-3 نمونه‌ای از این المان بندی نشان داده شده است.



شکل 3-3 المان‌های ساخته شده به وسیله دهانه‌های گره‌ای نریز [25]

مطابق رابطه (3-28) ماتریس سختی هر زیر دامنه بصورت زیر ارائه می‌شود:

$$K_{patch} = \iint_{\Omega_{patch}} \mathbf{B}^T(\mathbf{x}, h) \mathbf{D} \mathbf{B}(\mathbf{x}, h) d\Omega \quad (31-3)$$

که در آن $\mathbf{B}(\mathbf{x}, h)$ برای مسائل تنش و کرنش مسطح بصورت زیر تعریف می‌شود:

$$B = L\bar{R} = \begin{bmatrix} \frac{\partial}{\partial x} & 0 \\ 0 & \frac{\partial}{\partial y} \\ \frac{\partial}{\partial y} & \frac{\partial}{\partial x} \end{bmatrix} \quad (32-3)$$

بنابراین برای حل انتگرال ماتریس سختی به مشتقات R نسبت به x, y در دستگاه مختصات کلی نیاز داریم؛ که برای ارتباط بین دستگاه مختصات کلی و فضای پارامتری نربز، ژاکوبین زیر را تعریف می‌کنیم:

$$J_1 = \begin{bmatrix} \frac{\partial x}{\partial h} & \frac{\partial y}{\partial h} \\ \frac{\partial x}{\partial h} & \frac{\partial y}{\partial h} \end{bmatrix} \quad (33-3)$$

بنابراین داریم:

$$\begin{Bmatrix} \frac{\partial R}{\partial x} \\ \frac{\partial R}{\partial y} \end{Bmatrix} = J_1^{-1} \begin{Bmatrix} \frac{\partial R}{\partial x} \\ \frac{\partial R}{\partial h} \end{Bmatrix} \quad (34-3)$$

که در آن $\frac{\partial R}{\partial x}$ و $\frac{\partial R}{\partial h}$ مشتقات جزئی توابع پایه‌ای نربز می‌باشند. بنابراین می‌توان رابطه (31-3) را بصورت زیر نوشت:

$$K_{patch} = \iint_{\Omega_{patch}} B^T(x, h) D B(x, h) \det J_1 dx dh \quad (35-3)$$

در اینصورت نیاز به مقدار تابع داخل انتگرال در نقاط گوس می‌باشد. در المان‌های چهار ضلعی نقاط گوس در دستگاه مختصات نرمان یا سرندیپیتی¹ مشخص شده است، بنابراین نیاز به یک نگاشت

¹- Serendipity coordinate

می‌باشد که مختصات نقاط ارائه شده در دستگاه سرنديپیتی المان نام را به دستگاه مختصات نرمال زیردامنه نریز (\mathbf{x}, \mathbf{h}) منتقل کند. این نگاشت در انتگرال‌گیری باعث ایجاد ژاکوبینی بصورت زیر می‌شود:

$$\mathbf{J}_2 = \begin{bmatrix} \frac{\partial \mathbf{x}}{\partial r} & \frac{\partial \mathbf{h}}{\partial r} \\ \frac{\partial \mathbf{x}}{\partial s} & \frac{\partial \mathbf{h}}{\partial s} \end{bmatrix}, \quad d\mathbf{x}d\mathbf{h} = \mathbf{J}_2 drds \quad (36-3)$$

که در آن:

$$\begin{aligned} \frac{\partial \mathbf{x}}{\partial r} &= \frac{1}{2}(\mathbf{x}_{i+1} - \mathbf{x}_i), & \frac{\partial \mathbf{h}}{\partial r} &= 0 \\ \frac{\partial \mathbf{x}}{\partial s} &= 0, & \frac{\partial \mathbf{h}}{\partial s} &= \frac{1}{2}(\mathbf{h}_{i+1} - \mathbf{h}_i) \end{aligned} \quad (37-3)$$

بنابراین رابطه ماتریس سختی (35-3) به فرم نهایی زیر در دستگاه مختصات سرنديپیتی المان نوشته می‌شود:

$$\mathbf{K}_{patch} = \int_{-1}^1 \int_{-1}^1 \mathbf{B}^T(r, s) \mathbf{D} \mathbf{B}(r, s) \det \mathbf{J}_1 \det \mathbf{J}_2 drds \quad (38-3)$$

و در نهایت انتگرال ماتریس سختی به روش گوس به صورت زیر محاسبه می‌شود.

$$\mathbf{K}_{patch} = \sum_{j=1}^m \sum_{i=1}^n \mathbf{B}^T(r, s) \mathbf{D} \mathbf{B}(r, s) \det \mathbf{J}_1 \det \mathbf{J}_2 w_i \cdot w_j \quad (39-3)$$

که در آن m و n تعداد نقاط گوس در جهت r و s در هر المان و $w_i \cdot w_j$ وزن نقاط گوس می‌باشد.

3-3- تشریح روش برآورد خطای مسائل تنش- کرنش مسطح، بر مبنای استفاده از

نقاط فوق همگرای گوسی

به طور کلی در این روش، میدان تنش بهبود یافته برای هر مولفه تنش در هر ناحیه به صورت یک سطح فرضی در نظر گرفته می‌شود. این سطح فرضی با استفاده از توابع شکل نریزی که برای تخمین

تابع مجهول (جابجایی) استفاده شده اند، بدست می‌آید. یک سطح نرئز زمانی بدست خواهد آمد که مختصات نقاط کنترلی آن مشخص شده باشد. با تعریف مختصات x و y هر نقطه کنترلی توسط کاربر جهت مدلسازی شکل هندسی، تنها مولفه مجهول جهت تعیین سطح بهبود یافته تنش، مولفه Z نقطه کنترلی می باشد. نحوه محاسبه مختصات Z نقاط کنترلی به نحوی است که سطح تنش جدید بدست آمده نسبت به سطح تنش قبلی که از تحلیل ایزوژئومتریک است، به یک سطح تنش بهبود یافته تبدیل می شود.

اساس محاسبه مختصات نقاط کنترلی و در نتیجه بدست آوردن سطح تنش بهبود یافته برگرفته از خاصیت نقاطی است که در آنها تنش بدست آمده از تحلیل تقریبی نسبت به سایر نقاط از دقت بیشتری برخوردار می باشد. در این نقاط مرتبه همگرایی گرادیان یک تابع، یک مرتبه از مقداری که از تقریب تابع شکل مربوط به حل تقریبی انتظار می رود، بالاتر است. به همین دلیل به این نقاط، نقاط فوق همگرا گفته می شود که اولین بار در روش اجزای محدود توسط بارلو مطرح شده است [2].

در بخش بعد اثبات می‌شود که در تحلیل ایزوژئومتریک دو بعدی که دامنه مسئله با توجه به آرایش نقاط گرهی به المانهای چهار ضلعی تقسیم می شود، این نقاط فوق همگرا بر نقاط گوسی المان منطبق هستند. مختصات نقاط کنترلی سطح بهینه تنش با مینیمم کردن فاصله بین این سطح فرضی و سطح تنش بدست آمده از حل ایزوژئومتریک در نقاط گوس المانهای هر ناحیه با استفاده از روش حداقل مجموع مربعات محاسبه می شود.

در صورتی که سطح بازیافتی (بهینه) هریک از مؤلفه‌های بردار تنش را با σ^* نشان دهیم، با توجه به توابع شکل نرئز می توان این سطح را در داخل هر ناحیه به صورت زیر بیان نمود:

$$\sigma^* = \sum_{i=1}^m \sum_{j=1}^n R_{i,j}(u,v) P_{i,j} \quad (40-3)$$

که در آن n تعداد نقاط کنترلی در جهت y و m تعداد نقاط کنترلی در جهت x هر ناحیه، $R_{i,j}$ توابع شکل نرئز و $P_{i,j}$ مختصات نقاط کنترلی مربوط به صفحه تنش می باشد. در صورتی که \mathbf{R} و \mathbf{P} را به

ترتیب بردار توابع شکل نریز و بردار مختصات نقاط کنترلی، به صورت روابط (3-41) و (3-42) تعریف کنیم، رابطه (3-40) را می‌توان به صورت (3-43) بیان نمود.

$$\mathbf{R} = [R_{1,1}, R_{1,2}, \dots, R_{1,n}, R_{2,1}, R_{2,2}, \dots, R_{2,n}, \dots, R_{m,n}]^T \quad (41-3)$$

$$\mathbf{P} = [P_{1,1}, P_{1,2}, \dots, P_{1,n}, P_{2,1}, P_{2,2}, \dots, P_{2,n}, \dots, P_{m,n}]^T \quad (42-3)$$

$$\boldsymbol{\sigma}^* = \mathbf{R}^T \mathbf{P} \quad (43-3)$$

همان طور که مشاهده می‌شود، تنها پارامتر مجهول جهت تعیین این سطح، مختصات z نقاط کنترلی (بردار \mathbf{P}) می‌باشد. برای تعیین این مقادیر، مجموع مربعات اختلاف تنش بین مقدار بدست آمده از تحلیل ایزوژئومتریکی و تنش بهبود یافته را در نقاط گوس مینیمم می‌کنیم. برای این منظور تابع $F(\mathbf{P})$ را به صورت زیر تعریف می‌کنیم:

$$F(\mathbf{P}) = \sum_{j=1}^{k_y} \sum_{i=1}^{k_x} (\sigma_{i,j}^* - \bar{\sigma}_{i,j})^2 \quad (44-3)$$

که در آن $\bar{\sigma}$ تنش بدست آمده از تحلیل ایزوژئومتریکی و k_x و k_y به ترتیب تعداد نقاط گوس در جهت‌های x و y موجود در هر ناحیه می‌باشد. با جایگذاری رابطه (3-43) در (3-44) خواهیم داشت:

$$F(\mathbf{P}) = \sum_{l=1}^K (\mathbf{R}_l^T \mathbf{P} - \bar{\sigma}_l)^2 \quad (45-3)$$

که در آن K تعداد نقاط گوس موجود در هر ناحیه می‌باشد. در نهایت با مشتق‌گیری از تابع $F(\mathbf{P})$ نسبت به مؤلفه‌های z نقاط کنترلی و مساوی صفر قرار دادن آن مختصات نقاط کنترلی صفحه تنش بهبود یافته بدست می‌آید.

$$\frac{\partial F(\mathbf{P})}{\partial P_{i,j}} = 0 \Rightarrow \mathbf{AP} = \mathbf{B} \Rightarrow \mathbf{P} = \mathbf{A}^{-1} \mathbf{B} \quad (46-3)$$

که در آن ماتریسهای \mathbf{A} و \mathbf{B} به صورت (47-3) محاسبه می‌شوند.

$$\mathbf{A} = \sum_{i=1}^K \mathbf{R}_i \mathbf{R}_i^T \quad ; \quad \mathbf{B} = \sum_{i=1}^K \mathbf{R}_i \bar{\sigma}_i \quad (47-3)$$

با داشتن مختصات نقاط کنترلی، سطح تنش مربوط به آن نیز بدست می‌آید. همانگونه که در مرجع [24] نشان داده شده است، این میدان مؤلفه تنش نسبت به سطح تنش بدست آمده از روش ایزوژئومتریکی دقیق تر می‌باشد و از این رو می‌تواند به عنوان یک تخمین کننده بالقوه خطا برای تحلیل ایزوژئومتریکی به کار رود. روش کار این تخمین کننده خطا بدین صورت است که با در نظر گرفتن اختلاف بین سطح تنش بازیافتی و سطح تنش بدست آمده از تحلیل ایزوژئومتریکی برای هر المان، به صورت تقریبی به یک معیاری جهت تعیین میزان خطای موجود در آن المان دست پیدا کرد. در مرحله بعد می‌توان به حل تطبیقی مسئله پرداخت. بدین منظور با افزایش نقاط در بردارگرهی و یا افزایش نقاط کنترلی در اطراف المانی که دارای خطایی بیش از حد تعیین شده توسط کاربر است، می‌توان به بهبود محلی شبکه اولیه پرداخت و با توجه به شبکه جدید تحلیل ایزوژئومتریکی دوباره انجام می‌پذیرد و این روند تا حصول دقت مورد نیاز کاربر ادامه خواهد یافت.

3-3-1- دلیل دقت بیشتر تنش، در نقاط گوسی تحلیل ایزوژئومتریکی

فوق همگرا بودن تنش در نقاط گوس به این دلیل است که تنش بدست آمده از حل ایزوژئومتریکی با توجه به رابطه سازی آن (مینیمم کردن تابع پتانسیل) معادل این است که به کمک روش حداقل مربعات بهترین سطح تنش را از مقدار دقیق تنش در نقاط گوسی عبور دهیم. اثبات این موضوع به شرح زیر است.

معادله دیفرانسیل مربوط به یک مسئله الاستیسیته خطی با شرایط مرزی معلوم به صورت زیر می‌باشد:

$$\mathbf{L}\mathbf{u} - \mathbf{b} \equiv \mathbf{B}^T \mathbf{D}\mathbf{B}\mathbf{u} - \mathbf{b} = 0 \quad \text{on } \Omega \quad (48-3)$$

که \mathbf{L} معرف عملگر دیفرانسیل خطی، \mathbf{B} عملگر دیفرانسیل کرنش، \mathbf{D} ماتریس الاستیسیته و \mathbf{u} مقدار مجهول مسئله (جابجایی) می‌باشد. در روش ایزوژئومتریک جواب دقیق مسئله (\mathbf{u}) همانطور که در رابطه (12-3) بیان شد به کمک روابط زیر تقریب زده می‌شود.

$$\mathbf{u} = \begin{Bmatrix} u(x, y) \\ v(x, y) \end{Bmatrix} \approx \hat{\mathbf{u}} = \begin{Bmatrix} \hat{u}(x, h) \\ \hat{v}(x, h) \end{Bmatrix} = \begin{Bmatrix} \sum_{i=0}^n \sum_{j=0}^m R_{i,j} \mathbf{P}_{u i,j} \\ \sum_{i=0}^n \sum_{j=0}^m R_{i,j} \mathbf{P}_{v i,j} \end{Bmatrix} \quad (49-3)$$

در رابطه بالا $\mathbf{P}_{u i,j}$ و $\mathbf{P}_{v i,j}$ به ترتیب بردار مولفه‌های سوم مختصات نقاط کنترلی نربز در جهت \mathbf{u} و \mathbf{v} می‌باشند که به عنوان تنها پارامتر مجهول برای تعیین صفحه هر مولفه تغییر مکان به شمار می‌رود. فرم ماتریسی رابطه (48-3) به صورت زیر می‌باشد:

$$\hat{\mathbf{u}} = \bar{\mathbf{R}} \bar{\mathbf{P}} \quad (50-3)$$

در رابطه بالا $\hat{\mathbf{u}}$ ماتریس ستونی تغییر مکان‌های جهت x و y ، $\bar{\mathbf{R}}$ ماتریس توابع پایه‌ای نسبی نربز و $\bar{\mathbf{P}}$ ماتریس ستونی نقاط کنترلی می‌باشد. در اینصورت ماتریس کرنش و تنش به صورت روابط (3-50) و (3-51) بیان می‌شوند.

$$\boldsymbol{\varepsilon} = \mathbf{L}\hat{\mathbf{u}} \quad (51-3)$$

$$\boldsymbol{\sigma} = \mathbf{D}\boldsymbol{\varepsilon} = \mathbf{D}\mathbf{L}\hat{\mathbf{u}} = \mathbf{D}\mathbf{B}\bar{\mathbf{P}} \quad (52-3)$$

که در آن $\mathbf{B} = \mathbf{L}\bar{\mathbf{R}}$ می‌باشد.

حل تقریبی به روش ایزوژئومتریک با جایگذاری مقدار $\hat{\mathbf{u}}$ در تابع¹ انرژی پتانسیل و مینیمم کردن

¹ Functional

آن بدست می‌آید. این بدان معنی است که مختصات نقاط کنترلی ($\bar{\mathbf{P}}$) به نحوی محاسبه می‌شوند که تابع انرژی پتانسیل را مینیمم سازند. تابع انرژی پتانسیل در مسائل الاستیسیته با توجه به رابطه (48-3) در مقدار دقیق جابجایی \mathbf{u} به صورت زیر بیان می‌شود:

$$\Pi = \frac{1}{2} \int_{\Omega} (\mathbf{B}\mathbf{u})^T \mathbf{D}\mathbf{B}\mathbf{u} d\Omega - \int_{\Omega} \mathbf{u}^T \mathbf{b} \quad (53-3)$$

در ادامه اثبات خواهد شد که مینیمم کردن این تابع معادل است با مینیمم کردن تابع Π^* که به صورت رابطه (54-3) تعریف می‌شود.

$$\Pi^* = \frac{1}{2} \int_{\Omega} (\mathbf{B}(\mathbf{u} - \hat{\mathbf{u}}))^T \mathbf{D}\mathbf{B}(\mathbf{u} - \hat{\mathbf{u}}) d\Omega \quad (54-3)$$

مینیمم کردن تابع Π^* به معنی این است که فاصله بین سطوح دقیق و تقریبی تنش یعنی $(\mathbf{D}\mathbf{B}\mathbf{u} - \mathbf{D}\mathbf{B}\hat{\mathbf{u}})$ حداقل شود که این امر منجر به عبور بهترین سطح تنش از نقاط دقیق تنش معادله دیفرانسیل حاکم بر مسئله به کمک روش حداقل مربعات می‌شود. این نقاط دقیق تنش با توجه به حل انتگرال رابطه (54-3) به روش عددی گوس، همان نقاط گوسی می‌باشند. به زبانی ساده تر می‌توان اینطور بیان نمود که روند بدست آوردن تابع جابجایی در روش ایزوژئومتریک معادل است با تولید بهترین سطح تنش به نحوی که فاصله این سطح تنش در نقاط گوس از سطح تنش دقیق حداقل باشد. در اینصورت می‌توان بیان نمود که تنش بدست آمده در نقاط گوس نسبت به دیگر نقاط سطح تنش بدست آمده از حل ایزوژئومتریک، به تنش دقیق نزدیکتر است و از دقت بالاتری برخوردار می‌باشد.

در ادامه اثبات می‌شود که چگونه مینیمم کردن تابع Π با مینیمم کردن Π^* معادل است. بدین منظور نمو¹ تابع Π در مقدار مشخص $\hat{\mathbf{u}}$ به صورت زیر بیان می‌شود.

¹ variation

$$d\Pi = \frac{1}{2} \int_{\Omega} (\mathbf{B}d\mathbf{u})^T \mathbf{D}\mathbf{B}\hat{\mathbf{u}}d\Omega + \frac{1}{2} \int_{\Omega} (\mathbf{B}\hat{\mathbf{u}})^T \mathbf{D}\mathbf{B}d\mathbf{u}d\Omega - \int_{\Omega} d\mathbf{u}^T \mathbf{b}d\Omega = 0 \quad (55-3)$$

به دلیل متقارن بودن ماتریس الاستیسیته \mathbf{D} می توان رابطه (55-3) را به صورت زیر بیان نمود.

$$d\Pi = \int_{\Omega} (\mathbf{B}d\mathbf{u})^T \mathbf{D}\mathbf{B}\hat{\mathbf{u}}d\Omega - \int_{\Omega} d\mathbf{u}^T \mathbf{b}d\Omega = 0 \quad (56-3)$$

با توجه به اینکه نمو $d\mathbf{u}$ می تواند هر مقداری داشته باشد در نتیجه $d\mathbf{u} = \mathbf{u}$ در نظر می گیریم، در اینصورت خواهیم داشت:

$$\int_{\Omega} (\mathbf{B}\mathbf{u})^T \mathbf{D}\mathbf{B}\hat{\mathbf{u}}d\Omega - \int_{\Omega} \mathbf{u}^T \mathbf{b}d\Omega = 0 \quad (57-3)$$

با کمک کردن رابطه (57-3) از رابطه (53-3) و با توجه به متقارن بودن ماتریس \mathbf{D} خواهیم داشت:

$$\Pi = \frac{1}{2} \int_{\Omega} (\mathbf{B}(\mathbf{u} - \hat{\mathbf{u}}))^T \mathbf{D}\mathbf{B}(\mathbf{u} - \hat{\mathbf{u}})d\Omega - \frac{1}{2} \int_{\Omega} (\mathbf{B}\hat{\mathbf{u}})^T \mathbf{D}\mathbf{B}\hat{\mathbf{u}}d\Omega = 0 \quad (58-3)$$

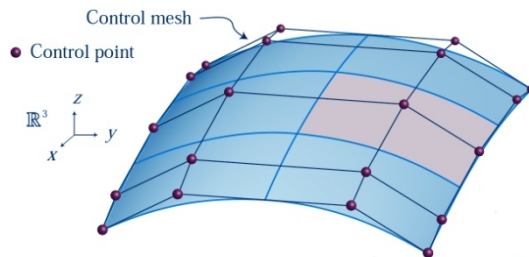
در اینصورت با توجه به رابطه (58-3) و (54-3) خواهیم داشت:

$$\Pi^* = \Pi + \text{constant} \quad (59-3)$$

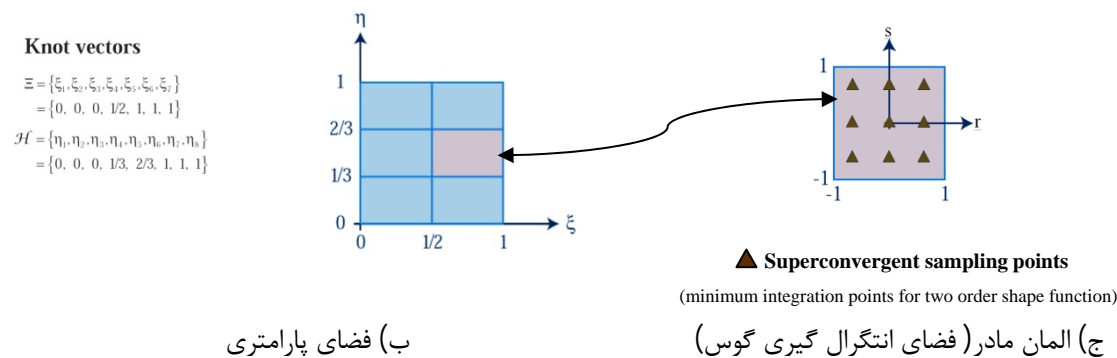
در نتیجه مینیمم کردن Π^* معادل با ایستا کردن تابع پتانسیل Π در مسائل الاستیسیته می باشد. بر این اساس می توان بیان کرد که در صورتی که p درجه چند جمله ای مورد استفاده برای تابع مجهول \mathbf{u} باشد درجه میدان گرادیان مسئله $p-1$ خواهد شد اما تنش بدست آمده در نقاط انتگرال گیری گوس هم مرتبه با تابع مجهول \mathbf{u} و برابر p خواهد بود که به همین دلیل به این نقاط، نقاط فوق همگرا گفته می شود.

در تحلیل دو بعدی مسائل به کمک روش ایزوژئومتریک با توجه به اینکه انتگرال گیری بر روی یک المان مادر چهار ضلعی صورت می پذیرد نقاط فوق همگرا مطابق با نقاط گوسی مورد نیاز یک المان

مربعی جهت انتگرال گیری عددی می‌باشند (شکل 3-4). لازم به ذکر است که در تحلیل ایزوژئومتریک حداقل تعداد نقاط مورد نیاز جهت انتگرال گیری عددی به روش گوس با توجه به مرتبه توابع شکل از مورد مشابه آن در اجزای محدود بیشتر است [53].



الف) فضای فیزیکی که از یک وصله (patch) تشکیل شده است



شکل 3-4 نقاط فوق همگرا در روش ایزوژئومتریک

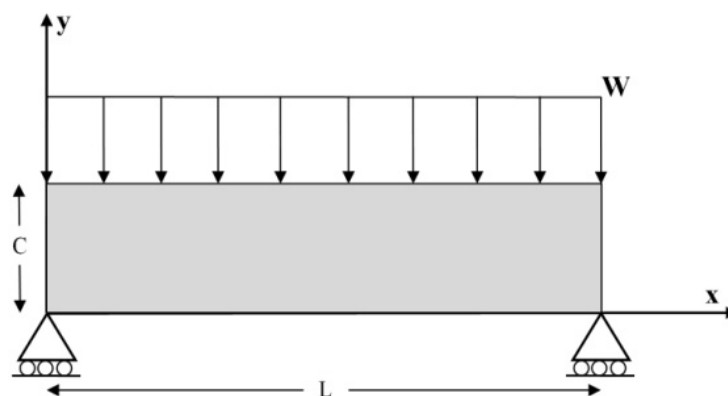
در ادامه، جهت نمایش کارایی روش بازیافت تنش و کاربرد نقاط فوق همگرا در تولید سطح تنش بهبود یافته، به بیان نتایج گرفته شده از تحلیل سه مثال نمونه دارای حل تحلیلی پرداخته شده است. تیر دوسر مفصل تحت بار گسترده، تیر طره دایره‌ای شکل و صفحه دایره‌ای تحت بار متمرکز فشاری سه مثال حل شده در این بخش می‌باشند. همچنین مکان بهینه نقاط فوق همگرای تنش با توجه به مرتبه توابع شکل مورد استفاده در تحلیل ایزوژئومتریک مورد بررسی قرار گرفته است. بدین منظور، نرم خطای انرژی دقیق و تقریبی کل دامنه با چهار، نه، شانزده، بیست پنج و سی شش نقطه گوسی برای سه مثال حل شده در این بخش محاسبه شده و با توجه به آن، تعداد نقاط بهینه انتگرال گیری گوسی جهت بازیافت تنش و برآورد خطای تحلیل ایزوژئومتریک معرفی شده است.

3-4- تیر دو سر مفصل تحت بار گسترده

در این بخش به مدلسازی یک تیر الاستیک خطی ایزوتروپیک دو سر مفصل تحت بار گسترده در شرایط تنش مستوی توسط تحلیل ایزوژئومتریکی و بازیابی تنش های آن پرداخته می شود (شکل 3-5).

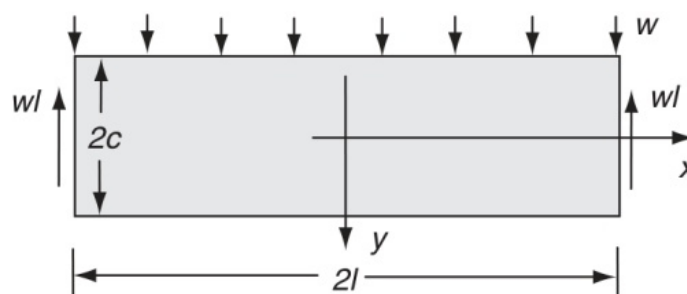
پارامترهای به کار برده شده در مدلسازی و تحلیل این مثال به صورت زیر می باشد:

$$L = 10, \quad C = 2, \quad W = 11, \quad E = 1500, \quad n = 0.25$$



شکل 3-5 تیر دوسر مفصل تحت بار گسترده

تنشهای دقیق این مسئله با توجه به پارامترهای تعریف شده در شکل 3-6 به صورت روابط (3-60) تا (3-62) در نظر گرفته شده است [54].



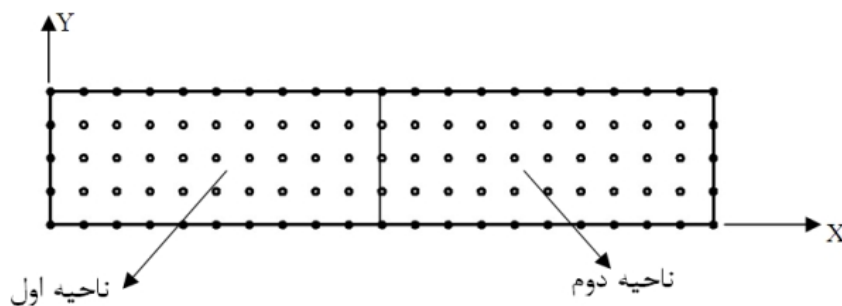
شکل 3-6 پارامترهای تعریف شده در حل تحلیلی تیر دوسر مفصل تحت بار گسترده [54]

$$s_x = \frac{3w}{4c} \left(\frac{l^2}{c^2} - \frac{2}{5} \right) y - \frac{3w}{4c^3} \left(x^2 y - \frac{2}{3} y^3 \right) \quad (60-3)$$

$$s_y = -\frac{w}{2} + \frac{3w}{4c}y - \frac{w}{4c^3}y^3 \quad (61-3)$$

$$t_{xy} = -\frac{3w}{4c}x + \frac{3w}{4c^3}xy^2 \quad (62-3)$$

برای مدلسازی و تحلیل این تیر به روش ایزوژئومتریکی از 105 نقطه کنترلی و دو ناحیه مشابه استفاده شده است (شکل 7-3).



شکل 7-3 نقاط کنترلی مورد استفاده در مدلسازی تیر دوسر مفصل تحت بار گسترده

جهت نمایش بهتری از کارایی تخمین کننده خطای پیشنهادی، با توجه به مرجع [55] از توابع شکل نریز مرتبه دو در هر ناحیه استفاده شده است. بردارهای گرهی در جهات x و h به صورت زیر می‌باشند.

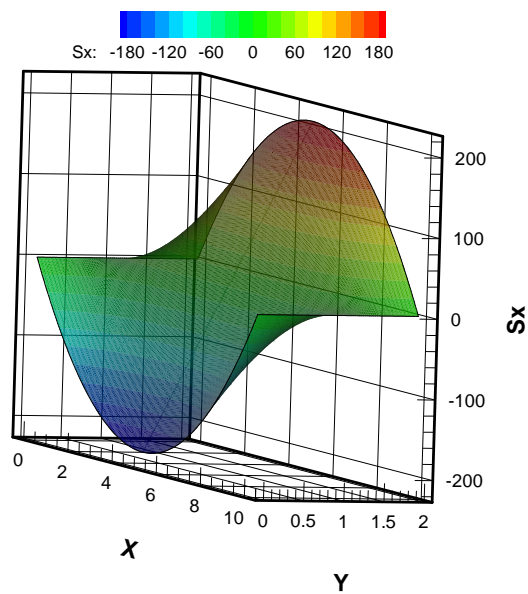
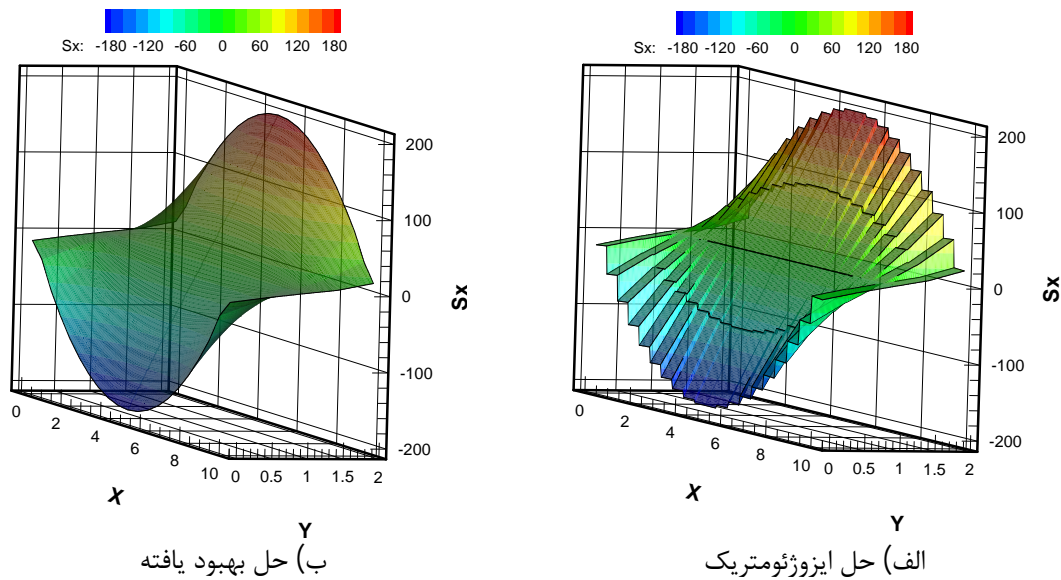
$$x = \{0, 0.1, 0.2, 0.3, 0.4, 0.5, 0.6, 0.7, 0.8, 0.9, 1, 1\}, h = \{0, 0.3, 0.5, 0.7, 1, 1\}$$

مطابق با شکل 3-4 و با توجه به مرتبه توابع شکل، در این مثال از نه نقطه گوس جهت انتگرالگیری عددی و نقاط بهینه تنش در هر المان استفاده شده است.

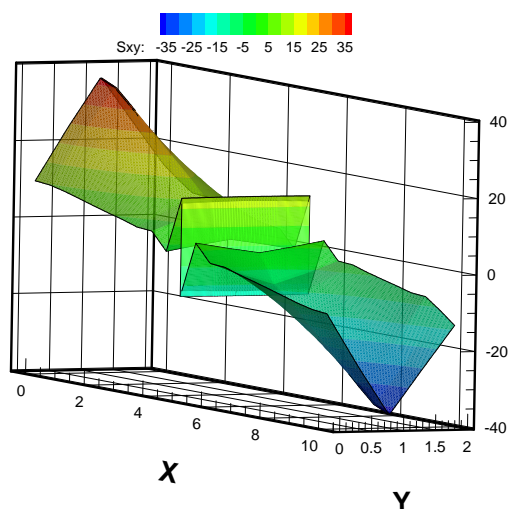
در شکل‌های 3-8 و 3-9 سطح تنش s_x و t_{xy} حاصل از حل ایزوژئومتریکی و حل دقیق به همراه سطح تنش بهبود یافته نشان داده شده است. همان طور که مشاهده می‌شود سطح تنش بهبود یافته در مقایسه با سطح تنش ایزوژئومتریکی، تطابق قابل توجهی نسبت به سطح تنش دقیق دارد.

در شکل 3-10 نحوه توزیع نرم خطای انرژی دقیق و نرم خطای انرژی تقریبی نشان داده شده است. همان طور که مشاهده می‌شود، نحوه تغییرات نرم خطای تقریبی به تغییرات نرم خطای دقیق بسیار نزدیک است که نشان دهنده کارایی مطلوب تخمین کننده خطا و صحت فوق همگرا بودن نقاط

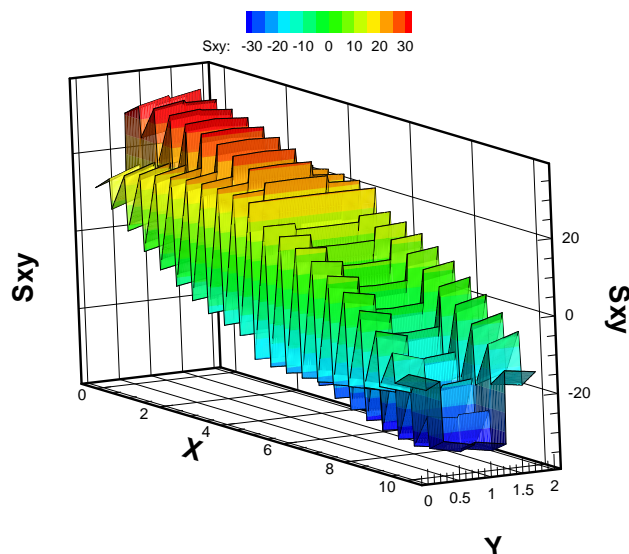
گوسی است. همچنین شاخص تاثیر برای کل دامنه، 0/93 محاسبه شده است. همانطور که در فصل قبل بیان شد، شاخص تاثیر معیاری برای بیان دقت محاسبه گر خطا است و هرچه به عدد یک نزدیکتر باشد نشان دهنده کارایی بهتر محاسبه گر خطا است.



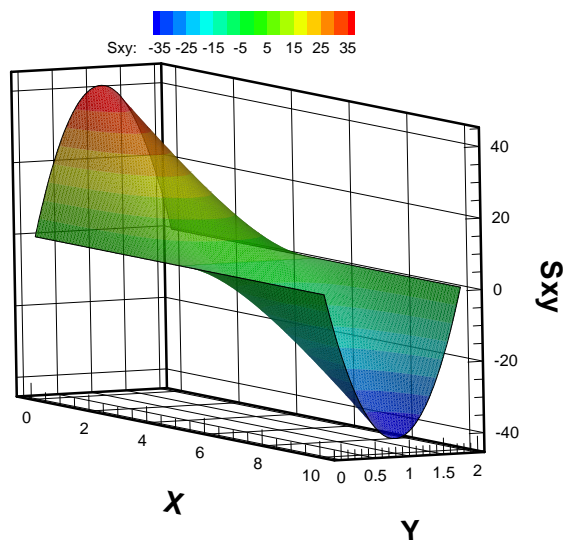
شکل 3-8 سطح تنش σ_x تیر دو سر مفصل تحت بار گسترده



(ب) حل بهبود یافته



(ف) حل ایزوژئومتریک



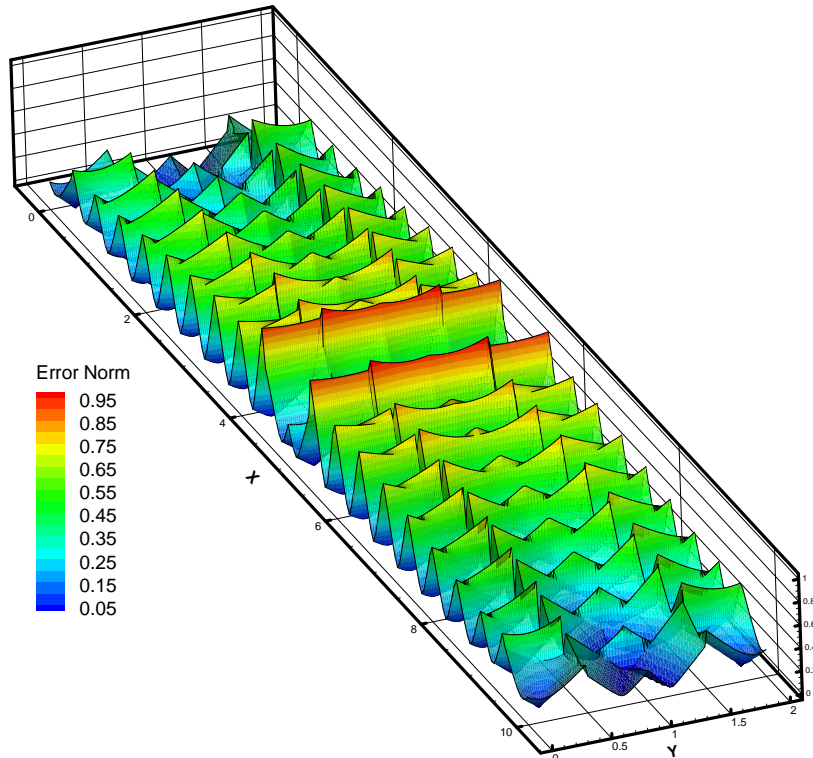
(ج) حل دقیق

شکل 9-3 سطح تنش τ_{xy} تیر دو سر مفصل تحت بار گسترده

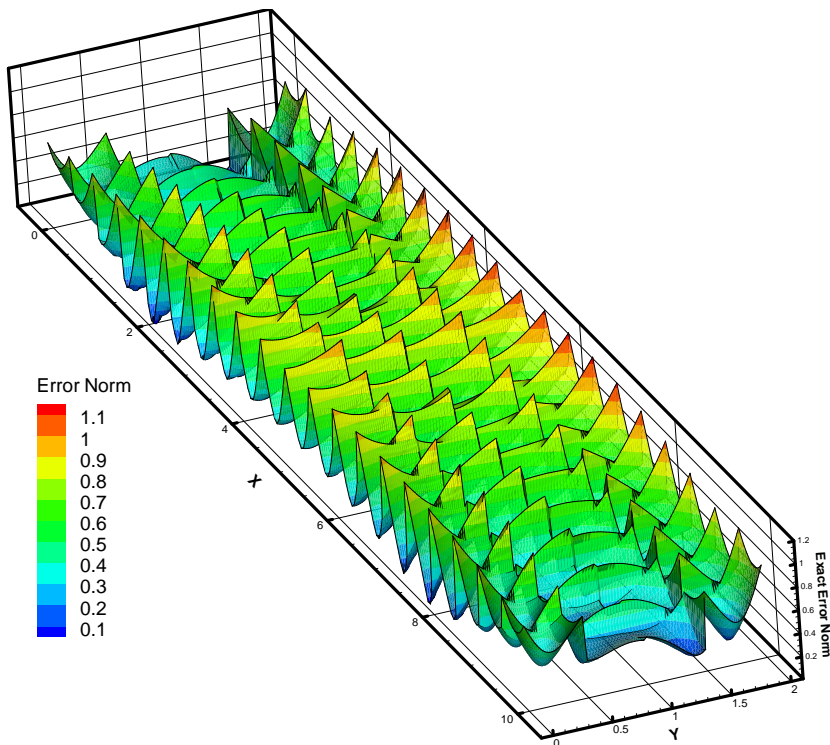
3-5- تیر طره دایره‌ای شکل

در این قسمت به مدلسازی یک تیر طره دایره‌ای شکل الاستیک در شرایط تنش مستوی توسط تحلیل ایزوژئومتریک و بازیابی تنش‌های آن پرداخته می‌شود (شکل 3-11). پارامترهای به کار برده شده در مدلسازی و تحلیل این مثال به صورت زیر می‌باشد:

$$a = 8, \quad b = 10, \quad P = 100, \quad E = 2 \times 10^5, \quad n = 0.3$$

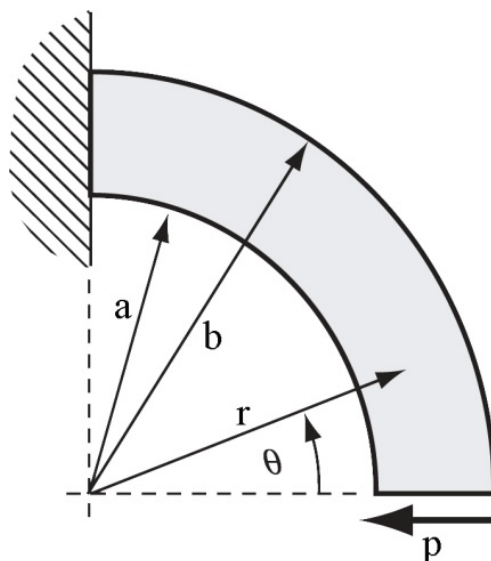


الف) نرم خطای تقریبی



ب) نرم خطای دقیق

شکل 3-10 نحوه توزیع نرم خطای انرژی تیر دو سر مفصل تحت بار گسترده



شکل 3-11 تیر طره دایره‌ای شکل

تنشهای دقیق این مسئله در دستگاه مختصات قطبی با توجه به پارامترهای تعریف شده در شکل 3-11 به صورت روابط (3-63) تا (3-65) در نظر گرفته شده است [54].

$$s_r = \frac{P}{N} \left(r + \frac{a^2 b^2}{r^3} - \frac{a^2 + b^2}{r} \right) \sin q \quad (63-3)$$

$$s_q = \frac{P}{N} \left(3r - \frac{a^2 b^2}{r^3} - \frac{a^2 + b^2}{r} \right) \sin q \quad (64-3)$$

$$t_{rq} = -\frac{P}{N} \left(r + \frac{a^2 b^2}{r^3} - \frac{a^2 + b^2}{r} \right) \cos q \quad (65-3)$$

در روابط بالا N به صورت زیر در نظر گرفته شده است.

$$N = a^2 - b^2 + (a^2 + b^2) \log\left(\frac{b}{a}\right)$$

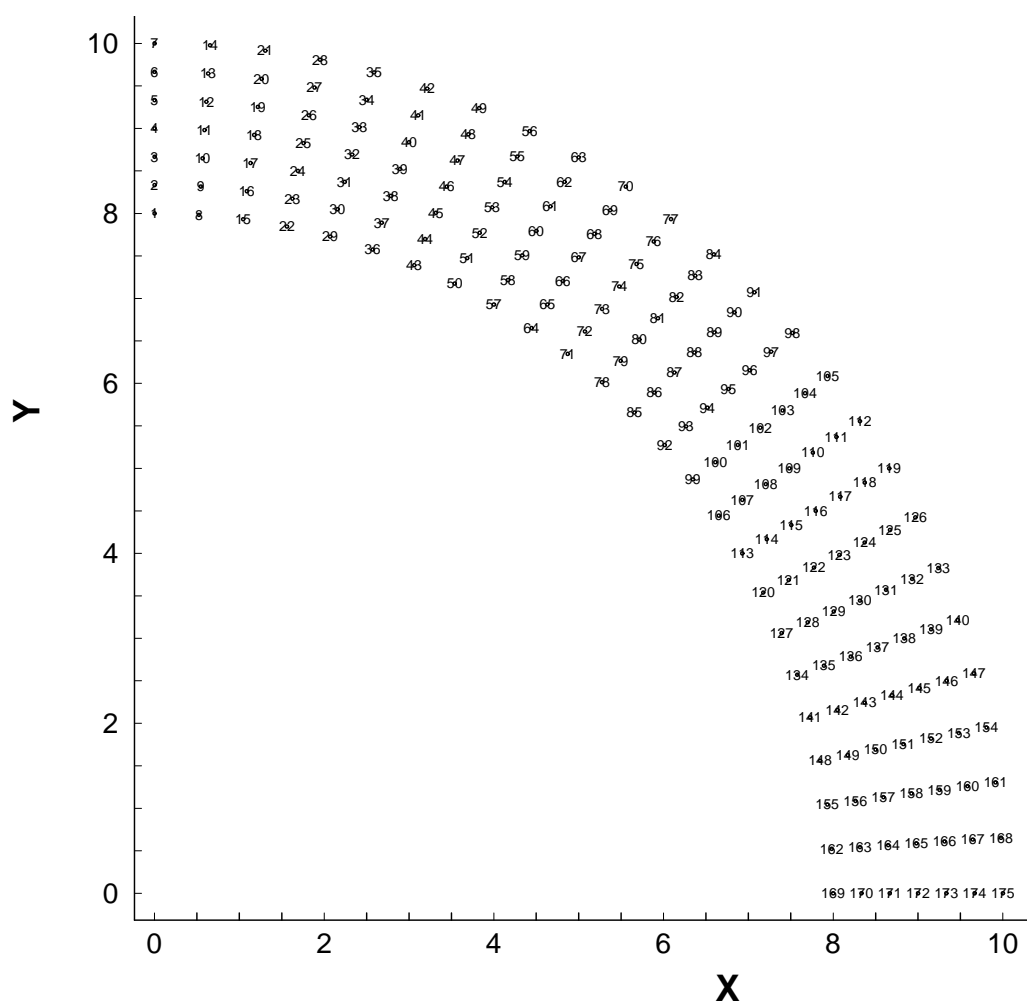
برای مدلسازی و تحلیل این تیر به روش ایزوژئومتریکی از یک وصله و 175 نقطه کنترلی استفاده شده است (شکل 3-12).

مشابه مثال قبل، جهت تحلیل این مسئله از توابع شکل نرئز مرتبه دو و جهت انتگرال گیری عددی از

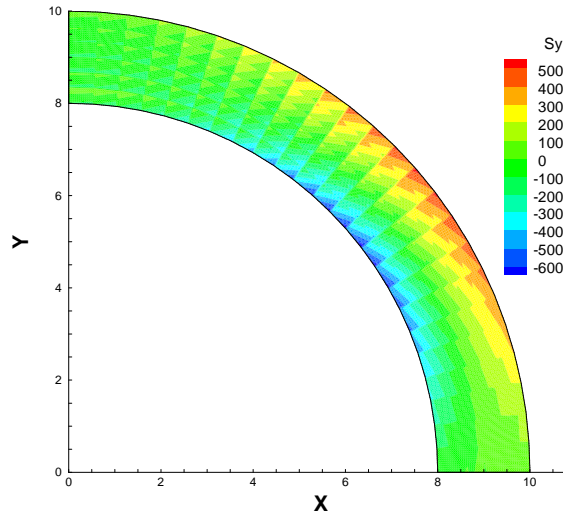
نه نقطه گوسی استفاده شده است. بردارهای گرهی در جهات x و h به صورت زیر در نظر گرفته شده است.

$$x = \left\{ \begin{array}{l} 0,0,0.041,0.083,0.125,0.166,0.208,0.25, \\ 0.291,0.33,0.375,0.416,0.4583,0.5,0.5416, \\ 0.583,0.625,0.66,0.7083,0.75,0.7916, \\ 0.833,0.875,0.916,0.9583,1,1 \end{array} \right\}, h = \{0,0,0.1666,0.333,0.5,0.666,0.833,1,1\}$$

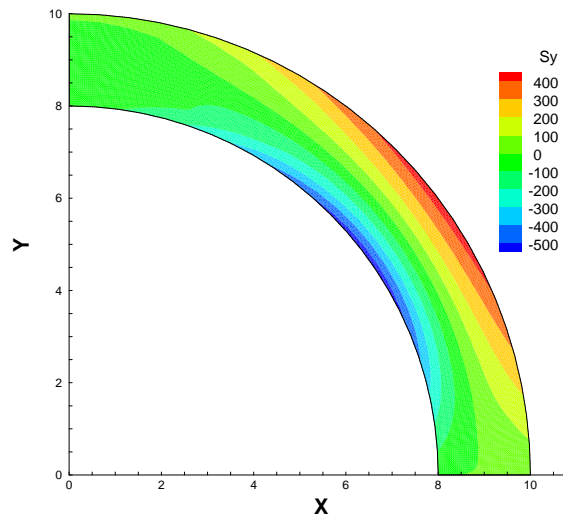
در شکل 3-13 به عنوان نمونه کانتور تنش s_y حاصل از حل ایزوژئومتریکی و حل دقیق به همراه کانتور تنش بهبود یافته نشان داده شده است. همان طور که مشاهده می شود در این مثال نیز توزیع تنش بهبود یافته در مقایسه با توزیع تنش ایزوژئومتریکی، تطابق قابل توجهی نسبت به تنش دقیق دارد.



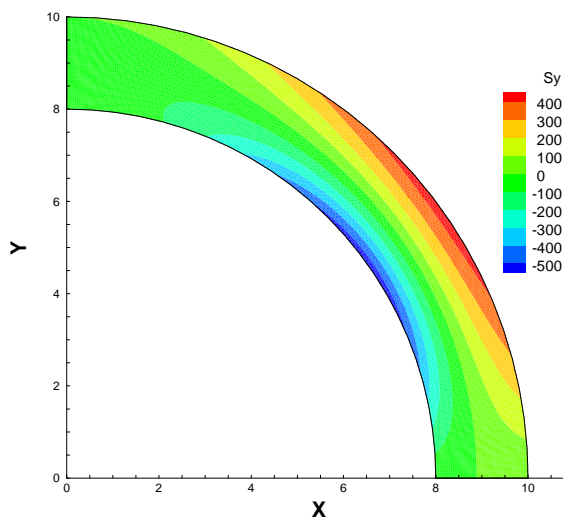
شکل 3-12 نحوه آرایش و شماره گذاری نقاط کنترلی تیر طره دایره ای شکل



الف) حل ایزوژئومتریکی



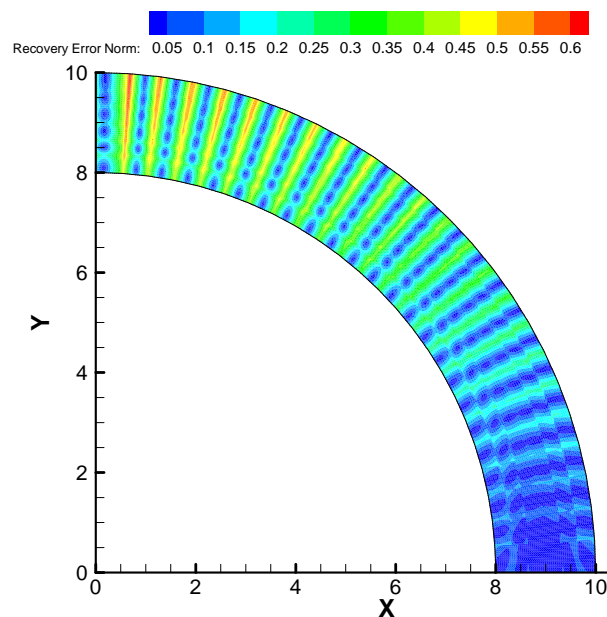
ب) حل بهبود یافته



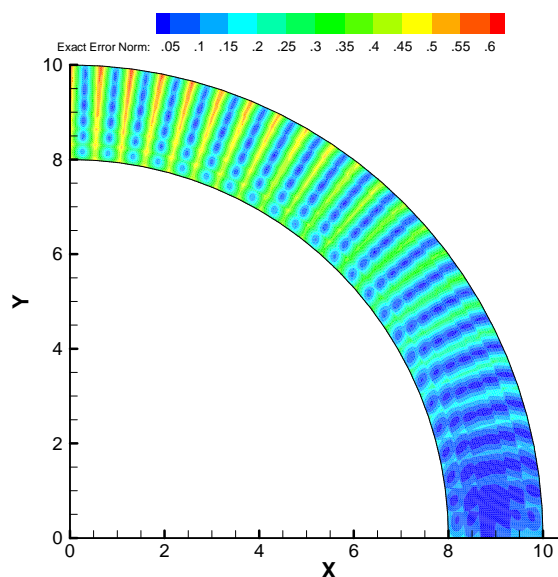
ج) حل دقیق

شکل 3-13 کانتور تنش S_y تیر طره دایره‌ای شکل

در شکل 3-14 نحوه توزیع نرم خطای انرژی دقیق و نرم خطای انرژی تقریبی نشان داده شده است. همان طور که مشاهده می‌شود در این مثال نیز نحوه تغییرات نرم خطای تقریبی به تغییرات نرم خطای دقیق بسیار نزدیک است که نشان دهنده کارایی مطلوب تخمین کننده خطا و صحت فوق همگرا بودن نقاط گوسی است. همچنین شاخص تاثیر برای کل دامنه، $0/95$ محاسبه شده است.



الف) نرم خطای تقریبی



ب) نرم خطای دقیق

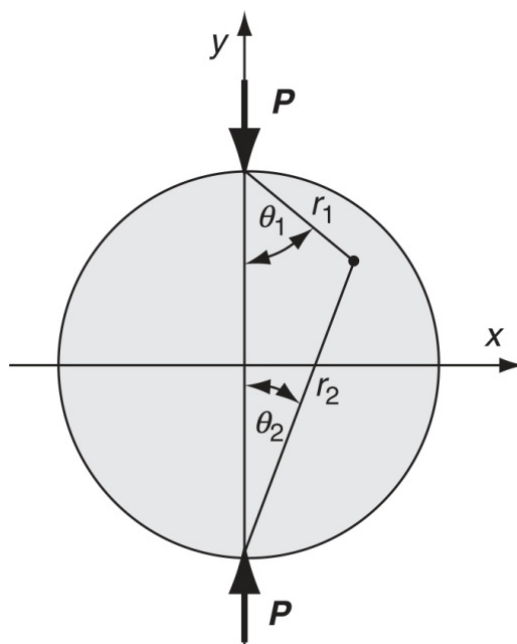
شکل 3-14 نحوه توزیع نرم خطای انرژی دقیق و تقریبی تیر طره دایره‌ای شکل

3-6- صفحه دایره‌ای تحت بار متمرکز فشاری

در این مثال به بررسی خاصیت فوق همگرایی نقاط گوسی در تولید سطح تنش بهبود یافته و برآورد خطای تحلیل ایزوژئومتریکی یک مسئله دارای نقطه تکین می‌پردازیم. البته به نظر می‌رسد که مسائل با نقطه تکین، به علت بالا بودن خطای آلودگی، مسائل خوبی جهت بررسی کارایی تخمین‌کننده‌های خطا به شمار نمی‌روند؛ اما هدف از این مثال همان طور که گفته شد، بررسی خاصیت نقاط گوسی در نحوه رفتار برآوردکننده خطای پیشنهادی می‌باشد. با توجه به اینکه زیر بار متمرکز به عنوان یک نقطه تکین، دارای خطای زیادی نسبت به سایر نقاط است، لذا یک تخمین‌کننده خطای مناسب باید به طور نسبی قادر به نمایش این توزیع خطا باشد. در صورتی که بهبود شبکه با توجه به نتایج بدست آمده از تخمین‌کننده خطا مورد نظر باشد، تخمین‌کننده خطایی که دارای آرایشی مناسب باشد می‌تواند برنامه را در هر مرحله به بهبود محلی شبکه در اطراف نوک ترک راهنمایی کند.

در شکل 3-15 مشخصات صفحه دایره‌ای شکل تحت بار متمرکز قطری مشاهده می‌شود. پارامترهای بکار گرفته شده جهت تحلیل این مسئله به صورت زیر می‌باشد.

$$R = 2, \quad P = 100, \quad E = 1000, \quad n = 0.3$$



شکل 3-15 صفحه دایره‌ای تحت بار متمرکز فشاری

تنشهای دقیق این مسئله با توجه به پارامترهای تعریف شده در شکل 3-15 به صورت روابط (3-66) تا (3-68) می باشد [54].

$$s_x = -\frac{2P}{p} \left[\frac{(R-y)x^2}{r_1^4} + \frac{(R+y)x^2}{r_2^4} - \frac{1}{2R} \right] \quad (66-3)$$

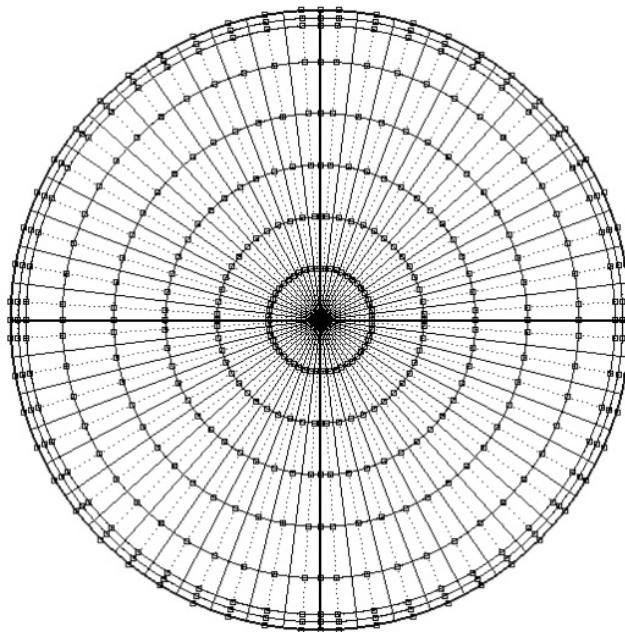
$$s_y = -\frac{2P}{p} \left[\frac{(R-y)^3}{r_1^4} + \frac{(R+y)^3}{r_2^4} - \frac{1}{2R} \right] \quad (67-3)$$

$$t_{xy} = \frac{2P}{p} \left[\frac{(R-y)^2 x}{r_1^4} - \frac{(R+y)^2 x}{r_2^4} \right] \quad (68-3)$$

در روابط بالا r_1 و r_2 به صورت زیر می باشند.

$$r_1 = \sqrt{x^2 + (R-y)^2}, \quad r_2 = \sqrt{x^2 + (R+y)^2}$$

برای مدل سازی و تحلیل این مسئله به روش ایزوژئومتریکی از 513 نقطه کنترلی و چهار ناحیه مشابه به شکل ربع دایره استفاده شده است (شکل 3-16).



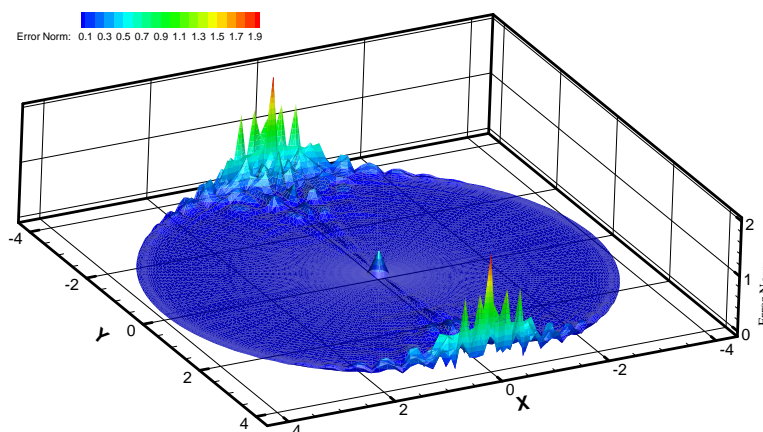
شکل 3-16 آرایش نقاط کنترلی و المان بندی در صفحه دایره ای تحت فشار

جهت تحلیل این مسئله در هر وصله از توابع شکل نریز مرتبه سه و جهت انتگرال گیری عددی از

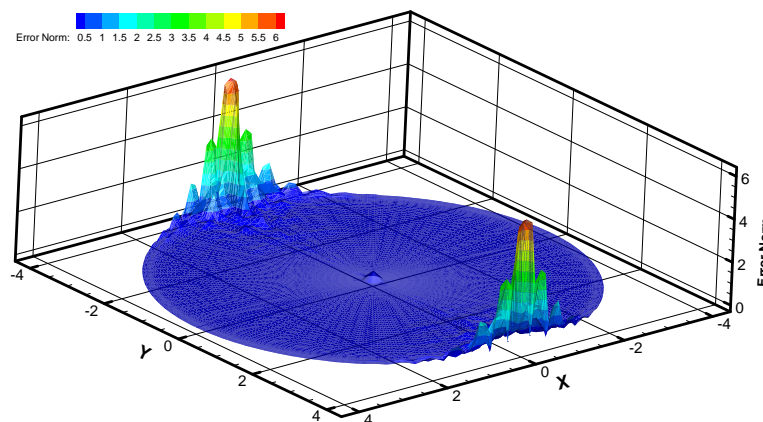
شانزده نقطه گوسی استفاده شده است. بردارهای گرهی در جهات x و h در هر وصله به صورت زیر در نظر گرفته شده است.

$$\mathbf{x} = \begin{Bmatrix} 0,0,0,0.0769,0.1538,0.2307,0.3076, \\ 0.3846,0.4615,0.5384,0.6153,0.6923, \\ 0.7692,0.8461,0.9230,1,1,1 \end{Bmatrix}, \quad \mathbf{h} = \begin{Bmatrix} 0,0,0,0.1428,0.2857,0.4285,0.5714, \\ 0.71428,0.8571,1,1,1 \end{Bmatrix}$$

در شکل 3-17 نحوه توزیع نرم خطای انرژی دقیق و نرم خطای انرژی تقریبی برای این مثال نشان داده شده است. همان طور که در توزیع نرم خطای تقریبی مشاهده می شود تطابق قابل قبول آن با توزیع نرم خطای دقیق و افزایش قابل ملاحظه میزان خطا در نوک بار متمرکز نسبت به سایر نقاط، نشان دهنده رفتار مناسب تخمین کننده خطا بویژه در شناسایی نقطه تکینگی می باشد. همچنین در این مثال شاخص تاثیر برای کل دامنه، $0/47$ محاسبه شده است.



الف) نرم خطای تقریبی

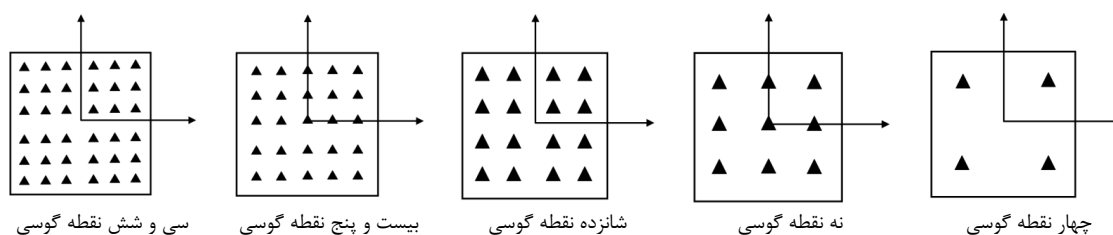


ب) نرم خطای دقیق

شکل 3-17 نحوه توزیع نرم خطای انرژی صفحه دایره‌ای

3-7- بررسی تعداد بهینه نقاط انتگرالگیری گوس به عنوان نقاط فوق همگرایی تنش

در این بخش به بررسی و یافتن بهترین نقاط گوسی به عنوان نقاط بهینه تنش پرداخته می‌شود؛ بدین منظور به مقایسه شاخص تاثیر برآورد کننده خطا در سه مثال نمونه بیان شده در این با چهار، نه، شانزده، بیست پنج و سی شش نقطه گوسی پرداخته شده است. در شکل 3-18 پنج المان مربعی و تعداد نقاط انتگرال گیری گوسی که به عنوان نقاط بهینه تنش مورد استفاده قرار گرفته‌اند، نشان داده شده است.



شکل 3-18 نقاط گوسی استفاده شده به عنوان نقاط فوق همگرایی تنش

در جدول 3-1، مقادیر شاخص تاثیر برآورد کننده خطا، با توجه به مرتبه توابع شکل نرَبز، برای پنج المان نشان داده شده در شکل 3-18 مشاهده می‌شود.

جدول 3-1 مقادیر شاخص تاثیر برآورد کننده خطا، برای نقاط گوسی مختلف

مسائل نمونه			تعداد نقاط انتگرال گیری به روش گوسی
صفحه دایره‌ای تحت بار متمرکز فشاری (توابع شکل مرتبه سه)	تیر طره دایره‌ای شکل (توابع شکل مرتبه دو)	تیر دوسر مفصل تحت بار گسترده (توابع شکل مرتبه دو)	
0.3834	0.9441	0.9183	چهار 
0.4647	0.9456	0.9262	نه 
0.4703	0.9415	0.9126	شانزده 
0.4308	0.9440	0.9160	بیست و پنج 
0.4170	0.9427	0.9148	سی و شش 

همان طور که در فصل قبل بیان شد، شاخص تاثیر نسبت مجموع نرم خطای تقریبی به نرم خطای دقیق می‌باشد و هرچه این شاخص به یک نزدیکتر شود نشان دهنده قدرت بیشتر برآورد کننده خطا در تخمین میزان خطا در مسئله خواهد بود. در جدول 1 بیشترین میزان شاخص تاثیر برای هر یک از مسائل نمونه از دیگر مقادیر متمایز شده است. همان طور که مشاهده می‌شود بیشترین میزان شاخص تاثیر برای هر مثال مطابق با بیشترین نقاط انتگرال گیری به روش گوس نمی‌باشد. بلکه برای مسائل تیر دو سر مفصل تحت بار گسترده و تیر طره دایره‌ای شکل که با توابع شکل مرتبه دو مورد تحلیل قرار گرفته اند، نه نقطه می‌باشد و برای مسئله صفحه دایره‌ای شکل که با توابع شکل مرتبه سه مورد تحلیل قرار گرفته است این نقاط به شانزده نقطه افزایش یافته اند. با توجه به این نتایج می‌توان بیان نمود که در این سه مسئله، تعداد نقاط بهینه تنش وابسته به مرتبه توابع شکل مورد استفاده در تحلیل مسئله می‌باشند، به طوری که با توجه به مرتبه توابع شکل، محل نقاط بهینه تنش منطبق بر حداقل تعداد نقاط انتگرال گیری به روش گوس در تحلیل ایزوژئومتریکی است. نکته مهم دیگری که از نتایج جدول 3-1 برداشت می‌شود این است که برآورد کنند خطا در تمام نقاط گوسی ارائه شده دارای شاخص تاثیرهای نزدیک به هم و قابل قبولی می‌باشد و این موضوع نشان دهنده فوق همگرا بودن تمام نقاط گوسی، بدون در نظر گرفتن تعداد آنها در تحلیل ایزوژئومتریکی می‌باشد.

فصل چهارم

بازیافت تنش و برآورد خطا در

تحلیل ایزوژنومتریک مسائل

مقارن محوری

4-1- مقدمه

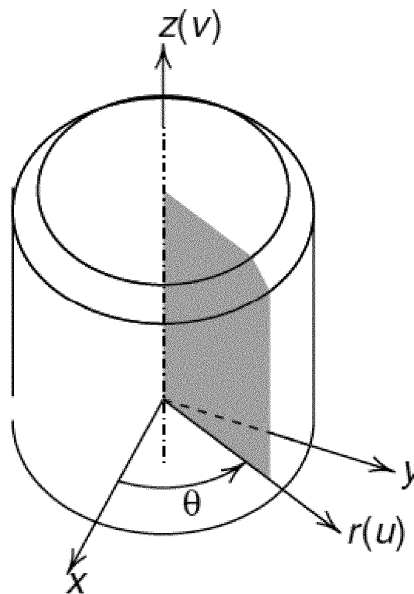
در فصل قبل نشان داده شده که چگونه می‌توان از خاصیت فوق همگرایی نقاط گوسی در بهبود نتایج حاصل از تحلیل ایزوژئومتریکی مسائل تنش-کرنش مسطح و برآورد خطای آن استفاده نمود. در این فصل به توسعه این روش، در تحلیل ایزوژئومتریکی مسائل با تقارن محوری و بررسی تاثیر استفاده از نقاط فوق همگرا جهت بهبود حل و برآورد خطای آن پرداخته می‌شود. بدین منظور به مدلسازی و تحلیل دو مثال نمونه با شرایط تقارن محوری و دارای حل تحلیلی پرداخته شده است. لوله بلند جدار ضخیم تحت فشار داخلی و خارجی و صفحه دایره‌ای شکل تحت بار متمرکز در مرکز، دو مثال حل شده در این بخش می‌باشند. با توجه به تشابه توزیع نرم خطای دقیق و تقریبی و بهبود دقت مولفه-های تنش بازیافتی نسب به حل ایزوژئومتریکی برای دو مثال حل شده در این بخش، می‌توان بیان نمود که نقاط گوسی در تحلیل مسائل متقارن محوری نیز از خاصیت فوق همگرایی مناسبی برخوردار می‌باشند و می‌توان از آنها جهت بهبود نتایج تحلیل ایزوژئومتریکی مسائل متقارن محوری و برآورد خطای آن استفاده نمود.

در ادامه به بیان فرمولبندی تحلیل ایزوژئومتریکی در تحلیل مسائل متقارن محوری پرداخته شده است؛ همچنین نحوه تشکیل سطح تنش بهبود یافته بر مبنای نقاط فوق همگرا، برای مسائل با شرایط تقارن محوری بیان شده است.

4-2- سازه‌های دارای تقارن محوری

تحلیل اجسامی که تقارن محوری دارند و بار اعمالی به آنها نیز متقارن محوری است در بسیاری از پروژه‌های مهندسی مورد نیاز است. از کاربردهای این نوع تحلیل می‌توان بررسی تنش و کرنش‌های اعمالی به یک مخزن بزرگ تحت فشار، تحلیل جریان سیال در لوله‌ها، دیسک‌های توربین‌ها و پی‌های استوانه‌ای قرار گرفته بر روی بستر خاکی را نام برد. سازه‌های متقارن محوری سازه‌هایی هستند که از نظر هندسه، خواص ماده، شرایط مرزی و بارگذاری در دستگاه مختصات استوانه‌ای نسبت به q

مستقل هستند (شکل 1-4). وجود تقارن محوری تضمین می‌کند که هیچ نوع حرکت و تغییر مکانی در امتداد زاویه q وجود ندارد. بنابراین مسئله سه بعدی در مختصات (r, q, z) به مسئله دو بعدی در صفحه rz کاهش پیدا می‌کند.



شکل 1-4 تحلیل دو بعدی در حالت تقارن محوری

3-4- فرمولبندی تحلیل ایزوژئومتریک در مسائل متقارن محوری

در مسائل متقارن محوری، مشابه مسائل تنش-کرنش مسطح، مولفه‌های تغییر مکان جهت Z و r به صورت یک سطح نریز، طوری تعیین می‌شود که ارتفاع سطح تشکیل شده از تراز مبنا در هر نقطه از دامنه، بیان کننده‌ی مقدار تغییر مکان مسئله در آن مکان باشد. اگر نقاط کنترلی را به گونه‌ای انتخاب کنیم که مولفه‌های اول و دوم مختصات این نقاط، (P_r, P_z) ، بتوانند هندسه مسئله را در صفحه rz برآورد کنند، در این صورت مولفه‌ی سوم مختصات این نقاط را طوری محاسبه می‌کنیم که ارتفاع رویه در هر نقطه نسبت به صفحه rz نشان دهنده‌ی تغییر مکان آن نقطه باشد. بنابراین اگر تغییر شکل‌های شعاعی (در جهت r) و محوری (در جهت z) هر نقطه را به ترتیب با u و v نشان دهیم، می‌توان تغییر مکان هر نقطه در داخل زیر دامنه نریز وصله را به صورت زیر از روی نقاط کنترلی مربوط درونیابی کرد.

$$\mathbf{u} \approx \hat{\mathbf{u}} = \begin{Bmatrix} u(r, z) \\ v(r, z) \end{Bmatrix} = \begin{Bmatrix} \sum_{i=1}^n \sum_{j=1}^m R_{i,j}(\mathbf{x}, h) \mathbf{P}_{u i,j} \\ \sum_{i=1}^n \sum_{j=1}^m R_{i,j}(\mathbf{x}, h) \mathbf{P}_{v i,j} \end{Bmatrix} \quad (1-4)$$

در رابطه‌ی بالا $\mathbf{P}_{i,j}$ ها نمایشگر بردار مولفه‌های سوم مختصات نقاط کنترلی نربز، توابع پایه‌ای نربز و m و n تعداد نقاط کنترلی در جهت‌های r و z می‌باشند. با توجه به خاصیت بازه تاثیر توابع نربز، می‌توان معادله (1-4) را به معادله (2-4) کاهش داد.

$$\mathbf{u} \approx \bar{\mathbf{u}} = \begin{Bmatrix} u(r, z) \\ v(r, z) \end{Bmatrix} = \begin{Bmatrix} \sum_{k=i-p}^i \sum_{l=j-q}^j R_{k,l}(\mathbf{x}, h) \mathbf{P}_{u k,l} \\ \sum_{k=i-p}^i \sum_{l=j-q}^j R_{k,l}(\mathbf{x}, h) \mathbf{P}_{v k,l} \end{Bmatrix} = \bar{\mathbf{R}} \cdot \bar{\mathbf{P}} \quad (2-4)$$

که در آن $\bar{\mathbf{R}}$ ماتریس توابع پایه‌ای نسبی نربز و $\bar{\mathbf{P}}$ ماتریس ستونی مختصات نقاط کنترلی مطابق روابط (16-3) و (17-3) تعریف می‌شوند.

در مسائل دارای تقارن محوری بردار کرنش‌ها دارای چهار مولفه مستقل از هم می‌باشد؛ که به صورت زیر تعریف می‌شود:

$$\boldsymbol{\varepsilon} = \begin{Bmatrix} e_{rr} \\ e_{zz} \\ e_{qq} \\ e_{rz} \end{Bmatrix} \quad (3-4)$$

با معلوم بودن تغییر مکان در نقاط داخل هر زیردامنه، می‌توان کرنش‌ها را در هر نقطه دل‌خواه بدست آورد. در این صورت مطابق رابطه (4-4) خواهیم داشت:

$$\boldsymbol{\varepsilon} = \mathbf{L} \mathbf{u} = \begin{Bmatrix} \frac{\partial u}{\partial r} & 0 \\ 0 & \frac{\partial v}{\partial z} \\ u & 0 \\ \frac{\partial v}{\partial r} & \frac{\partial u}{\partial z} \end{Bmatrix} \quad (4-4)$$

\mathbf{u} بردار تغییر مکان‌ها، $\boldsymbol{\varepsilon}$ کرنش، و \mathbf{L} یک عملگر دیفرانسیلی است که برای مسائل متقارن محوری

به صورت رابطه (5-4) تعریف می شود:

$$\mathbf{L} = \begin{bmatrix} \frac{\partial}{\partial r} & 0 \\ 0 & \frac{\partial}{\partial z} \\ \frac{1}{r} & 0 \\ \frac{\partial}{\partial r} & \frac{\partial}{\partial z} \end{bmatrix} \quad (5-4)$$

با جای گذاری (2-4) در رابطه (4-4) می توان کرنشها را به صورت زیر تقریب زد:

$$\boldsymbol{\varepsilon} = \mathbf{B}\bar{\mathbf{P}} \quad (6-4)$$

که با توجه به ماتریس دیفرانسیل گیری \mathbf{L} ماتریس \mathbf{B} برای مسائل تقارن محوری به صورت رابطه

(7-4) خواهد بود. هم چنین در مسائل متقارن محوری می توان چهار مولفه تنش را به صورت رابطه

(8-4) برای بردار تنشها در نظر گرفت.

$$\mathbf{B} = \mathbf{L}\bar{\mathbf{R}} = \begin{bmatrix} \frac{\partial R(x,h)}{\partial r} & 0 & \dots \\ 0 & \frac{\partial R(x,h)}{\partial z} & \dots \\ \frac{R(x,h)}{r} & 0 & \dots \\ \frac{\partial R(x,h)}{\partial z} & \frac{\partial R(x,h)}{\partial r} & \dots \end{bmatrix} \quad (7-4)$$

$$\boldsymbol{\sigma} = \begin{Bmatrix} s_{rr} \\ s_{zz} \\ s_{qq} \\ s_{rz} \end{Bmatrix} \quad (8-4)$$

با فرض وجود رفتار خطی کشسان، رابطه ی بین تنشها و کرنشها به صورت رابطه (3-21) می باشد

که در آن \mathbf{D} ماتریس خواص مصالح، برای مسائل با شرایط تقارن محوری به صورت رابطه (4-9)

بیان می شود.

$$\mathbf{D} = \frac{E}{(1+n)(1-2n)} \begin{bmatrix} (1-n) & n & n & 0 \\ n & (1-n) & n & 0 \\ n & n & (1-n) & 0 \\ 0 & 0 & 0 & (1-2n)/2 \end{bmatrix} \quad (9-4)$$

مشابه فرآیند تشکیل ماتریس سختی که در فصل قبل برای مسائل تنش-کرنش مسطح بیان شده است، برای مسائل متقارن محوری نیز با استفاده از رهیافت کار مجازی می‌توان ماتریس سختی هر وصله از دامنه مدل‌سازی شده را مطابق رابطه (10-4) محاسبه نمود.

$$\mathbf{K}_{patch} = \int \int \int_V \mathbf{B}^T \mathbf{D} \mathbf{B} r dr dz dq \quad (10-4)$$

محاسبه‌ی انتگرال ماتریس سختی در مسائل متقارن محوری با استفاده از المان حجمی نرَبز امکان‌پذیر است که از دوران یک المان سطحی نرَبز حول محور تقارن ایجاد می‌شود و به صورت یک حلقه با سطح مقطع چهار ضلعی می‌باشد. بایستی توجه داشت که جزء حجم در مختصات استوانه‌ای به صورت $dv = r dr dz dq$ می‌باشد. هم‌چنین با توجه با این نکته که مسائل متقارن محوری مستقل از q می‌باشند، می‌توان این انتگرال را به صورت دو بعدی زیر تبدیل کرد:

$$\mathbf{K}_{patch} = 2p \int \int_V \mathbf{B}^T \mathbf{D} \mathbf{B} r dr dz \quad (11-4)$$

و در نهایت انتگرال ماتریس سختی به روش گوس به صورت رابطه (12-4) محاسبه می‌شود.

$$\mathbf{K}_{patch} = 2p \sum_{j=1}^m \sum_{i=1}^n \mathbf{B}^T(r,s) \mathbf{D} \mathbf{B}(r,s) r \det \mathbf{J}_1 \det \mathbf{J}_2 w_i \cdot w_j \quad (12-4)$$

که در آن m و n تعداد نقاط گوس در جهت r و s در هر المان و w_i, w_j وزن نقاط گوس می‌باشد.

4-4- تشریح روش برآورد خطا در مسائل متقارن محوری

در مسائل متقارن محوری، می‌توان سطح بهبود یافته هر یک از مولفه‌های تنش را با توجه به توابع شکل نرَبز به صورت رابطه (13-4) در نظر گرفت:

$$\boldsymbol{\sigma}^* = \begin{Bmatrix} \sigma_{rr}^* \\ \sigma_{zz}^* \\ \sigma_{qq}^* \\ \sigma_{rz}^* \end{Bmatrix} = \begin{Bmatrix} \mathbf{R}^T \mathbf{P}_{rr} \\ \mathbf{R}^T \mathbf{P}_{zz} \\ \mathbf{R}^T \mathbf{P}_{qq} \\ \mathbf{R}^T \mathbf{P}_{rz} \end{Bmatrix} \quad (13-4)$$

که در آن \mathbf{P} و \mathbf{R} مطابق روابط (3-41) و (3-42) تعریف می‌شوند. همان طور که مشاهده می‌شود، تنها پارامتر مجهول جهت تعیین سطح هر مولفه تنش، مختصات سوم نقاط کنترلی (بردار \mathbf{P}) می‌باشد. برای تعیین این مقادیر، مجموع مربعات اختلاف تنش بین مقدار بدست آمده از تحلیل ایزوژئومتریکی و تنش بهبود یافته را در نقاط گوس مینیمم می‌کنیم. برای این منظور تابع $F(\mathbf{P})$ را برای هر مولفه تنش به صورت زیر تعریف می‌کنیم:

$$F(\mathbf{P}_{rr}) = \sum_{l=1}^K (\mathbf{R}_l^T \mathbf{P}_{rr} - \bar{\sigma}_{rr})^2 \quad (14-4)$$

$$F(\mathbf{P}_{zz}) = \sum_{l=1}^K (\mathbf{R}_l^T \mathbf{P}_{zz} - \bar{\sigma}_{zz})^2 \quad (15-4)$$

$$F(\mathbf{P}_{qq}) = \sum_{l=1}^K (\mathbf{R}_l^T \mathbf{P}_{qq} - \bar{\sigma}_{qq})^2 \quad (16-4)$$

$$F(\mathbf{P}_{rz}) = \sum_{l=1}^K (\mathbf{R}_l^T \mathbf{P}_{rz} - \bar{\sigma}_{rz})^2 \quad (17-4)$$

که در آن $\bar{\sigma}$ مولفه تنش بدست آمده از تحلیل ایزوژئومتریکی و K تعداد نقاط گوس موجود در هر ناحیه می‌باشد. در نهایت با مشتق گیری از تابع $F(\mathbf{P})$ نسبت به مؤلفه‌های مجهول بردار \mathbf{P} و مساوی صفر قرار دادن آن مختصات نقاط کنترلی صفحه تنش بهبود یافته هر یک از مولفه‌ها بدست می‌آید. به طور مثال برای مولفه تنش بهبود یافته σ_{rr}^* خواهیم داشت:

$$\frac{\partial F(\mathbf{P}_{rr})}{\partial P_{i,j}} = 0 \Rightarrow \mathbf{A} \mathbf{P}_{rr} = \mathbf{B}_{rr} \Rightarrow \mathbf{P}_{rr} = \mathbf{A}^{-1} \mathbf{B}_{rr} \quad (18-4)$$

که در آن:

$$\mathbf{A} = \sum_{i=1}^K \mathbf{R}_i \mathbf{R}_i^T \quad ; \quad \mathbf{B}_{rr} = \sum_{i=1}^K \mathbf{R}_i \bar{\sigma}_{rr}$$

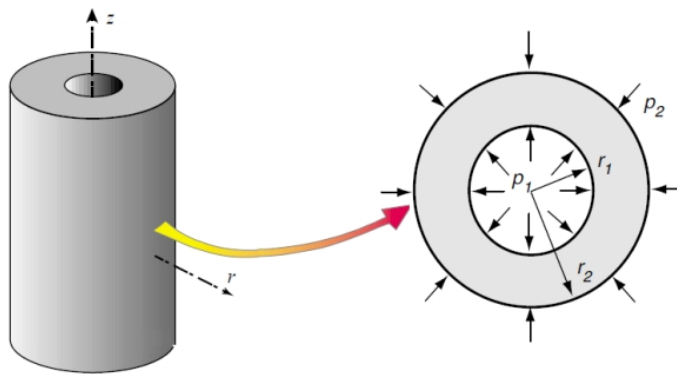
با داشتن مختصات نقاط کنترلی هر یک از مولفه‌های تنش، سطح مربوط به آن نیز بدست می‌آید. همانگونه که در ادامه خواهیم دید، برای مسائل متقارن محوری نیز این سطح تنش نسبت به سطح تنش بدست آمده از روش ایزوژئومتریکی دقیق تر می‌باشد و از این رو می‌تواند به عنوان یک تخمین کننده بالقوه خطا برای تحلیل ایزوژئومتریکی مسائل متقارن محوری به کار رود.

در ادامه جهت بررسی کارایی این تخمین کننده خطا در برآورد خطای تحلیل ایزوژئومتریکی مسائل

مقارن محوری به مدلسازی و مقایسه نرم خطای انرژی تقریبی و نرم خطای انرژی دقیق و نحوه تغییرات مولفه‌های تنش برای دو مسئله نمونه الاستیسیته که دارای حل تحلیلی می‌باشند، پرداخته شده است.

4-5- لوله بلند جدار ضخیم تحت فشار داخلی و خارجی

در این قسمت به بیان نتایج گرفته شده از مدلسازی یک لوله بلند جدار ضخیم تحت فشار داخلی و خارجی یکنواخت و در شرایط تقارن محوری، توسط تحلیل ایزوژئومتریک و بازیابی تنش های آن پرداخته می‌شود (شکل 2-4).



شکل 2-4 لوله جدار ضخیم تحت فشار داخلی و خارجی

در این مسئله علاوه بر داشتن شرایط تقارن محوری، کرنش در جهت محور z نیز به دلیل بلند بودن طول لوله صفر در نظر گرفته می‌شود.

پارامترهای به کار برده شده در تحلیل این مسئله به صورت زیر می‌باشند:

$$r_1 = 4, \quad r_2 = 6, \quad P_1 = 20, \quad P_2 = 10, \quad E = 2 \times 10^5, \quad \nu = 0.3$$

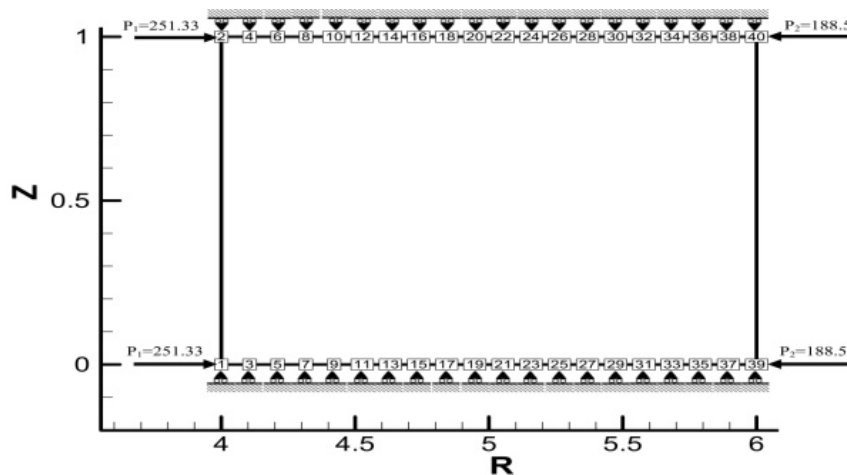
تنشهای دقیق این مسئله با توجه به حل تحلیلی آن به صورت روابط (4-19) تا (4-21) ارائه شده است [54].

$$s_r = \frac{r_1^2 r_2^2 (p_2 - p_1)}{r_2^2 - r_1^2} \frac{1}{r^2} + \frac{r_1^2 p_1 - r_2^2 p_2}{r_2^2 - r_1^2} \quad (19-4)$$

$$s_q = -\frac{r_1^2 r_2^2 (p_2 - p_1)}{r_2^2 - r_1^2} \frac{1}{r^2} + \frac{r_1^2 p_1 - r_2^2 p_2}{r_2^2 - r_1^2} \quad (20-4)$$

$$s_z = n(s_r + s_q) = 2n \frac{r_1^2 p_1 - r_2^2 p_2}{r_2^2 - r_1^2}, s_{zr} = 0 \quad (21-4)$$

برای مدل‌سازی و تحلیل این مسئله به روش ایزوژئومتریکی از یک وصله و 40 نقطه کنترلی استفاده شده است. در شکل 3-4 مختصات نقاط کنترلی و ترتیب نامگذاری آنها به همراه شرایط مرزی اعمال شده به نقاط کنترلی مربوطه نشان داده شده است.

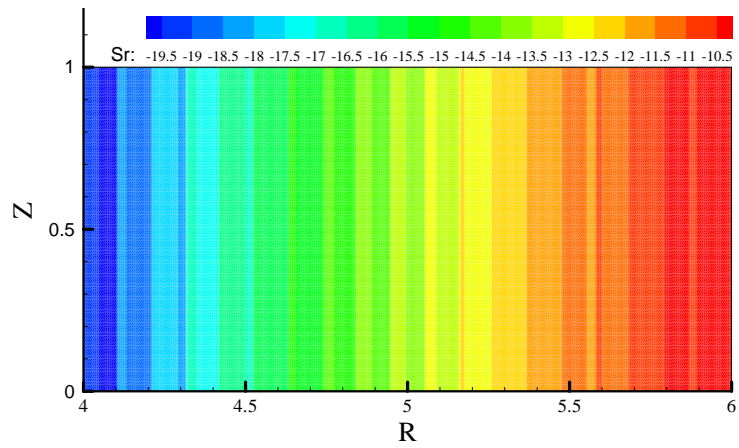


شکل 3-4 نقاط کنترلی و شرایط مرزی لوله جدار ضخیم تحت فشار داخلی و خارجی

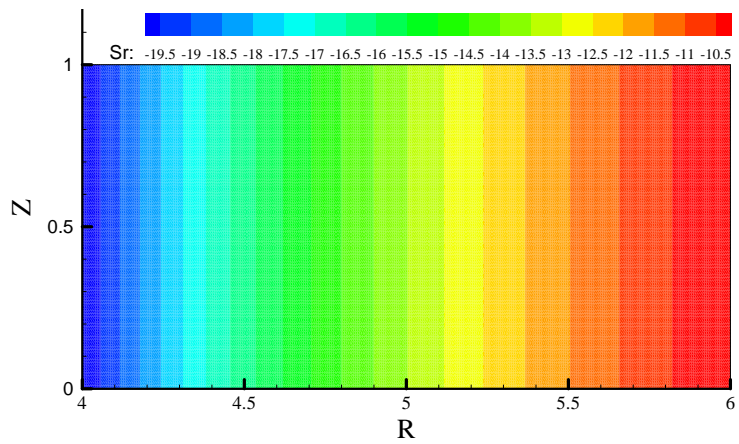
جهت نمایش بهتری از کارایی تخمین کننده خطای پیشنهادی با توجه به مرجع [55] از توابع شکل نریز مرتبه دو استفاده شده است. همچنین با توجه به مرتبه تابع شکل از نه نقطه گوسی جهت انتگرال گیری عددی و نقاط بهینه تنش استفاده شده است. بردارهای گرهی در جهات h و x به صورت زیر می‌باشند.

$$h = \{0, 0, 1, 1\}; x = \begin{Bmatrix} 0, 0, 0.053, 0.105, 0.158, 0.210, 0.263, 0.316, \\ 0.368, 0.421, 0.4746, 0.526, 0.579, 0.632, \\ 0.684, 0.737, 0.789, 0.842, 0.895, 0.947, 1, 1 \end{Bmatrix}$$

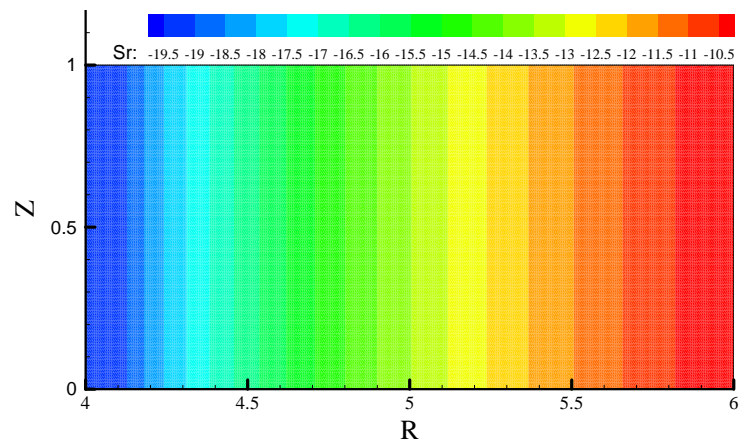
در شکل 4-4، به عنوان نمونه، کانتور تنش مولفه s_r برای حل دقیق، ایزوژئومتریکی و حل بهبود یافته نشان داده شده است. همان طور که مشاهده می‌شود نحوه تغییرات تنش بهبود یافته تشابه بیشتری با حل دقیق نسبت به حل ایزوژئومتریکی دارد.



الف) حل ایزوژئومتریکی



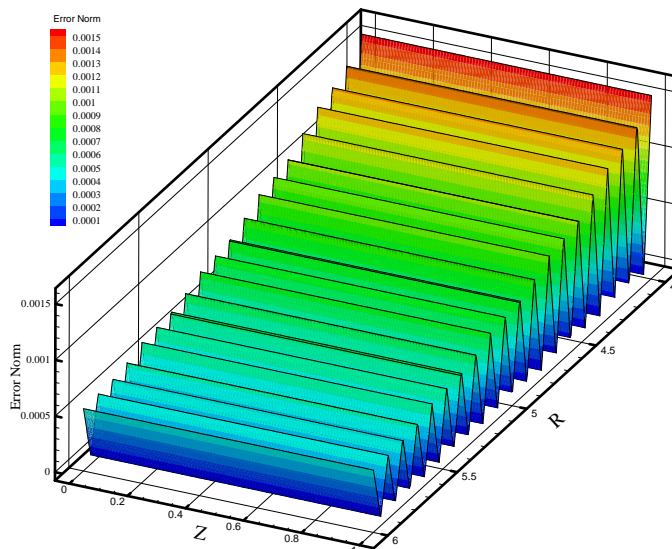
ب) حل دقیق



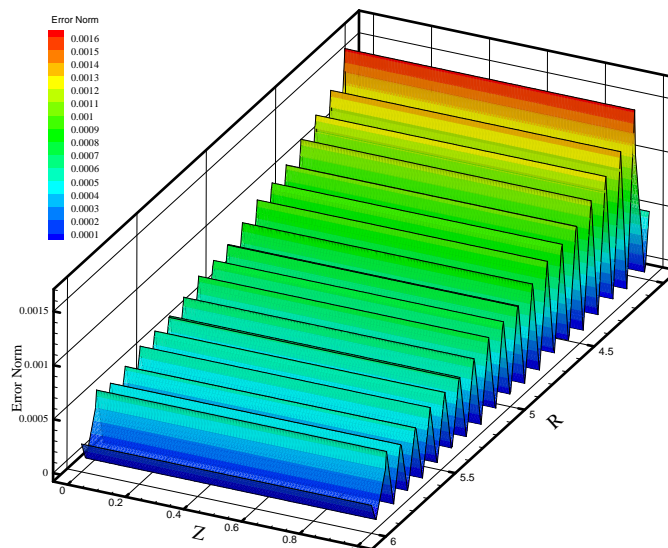
ج) حل بهبود یافته

شکل 4-4 کانتور تنش مولفه s_r لوله جدار ضخیم

در شکل 4-5 نحوه توزیع نرم خطای انرژی دقیق و نرم خطای انرژی تقریبی نشان داده شده است. همان طور که مشاهده می‌شود، تشابه در نحوه توزیع نرم خطای تقریبی نسبت به نرم خطای دقیق در این مثال، نشانه کارایی مناسب محاسبه‌گر خطای پیشنهادی برای برآورد خطای مسائل متقارن محوری می‌باشد.



الف) نرم خطای دقیق

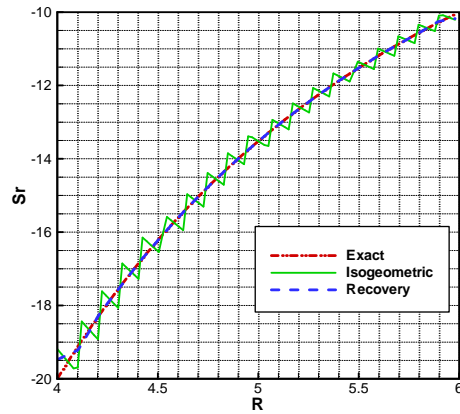
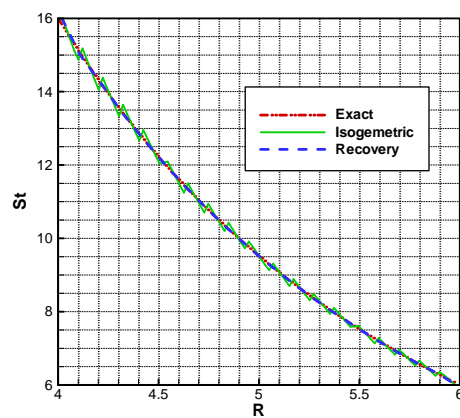
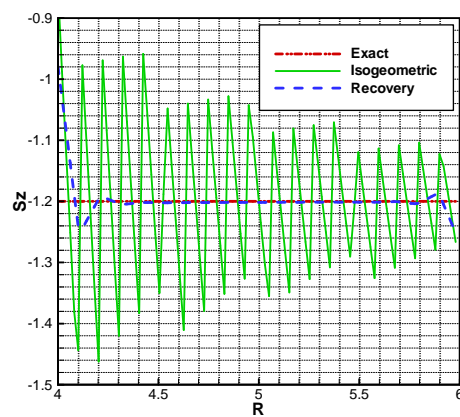


ب) نرم خطای تقریبی

شکل 4-5 توزیع نرم خطای انرژی لوله جدار ضخیم

جهت مقایسه دیگری از نحوه تغییرات تنش دقیق با حل ایزوژئومتریکی و بهبود یافته، به ترسیم نمودار

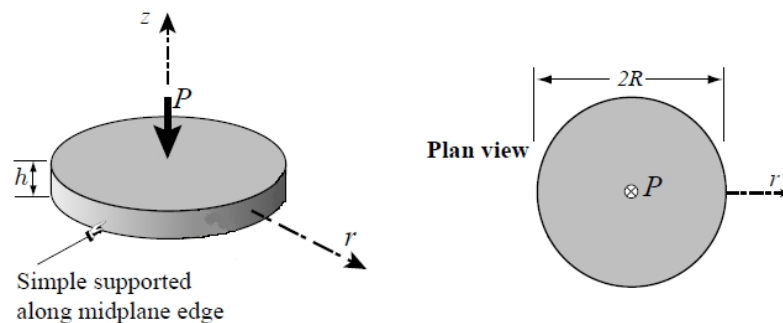
تغییرات تنش در مسیر افقی به مختصاتهای $(r, 0.5)$ پرداخته شده است که در شکل 4-6 مشاهده می‌شود.

الف) مولفه تنش S_r ب) مولفه تنش S_θ ج) مولفه تنش S_z

شکل 4-6 نمودار تغییرات مولفه‌های تنش لوله جدار ضخیم در مسیر $Z=0.5$

6-4- صفحه دایره‌ای شکل تحت بار متمرکز

مسئله نمونه دیگری که در این قسمت به آن پرداخته می‌شود، مدلسازی یک صفحه دایره‌ای تحت بار متمرکز P در مرکز و تکیه‌گاه‌های مفصلی در لبه‌های آن، تحت شرایط تقارن محوری می‌باشد (شکل 7-4).



شکل 7-4 صفحه دایره‌ای شکل تحت بار متمرکز در مرکز

با توجه به شکل 7-4، پارامترهای به کار برده شده در تحلیل این مسئله به صورت زیر می‌باشند:

$$R = 10, \quad h = 1, \quad P = 10, \quad E = 1000, \quad \nu = 0.3$$

تنشهای دقیق این مسئله با فرض مدل صفحه کیرشهف¹ به صورت روابط (22-4) تا (24-4) ارائه شده است [56].

$$s_r = \frac{12M_r Z}{h^3}, \quad M_r = \frac{P}{4p} (1+u) \log \frac{R}{r} \quad (22-4)$$

$$s_q = \frac{12M_q Z}{h^3}, \quad (23-4)$$

$$M_q = \frac{P}{4p} \left[(1+u) \log \frac{R}{r} + 1 - u \right] \quad (24-4)$$

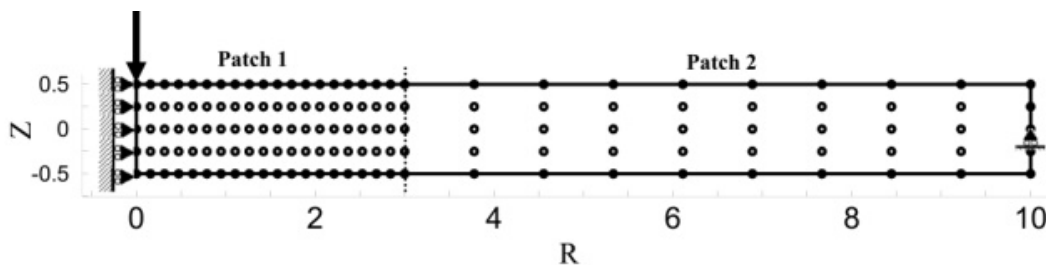
$$s_z = 0, \quad s_{zr} = 0$$

همان طور که در معادلات (22-4) و (23-4) مشاهده می‌شود، پاسخ تحلیلی این مسئله در $r=0$ دارای نقطه تکین می‌باشد. لازم به ذکر است که معمولاً مسائل با نقطه تکین، به علت بالا بودن خطای آلودگی، مسائل خوبی جهت بررسی کارایی تخمین کننده‌های خطا به شمار نمی‌روند؛ اما هدف از ارائه این مثال، بررسی رفتار تخمین کننده خطا می‌باشد. با توجه به این نکته که در نقاط تکین $r=0$

¹ Kirchhoff plate model

خطای زیادی نسبت به سایر نقاط وجود دارد، لذا یک تخمین کننده خطای مناسب باید به طور نسبی قادر به نمایش این توزیع خطا باشد. در صورتی که بهبود شبکه با توجه به نتایج بدست آمده از تخمین کننده خطا مورد نظر باشد، تخمین کننده خطایی که دارای آرایشی مناسب باشد می تواند برنامه را در هر مرحله به بهبود محلی شبکه در اطراف نوک ترک راهنمایی کند.

برای مدلسازی و تحلیل این مسئله به روش ایزوژئومتریکی از دو وصله و 145 نقطه کنترلی استفاده شده است. در شکل 4-8 مختصات نقاط کنترلی در هر وصله و شرایط مرزی اعمال شده به آنها نشان داده شده است.

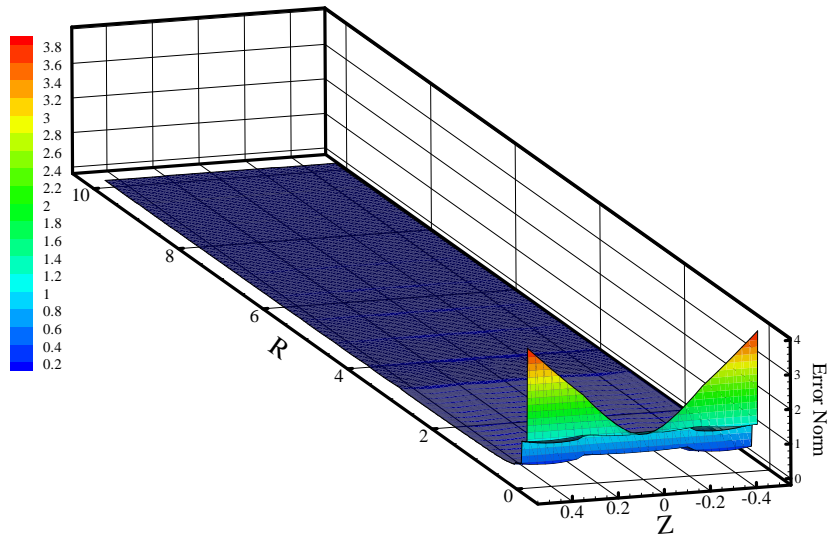


شکل 4-8 نقاط کنترلی و شرایط مرزی صفحه دایره‌ای تحت بار متمرکز در مرکز

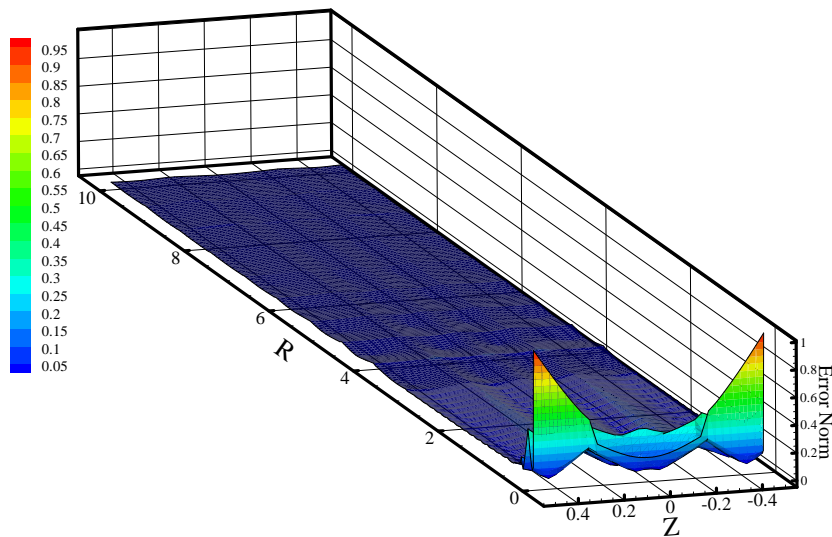
مشابه مثال قبل، در این مسئله نیز از توابع شکل نرَبز مرتبه دو و نه نقطه گوسی جهت انتگرال گیری عددی و نقاط بهینه تنش در هر وصله استفاده شده است. بردارهای گرهی در جهات h و x به صورت زیر می باشند.

$$h = \{0, 0, 0.25, 0.5, 0.75, 1, 1\}; x = \left\{ \begin{array}{l} 0, 0, 0.05, 0.11, 0.16, 0.21, 0.26, 0.32, \\ 0.37, 0.42, 0.47, 0.53, 0.58, 0.63, 0.68, \\ 0.74, 0.79, 0.84, 0.89, 0.95, 1, 1 \end{array} \right\}$$

در شکل 4-9 نحوه توزیع نرم خطای انرژی دقیق و نرم خطای انرژی تقریبی نشان داده شده است. همان طور که مشاهده می شود، در توزیع نرم خطای تقریبی نیز میزان خطا در $r=0$ نسبت به سایر نقاط بیشتر نشان داده شده است که نشان دهنده رفتار مناسب تخمین کننده خطا می باشد.



الف) نرم خطای دقیق



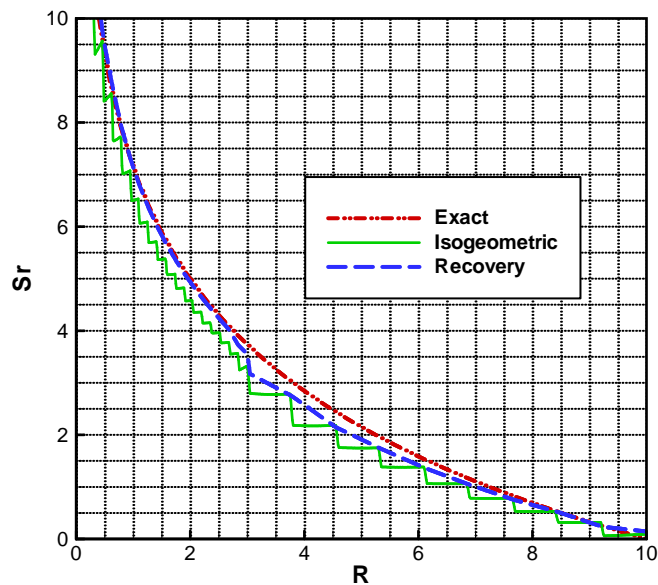
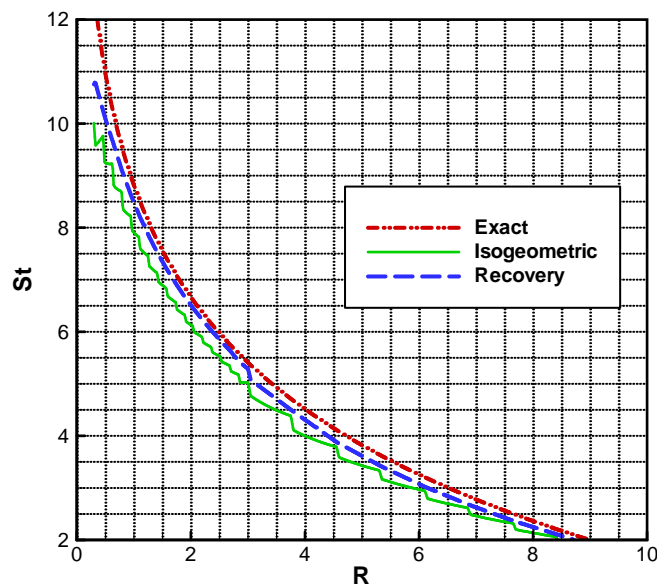
ب) نرم خطای تقریبی

شکل 4-9 توزیع نرم خطای انرژی صفحه دایره‌ای

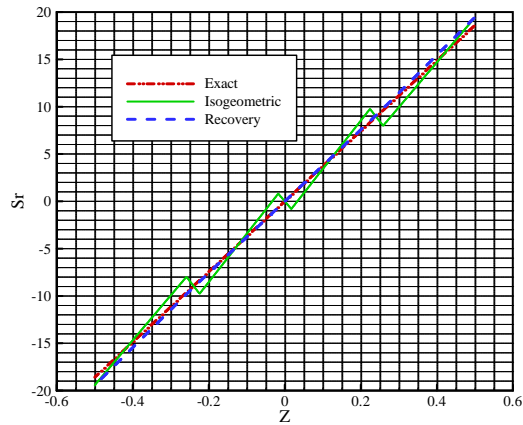
در شکل‌های 4-10 و 4-11 جهت مقایسه نحوه تغییرات تنش دقیق با حل ایزوژئومتریک و بهبود یافته، به ترسیم نمودار تغییرات تنش در مسیر افقی به مختصاتهای $(r, 0.25)$ و عمودی $(0.5, z)$ پرداخته شده است. لازم به ذکر است که به علت تغییرات زیاد حل تحلیلی در نزدیکی $r=0$ نمودارها از $r=0.3$ به بعد ترسیم شده اند.

در نهایت با توجه به تشابه توزیع نرم خطای تقریبی و نرم خطای دقیق در مسائل حل شده در این

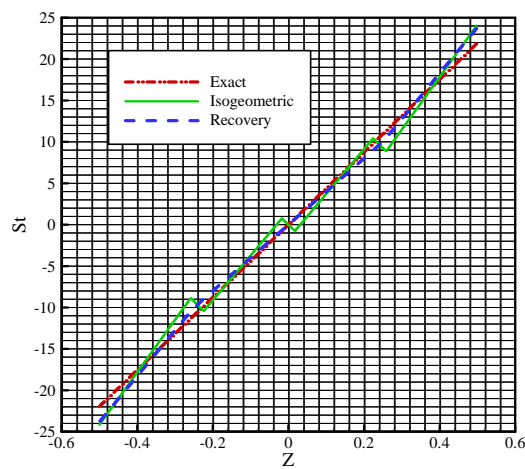
بخش و همچنین نزدیکی نمودارهای مولفه‌های تنش بهبود یافته به حل دقیق، نسبت به مولفه‌های تنش ایزوژئومتریکی در این مسائل، می‌توان بیان نمود که نقاط فوق همگرایی تنش در تحلیل ایزوژئومتریکی مسائل متقارن محوری نیز از کارایی مناسبی برخوردار می‌باشند و می‌توان از آنها به عنوان راه حلی ساده و مهندسی جهت برآورد خطا و بهبود میدان تنش بدست آمده از تحلیل مسائل متقارن محوری به روش ایزوژئومتریکی نام برد.

الف) مولفه تنش S_r ب) مولفه تنش S_θ

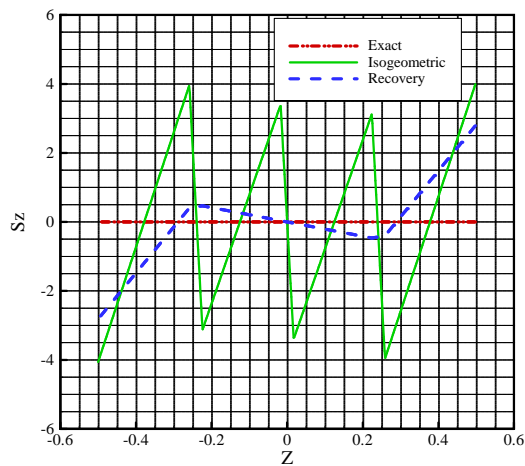
شکل 4-10 نمودار تغییرات مولفه‌های تنش صفحه دایره‌ای در مسیر $Z=0.25$



الف) مولفه تنش S_r



ب) مولفه تنش S_q



ج) مولفه تنش S_z

شکل 4-11 نمودار تغییرات مولفه‌های تنش صفحه دایره‌ای در مسیر $R=0.5$

فصل پنجم

بازیافت تنش و برآورد خطا در تحلیل

ایزوژنومتریک مسائل سه بعدی

5-1- مقدمه

در فصل‌های سه و چهار، کاربرد استفاده از نقاط فوق همگرای گوسی در تشکیل سطح تنش بهبود یافته و برآورد توزیع خطای مسائل دوبعدی ایزوژئومتریکی مورد بررسی قرار گرفت. اما با توجه به اینکه تحلیل مسائل سه بعدی، کاربرد ویژه‌ای در طراحی مهندسی و حل مسائل واقعی دارد، بررسی تاثیر نقاط فوق همگرای گوسی در تشکیل سطح تنش بهبود یافته این مسائل و ارائه یک راهکار موثر جهت برآورد خطا و افزایش قابلیت اعتماد نتایج حاصل از تحلیل مسائل سه بعدی، از اهمیت بالایی برخوردار است. در این فصل به توسعه روش برآورد خطا بر مبنای نقاط فوق همگرای مسائل دو بعدی، جهت استفاده در تحلیل ایزوژئومتریکی مسئله‌های سه بعدی و بررسی تاثیر استفاده از نقاط انتگرال گیری گوسی جهت بهبود حل و برآورد خطای این مسائل پرداخته شده است. بدین منظور به مدلسازی و تحلیل دو مثال نمونه دارای حل تحلیلی پرداخته شده است. تیر طره با مقطع دایره و مربع دو مثال حل شده در این پژوهش می‌باشند. با توجه به تشابه توزیع نرم خطای دقیق و تقریبی و بهبود دقت مولفه‌های تنش بازیافتی نسبت به حل ایزوژئومتریکی برای دو مثال حل شده در این پژوهش، می‌توان بیان نمود که نقاط گوسی در تحلیل ایزوژئومتریکی مسائل سه بعدی نیز از خاصیت فوق همگرایی مناسبی برخوردار می‌باشند و می‌توان از آنها جهت بهبود نتایج تحلیل ایزوژئومتریکی مسائل سه بعدی و برآورد خطای آن استفاده نمود.

در ادامه به چگونگی تولید هندسه سه بعدی با استفاده از تکنیک نربز در تحلیل ایزوژئومتریکی پرداخته شده است. همچنین فرمولبندی تحلیل سه بعدی مسائل با استفاده از روش ایزوژئومتریکی بیان می‌شود و در نهایت نحوه تشکیل تنش بهبود یافته در تحلیل ایزوژئومتریکی مسائل سه بعدی تشریح شده است.

5-2- تولید هندسه سه بعدی با استفاده از تکنیک نربز

مشابه فرمولهای که در بخش 3-2-1 در چگونگی تشکیل منحنی‌ها و سطوح توسط تکنیک نربز بیان

شد، احجام نیز با استفاده از تکنیک نریز مطابق رابطه (1-5) بیان می‌شوند [51].

$$V(x, h, z) = \frac{\sum_{i=0}^n \sum_{j=0}^m \sum_{k=0}^l N_{i,p}(x) N_{j,q}(h) N_{k,r}(z) w_{i,j,k}}{\sum_{i=0}^n \sum_{j=0}^m \sum_{k=0}^l N_{i,p}(x) N_{j,q}(h) N_{k,r}(z) w_{i,j,k}} P_{i,j,k} \quad (1-5)$$

$$= \sum_{i=0}^n \sum_{j=0}^m \sum_{k=0}^l R_{i,j,k} P_{i,j,k} \quad 0 \leq x, h, z \leq 1$$

در این رابطه بردار گرهی x و h مطابق رابطه (6-3) و ζ به صورت زیر تعریف می‌شود:

$$\zeta = \left\{ \underbrace{0, \dots, 0}_{r+1}, z_{r+1}, \dots, z_{z-r-1}, \underbrace{1, \dots, 1}_{r+1} \right\} \quad (2-5)$$

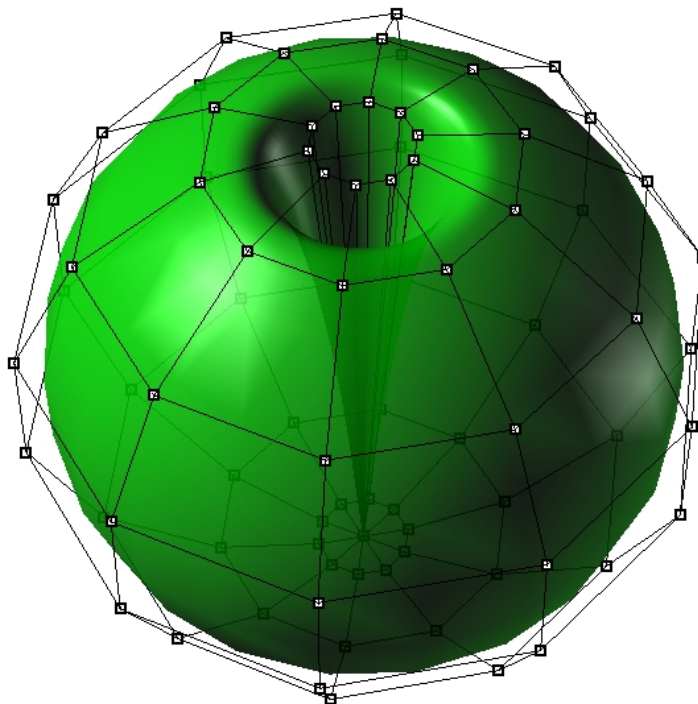
که دارای $z+1$ گره می‌باشد. $P_{i,j,k}$ نقاط کنترلی که به تعداد $(n+1) \times (m+1) \times (l+1)$ می‌باشند.

وزنه‌های متناظر با نقاط کنترلی $P_{i,j,k}$ ، $N_{i,p}(x)$ ، $N_{j,q}(h)$ و $N_{k,r}(z)$ به ترتیب توابع

پایه بی-اسپلاین از درجه p ، q و r می‌باشند.

به طور مثال در شکل (1-5) شبکه نقاط کنترلی و حجم تولید شده از آن با استفاده از تکنیک نریز

نشان داده شده است.



شکل 1-5 شبکه نقاط کنترلی و حجم نریز مربوط به آن

3-5- فرمولبندی تحلیل ایزوژئومتریکی در مسائل سه بعدی

کلی ترین مسائل در تحلیل سازه‌ها، مسائل سه بعدی می‌باشند که در صنعت نیز کاربرد فراوان دارند. در این مسائل هزینه ساخت شبکه اجزای محدود نسبت به مسائل دوبعدی، به دلیل پیچیده بودن هندسه آن بسیار بیشتر است. بنابراین به نظر می‌رسد حل این مسائل به کمک روش ایزوژئومتریکی از اهمیت بیشتری برخوردار باشد.

در مکانیک محیط‌های پیوسته، سازه‌های سه بعدی در هر نقطه، دارای سه درجه آزادی تغییر مکانی می‌باشند. در این مسائل شش مولفه کرنش وجود دارد. ماتریس کرنش را در مسائل سه بعدی می‌توان به صورت زیر نوشت:

$$\mathbf{e} = \begin{Bmatrix} e_x \\ e_y \\ e_z \\ g_{xy} \\ g_{yz} \\ g_{zx} \end{Bmatrix} = \begin{Bmatrix} \partial u_x / \partial x \\ \partial u_y / \partial y \\ \partial u_z / \partial z \\ \partial u_x / \partial y + \partial u_y / \partial x \\ \partial u_y / \partial z + \partial u_z / \partial y \\ \partial u_z / \partial x + \partial u_x / \partial z \end{Bmatrix} = \mathbf{L}\mathbf{u} \quad (3-5)$$

که در این رابطه:

$$\mathbf{L} = \begin{bmatrix} \partial / \partial x & 0 & 0 \\ 0 & \partial / \partial y & 0 \\ 0 & 0 & \partial / \partial z \\ \partial / \partial y & \partial / \partial x & 0 \\ 0 & \partial / \partial z & \partial / \partial y \\ \partial / \partial z & 0 & \partial / \partial x \end{bmatrix} \quad (4-5)$$

$$\mathbf{u} = \begin{Bmatrix} u \\ v \\ w \end{Bmatrix} \quad (5-5)$$

بنابراین در مسائل سه بعدی سه مولفه تغییر مکانی u ، v و w بایستی تقریب زده شوند. در روش

ایزوژئومتریکی این کار با استفاده از توابع پایه نریز به صورت زیر انجام می‌گیرد:

$$\mathbf{u} \approx \bar{\mathbf{u}}^p(x, h, z) = \sum_{i=0}^n \sum_{j=0}^l \sum_{k=0}^m R_{i,j,k}(x, h, z) \mathbf{P}_{i,j,k}^p \quad (6-5)$$

که در این رابطه $R_{i,j,k}(x,h,z)$ ، مطابق رابطه (1-5) توابع پایه نربز می‌باشد و $\mathbf{P}_{i,j,k}^p$ متغیرهای کنترلی مربوط به زیردامنه p در مسئله می‌باشند. با توجه به خاصیت بازه تاثیر توابع نربز که بیان می‌کند برای هر x ، h و z فقط تعداد محدودی از این توابع غیر صفر می‌باشند برای کاهش هزینه محاسبات، معادله (6-5) را به صورت (7-5) بیان نمود.

$$\bar{\mathbf{u}}^{i,j,k} = \begin{Bmatrix} u^{i,j,k}(x,y,z) \\ v^{i,j,k}(x,y,z) \\ w^{i,j,k}(x,y,z) \end{Bmatrix} = \begin{Bmatrix} \sum_{e=i-p}^i \sum_{f=j-q}^j \sum_{g=k-r}^k R_{e,f,g}(x,h,z) P_{u_{e,f,g}} \\ \sum_{e=i-p}^i \sum_{f=j-q}^j \sum_{g=k-r}^k R_{e,f,g}(x,h,z) P_{v_{e,f,g}} \\ \sum_{e=i-p}^i \sum_{f=j-q}^j \sum_{g=k-r}^k R_{e,f,g}(x,h,z) P_{w_{e,f,g}} \end{Bmatrix} = \mathbf{R} \cdot \mathbf{P} \quad (7-5)$$

در رابطه بالا \mathbf{R} ماتریس توابع پایه‌ای نسبی نربز و \mathbf{P} ماتریس ستونی مختصات نقاط کنترلی به صورت (8-5) و (9-5) بیان می‌شوند.

$$\mathbf{R} = \begin{bmatrix} R_{i-p,j-q,k-r}(x,h,z) & 0 & 0 \\ 0 & R_{i-p,j-q,k-r}(x,h,z) & 0 \\ 0 & 0 & R_{i-p,j-q,k-r}(x,h,z) \\ \mathbf{M} & \mathbf{M} & \mathbf{M} \\ R_{i-p,j-q,k}(x,h,z) & 0 & 0 \\ 0 & R_{i-p,j-q,k}(x,h,z) & 0 \\ 0 & 0 & R_{i-p,j-q,k}(x,h,z) \\ \mathbf{M} & \mathbf{M} & \mathbf{M} \\ R_{i-p,j,k}(x,h,z) & 0 & 0 \\ 0 & R_{i-p,j,k}(x,h,z) & 0 \\ 0 & 0 & R_{i-p,j,k}(x,h,z) \\ \mathbf{M} & \mathbf{M} & \mathbf{M} \\ R_{i,j,k}(x,h,z) & 0 & 0 \\ 0 & R_{i,j,k}(x,h,z) & 0 \\ 0 & 0 & R_{i,j,k}(x,h,z) \end{bmatrix}^T \quad (8-5)$$

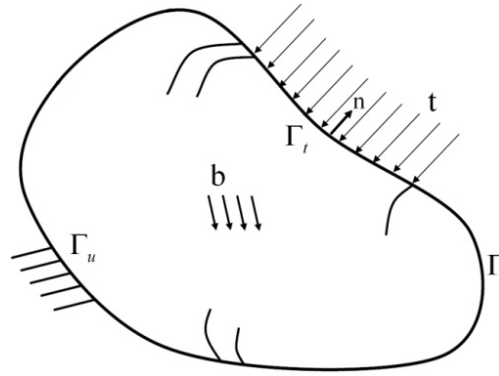
$$\mathbf{P} = \begin{bmatrix} P_{u \ i-p, j-q, k-r} \\ P_{v \ i-p, j-q, k-r} \\ P_{w \ i-p, j-q, k-r} \\ \mathbf{M} \\ P_{u \ i-p, j-q, k} \\ P_{v \ i-p, j-q, k} \\ P_{w \ i-p, j-q, k} \\ \mathbf{M} \\ P_{u \ i-p, j, k} \\ P_{v \ i-p, j, k} \\ P_{w \ i-p, j, k} \\ \mathbf{M} \\ P_{u \ i, j, k} \\ P_{v \ i, j, k} \\ P_{w \ i, j, k} \end{bmatrix} \quad (9-5)$$

با توجه به رابطه (7-5) مشاهده می‌شود که تنها پارامتر مجهول برای تعیین تغییر مکان در جهت x ، y و z بردار \mathbf{P} می‌باشد. محدودیتی که بردار مولفه‌های چهارم مختصات نقاط کنترلی نریز را برای هر مولفه تغییر مکان مشخص می‌کند، ارضای معادله دیفرانسیل تعادل در دامنه تحلیل ایزوژئومتریک است.

معادله دیفرانسیل تعادل و شرایط مرزی نیرو و جابجایی حاکم بر یک مسئله الاستیسیته را می‌توان به صورت رابطه (10-5) تعریف نمود:

$$\begin{aligned}
 \mathbf{L}^T \boldsymbol{\sigma} + \mathbf{b} &= 0 \quad \text{in } \Omega \\
 \boldsymbol{\sigma}_{ij} \mathbf{n}_j &= \mathbf{t}_i \quad \text{on } \Gamma_t \\
 \mathbf{u}_i &= \hat{\mathbf{u}}_i \quad \text{on } \Gamma_u
 \end{aligned} \quad (10-5)$$

که در آن L عملگر مشتق می‌باشد و به صورت رابطه (4-5) تعریف می‌شود. \mathbf{u} و \mathbf{b} به ترتیب بردارهای جابجایی و نیروی‌های حجمی، $\boldsymbol{\sigma}$ مشابه رابطه (5-18)، بردار ستونی مولفه‌های تنش و $\boldsymbol{\sigma}_{ij}$ ماتریس مربعی تنش می‌باشند. \mathbf{t}_i نیروهای سطحی از پیش تعیین شده بر روی مرز طبیعی Γ_t و $\hat{\mathbf{u}}_i$ جابجایی از پیش تعیین شده بر روی مرز ضروری Γ_u و \mathbf{n}_i بردار یکه عمود بر هر نقطه از مرز طبیعی و به سمت خارج سطح می‌باشد (شکل 5-2).



شکل 2-5 شرایط مرزی یک مسئله الاستیسیته

با جایگذاری (7-5) در (10-5) و با استفاده از روش تغییر مکان مجازی و یا روش مینیمم کردن تابع پتانسیل صورت ضعیف معادله (10-5)، مشابه آنچه در تحلیل دوبعدی ایزوژئومتریک گفته شده بود، به صورت زیر به دست می‌آید:

$$\int_{\Omega} \mathbf{B}^T (\mathbf{D}\mathbf{B}\mathbf{P}) d\Omega - \int_{\Omega} \mathbf{R}^T \mathbf{b} d\Omega - \int_{\Gamma_t} \mathbf{R}^T \mathbf{t} d\Gamma = 0 \quad (11-5)$$

که در آن \mathbf{R} و \mathbf{P} مطابق با روابط (8-5) و (9-5)، \mathbf{D} ماتریس خواص مصالح و \mathbf{B} ماتریس مشتقات توابع شکل نریز به صورت (12-5) و (13-5) تعریف می‌شود.

$$D = \frac{E}{(1+n)(1-2u)} \begin{bmatrix} 1-n & n & 0 & 0 & 0 & 0 \\ & 1-n & n & 0 & 0 & 0 \\ & & 1-n & 0 & 0 & 0 \\ & & & (1-2n)/2 & 0 & 0 \\ \text{sym.} & & & & (1-2n)/2 & 0 \\ & & & & & (1-2n)/2 \end{bmatrix} \quad (12-5)$$

$$\mathbf{B} = \mathbf{L}\mathbf{R} = \begin{bmatrix} \frac{\partial R_{i-p,j-q,k-r}(x,h,z)}{\partial x} & 0 & 0 & \mathbf{L} \\ 0 & \frac{\partial R_{i-p,j-q,k-r}(x,h,z)}{\partial y} & 0 & \mathbf{L} \\ 0 & 0 & \frac{\partial R_{i-p,j-q,k-r}(x,h,z)}{\partial z} & \mathbf{L} \\ \frac{\partial R_{i-p,j-q,k-r}(x,h,z)}{\partial y} & \frac{\partial R_{i-p,j-q,k-r}(x,h,z)}{\partial x} & 0 & \mathbf{L} \\ 0 & \frac{\partial R_{i-p,j-q,k-r}(x,h,z)}{\partial z} & \frac{\partial R_{i-p,j-q,k-r}(x,h,z)}{\partial y} & \mathbf{L} \\ \frac{\partial R_{i-p,j-q,k-r}(x,h,z)}{\partial z} & 0 & \frac{\partial R_{i-p,j-q,k-r}(x,h,z)}{\partial x} & \mathbf{L} \end{bmatrix} \quad (13-5)$$

همچنین می توان رابطه (5-11) را به صورت زیر بیان نمود:

$$\mathbf{K}\mathbf{P} = \mathbf{F} \quad (14-5)$$

که در آن \mathbf{K} ماتریس ضرایب (ماتریس سختی)، \mathbf{P} مجهولات مسئله و \mathbf{F} نیروهای خارجی وارد بر - دامنه می باشند. حال با گسسته سازی دامنه، \mathbf{K} و \mathbf{F} به ترتیب از گردآوری ماتریس سختی و بردار نیروی هر المان از فضای پارامتری، مطابق با (5-15) ساخته می شوند:

$$\mathbf{K}_e = \int_{\Omega_e} \mathbf{B}^T (\mathbf{D}\mathbf{B}) d\Omega ; \quad (15-5)$$

$$\mathbf{F}_e = \int_{\Omega_e} \mathbf{R}^T \mathbf{b} d\Omega + \int_{\Gamma_e} \mathbf{R}^T t d\Gamma$$

و در نهایت با حل (5-14) و مشخص شدن بردار \mathbf{P} می توان مولفه های کرنش و تنش را به صورت زیر به دست آورد:

$$\boldsymbol{\varepsilon} = \mathbf{B}\mathbf{P} ; \quad \boldsymbol{\sigma} = \mathbf{D}\boldsymbol{\varepsilon} \quad (16-5)$$

مشابه روش اجزای محدود، در روش ایزوژئومتریکی نیز از توابع پایه یکسان جهت تقریب تابع مجهول و هندسه استفاده می شود. در این روش مختصات نقاط کنترلی طوری انتخاب می شوند که مولفه های اول، دوم و سوم مختصات این نقاط هندسه مسئله را در حالت سه بعدی برآورد کنند. در اینصورت مولفه چهارم مختصات نقاط کنترلی برای هر مولفه ی تغییر مکان طوری محاسبه می شود که در هر نقطه از فضای سه بعدی مسئله مقدار آن تقریب زده شود. بنابراین در یک مسئله سه بعدی هندسه مسئله بصورت زیر تقریب زده می شود:

$$\mathbf{V} = \begin{Bmatrix} X(x, y, z) \\ Y(x, y, z) \\ Z(x, y, z) \end{Bmatrix} = \begin{Bmatrix} \sum_{i=0}^n \sum_{j=0}^m \sum_{k=0}^l R_{i,j,k}(x, h, z) P_{x_{i,j,k}} \\ \sum_{i=0}^n \sum_{j=0}^m \sum_{k=0}^l R_{i,j,k}(x, h, z) P_{y_{i,j,k}} \\ \sum_{i=0}^n \sum_{j=0}^m \sum_{k=0}^l R_{i,j,k}(x, h, z) P_{z_{i,j,k}} \end{Bmatrix} \quad (17-5)$$

در روابط فوق توابع پایه نرَبز $R_{i,j,k}(x, h, z)$ برحسب مختصات x, h و z نوشته شده اند که همانند روش اجزای محدود لزوم نیاز به نگاشت در محاسبات را همانند آنچه در تحلیل تنش-کرنش مسطح

بیان شده بود، ایجاب خواهد کرد.

5-4- نحوه محاسبه تنش بهبود یافته در مسائل سه بعدی

در مسائل سه بعدی، می توان تنش بهبود یافته هر یک از مولفه های تنش را با توجه به توابع شکل نریز به صورت زیر در نظر گرفت:

$$\boldsymbol{\sigma}^* = \begin{Bmatrix} \sigma_x^* \\ \sigma_y^* \\ \sigma_z^* \\ \tau_{xy}^* \\ \tau_{yz}^* \\ \tau_{zx}^* \end{Bmatrix} = \begin{Bmatrix} \mathbf{R}^T \mathbf{P}_{xx} \\ \mathbf{R}^T \mathbf{P}_{yy} \\ \mathbf{R}^T \mathbf{P}_{zz} \\ \mathbf{R}^T \mathbf{P}_{xy} \\ \mathbf{R}^T \mathbf{P}_{yz} \\ \mathbf{R}^T \mathbf{P}_{zx} \end{Bmatrix} \quad (18-5)$$

که در آن \mathbf{R} و \mathbf{P} مطابق روابط (19-5) و (20-5) تعریف می شوند.

$$\mathbf{R} = [R_{1,1,1}, R_{1,1,2}, \dots, R_{1,1,l}, R_{1,2,1}, R_{1,2,2}, \dots, R_{1,2,l}, \dots, R_{n,m,l}]^T \quad (19-5)$$

$$\mathbf{P}_a = [P_{1,1,1}, P_{1,1,2}, \dots, P_{1,1,n}, P_{1,2,1}, P_{1,2,2}, \dots, P_{1,2,n}, \dots, P_{n,m,l}]^T \quad (20-5)$$

$$a = xx, yy, zz, xy, yz, zx$$

در رابطه (20-5)، سه مولفه اول بردار نقاط کنترلی هر مولفه تنش، هندسه مسئله سه بعدی را تقریب می زند که معلوم می باشند و مولفه چهارم که مجهول است، مقدار تنش بهبود یافته را در هر نقطه درونیابی می کند. برای تعیین این مقادیر مجهول، مجموع مربعات اختلاف تنش بین مقدار بدست آمده از تحلیل ایزوژئومتریکی و تنش بهبود یافته را در نقاط گوس مینیمم می کنیم. برای این منظور تابع $F(\mathbf{P}_a)$ را برای هر مولفه تنش به صورت زیر تعریف می کنیم:

$$F(\mathbf{P}_a) = \sum_{l=1}^K (\mathbf{R}_l^T \mathbf{P}_a - \bar{\sigma}_a)^2 ; a = xx, yy, zz, xy, yz, zx \quad (21-5)$$

که در آن $\bar{\sigma}_a$ مولفه تنش بدست آمده از تحلیل ایزوژئومتریکی و K تعداد نقاط گوس موجود در هر ناحیه می باشد. در نهایت با مشتق گیری از تابع $F(\mathbf{P}_a)$ نسبت به مؤلفه های مجهول بردار \mathbf{P}_a و مساوی صفر قرار دادن آن مختصات چهارم نقاط کنترلی تنش بهبود یافته هر یک از مولفه ها مطابق رابطه (19-5) بدست می آید.

$$\frac{\partial F(\mathbf{P}_a)}{\partial P_{i,j}} = 0 \Rightarrow \mathbf{A}\mathbf{P}_a = \mathbf{B}_a \Rightarrow \mathbf{P}_a = \mathbf{A}^{-1}\mathbf{B}_a \quad (22-5)$$

که در آن:

$$\mathbf{A} = \sum_{i=1}^K \mathbf{R}_i \mathbf{R}_i^T \quad ; \quad \mathbf{B}_a = \sum_{i=1}^K \mathbf{R}_i \bar{\sigma}_a \quad (23-5)$$

$$\mathbf{a} = xx, yy, zz, xy, yz, zx$$

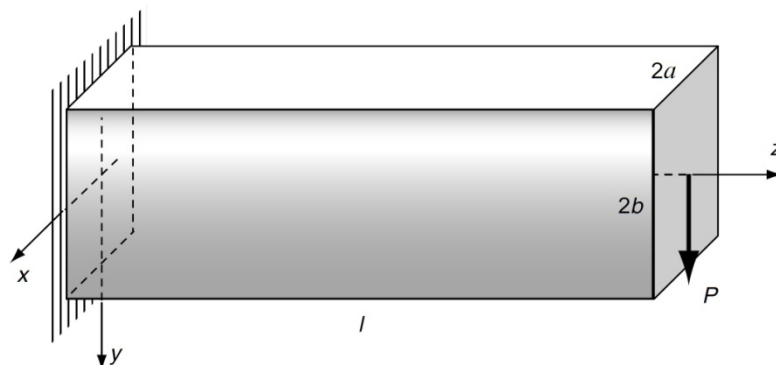
با داشتن مختصات چهارم نقاط کنترلی هر مولفه‌ی تنش، مقدار مربوط به آن نیز در هر نقطه از دامنه سه بعدی مسئله بدست می‌آید. همانگونه که در ادامه خواهیم دید، این میدان مؤلفه تنش نسبت به تنش بدست آمده از روش ایزوژئومتریکی دقیق تر می‌باشد و از این رو می‌تواند به عنوان یک تخمین کننده بالقوه خطا برای تحلیل ایزوژئومتریکی به کار رود.

در ادامه جهت بررسی کارایی این تخمین کننده خطا در برآورد خطای مسائل سه بعدی، به مقایسه نرم خطای انرژی و نرم خطای L_2 تقریبی و دقیق، برای دو مسئله سه بعدی الاستیسیته که دارای حل تحلیلی می‌باشند، پرداخته شده است.

5-5- تیر طره مکعب مستطیلی

در این قسمت به بیان نتایج گرفته شده از مدل‌سازی یک تیر الاستیک خطی ایزوتروپیک در حالت سه بعدی توسط تحلیل ایزوژئومتریکی و بازیابی تنش‌های آن پرداخته می‌شود (شکل 3-5). پارامترهای به کار برده شده در مدل‌سازی و آنالیز این تیر به صورت زیر می‌باشد:

$$a=1, \quad b=1, \quad L=10, \quad P=300, \quad E=1500, \quad n=0.25$$



شکل 3-5 تیر طره با مقطع مستطیلی [54]

تنشهای دقیق این مسئله با توجه به حل تحلیلی آن برای تنشهای غیر صفر، و با توجه به دستگاه مختصات در نظر گرفته شده در شکل 5-3، به صورت روابط (5-24) تا (5-26) ارائه شده است [54].

$$t_{xz} = \frac{2na^2P}{(1+n)p^2I_x} \sum_{n=1}^{\infty} \frac{(-1)^n}{n^2} \frac{\sin \frac{np x}{a} \sinh \frac{np y}{a}}{\cosh \frac{np b}{a}} \quad (24-5)$$

$$t_{yz} = \frac{P}{2I_x} (b^2 - y^2) + \frac{nP}{6(1+n)I_x} \left[3x^2 - a^2 - \frac{12a^2}{p^2} \sum_{n=1}^{\infty} \frac{(-1)^n}{n^2} \frac{\cos \frac{np x}{a} \cosh \frac{np y}{a}}{\cosh \frac{np b}{a}} \right] \quad (25-5)$$

$$s_z = \frac{P}{2I_x} y (l - z) \quad (26-5)$$

که در آن I_x ممان اینرسی مقطع حول محور x می باشد.

برای مدلسازی و تحلیل این مسئله به روش ایزوژئومتریک از یک ناحیه و 81 نقطه کنترلی استفاده شده است. همچنین در هر سه جهت x ، h و z از توابع شکل نریز درجه یک استفاده شده است و از بیست و هفت نقطه گوسی جهت انتگرال گیری عددی و نقاط بهینه تنش در هر المان استفاده شده است. بردارهای گرهی در جهات x ، h و z به صورت زیر در نظر گرفته شده است.

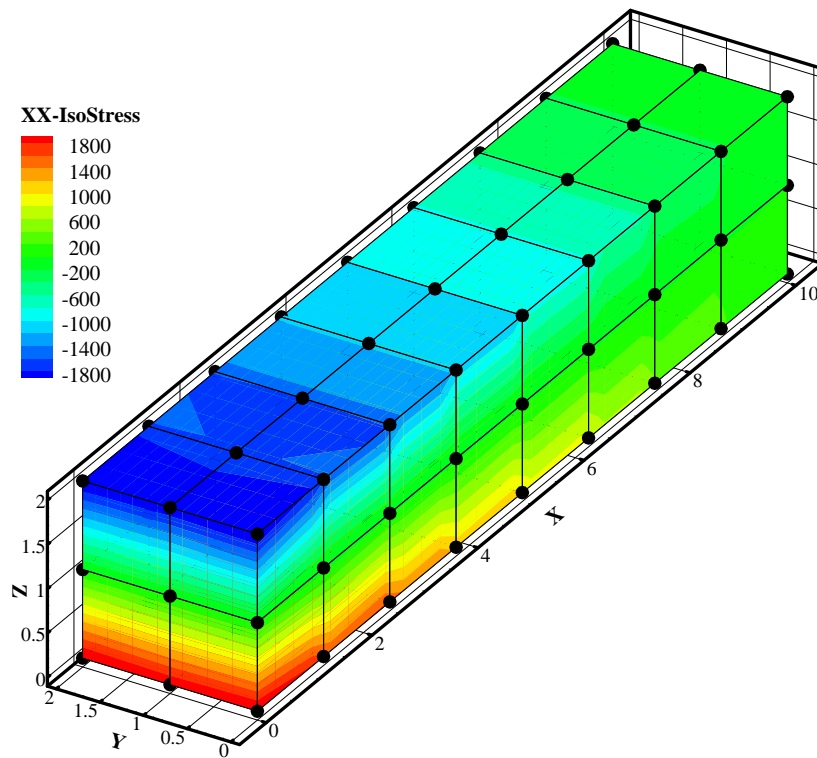
$$x = \{0, 0, 0.125, 0.25, 0.375, 0.5, 0.625, 0.75, 0.875, 1, 1\};$$

$$h = \{0, 0, 0.5, 1, 1\}; \quad z = \{0, 0, 0.5, 1, 1\}$$

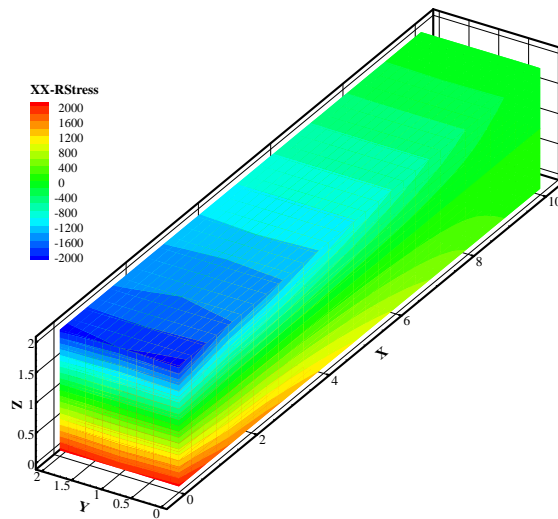
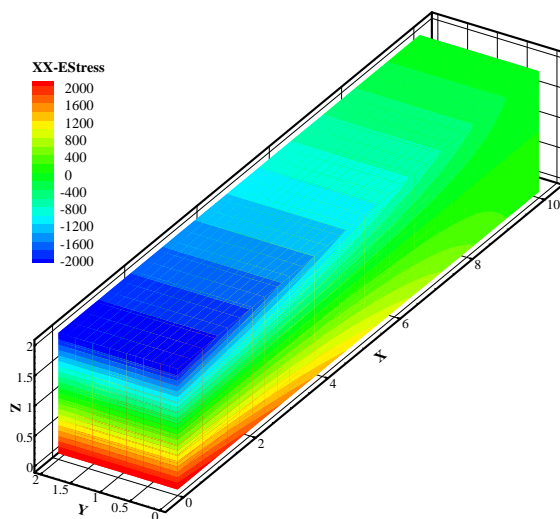
در شکل 5-4، نحوه آرایش نقاط کنترلی تیر طره مکعب مستطیلی و کانتور تنش حاصل از حل ایزوژئومتریک، حل بهبود یافته و حل دقیق برای مولفه تنش s_x نشان داده شده است. همان طور که مشاهده می شود نحوه تغییرات تنش بهبود یافته نسبت به حل ایزوژئومتریک، تشابه بیشتری با حل دقیق دارد. همچنین شاخص تاثیر نرم خطای انرژی برای این مثال 0/81 محاسبه شده است.

در شکل‌های 5-5، 5-6 و 5-7 به ترتیب نحوه توزیع نرم خطای L_2 دقیق و تقریبی برای تنش‌های s_x ، t_{xy} و t_{xz} نمایش داده شده است. همانطور که مشاهده می شود تشابه نرم خطای تقریبی و دقیق در این مثال، نشانه کارایی مناسب محاسبه گر خطای پیشنهادی برای برآورد خطای مسائل سه بعدی با

استفاده از روش ایزوژئومتریکی می باشد.



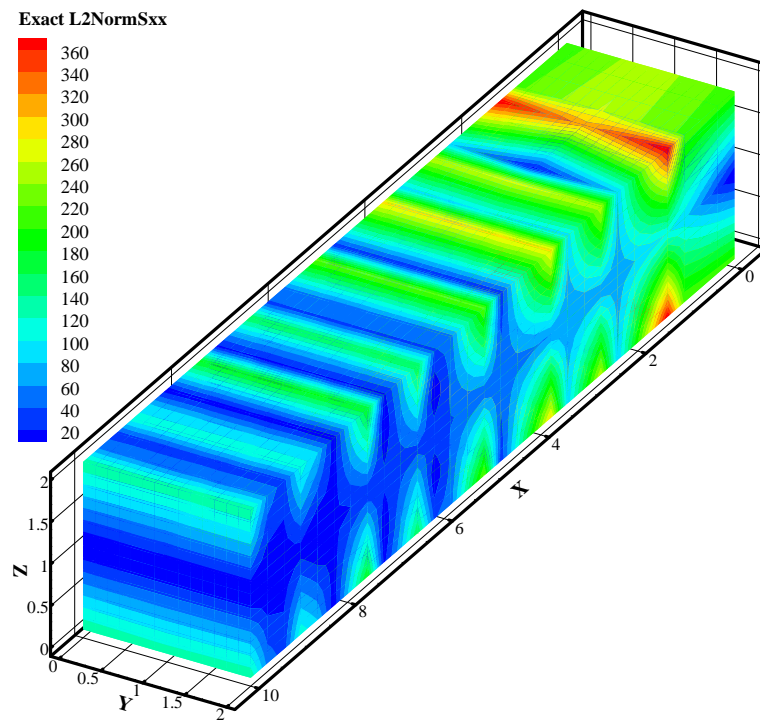
الف) شبکه نقاط کنترلی و توزیع تنش حاصل از حل ایزوژئومتریکی



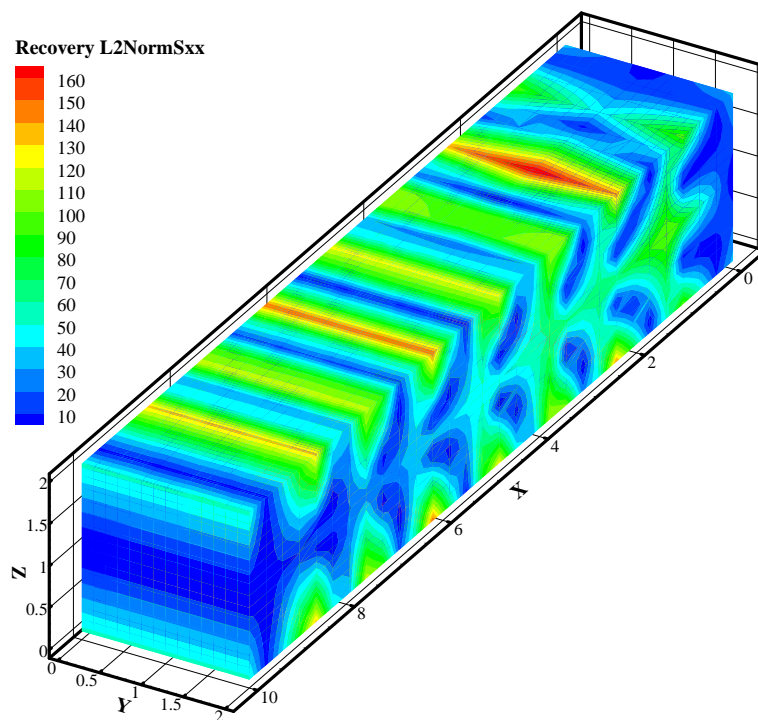
ج) توزیع تنش حاصل از حل دقیق

ب) توزیع تنش حاصل از حل بهبود یافته

شکل 4-5 توزیع تنش s_x تیر طره مکعب مستطیلی

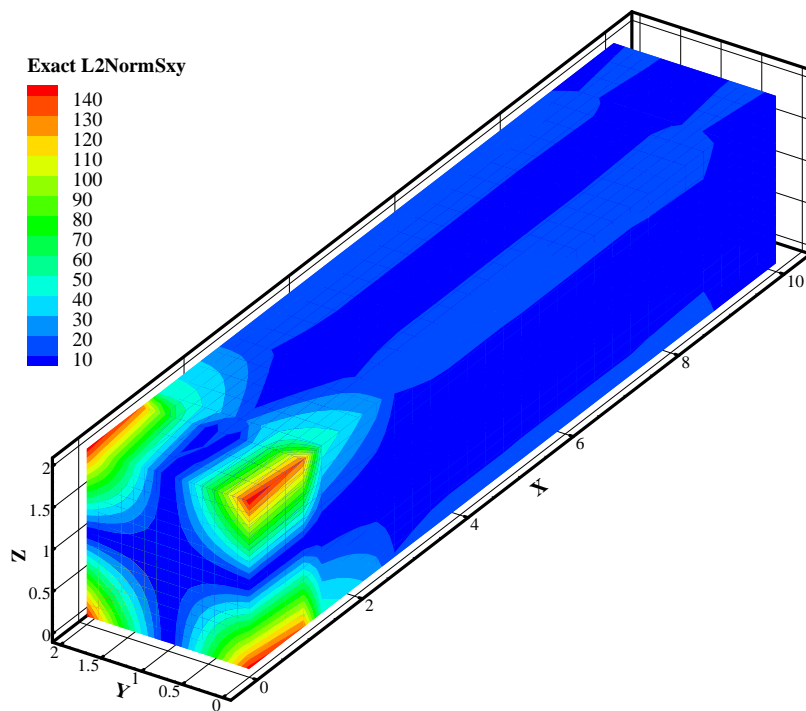


الف) نرم خطای دقیق

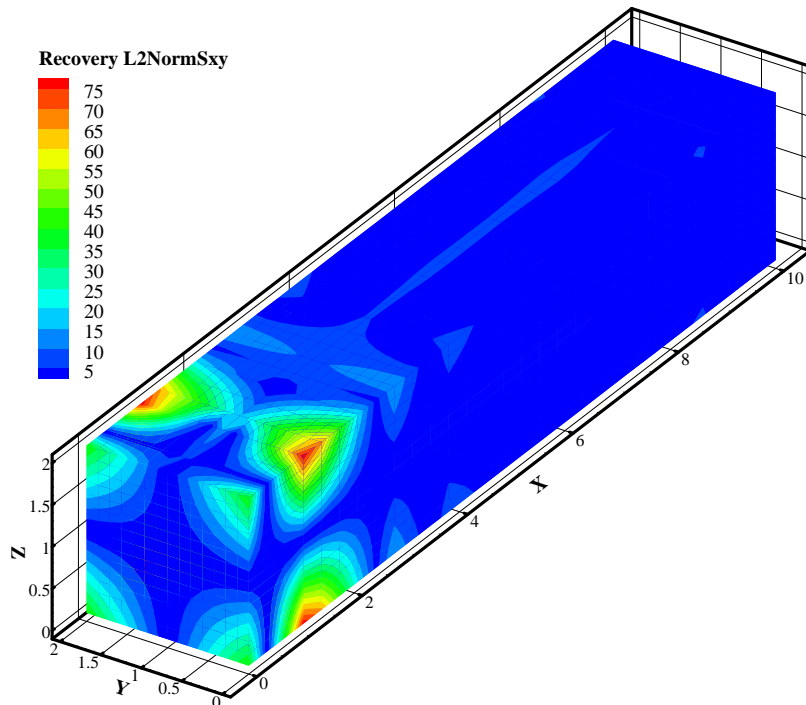


ب) نرم خطای تقریبی

شکل 5-5 نحوه توزیع نرم خطای L_2 تنش s_x

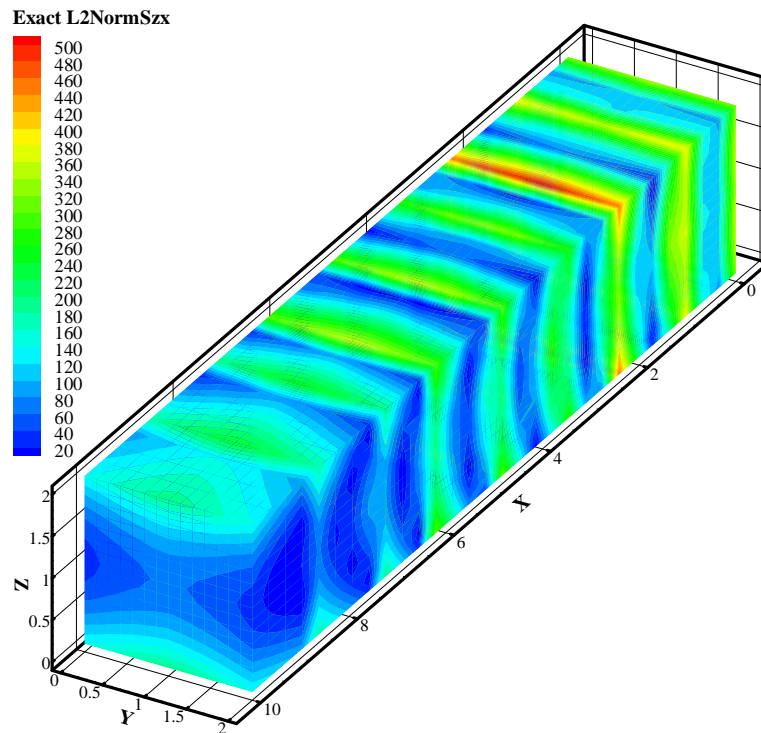


الف) نرم خطای دقیق

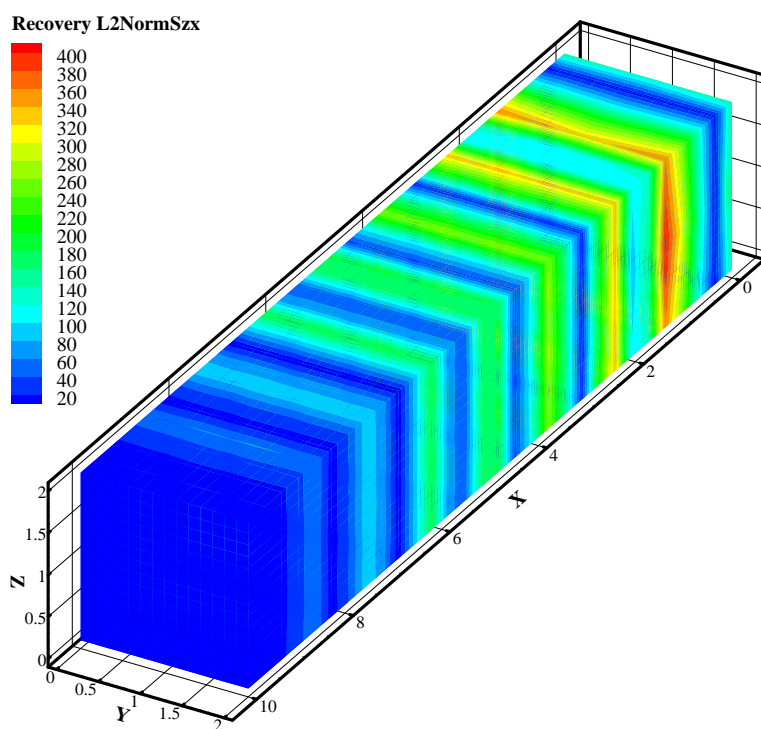


ب) نرم خطای تقریبی

شکل 5-6 نحوه توزیع نرم خطای L_2 تنش t_{xy}



الف) نرم خطای دقیق

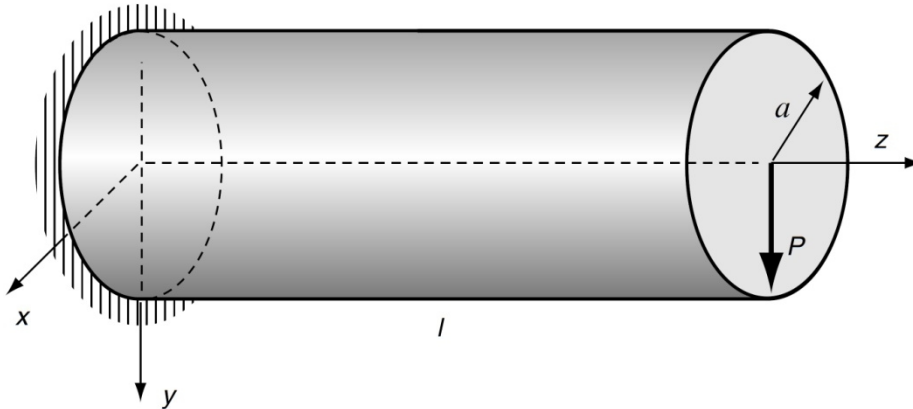


ب) نرم خطای تقریبی

شکل 5-7 نحوه توزیع نرم خطای L_2 تنش t_{zx}

6-5- تیر طره استوانه‌ای

مثال دیگری که جهت بررسی کارایی تخمین کننده خطای پیشنهادی در این بخش مورد توجه قرار گرفته است، مدلسازی و تحلیل تیر طره با مقطع دایره می باشد (شکل 8-5).



شکل 8-5 تیر طره با مقطع دایره [54]

پارامترهای به کار برده شده در مدلسازی و آنالیز این تیر به صورت زیر می باشد:

$$a = 4, \quad L = 30, \quad P = 800, \quad E = 1500, \quad \nu = 0.25$$

تنشهای دقیق این مسئله با توجه به حل تحلیلی آن برای تنشهای غیر صفر، و با توجه به دستگاه مختصات در نظر گرفته شده در شکل 8-5، به صورت روابط (27-5) تا (29-5) ارائه شده است [54].

$$t_{xz} = -\frac{P}{4I_x} \frac{1+2\nu}{1+\nu} xy \quad (27-5)$$

$$t_{yz} = \frac{P}{I_x} \frac{3+2\nu}{8(1+\nu)} \left[a^2 - y^2 - \frac{1-2\nu}{3+2\nu} x^2 \right] \quad (28-5)$$

$$s_z = -\frac{P}{I_x} y(l-z) \quad (29-5)$$

که در آن I_x ممان اینرسی مقطع حول محور x می باشد.

برای مدلسازی و تحلیل این مسئله به روش ایزوژئومتریکی از یک ناحیه و 364 نقطه کنترلی استفاده شده است. همچنین در جهت x ، که در راستای طولی تیر می باشد از توابع شکل درجه یک و در جهت h و z از توابع شکل نریز درجه دو استفاده شده است و از بیست و هفت نقطه گوسی جهت انتگرال گیری عددی و نقاط بهینه تنش در هر المان استفاده شده است. بردارهای گرهی در جهات x ،

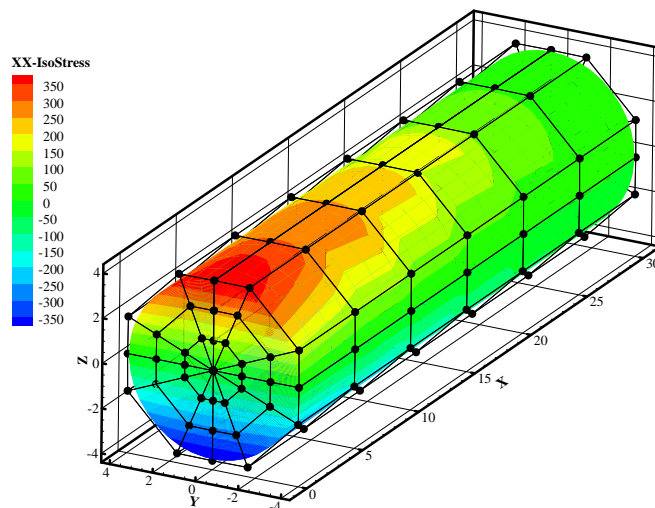
h و z به صورت زیر در نظر گرفته شده است.

$$x = \{0,0,0.166667,0.333333,0.5,0.666667,0.833333,1,1\}; z = \{0,0,0,0.5,1,1,1\}$$

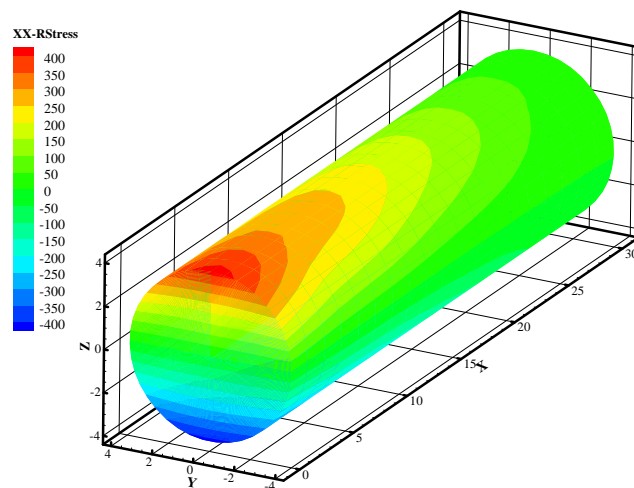
$$h = \{0,0,0,0.125,0.25,0.25,0.375,0.5,0.5,0.625,0.75,0.75,0.875,1,1,1\}$$

در شکل 5-9، نحوه آرایش نقاط کنترلی تیر طره استوانه‌ای و کانتور تنش حاصل از حل ایزوژئومتریکی، حل بهبود یافته و حل دقیق برای مولفه تنش s_x نشان داده شده است. همان طور که مشاهده می‌شود در این مثال نیز نحوه تغییرات تنش بهبود یافته نسبت به حل ایزوژئومتریکی، تشابه بیشتری با حل دقیق دارد.

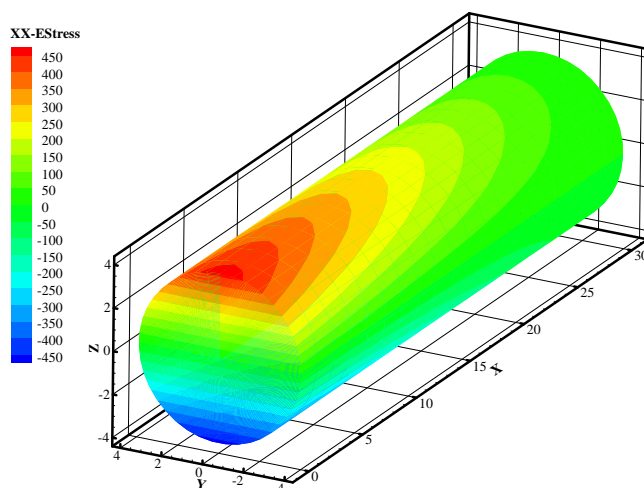
شاخص تاثیر نرم خطای انرژی برای این مثال نیز 0/57 محاسبه شده است. به نظر می‌رسد که علت کاهش شاخص تاثیر و در نتیجه کاهش کارایی برآورد کننده خطا در این مثال نسبت به مثال قبل استفاده از توابع شکل با درجه بالاتر از یک می‌باشد. نتایج عددی نشان می‌دهند که معمولاً در روشهای برآورد خطا مبتنی بر بازیافت تنش با افزایش درجه توابع شکل از یک، کارایی برآورد کننده خطا پایین می‌آید [55]. در شکل‌های 5-10، 5-11 و 5-12 به ترتیب نحوه توزیع نرم خطای L_2 دقیق و تقریبی برای تنش‌های s_x ، t_{xy} و t_{zx} تیر طره استوانه‌ای نمایش داده شده است. همانطور که مشاهده می‌شود تشابه نرم خطای تقریبی و دقیق در این مثال نیز وجود دارد و نشانه کارایی مناسب محاسبه‌گر خطای پیشنهادی برای برآورد خطای نتایج تحلیل سه بعدی مسائل با استفاده از روش ایزوژئومتریکی می‌باشد.



الف) شبکه نقاط کنترلی و توزیع تنش حاصل از حل ایزوژئومتریکی

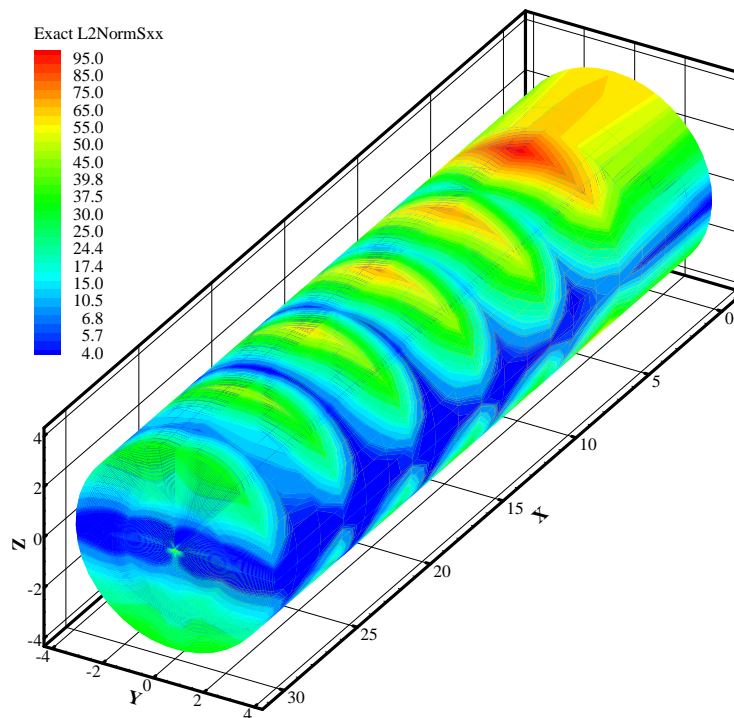


ب) توزیع تنش حاصل از حل بهبود یافته

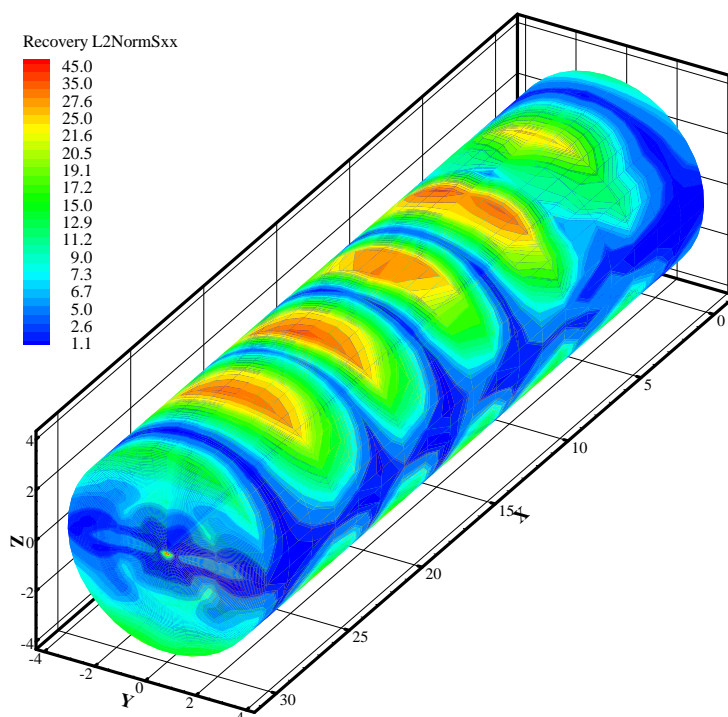


ب) توزیع تنش حاصل از حل دقیق

شکل 5-9 توزیع تنش s_x تیر طره استوانه‌ای

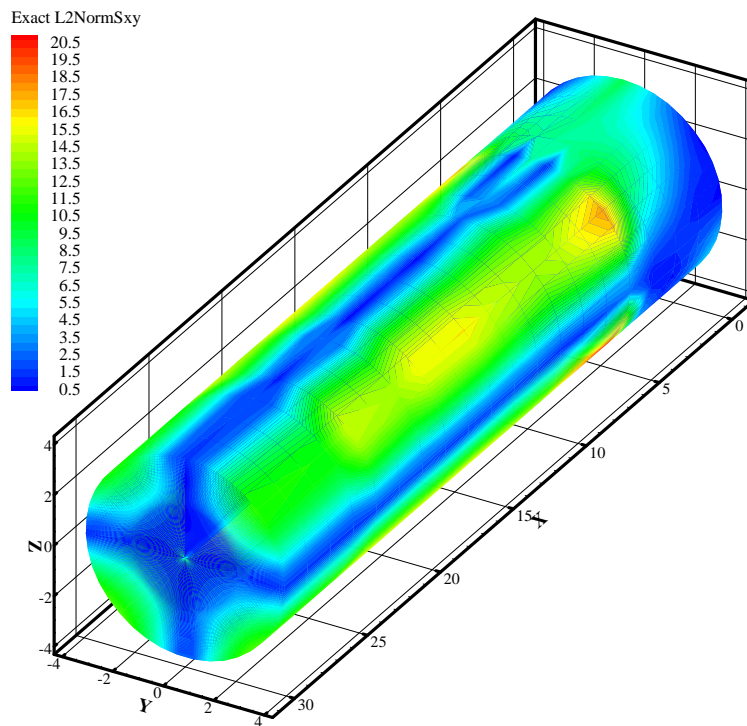


الف) نرم خطای دقیق

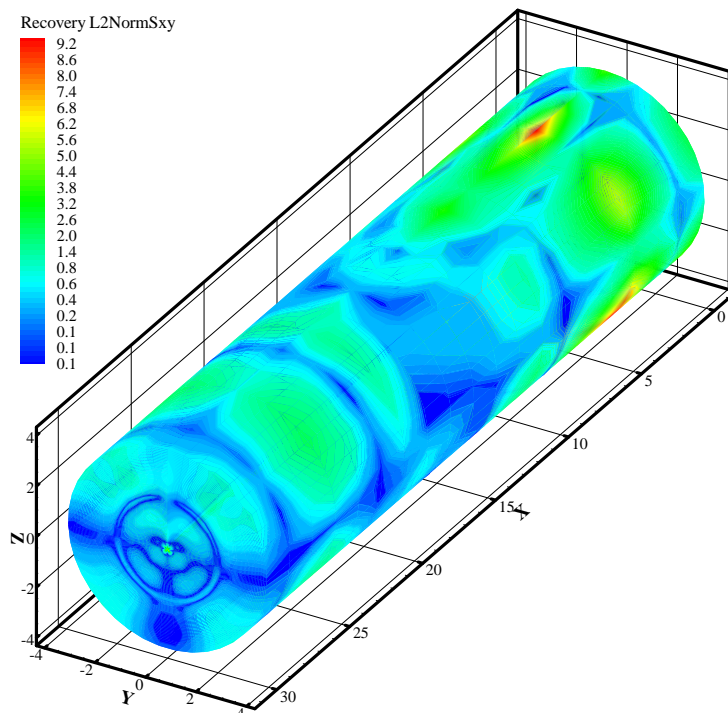


ب) نرم خطای تقریبی

شکل 5-10 نحوه توزیع نرم خطای L2 تنش S_x تیر طره استوانه‌ای

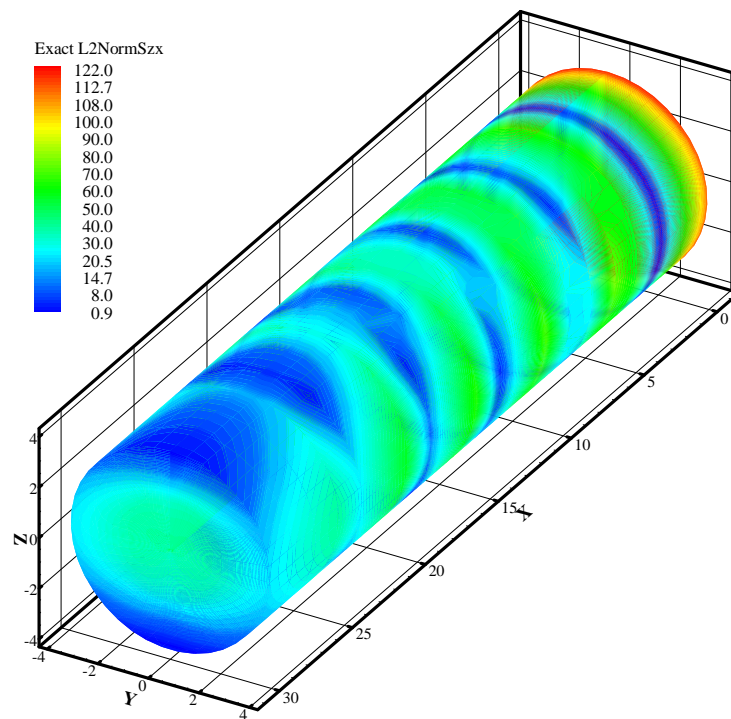


الف) نرم خطای دقیق

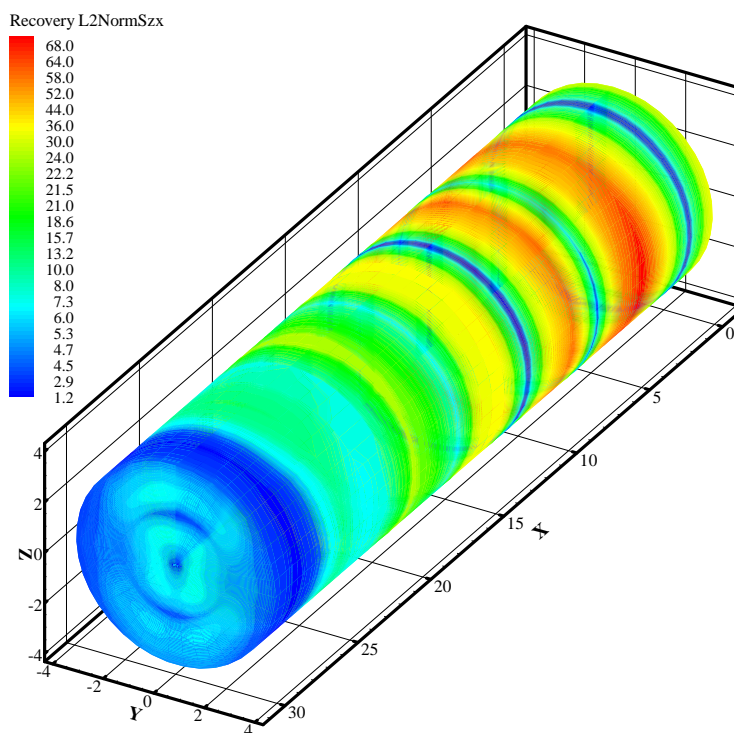


ب) نرم خطای تقریبی

شکل 5-11 نحوه توزیع نرم خطای L2 تنش t_{xy} تیر طره استوانه‌ای



الف) نرم خطای دقیق



ب) نرم خطای تقریبی

شکل 5-12 نحوه توزیع نرم خطای L2 تنش t_{zx}

فصل هشتم

بهبود تنش و برآورد خطا با استفاده

از تعادل در هر وصله از تحلیل

ایزوژنومتریک

6-1- مقدمه

در فصل‌های قبل به بیان چگونگی استفاده از خاصیت نقاط فوق همگرای گوسی جهت بهبود تنش و برآورد خطای مسائل تنش- کرنش مسطح، متقارن محوری و مسائل سه بعدی ایزوژئومتریکی پرداخته شد. با وجود سادگی و اقتصادی بودن این روش، یکی از مشکلاتی که دارد، نیاز به وجود نقاط گوسی و در نتیجه ملزم به استفاده از روش انتگرال گیری عددی به روش گوس است. همچنین همانطور که در فصل‌های قبل، در نحوه تشکیل سطح تنش بهبود یافته مشاهده شد، این سطح تنش از روش حداقل مربعات حاصل می‌شود و محدودیت آن نیز کم کردن فاصله بین تنش بهبود یافته و تنش ایزوژئومتریکی در نقاط فوق همگرای گوسی است. در اینصورت هیچ محدودیتی در ارضای معادلات تعادل جهت تشکیل سطح تنش بهبود یافته اعمال نمی‌شود و در نتیجه به علت ارضا نشدن معادلات تعادل، برآورد خطا در داخل و بویژه نزدیک مرزهای دامنه با تقریب بیشتری صورت می‌پذیرد.

در این فصل به معرفی یک روش ابداعی و بر پایه ارضای معادلات تعادل جهت بهبود تنش و برآورد خطای تحلیل مسائل به روش ایزوژئومتریکی پرداخته می‌شود که باعث برآورد بهتری از خطا در داخل و نواحی مرزی دامنه تحلیل ایزوژئومتریکی می‌شود. یکی از ویژگیهای این روش، عدم نیاز به نقاط فوق همگرا در برآورد خطای مسائلی است که از روشی به غیر از روش گوس جهت انتگرال گیری عددی استفاده شده است. در این روش با بکار گیری نیروهای وارد بر هر وصله از تحلیل ایزوژئومتریکی، سطح مربوط به هر مولفه تنش با استفاده از توابع شکل نرَبز هم مرتبه با توابع مورد استفاده در تخمین تابع جابجایی، تقریب زده می‌شود. این سطح تنش جدید نسبت به تنش بدست آمده از تحلیل ایزوژئومتریکی دارای دقت بیشتری است، لذا می‌توان از آن جهت برآورد خطای تحلیل ایزوژئومتریکی نیز استفاده نمود. این برآورد کننده خطا در دسته روشهای مبتنی بر بازیافت تنش قرار می‌گیرد و نشان داده خواهد شد که کارایی بهتری نسبت به روش بازیافت تنش بر مبنای نقاط فوق همگرا در تحلیل ایزوژئومتریکی خواهد داشت. جهت بررسی کارایی این روش به مقایسه نرم خطای انرژی دقیق

و تقریبی بدست آمده از روش مبتنی بر نقاط فوق همگرا و روش ارائه شده در این بخش، برای شش مسئله نمونه دارای حل تحلیلی پرداخته شده است. تیر دو سر مفصل تحت بار گسترده، تیر طره تیموشنکو، صفحه ترکدار تحت کشش، تیر طره دایره‌ای شکل، صفحه دایره‌ای تحت فشار و صفحه نامحدود سوراخدار، شش مسئله حل شده در این فصل می‌باشند. نتایج نشان می‌دهد که در تمامی مثالها، توزیع خطا با استفاده از این روش نسبت به روش مبتنی بر نقاط فوق همگرا، به توزیع خطای دقیق نزدیکتر است و تنش بهبود یافته بدست آمده از این روش نسبت به روش مبتنی بر نقاط فوق همگرا از دقت بیشتری برخوردار است.

6-2- نحوه تشکیل سطح تنش بهبود یافته بر مبنای استفاده از تعادل در هر وصله از تحلیل ایزوژئومتری

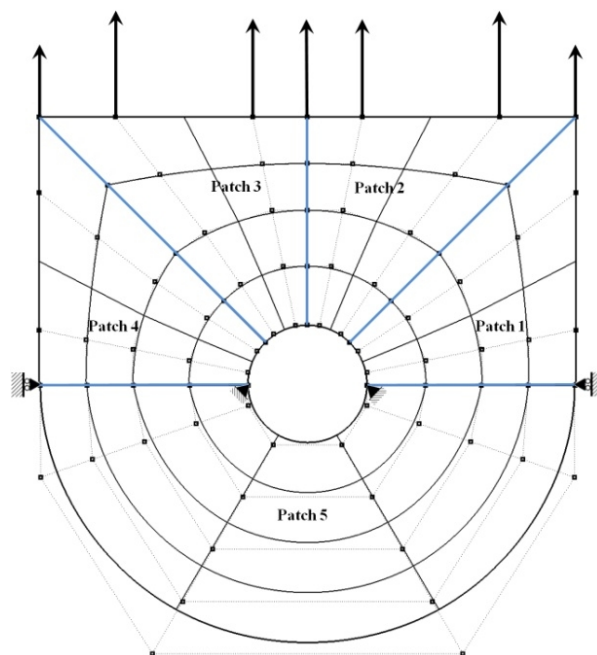
به طور کلی در این روش، مشابه روشهایی که جهت بهبود میدان تنش اجزای محدود در مراجع [13] و [57] ارائه شده است، با معادل قرار دادن نیروهای عمل کننده بر یک وصله از فضای محاسباتی بدست آمده از تحلیل ایزوژئومتری و میدان تنش بازیافتی، می‌توان برای هر مولفه تنش به یک سطح تنش بهبود یافته دست یافت.

همانطور که در فصول قبل بیان شد، رابطه سازی تحلیل ایزوژئومتری و نحوه بدست آمدن سطح جابجایی به گونه‌ای است که با ارضای معادله تعادل در فضای تاثیر هر یک از المانهای تحلیل ایزوژئومتری، تعادل در کل دامنه مدلسازی شده برقرار می‌شود. در صورت وجود تعادل در کل دامنه، هر وصله نریز از دامنه مدلسازی شده در تحلیل ایزوژئومتری نیز در شرایط تعادل قرار دارد. به این ترتیب می‌توان معادله (5-11) را برای یک وصله مجزا از کل دامنه مدلسازی شده در تحلیل ایزوژئومتری، به صورت زیر بیان نمود:

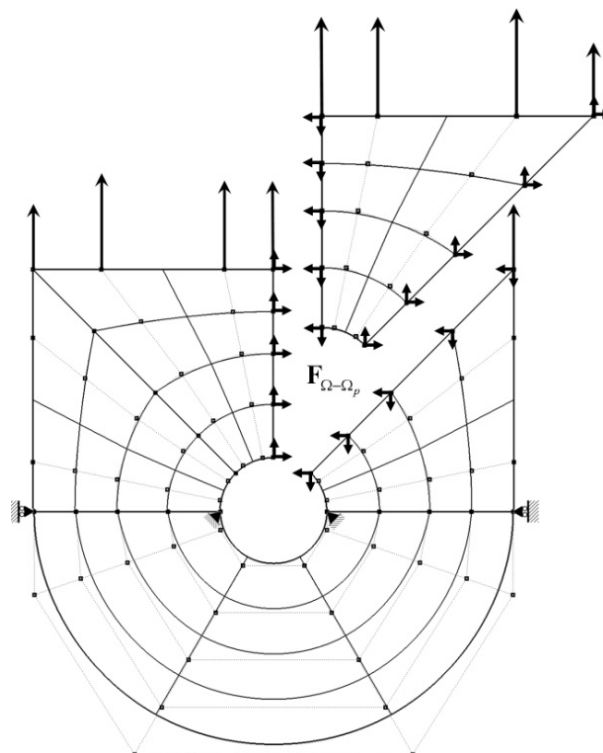
$$\int_{\Omega_p} \mathbf{B}^T (\mathbf{DBP}) d\Omega - \int_{\Omega_p} \mathbf{R}^T \mathbf{b} d\Omega - \int_{\Gamma_p} \mathbf{R}^T \mathbf{t} d\Gamma + \mathbf{F}_{\Omega-\Omega_p} = 0 \quad (1-6)$$

که در آن $\mathbf{F}_{\Omega-\Omega_p}$ ، مطابق شکل 6-1، نیروهای عمل و عکس العمل بین وصله جدا شده و کل دامنه

مدلسازی شده در تحلیل ایزوژئومتری می‌باشد.



الف) شبکه نقاط کنترلی و دامنه مدلسازی شده با پنج وصله



ب) وصله جدا شده و نیروهای وارد بر آن

شکل 6-1 مدلسازی یک مسئله دوبعدی در روش ایزوژئومتری

در صورتی که مطابق رابطه (2-6)، \mathbf{F}_Ω را به عنوان نیروهای حجمی و سطحی وارد بر وصله جدا شده از کل دامنه مدلسازی شده در تحلیل ایزوژئومتری فرض کنیم، رابطه (1-6) را می‌توان به صورت رابطه (3-6) بیان نمود.

$$\mathbf{F}_\Omega = \int_{\Omega_p} \mathbf{R}^T \mathbf{b} d\Omega + \int_{\Gamma_p} \mathbf{R}^T \mathbf{t} d\Gamma \quad (2-6)$$

$$\int_{\Omega_p} \mathbf{B}^T (\mathbf{DBP}) d\Omega = \mathbf{F}_\Omega - \mathbf{F}_{\Omega-\Omega_p} \quad (3-6)$$

حال در صورتی که $\mathbf{f} = \mathbf{F}_\Omega - \mathbf{F}_{\Omega-\Omega_p}$ را به عنوان کل نیروهای وارد شده بر وصله جدا شده در نظر بگیریم و معلوم فرض کنیم، می‌توان وصله جدا شده را به عنوان یک سیستم مجزا در نظر گرفت و معادله تعادل (5-10) را به فرم زیر برای آن بیان نمود.

$$\int_{\Omega_p} \mathbf{B}^T (\boldsymbol{\sigma}) d\Omega = \mathbf{f} = \mathbf{F}_\Omega - \mathbf{F}_{\Omega-\Omega_p} \quad (4-6)$$

که در آن $\boldsymbol{\sigma}$ میدان تنش دقیق حاکم بر مسئله می‌باشد. با مقایسه روابط (4-6) و (3-6) می‌توان رابطه (5-6) را نتیجه گرفت.

$$\int_{\Omega_p} \mathbf{B}^T (\boldsymbol{\sigma}) d\Omega = \int_{\Omega_p} \mathbf{B}^T (\mathbf{DBP}) d\Omega \quad (5-6)$$

رابطه بالا محدودیتی است که به طور مستقیم بر میدان تنش دقیق حاکم بر مسئله وارد می‌شود. حال میدان تنش حاکم بر مسئله را، همانند سطوح مفروض برای جابجایی، به صورت سطوح نریز با مختصه سوم مجهول نقاط کنترلی فرض می‌کنیم. بردار مختصات سوم نقاط کنترلی با استفاده از محدودیت معادله (5-6) بدست خواهد آمد. واضح است که این سطوح تنش بازیافتی نسبت به سطوح تنش بدست آمده از تحلیل ایزوژئومتری دارای دقت بیشتری خواهند بود. زیرا همانطور که در معادله (6-5) مشاهده می‌شود، این سطوح تنش بازیافتی با انتگرال گیری مستقیم بدست می‌آید و مرتبه آن نسبت به سطوح تنش بدست آمده از تحلیل ایزوژئومتری که از مشتق گیری میدان جابجایی محاسبه می‌شود، بالاتر است.

مطابق رابطه (6-6) هر مولفه از میدان تنش بازیافتی در حالت دو بعدی، بصورت یک سطح نریز به همراه بردار نقاط کنترلی با مولفه سوم مجهول فرض می‌شود. مولفه اول و دوم نقاط کنترلی، معلوم و

هندسۀ مسئله را تعیین می کنند.

$$\boldsymbol{\sigma}^* = \begin{bmatrix} \sigma_x^* \\ \sigma_y^* \\ \tau_{xy}^* \end{bmatrix} = \begin{bmatrix} \mathbf{R}^* \mathbf{P}_x^* \\ \mathbf{R}^* \mathbf{P}_y^* \\ \mathbf{R}^* \mathbf{P}_{xy}^* \end{bmatrix} \quad (6-6)$$

مشابه روابط (16-3) و (17-3)، که از خاصیت بازه تاثیر توابع نریز استفاده شده است، در رابطه (6-6)

نیز با توجه به این خاصیت، \mathbf{R}^* به صورت رابطه (7-6) و \mathbf{P}_a^* برای هر مولفه تنش a به صورت رابطه (8-6) تعریف می شود.

$$\mathbf{R}^* = \begin{bmatrix} R_{i-p,j-q}(x,h) \\ R_{i-p,j-q-1}(x,h) \\ \mathbf{M} \\ R_{i-p,j}(x,h) \\ R_{i-p-1,j}(x,h) \\ \mathbf{M} \\ R_{i,j}(x,h) \end{bmatrix}^T \quad (7-6)$$

$$\mathbf{P}_a^* = \begin{bmatrix} P_{ai-p,j-q} \\ P_{ai-p,j-q-1} \\ \mathbf{M} \\ P_{ai-p,j} \\ P_{ai-p-1,j} \\ \mathbf{M} \\ P_{ai,j} \end{bmatrix} \quad (8-6)$$

حال با جایگذاری $\boldsymbol{\sigma}^*$ در معادله (5-6) خواهیم داشت:

$$\int_{\Omega_p} \mathbf{B}^T(\boldsymbol{\sigma}^*) d\Omega = \int_{\Omega_p} \mathbf{B}^T(\mathbf{DBP}) d\Omega \quad (9-6)$$

در صورتی که مولفه های تنش بدست آمده از تحلیل ایزوژئومتری در هر وصله را نیز به صورت معادله

(10-6) در نظر بگیریم، سمت راست معادله (9-6)، یعنی نیروهای وارد بر هر وصله را می توان به

صورت معادله (11-6) بیان نمود.

$$\boldsymbol{\sigma}_{iso} = \begin{bmatrix} \sigma_x \\ 0 \\ 0 \end{bmatrix} + \begin{bmatrix} 0 \\ \sigma_y \\ 0 \end{bmatrix} + \begin{bmatrix} 0 \\ 0 \\ \tau_{xy} \end{bmatrix} \quad (10-6)$$

$$\int_{\Omega_p} \mathbf{B}^T (\mathbf{DBP}) d\Omega = \int_{\Omega_p} \mathbf{B}^T (\boldsymbol{\sigma}_{iso}) d\Omega = \mathbf{F}_p = \mathbf{F}_x + \mathbf{F}_y + \mathbf{F}_{xy} \quad (11-6)$$

به طور مشابه، برای میدان تنش بازیافتی نیز خواهیم داشت:

$$\boldsymbol{\sigma}^* = \begin{bmatrix} \boldsymbol{\sigma}_x^* \\ 0 \\ 0 \end{bmatrix} + \begin{bmatrix} 0 \\ \boldsymbol{\sigma}_y^* \\ 0 \end{bmatrix} + \begin{bmatrix} 0 \\ 0 \\ \boldsymbol{\tau}_{xy}^* \end{bmatrix} \quad (12-6)$$

$$\int_{\Omega_p} \mathbf{B}^T (\boldsymbol{\sigma}^*) d\Omega = \mathbf{F}_p^* = \mathbf{F}_x^* + \mathbf{F}_y^* + \mathbf{F}_{xy}^* \quad (13-6)$$

در اینصورت می توان معادله (9-6) را به صورت روابط (14-6) و (15-6) بیان نمود:

$$\mathbf{F}_x^* = \mathbf{F}_x, \quad \mathbf{F}_y^* = \mathbf{F}_y, \quad \mathbf{F}_{xy}^* = \mathbf{F}_{xy} \quad (14-6)$$

$$\int_{\Omega_p} \mathbf{B}^T \boldsymbol{\sigma}_a^* d\Omega = \left(\int_{\Omega_p} \mathbf{B}^T \mathbf{1}^a \mathbf{R}^* d\Omega \right) \mathbf{P}_a^* = \int_{\Omega_p} \mathbf{B}^T \boldsymbol{\sigma}_a^{iso} d\Omega ; a = x, y, xy \quad (15-6)$$

که در آن $\mathbf{1}^a$ ، برای هر مولفه تنش به صورت زیر تعریف می شود.

$$\mathbf{1}^x = \begin{bmatrix} 1 \\ 0 \\ 0 \end{bmatrix}, \quad \mathbf{1}^y = \begin{bmatrix} 0 \\ 1 \\ 0 \end{bmatrix}, \quad \mathbf{1}^{xy} = \begin{bmatrix} 0 \\ 0 \\ 1 \end{bmatrix} \quad (16-6)$$

در رابطه (15-6) نیروهای حاصل از هر مولفه تنش تحلیل ایزوژئومتری یک وصله، با نیروهای

مولفه های تنش بازیافتی برابر قرار داده شده است. این تساوی برای هر مولفه تنش به صورت تقریبی،

با استفاده از روش مینیمم مربعات و تعریف تابع Π به صورت زیر برقرار می گردد.

$$\Pi = [\mathbf{C}_a \mathbf{P}_a^* - \mathbf{F}_a^{iso}]^T [\mathbf{C}_a \mathbf{P}_a^* - \mathbf{F}_a^{iso}] \quad (17-6)$$

که در آن:

$$\mathbf{C}_a = \int_{\Omega_p} \mathbf{B}^T \mathbf{1}^a \mathbf{R}^* d\Omega \quad (18-6)$$

$$\mathbf{F}_a^{iso} = \int_{\Omega_p} \mathbf{B}^T \boldsymbol{\sigma}_a^{iso} d\Omega \quad (19-6)$$

با مینیمم کردن تابع Π خواهیم داشت:

$$\frac{\partial \Pi(\mathbf{P}_a^*)}{\partial (P_{i,j})_a} = 0 \quad (20-6)$$

$$\mathbf{P}_a^* = [\mathbf{C}_a^T \mathbf{C}_a]^{-1} [\mathbf{C}_a^T \mathbf{F}_a^{iso}] \quad (21-6)$$

با مشخص شدن بردار نقاط کنترلی برای هر مولفه تنش، سطح تنش مربوط به آن نیز بدست می‌آید که در ادامه نشان داده خواهد شد این سطح تنش بازیافتی نسبت به سطح تنش ایزوژئومتریک و سطح تنش بازیافتی مبتنی بر نقاط فوق همگرا دقیق تر است.

همانطور که در معادله (21-6) مشاهده می‌شود، برای بدست آوردن بردار نقاط کنترلی هر مولفه تنش، نیاز به محاسبه معکوس ماتریس $[C_a^T C_a]$ می‌باشد. این ماتریس برای بعضی از مسائل با تعداد المانهای کم در هر وصله، معکوس ناپذیر می‌شود. بنابراین برای اطمینان از معکوس پذیری این ماتریس و پایداری معادله (21-6) در تمامی مسائل، مطابق معادله (22-6)، قید معادلات تعادل در داخل هر المان از یک وصله به معادله (17-6) اضافه می‌شود.

$$\Pi = [C_a P_a^* - F_a^{iso}]^T [C_a P_a^* - F_a^{iso}] + \sum_{e=1}^{Nel} [C_a P_a^* - F_a^{iso}]_e^T [C_a P_a^* - F_a^{iso}]_e \quad (22-6)$$

که در آن، Nel تعداد المانهای موجود در هر وصله می‌باشد. در اینصورت با مینیمم کردن تابع Π ، فرم دیگری از معادله (21-6) به شکل زیر بدست می‌آید.

$$P_a^* = \left[C_a^T C_a + \sum_{e=1}^{Nel} (C_a C_a)_e \right]^{-1} \times \left[C_a^T F_a^{iso} + \sum_{e=1}^{Nel} (C_a^T F_a^{iso})_e \right] \quad (23-6)$$

در ادامه جهت درک بهتر این روش، مراحل گام به گام تشکیل بردار نقاط کنترلی سطح تنش بهبود یافته هر مولفه تنش به صورت زیر ارائه می‌شود:

1- استفاده از انتگرال گیری عددی به روش گوس جهت محاسبه ماتریس C در معادله (18-6). برای

این منظور باید مراحل زیر دنبال شود:

الف) محاسبه مولفه‌های ماتریس محلی توابع شکل R^* در نقاط گوسی هر المان.

ب) محاسبه مولفه‌های ماتریس محلی B^T در نقاط گوسی هر المان.

ج) محاسبه حاصل جمع، ضرب ماتریس‌های معادله (19-6) در ژاکوبین و وزن نقاط گوسی هر المان.

2- استفاده از انتگرال گیری عددی به روش گوس جهت محاسبه بردار نیروهای F_a^{iso} هر مولفه تنش

در معادله (19-6). برای این منظور باید مراحل زیر دنبال شود:

الف) محاسبه مولفه‌های بردار تنش هر مولفه تنش در نقاط گوسی هر المان.

ب) محاسبه حاصل جمع، ضرب بردار تنش بدست آمده از مرحله (الف) در ماتریس محلی B^T بدست آمده از مرحله قبل، ژاکوبین و وزن نقاط گوسی هر المان.

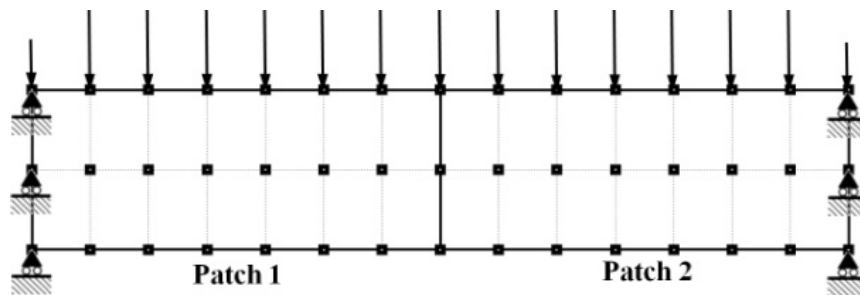
3- جمع بردارها و ماتریس‌های محاسبه شده در مرحله قبل برای کل المان‌های هر وصله و تشکیل رابطه (6-23) برای محاسبه بردار نقاط کنترلی هر مولفه تنش.

لازم به ذکر است که با وجود هزینه بیشتر این روش نسبت به روش مبتنی بر نقاط فوق همگرا در بدست آوردن تنش بازیافتی، این افزایش هزینه به دلیل استفاده از خاصیت بازه تاثیر توابع نریز در تشکیل سطح تنش بازیافتی در این روش نسبت به سطح تنش بازیافتی ارائه شده در مرجع [5]، تا حدی کاهش یافته است.

در ادامه جهت بررسی کارایی این تخمین کننده خطا، به مقایسه نرم خطای انرژی تقریبی بدست آمده از این روش و روش مبتنی بر نقاط فوق همگرا و نرم خطای انرژی دقیق برای شش مسئله نمونه الاستیسیته که معمولا جهت بررسی کارایی برآوردکننده های خطا به کار می‌روند، پرداخته شده است.

6-3- تیر دو سر مفصل تحت بار گسترده

در این بخش به مدلسازی یک تیر الاستیک خطی ایزوتروپیک دو سر مفصل تحت بار گسترده در شرایط تنش مستوی توسط تحلیل ایزوژئومتری و بازیابی تنش های آن پرداخته می‌شود. این مثال قبلا در فصل سوم جهت بررسی کارایی روش برآورد خطا بر مبنای نقاط فوق همگرا مورد بررسی قرار گرفته است و پارامترهای به کار برده شده در مدلسازی و تحلیل این مثال مطابق بخش 3-4 فرض می‌شود. همچنین تنش‌های دقیق این مسئله به صورت (3-60) تا (3-62) در نظر گرفته شده است. برای مدلسازی و تحلیل این تیر به روش ایزوژئومتری از 45 نقطه کنترلی و دو ناحیه مشابه استفاده شده است. در شکل 6-2 آرایش المانها و شبکه نقاط کنترلی به همراه شرایط مرزی اعمال شده در مدلسازی تیر دو سر مفصل تحت بار گسترده نمایش داده شده است.



شکل 6-2 نقاط کنترلی و شرایط مرزی مدلسازی شده در تحلیل ایزوژئومتریکی تیر دو سر مفصل تحت بار گسترده جهت برآورد میدان جابجایی و میدان‌های تنش بازیافتی بدست آمده از روش مبتنی بر نقاط فوق همگرا و روش ارضای معادلات تعادل، از توابع شکل درجه یک استفاده شده است. همچنین بردارهای گرهی در جهات x و h به صورت زیر می‌باشند.

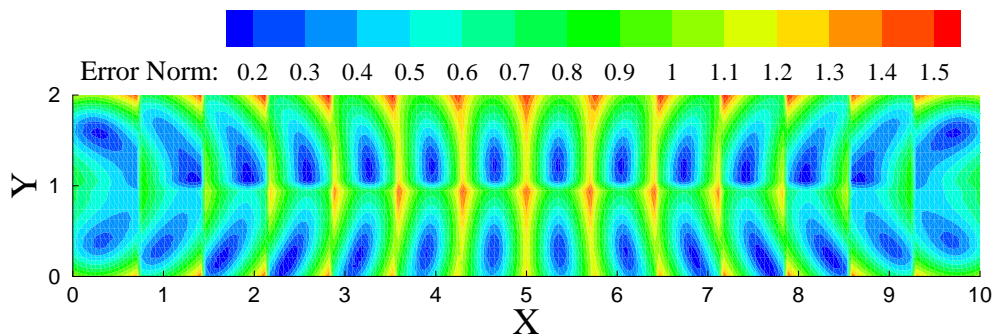
$$x = \{0, 0, 0.14, 0.29, 0.43, 0.57, 0.71, 0.86, 1, 1\}, \quad h = \{0, 0, 0.5, 1, 1\}$$

جهت انتگرالگیری عددی در تمامی محاسبات و نقاط بهینه تنش در هر المان، از نه نقطه گوسی استفاده شده است.

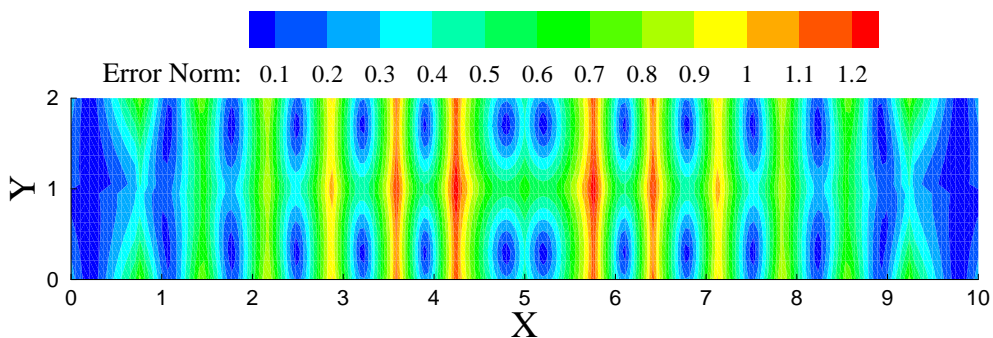
در شکل 6-3 نحوه توزیع نرم خطای انرژی دقیق و نرم خطای انرژی تقریبی بدست آمده از روش مبتنی بر نقاط فوق همگرا (روش قدیمی) و روش مبتنی بر ارضای معادلات تعادل (روش جدید) به همراه شاخص تاثیر آنها نشان داده شده است. همان طور که مشاهده می‌شود نحوه تغییرات نرم خطای تقریبی روش جدید نسبت به روش قدیمی، به تغییرات نرم خطای دقیق نزدیک است که نشان دهنده کارایی بهتر تخمین کننده خطا پیشنهادی نسبت به روش مبتنی بر نقاط فوق همگرا است. همچنین افزایش شاخص تاثیر کل دامنه بدست آمده از روش جدید نسبت به روش قدیمی نیز نشان دهنده کارایی بهتر این روش می‌باشد.

در شکل 6-4 به عنوان نمونه، نحوه تغییرات تنش s_y بدست آمده از حل دقیق و تنش بدست آمده از تحلیل ایزوژئومتریکی و روش بازیافت تنش قدیمی و جدید در مسیر $y=1/96$ ترسیم شده است. همچنین نحوه تغییرات تنش t_{xy} نیز در مسیر $y=1/0$ در شکل 6-5 نشان داده شده است. همان طور که مشاهده می‌شود نحوه تغییرات تنش بدست آمده از روش مبتنی بر ارضای معادلات تعادل نسبت به

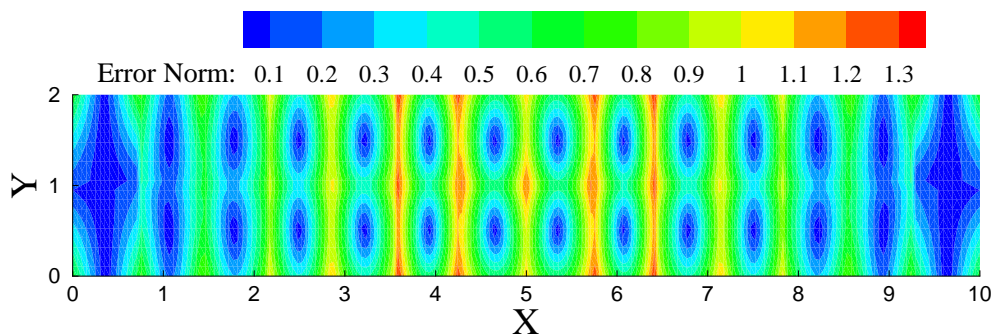
روش مبتنی بر نقاط فوق همگرا، نزدیکتر به تنش دقیق می‌باشد.



(الف) نرم خطای انرژی دقیق

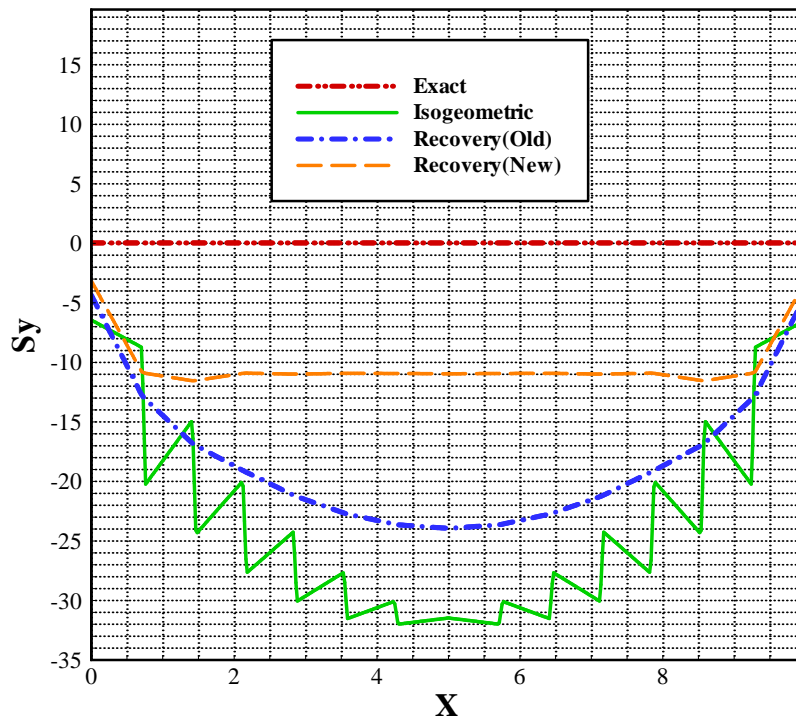


(ب) نرم خطای انرژی تقریبی (روش قدیمی) $q_{old} = 0.81$

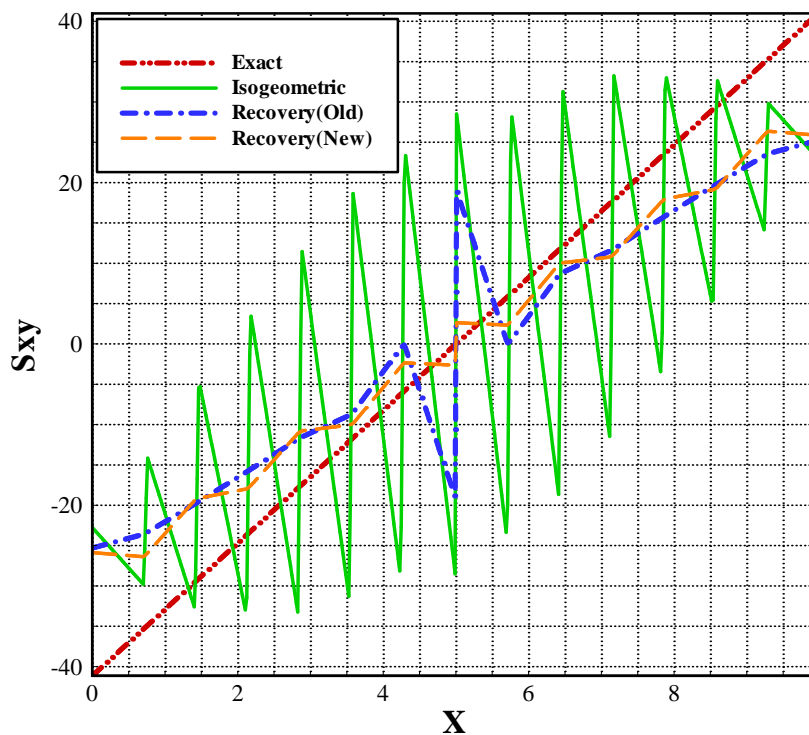


(ج) نرم خطای انرژی تقریبی (روش جدید) $q_{new} = 0.85$

شکل 3-6 نحوه توزیع نرم خطای انرژی تیر دو سر مفصل تحت بار گسترده



شکل 4-6 نمودار تغییرات مولفه تنش S_y تیر دو سر مفصل تحت بار گسترده در مسیر $y=1/96$

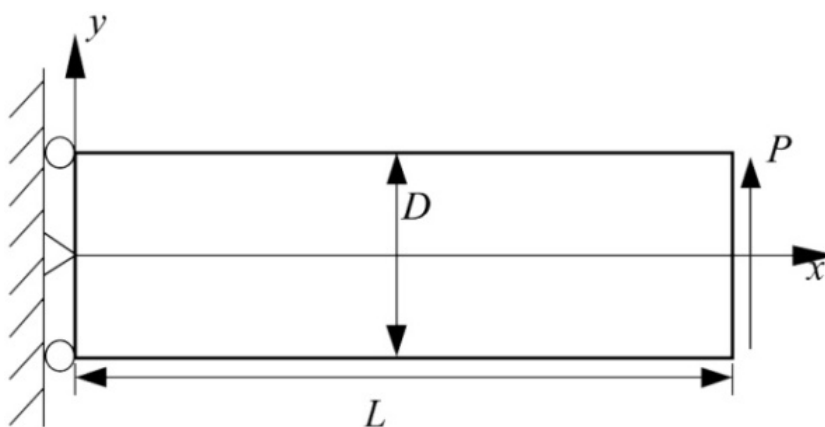


شکل 5-6 نمودار تغییرات مولفه تنش t_{xy} تیر دو سر مفصل تحت بار گسترده در مسیر $y=1/0$

4-6- تیر طره تیموشنکو

نتایج گرفته شده از مدلسازی تیر طره تیموشنکو با مصالح الاستیک خطی ایزوتروپیک و در شرایط تنش مستوی توسط تحلیل ایزوژئومتری و بازیابی تنش های آن در این بخش نشان داده شده است. پارامترهای به کار برده شده در مدلسازی این مسئله در تحلیل ایزوژئومتری به صورت زیر است (شکل 6-6).

$$L = 10, \quad D = 2, \quad P = 300, \quad E = 1500, \quad n = 0.15$$



شکل 6-6 تیر طره در شرایط تنش مستوی

تنشهای دقیق این مسئله با توجه به حل تحلیلی آن توسط تیموشنکو و گودیر به صورت زیر ارائه شده است [58].

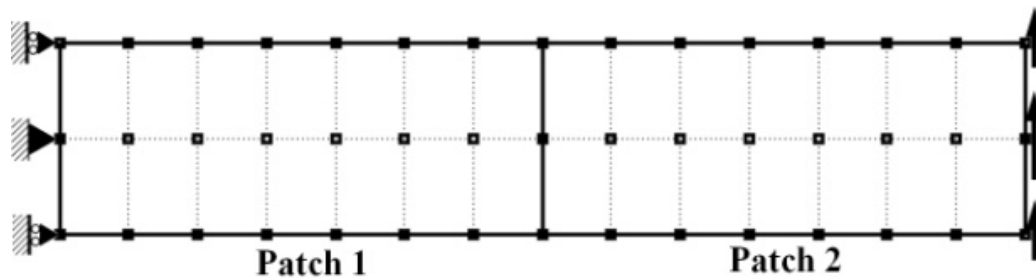
$$s_x = -\frac{P(L-x)y}{I}$$

$$s_y = 0 \tag{24-6}$$

$$s_{xy} = \frac{P}{2I} \left(\frac{D^2}{4} - y^2 \right)$$

که در آن $I = \frac{D^3}{12}$ می باشد. برای مدلسازی و تحلیل این تیر به روش ایزوژئومتری از 45 نقطه

کنترلی، دو ناحیه مشابه، توابع شکل درجه یک و نه نقطه گوسی جهت انتگرال گیری عددی و نقاط بهینه تنش استفاده شده است (شکل 6-7).



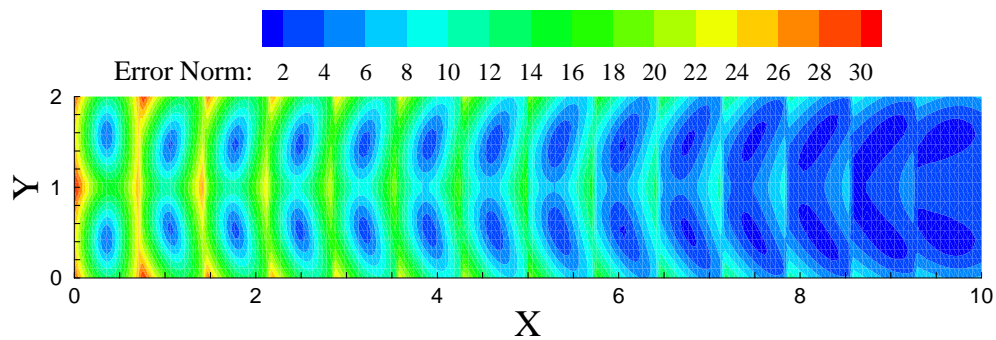
شکل 6-7 نقاط کنترلی و شرایط مرزی مدلسازی شده در تحلیل ایزوژئومتریکی تیر طره تیموشنکو

همچنین بردارهای گرهی در جهات x و h به صورت زیر می‌باشند.

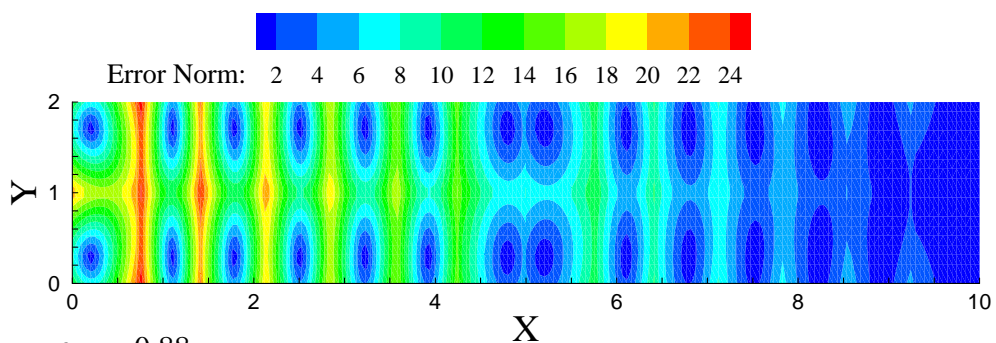
$$x = \{0, 0, 0.14, 0.29, 0.43, 0.57, 0.71, 0.86, 1, 1\}, \quad h = \{0, 0, 0.5, 1, 1\}$$

در شکل 6-8 نحوه توزیع نرم خطای انرژی دقیق و نرم خطای انرژی تقریبی بدست آمده از روش ارائه شده در این فصل (روش جدید) و روش مبتنی بر نقاط فوق همگرا (روش قدیمی) نشان داده شده است. همان طور که مشاهده می‌شود در این مثال نیز نحوه تغییرات نرم خطای تقریبی روش جدید نسبت به روش قدیمی، به تغییرات نرم خطای دقیق نزدیکتر است. همچنین افزایش شاخص تاثیر کل دامنه از 0/88 در روش قدیمی به 0/93 روش جدید، نشان دهنده کارایی بهتر روش پیشنهادی می‌باشد.

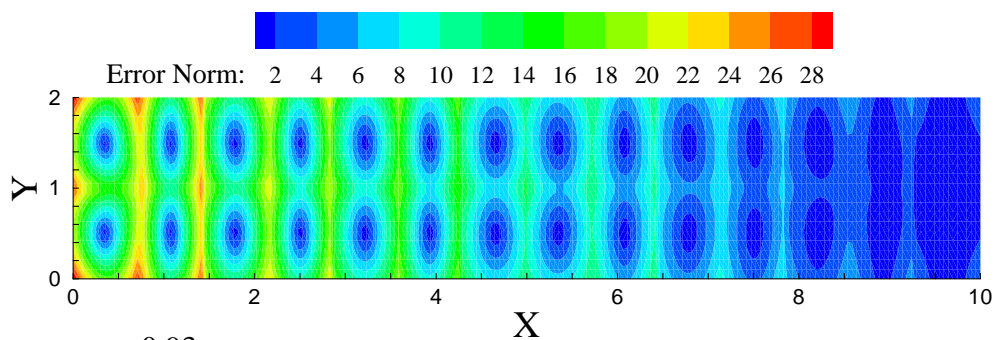
نحوه تغییرات تنش s_x و t_{xy} بدست آمده از حل دقیق، تحلیل ایزوژئومتریکی و روش بازیافت تنش قدیمی و جدید در مسیر $x=0/1$ در شکل 6-9 و تغییرات s_y در مسیر $y=1/9$ در شکل 6-10 نشان داده شده است. همانطور که مشاهده می‌شود، در این مثال نیز تنش بهبود یافته بدست آمده از روش ارضای معادلات تعادل نسبت به تنش بدست آمده از روش مبتنی بر نقاط فوق همگرا دقیق تر است.



الف) نرم خطای انرژی دقیق

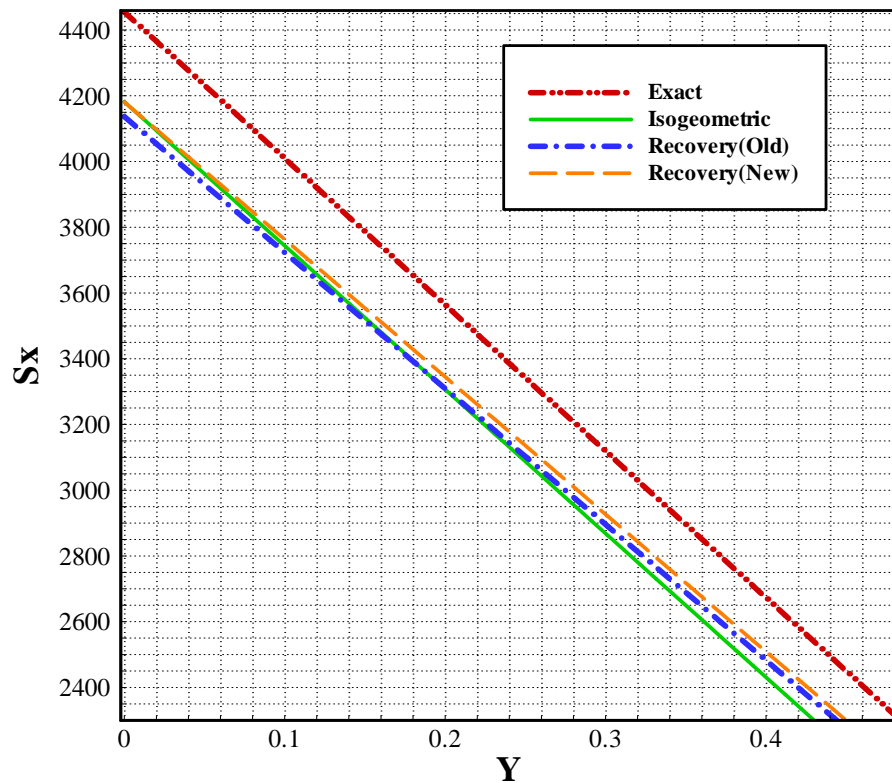
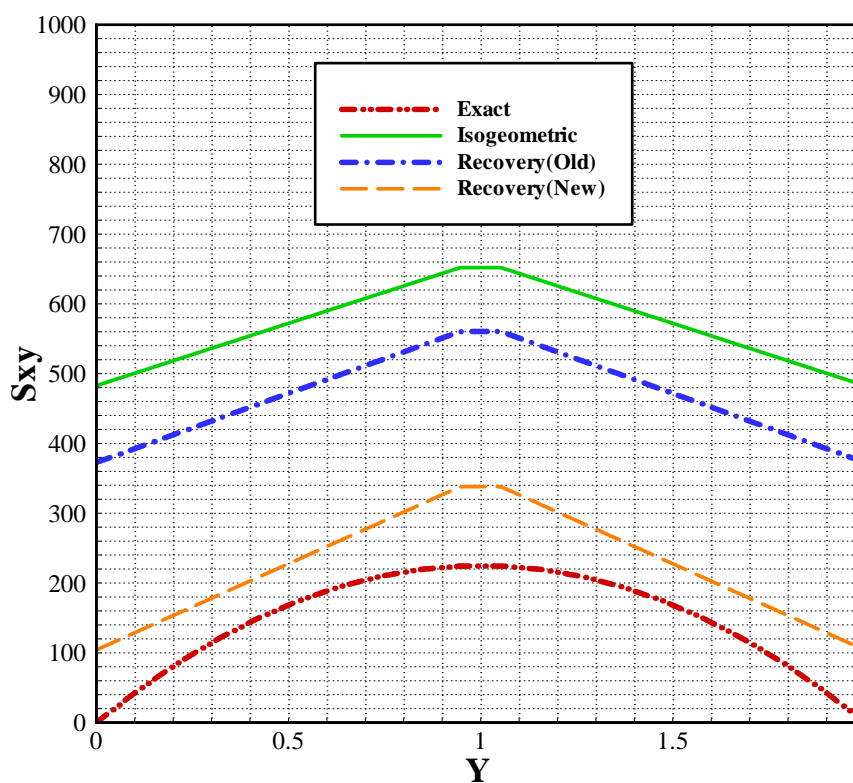
 $q_{old} = 0.88$

ب) نرم خطای انرژی تقریبی (روش قدیمی)

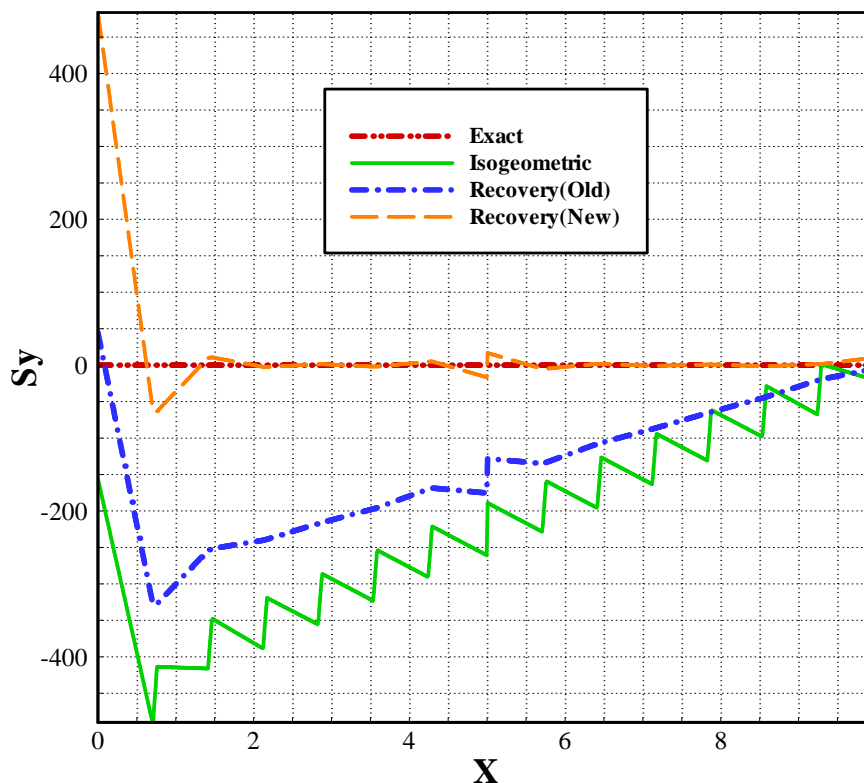
 $q_{new} = 0.93$

ج) نرم خطای انرژی تقریبی (روش جدید)

شکل 6-8 نحوه توزیع نرم خطای انرژی تیر طره تیموشنکو

الف) نمودار تغییرات مولفه تنش S_x ب) نمودار تغییرات مولفه تنش t_{xy}

شکل 6-9 نمودار تغییرات تنش تیر طره تیموشنکو در مسیر $x=0/1$



شکل 6-10 نمودار تغییرات مولفه تنش S_y تیر طره تیموشنکو در مسیر $y=1/9$

6-5- صفحه ترکدار تحت کشش

در این مثال به بررسی رفتار تخمین کننده‌های خطا، در برآورد خطای بدست آمده از تحلیل مسئله دارای یک نقطه تکین با روش ایزوژئومتری می‌پردازیم. همانطور که قبلاً بیان شد، معمولاً مسائل با نقطه تکین، به علت بالا بودن خطای آلودگی، مسائل خوبی جهت بررسی کارایی تخمین کننده‌های خطا به شمار نمی‌روند؛ اما هدف از این مثال، بررسی رفتار تخمین کننده‌های خطا در تعیین میزان نرم خطای انرژی نوک ترک و توزیع خطا در دیگر نقاط دامنه خواهد بود.

در شکل 6-11 مشخصات صفحه مربعی تحت تنش کششی P مشاهده می‌شود. اضلاع این مربع به طول $2a$ و گسترش ترک به میزان a فرض شده است.

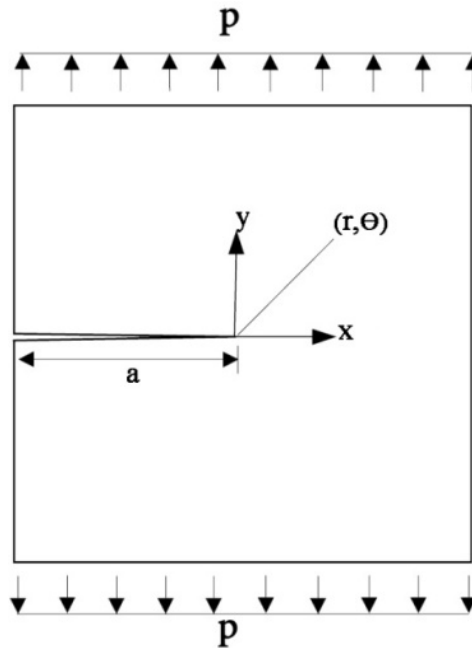
بازشدگی ترک در مد اول است و بر اساس سیستم مختصات قطبی نشان داده شده در شکل 6-11 نتایج تحلیلی آن به صورت روابط (6-25) تا (6-27) می‌باشد [59].

$$s_{xx} = \frac{K_I}{\sqrt{2pr}} \cos \frac{q}{2} \left(1 - \sin \frac{q}{2} \sin \frac{3q}{2} \right) \quad (25-6)$$

$$s_{yy} = \frac{K_I}{\sqrt{2pr}} \cos \frac{q}{2} \left(1 + \sin \frac{q}{2} \sin \frac{3q}{2} \right) \quad (26-6)$$

$$s_{xy} = \frac{K_I}{\sqrt{2pr}} \sin \frac{q}{2} \cos \frac{q}{2} \cos \frac{3q}{2} \quad (27-6)$$

که در آن فاکتور شدت تنش برابر $K_I = P\sqrt{pa}$ در نظر گرفته شده است.



شکل 6-11 صفحه مربعی ترکدار تحت تنش کششی

پارامترهای به کار رفته در تحلیل مسئله به صورت زیر می‌باشند.

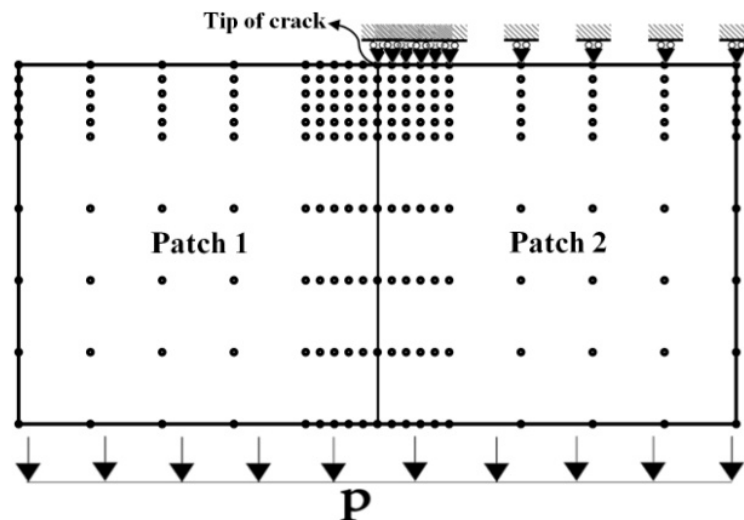
$$\text{طول ضلع مربع} = 2a = 10; \quad n = 0.3; \quad E = 1000; \quad P = 1$$

به علت تقارن تنها نیمی از دامنه مورد تحلیل قرار می‌گیرد. برای مدل‌سازی و تحلیل این مسئله به روش ایزوژئومتری از 190 نقطه کنترلی و دو ناحیه مشابه استفاده شده است. همچنین در جهت x و h هر وصله، از توابع شکل نرَبز درجه یک، نه نقطه گوسی و بردارهای گرهی به صورت زیر استفاده شده است.

$$x = \{0, 0.2, 0.3, 0.4, 0.5, 0.6, 0.7, 0.8, 0.9, 1, 1\}, \quad h = \{0, 0.2, 0.3, 0.4, 0.5, 0.6, 0.7, 0.8, 0.9, 1, 1\}$$

در شکل 6-12، آرایش نقاط کنترلی و شرایط مرزی اعمال شده در مدل‌سازی این مسئله نشان داده

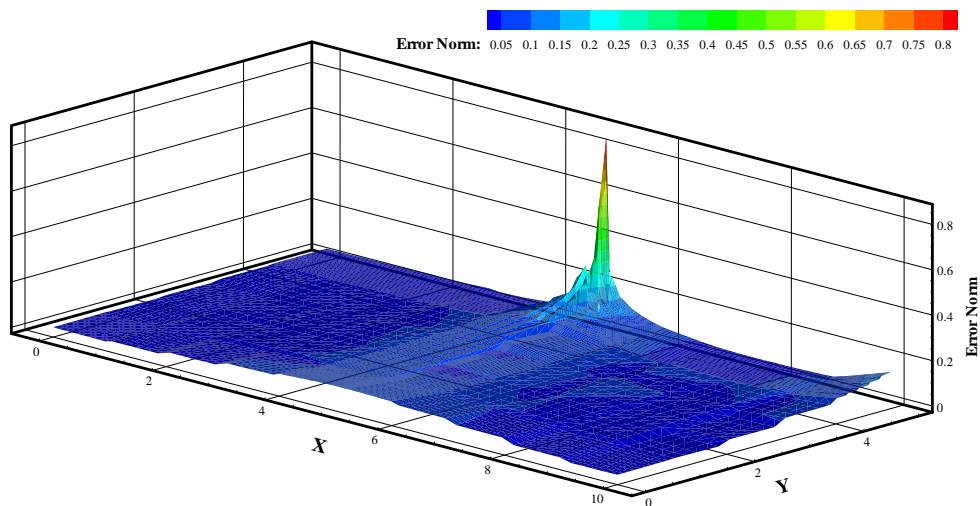
شده است.



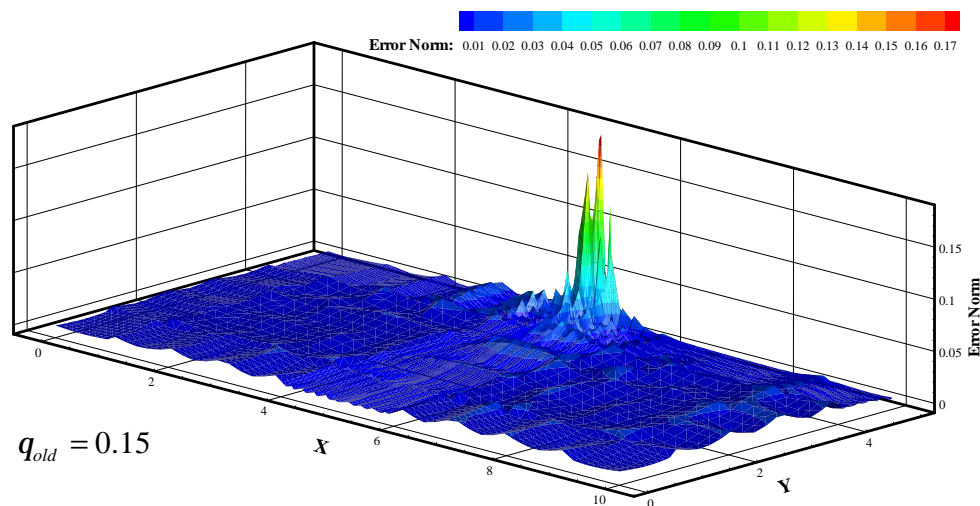
شکل 6-12 نقاط کنترلی و شرایط مرزی مدلسازی شده در تحلیل ایزوژئومتریکی صفحه ترکدار

در شکل 6-13 نتایج بدست آمده از نرم خطای انرژی دقیق و تقریبی برای تحلیل صفحه ترکدار تحت کشش نشان داده شده است. همانطور که مشاهده می‌شود، روش تخمین خطای جدید کارایی بهتری نسبت به روش قدیمی در برآورد نرم خطای نوک ترک و توزیع نرم خطای کل دامنه دارد. همچنین در این مثال نیز افزایش شاخص تاثیر کل دامنه در روش جدید نشان دهنده کارایی بهتر روش پیشنهادی می‌باشد.

در شکل 6-14، نحوه توزیع تنش‌های s_x و s_y بدست آمده از حل تقریبی، تحلیل ایزوژئومتریکی و تنش‌های بهبود یافته نشان داده شده است. همان طور که مشاهده می‌شود هر دو روش بازیافت تنش توانسته‌اند میزان تنش نوک ترک را نسبت به حل ایزوژئومتریکی بهبود بخشند و این میزان بهبود تنش در روش جدید بیشتر است.

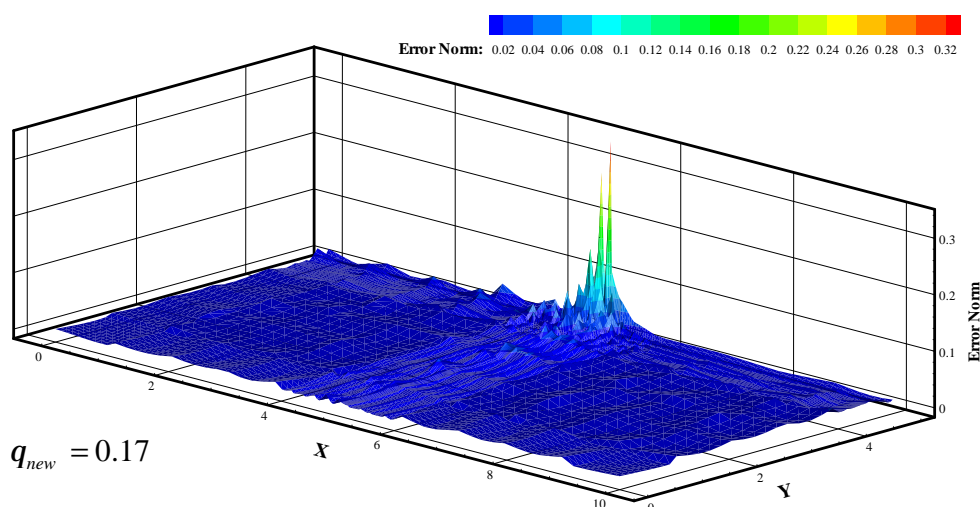


الف) نرم خطای انرژی دقیق



$q_{old} = 0.15$

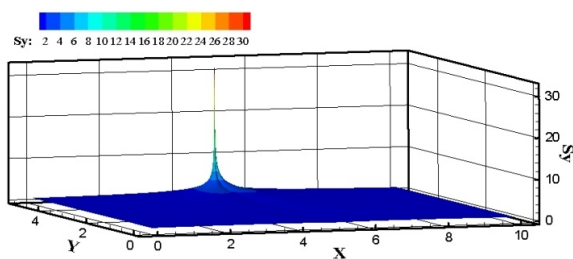
ب) نرم خطای انرژی تقریبی (روش قدیمی)



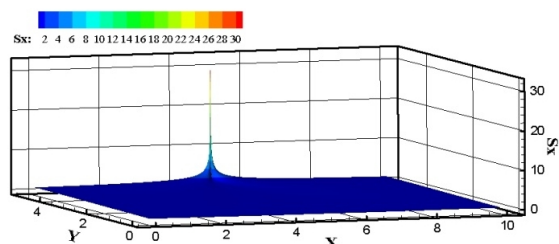
$q_{new} = 0.17$

ج) نرم خطای انرژی تقریبی (روش جدید)

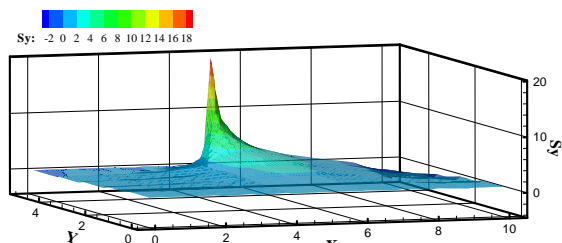
شکل 6-13 نحوه توزیع نرم خطای انرژی صفحه ترکدار تحت کشش



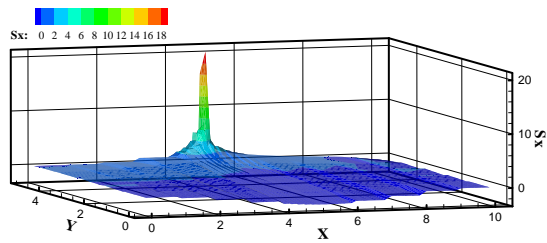
تحلیل دقیق



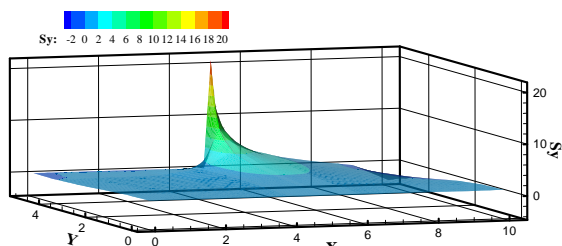
تحلیل دقیق



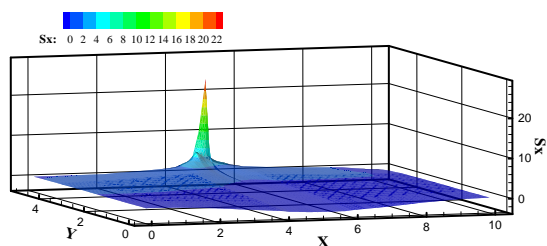
تحلیل ایزوژئومتری



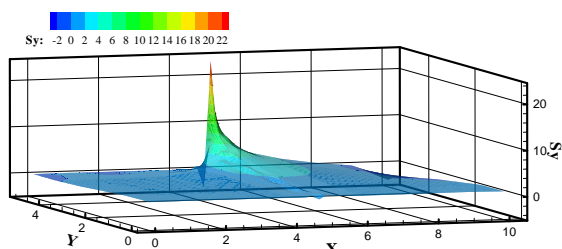
تحلیل ایزوژئومتری



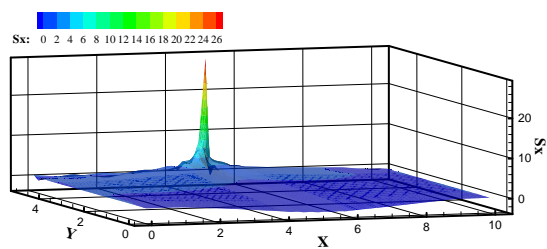
تنش بهبود یافته (روش قدیم)



تنش بهبود یافته (روش قدیم)



تنش بهبود یافته (روش جدید)



تنش بهبود یافته (روش جدید)

شکل 6-14 نحوه توزیع تنش‌های S_x, S_y صفحه ترک‌دار تحت کشش

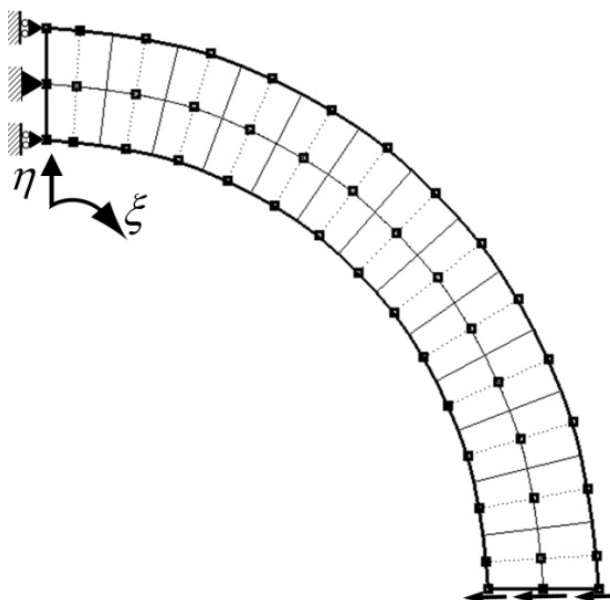
6-6- تیر طره دایره‌ای شکل

در این بخش نیز به مدلسازی تیر طره دایره‌ای شکل الاستیک در شرایط تنش مستوی، توسط تحلیل ایزوژئومتری و بازیابی تنش‌های آن پرداخته می‌شود (مسئله بخش 3-5). پارامترهای به کار برده شده در مدلسازی و تحلیل این مسئله و تنش‌های دقیق آن مطابق بخش 3-5 در نظر گرفته شده است.

برای مدلسازی و تحلیل این تیر به روش ایزوژئومتری از یک وصله و 45 نقطه کنترلی استفاده شده است. همچنین در جهت x و h به ترتیب از توابع شکل نریز درجه دو و درجه یک و بردارهای گرهی به صورت زیر استفاده شده است.

$$x = \left\{ 0, 0, 0, 0.08, 0.15, 0.23, 0.31, 0.38, 0.46, \right. \\ \left. 0.54, 0.61, 0.69, 0.77, 0.85, 0.92, 1, 1, 1 \right\}, \quad h = \{0, 0, 0.5, 1, 1\}$$

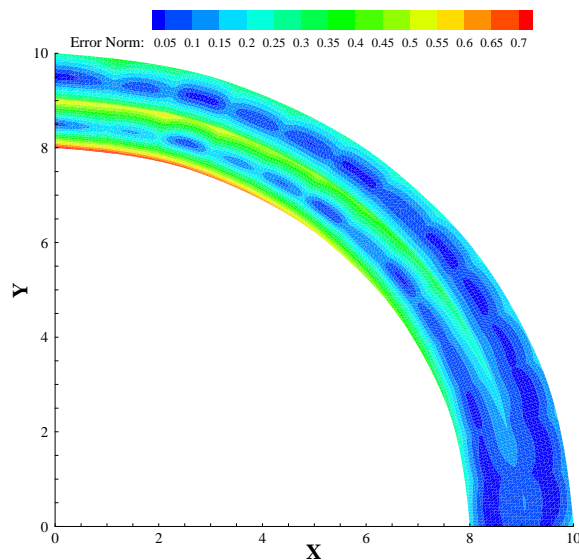
جهت انتگرال گیری عددی و نقاط بهینه تنش نیز شانزده نقطه گوسی مورد استفاده قرار گرفته است. در شکل 6-15 آرایش المانها و شبکه نقاط کنترلی به همراه شرایط مرزی اعمال شده در مدلسازی تیر طره دایره‌ای نمایش داده شده است.



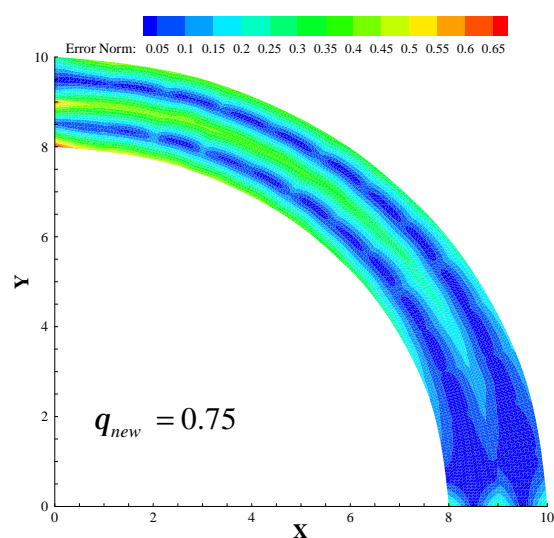
شکل 6-15 نقاط کنترلی و شرایط مرزی مدلسازی شده در تحلیل ایزوژئومتری تیر طره دایره‌ای

در شکل 6-16 نحوه توزیع نرم خطای انرژی دقیق و نرم خطای انرژی تقریبی بدست آمده از روش ارائه شده در این پژوهش (روش جدید) و روش مبتنی بر نقاط فوق همگرا (روش قدیمی) نشان داده شده است. همان طور که در این مثال نیز مشاهده می‌شود نحوه تغییرات نرم خطای تقریبی بدست آمده از روش جدید نسبت به روش قدیمی، به تغییرات نرم خطای دقیق نزدیک است که نشان دهنده کارایی بهتر تخمین کننده خطا پیشنهادی نسبت به روش مبتنی بر نقاط فوق همگرا است. در این

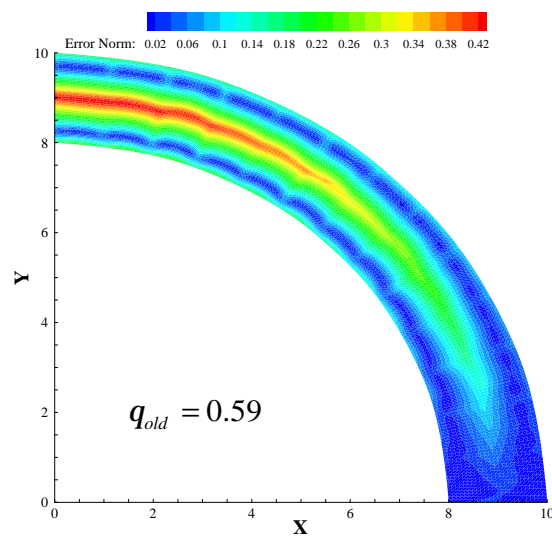
مثال شاخص تاثیر کل دامنه از روش جدید 0/75 و از روش قدیمی 0/59 بدست آمده است. که افزایش شاخص تاثیر در این مثال نیز نشان دهنده کارایی بهتر روش پیشنهادی می باشد.



الف) نرم خطای انرژی دقیق



ج) نرم خطای انرژی تقریبی (روش جدید)

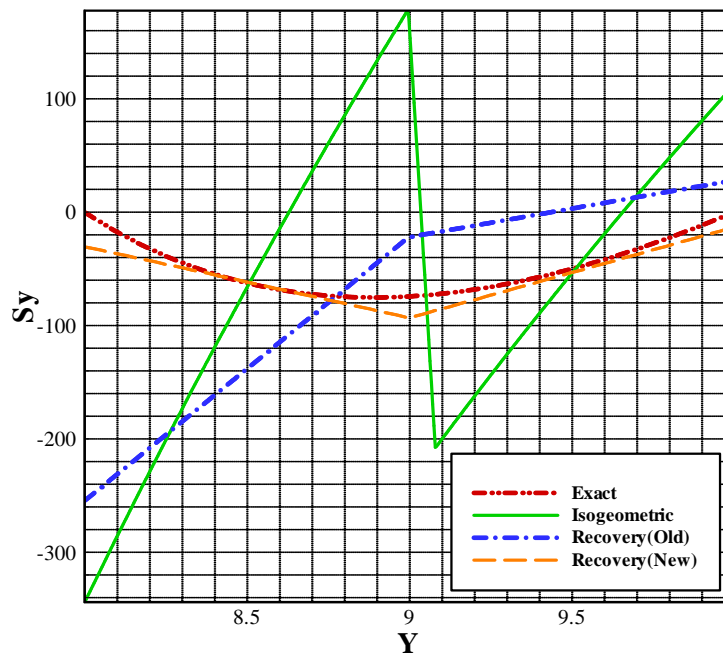


ب) نرم خطای انرژی تقریبی (روش قدیمی)

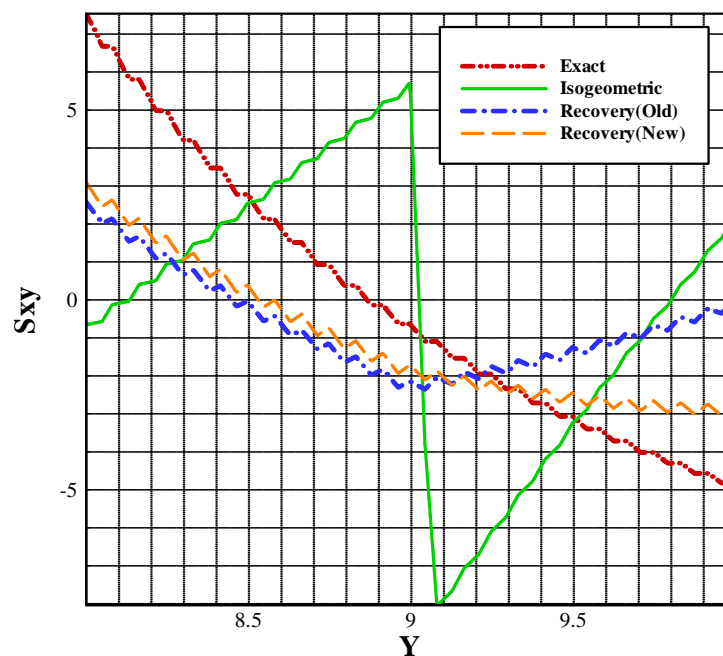
شکل 6-16 نحوه توزیع نرم خطای انرژی تیر طره دایره‌ای

در این مثال نیز به عنوان نمونه، در مسیر $x=0/04$ ، نحوه تغییرات تنش s_y و t_{xy} بدست آمده از حل دقیق، تحلیل ایزوژئومتری و روش بازیافت تنش قدیمی و جدید در شکل 6-17 ترسیم شده است. همان طور که مشاهده می شود نحوه تغییرات تنش بدست آمده از روش مبتنی بر ارضای معادلات

تعادل نسبت به روش مبتنی بر نقاط فوق همگرا، دقیقتر است که نشان دهنده کارایی مطلوب روش ارائه شده در این پژوهش در شکل سطح تنش بهبود یافته می باشد.



الف) نمودار تغییرات مولفه تنش S_y

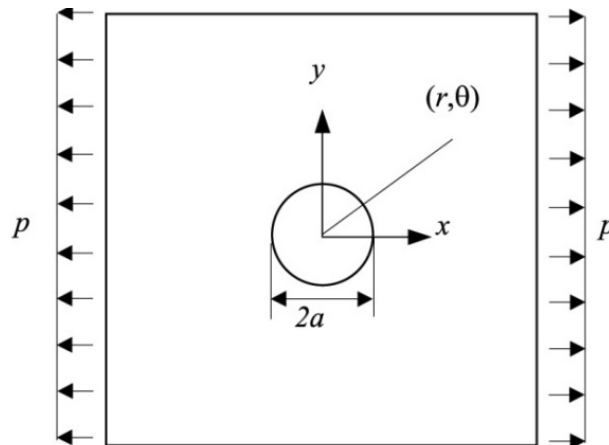


ب) نمودار تغییرات مولفه تنش t_{xy}

شکل 6-17 نمودار تغییرات تنش تیر طره دایره‌ای در مسیر $x=0/04$

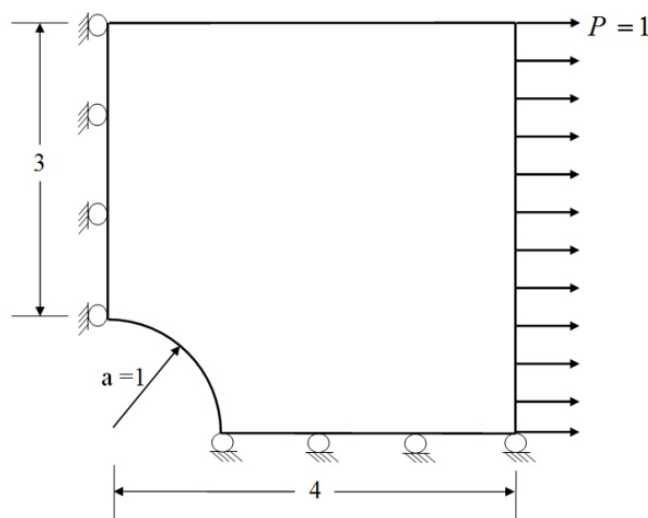
6-7- صفحه نامحدود سوراخدار

مثال دو بعدی دیگری که برای مقایسه مورد بررسی قرار گرفته است، مساله صفحه نامحدود سوراخدار می باشد (شکل 6-18).



شکل 6-18 صفحه نامحدود سوراخدار

به علت تقارن، تنها یک چهارم از دامنه مدل سازی شده است (شکل 6-19).



شکل 6-19 دامنه مدل سازی شده صفحه نامحدود سوراخدار

این صفحه تحت تنش کششی $\sigma_x = 1$ قرار گرفته است و با فرض شرایط تنش مسطح تحلیل شده است. مصالح به صورت الاستیک خطی ایزوتروپیک با ضریب یانگ $E=1000$ و ضریب پواسون $\nu=0.3$ در نظر گرفته شده است. تنشهای دقیق این مسئله با توجه به حل تحلیلی آن به صورت

روابط (28-6) تا (30-6) می‌باشد [58].

$$s_x = 1 - \frac{a^2}{r^2} \left(\frac{3}{2} \cos 2q + \cos 4q \right) + \frac{3}{2} \frac{a^4}{r^4} \cos 4q \quad (28-6)$$

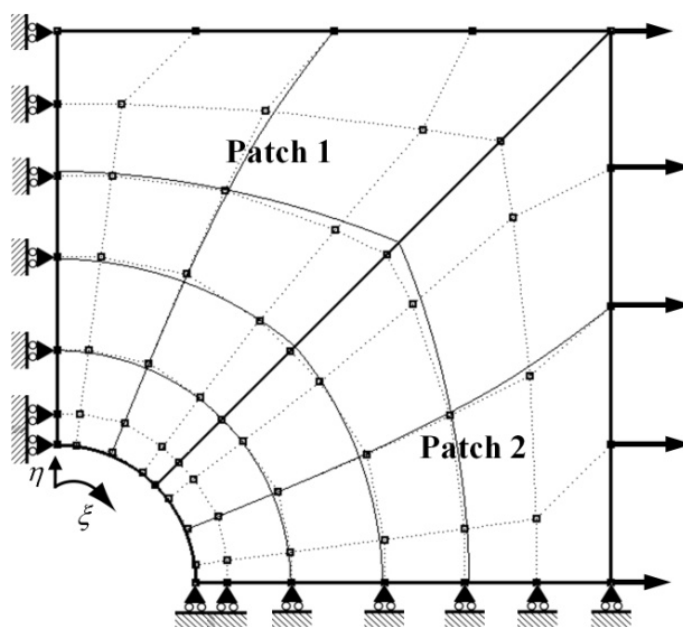
$$s_y = -\frac{a^2}{r^2} \left(\frac{1}{2} \cos 2q - \cos 4q \right) - \frac{3}{2} \frac{a^4}{r^4} \cos 4q \quad (29-6)$$

$$s_{xy} = -\frac{a^2}{r^2} \left(\frac{1}{2} \sin 2q + \sin 4q \right) + \frac{3}{2} \frac{a^4}{r^4} \sin 4q \quad (30-6)$$

همانطور که در شکل 20-6 مشاهده می‌شود، برای مدلسازی و تحلیل این مسئله به روش ایزوژئومتریک از 63 نقطه کنترلی و دو ناحیه مشابه استفاده شده است. همچنین در جهت x و h هر

وصله، از توابع شکل نرَبز درجه سه و بردارهای گرهی به صورت زیر استفاده شده است.

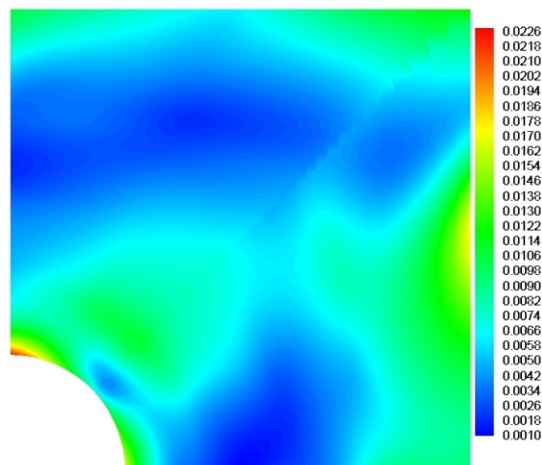
$$x = \{0,0,0,0,0.5,1,1,1,1\}, \quad h = \{0,0,0,0.25,0.5,0.75,1,1,1,1\}$$



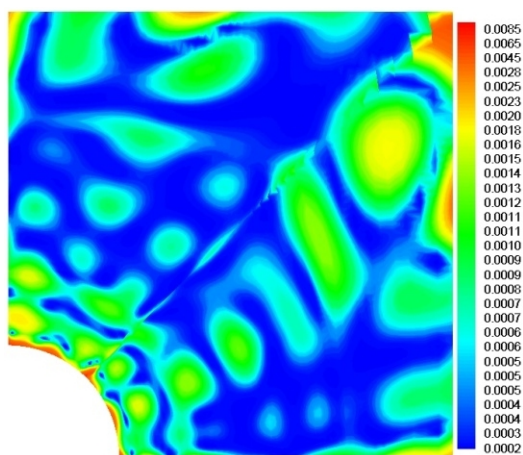
شکل 20-6 نقاط کنترلی و شرایط مرزی مدلسازی شده در تحلیل ایزوژئومتریک صفحه نامحدود سوراخدار

جهت انتگرال گیری عددی و نقاط بهینه تنش نیز بیست و پنج نقطه گوسی مورد استفاده قرار گرفته است.

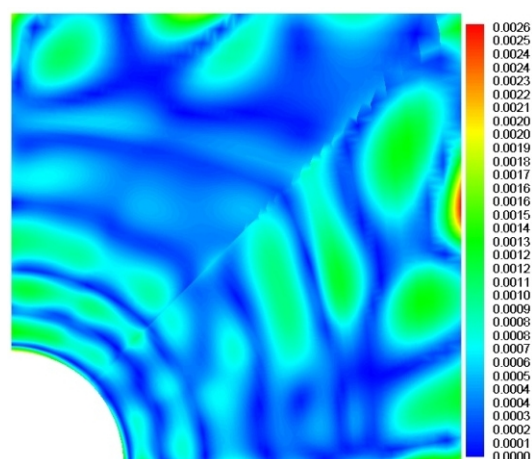
در شکل 21-6، مشاهده می‌شود که در این مثال نیز نحوه توزیع نرم خطای انرژی تقریبی بدست آمده از ارضای معادلات تعادل (روش جدید) نسبت به روش مبتنی بر نقاط فوق همگرا (روش قدیمی) به نرم خطای انرژی دقیق نزدیکتر است.



الف) نرم خطای انرژی دقیق



ج) نرم خطای انرژی تقریبی (روش جدید)



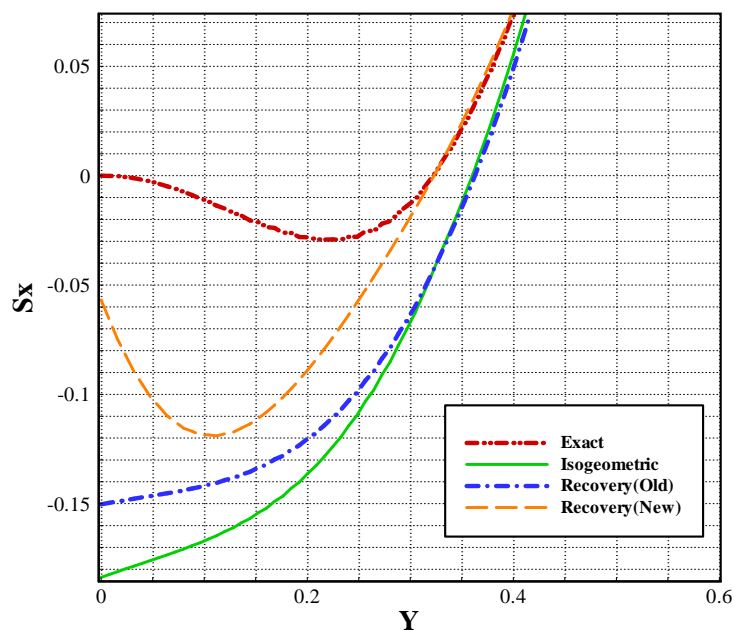
ب) نرم خطای انرژی تقریبی (روش قدیمی)

شکل 6-21 نحوه توزیع نرم خطای انرژی صفحه نامحدود سوراخدار

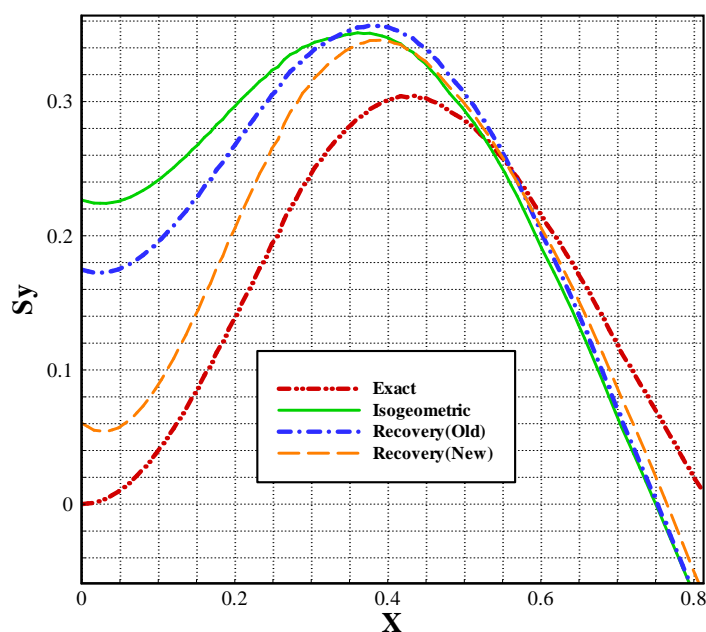
شاخص تاثیر کل دامنه برای روش جدید 0/16 و در روش قدیمی 0/14 بدست آمده است؛ که این افزایش در شاخص تاثیر نیز نشان دهنده کارایی بهتر روش پیشنهادی می باشد. به نظر می رسد که علت کاهش شاخص تاثیر و در نتیجه کاهش کارایی برآورد کننده خطا در این مثال نسبت به مثال قبل استفاده از توابع شکل با درجه بالاتر از یک می باشد. نتایج عددی نشان می دهند که معمولا در روشهای برآورد خطا مبتنی بر بازیافت تنش با افزایش درجه توابع شکل از یک، کارایی برآورد کننده خطا پایین می آید [55].

در شکل 6-22 به عنوان نمونه، نحوه تغییرات تنش s_x بدست آمده از حل دقیق و تحلیل

ایزوژئومتریکی و روش بازیافت تنش قدیمی و جدید در مسیر $x=1/0$ ترسیم شده است. همچنین نحوه تغییرات تنش S_y نیز در مسیر $y=1/0$ در شکل 23-6 نشان داده شده است. همان طور که مشاهده می‌شود نحوه تغییرات تنش بدست آمده از روش مبتنی بر ارضای معادلات تعادل نسبت به روش مبتنی بر نقاط فوق همگرا، در این مثال نیز در نواحی مرزی ترسیم شده، دقیق تر است.



شکل 22-6 نمودار تغییرات مولفه تنش S_x صفحه نامحدود سوراخدار در مسیر $x=1/0$



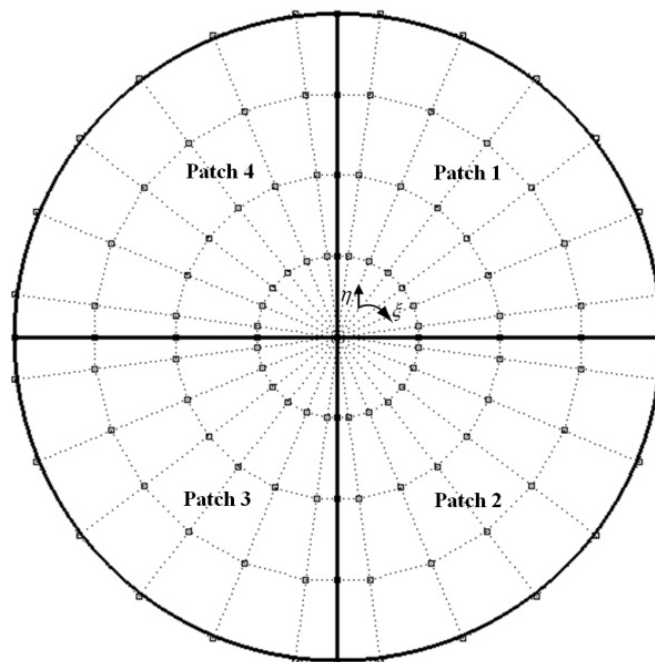
شکل 23-6 نمودار تغییرات مولفه تنش S_y صفحه نامحدود سوراخدار در مسیر $y=1/0$

6-8- صفحه دایره‌ای تحت بار متمرکز فشاری

آخرین مثالی که در این فصل جهت بررسی کارایی روش برآورد خطا بر مبنای استفاده از تعادل در روش ایزوژئومتریک و مقایسه این روش با روش مبتنی بر نقاط فوق همگرا مورد توجه قرار گرفته است، صفحه دایره‌ای تحت بار متمرکز فشاری می‌باشد. این مثال نیز همانند مسئله صفحه ترک‌دار تحت کشش، یک مسئله با نقطه تکین می‌باشد. با توجه به اینکه زیر بار متمرکز به عنوان یک نقطه تکین، دارای خطای زیادی نسبت به سایر نقاط است، هدف از این مثال، بررسی رفتار تخمین کننده-های خطا در تعیین میزان نرم خطای انرژی زیر بار متمرکز و نحوه توزیع خطا در دیگر نقاط دامنه خواهد بود.

مشخصات این مسئله، پارامترهای مورد استفاده شده و تنش‌های دقیق آن همانند مثال بخش 3-6 در نظر گرفته شده است.

برای مدل‌سازی و تحلیل این مسئله به روش ایزوژئومتریک از 140 نقطه کنترلی و چهار ناحیه مشابه به شکل ربع دایره استفاده شده است (شکل 6-24).



شکل 6-24 شبکه نقاط کنترلی در مدل‌سازی صفحه دایره‌ای

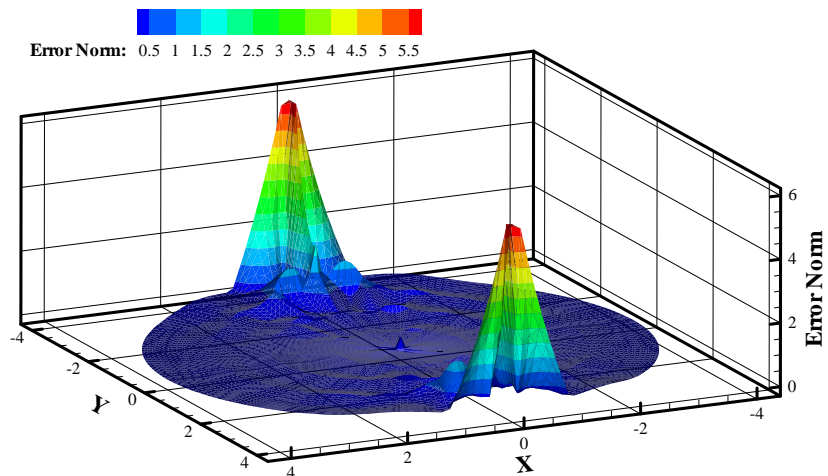
در جهت x و h هر وصله، به ترتیب از توابع شکل نریز درجه دو و درجه یک و بردارهای گرهی به صورت زیر استفاده شده است.

$$x = \{0, 0, 0, 0.17, 0.33, 0.5, 0.67, 0.83, 1, 1, 1\}, h = \{0, 0, 0.25, 0.5, 0.75, 1, 1\}$$

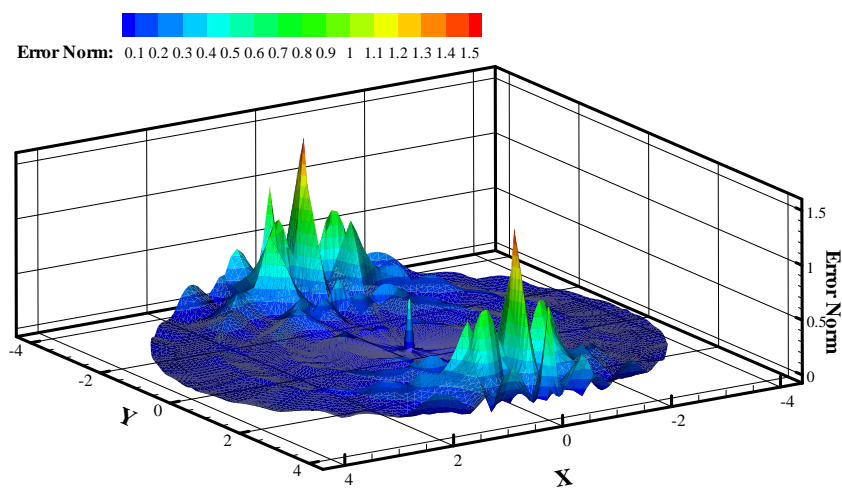
جهت انتگرال گیری عددی و نقاط بهینه تنش نیز شانزده نقطه گوسی مورد استفاده قرار گرفته است. در شکل 6-25 نتایج بدست آمده از نرم خطای انرژی دقیق و تقریبی تحلیل صفحه دایره‌ای تحت بار متمرکز فشاری نشان داده شده است. همانطور که مشاهده می‌شود، روش تخمین خطای جدید کارایی بهتری نسبت به روش قدیمی در برآورد نرم خطا در زیر بار متمرکز و توزیع نرم خطای کل دامنه دارد. در این مثال نیز شاخص تاثیر تخمین کننده خطا از مقدار 0/45 برای روش قدیمی به مقدار 0/52 در روش جدید افزایش داشته است.

در شکل‌های 6-26 تا 6-28 به مقایسه نحوه توزیع مولفه‌های تنش بدست آمده از تحلیل دقیق، تحلیل ایزوژئومتریکی و تنش‌های بازیافتی بدست آمده از روش ارائه شده در این پژوهش و روش قدیمی مبتنی بر نقاط فوق همگرا پرداخته شده است. همانطور که مشاهده می‌شود در مولفه‌های تنش s_x و s_y ، روش جدید نسبت به روش قدیمی از توزیع تنش مناسبتری برخوردار می‌باشد. در مورد توزیع تنش مولفه t_{xy} ، هر دو روش توزیع مشابهی دارند اما همانطور که مشاهده می‌شود نسبت به توزیع تنش ایزوژئومتریکی دقیقتر می‌باشند.

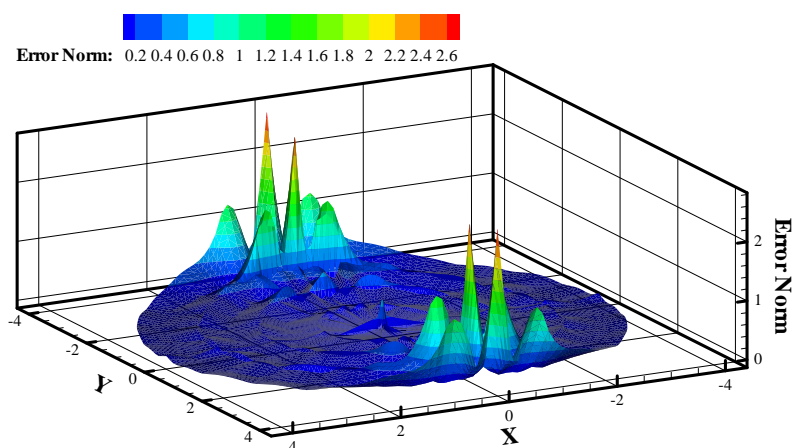
در انتها می‌توان بیان نمود که با توجه به نتایج رضایت بخش حاصل از روش برآورد خطا مبتنی بر استفاده از تعادل، نسبت به روش مبتنی بر نقاط فوق همگرا در مسائل حل شده در این فصل، روش جدید برآورد خطا از کارایی بهتری نسبت به روش مبتنی بر نقاط فوق همگرا برخوردار است و می‌توان از آن به عنوان یک راه حل ساده و مهندسی دیگر جهت برآورد خطا و بهبود میدان تنش بدست آمده از تحلیل ایزوژئومتریکی نام برد.



الف) نرم خطای انرژی دقیق

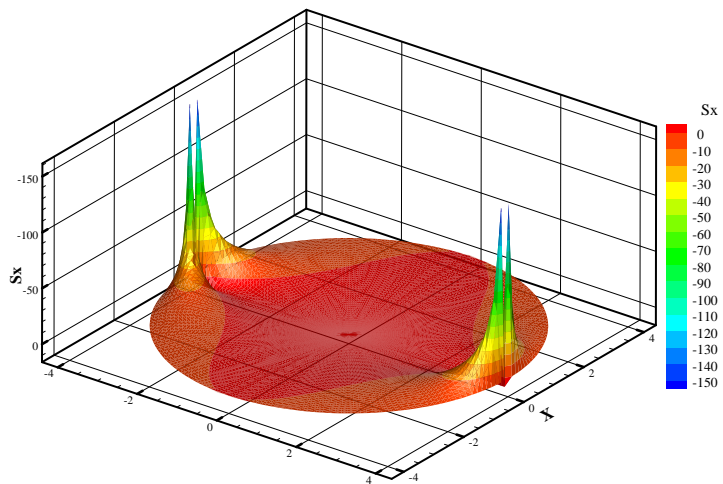


ب) نرم خطای انرژی تقریبی (روش قدیمی)

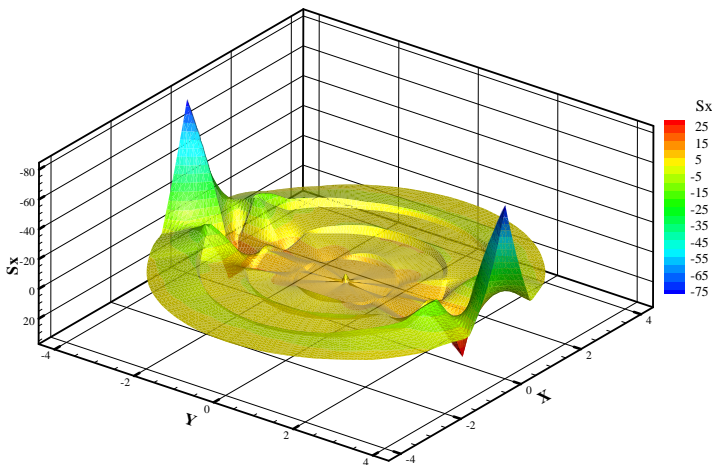


ج) نرم خطای انرژی تقریبی (روش جدید)

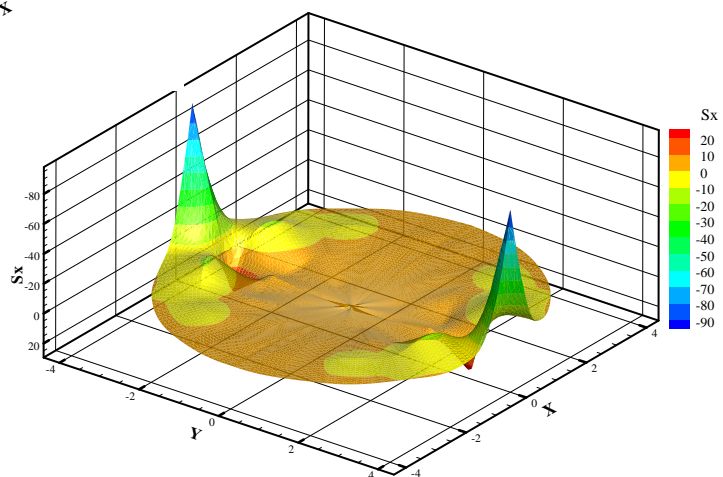
شکل 6-25 نحوه توزیع نرم خطای انرژی صفحه دایره‌ای تحت بار متمرکز فشاری



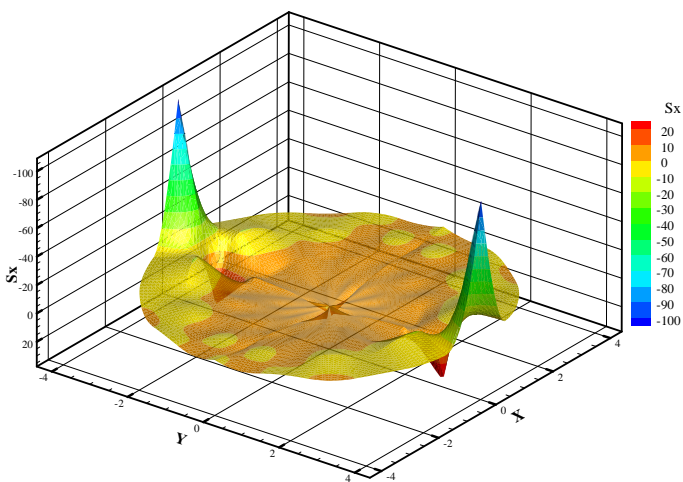
الف) تنش دقیق



ب) تنش ایزوژئومتری

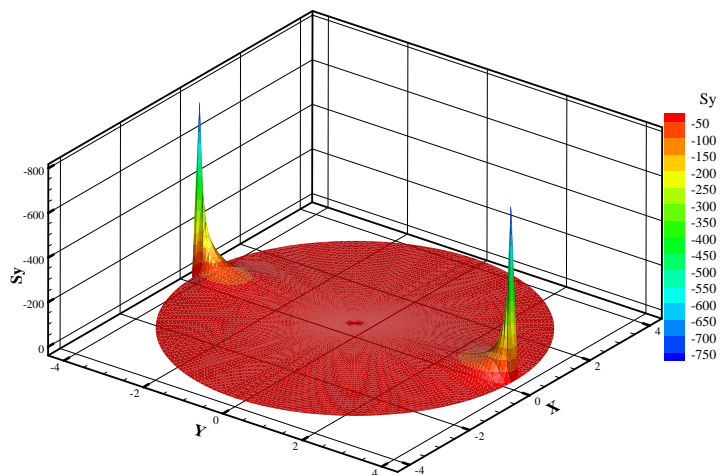


ج) تنش بهبودیافته (روش قدیمی)

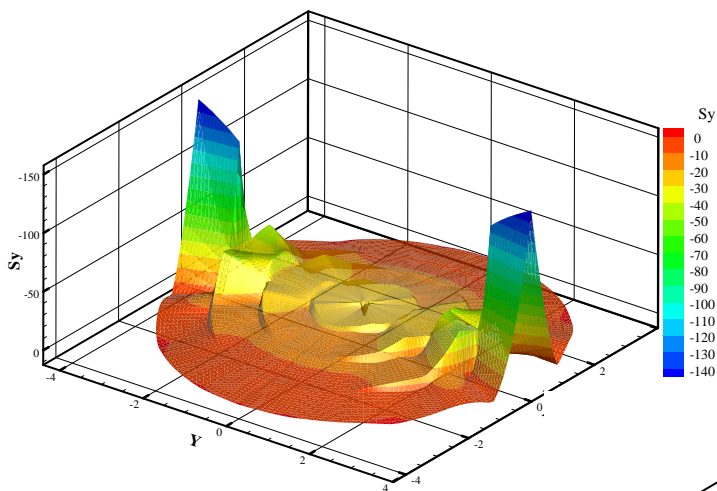


د) تنش بهبودیافته (روش جدید)

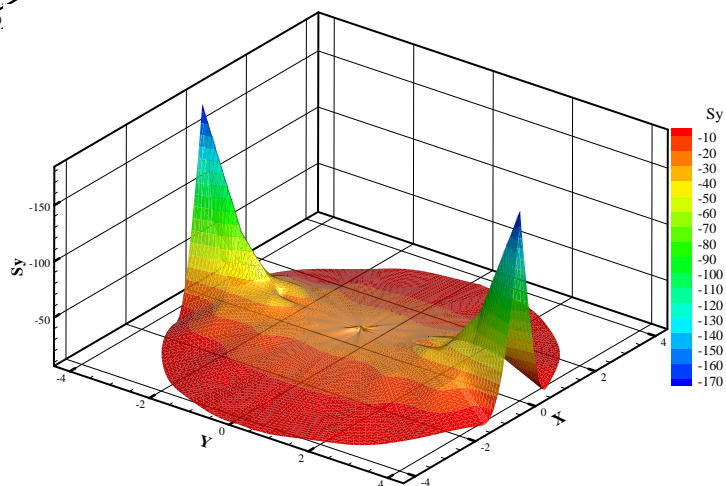
شکل 6-26 نحوه توزیع تنش S_x صفحه دایره‌ای تحت بار متمرکز فشاری



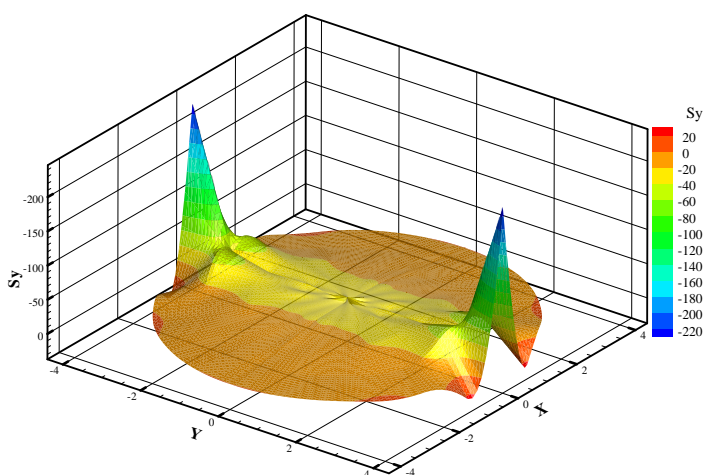
الف) تنش دقیق



ب) تنش ایزوژئومتری

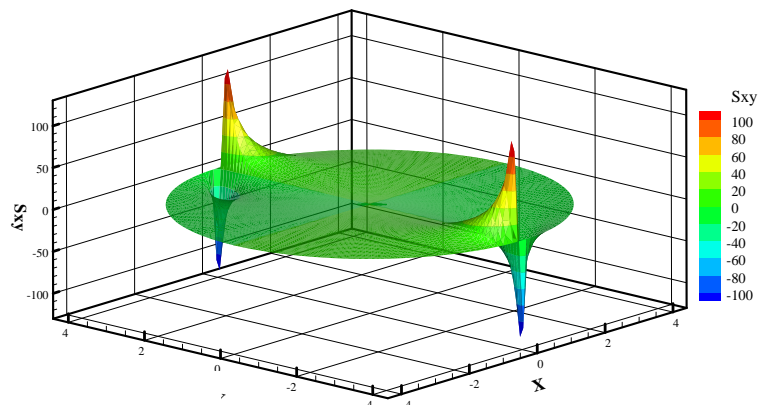


ج) تنش بهبود یافته (روش قدیمی)

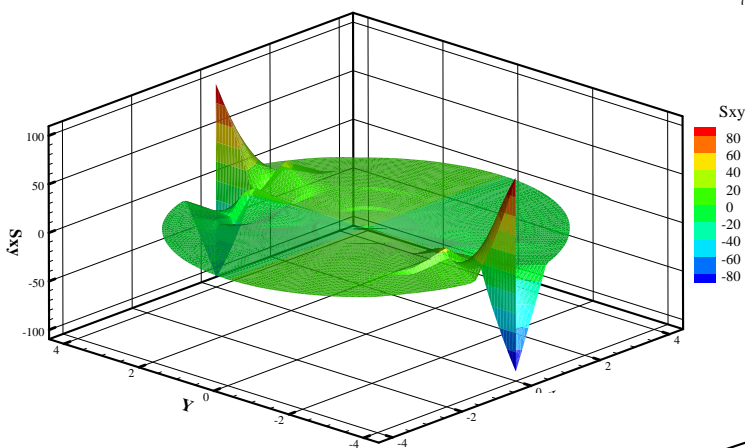


د) تنش بهبود یافته (روش جدید)

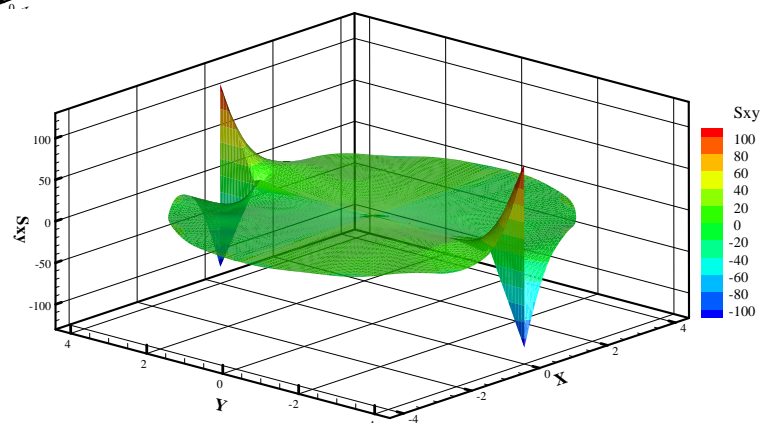
شکل 6-27 نحوه توزیع تنش S_y صفحه دایره‌ای تحت بار متمرکز فشاری



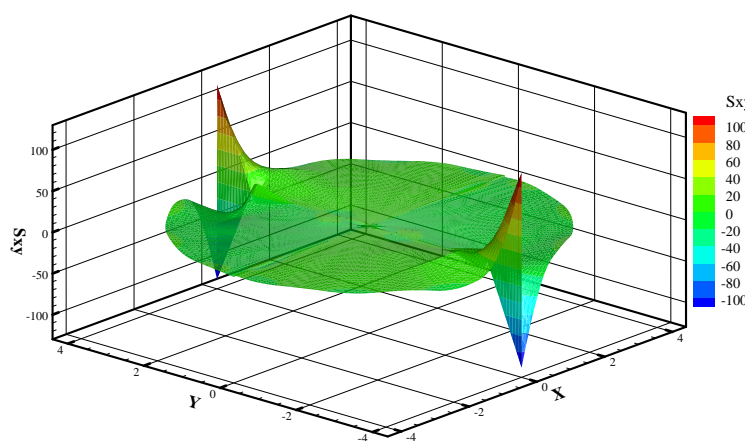
الف) تنش دقیق



ب) تنش ایزوژئومتریکی



ج) تنش بهبود یافته (روش قدیمی)



د) تنش بهبود یافته (روش جدید)

شکل 6-28 نحوه توزیع تنش t_{xy} صفحه دایره‌ای تحت بار متمرکز فشاری

فصل هفتم

جمع بندی نتایج و پیشنهادات

7-1- مقدمه

این رساله در هفت فصل تنظیم شده است. در فصل اول به بیان مقدمه، تاریخچه روش‌های برآورد خطا و اهداف حاصل از این پژوهش پرداخته شده است. در فصل دوم، به معرفی تعدادی از روشهای برآورد خطایی که در روش اجزای محدود مورد استفاده قرار گرفته است، پرداخته شده است. هدف از آشنایی با روش‌های برآورد خطا در اجزای محدود، درک بیشتر روشهای برآورد خطایی است که در روش ایزوژئومتریکی ارائه شده است. فصل سوم به بیان تاریخچه و مقدمه‌ای بر تحلیل مسائل به کمک روش نوین ایزوژئومتریکی اختصاص دارد. در این فصل فرمولبندی مسائل تنش-کرنش مسطح در تحلیل ایزوژئومتریکی بیان می‌شود. همچنین این فصل به معرفی اولین روش برآورد خطا بر مبنای بازیافت تنش در تحلیل ایزوژئومتریکی مسائل تنش-کرنش مسطح اختصاص دارد. در این بخش اثبات می‌شود که چرا نقاط گوسی در تحلیل ایزوژئومتریکی همانند روش اجزای محدود، از خاصیت فوق همگرایی برخوردار هستند. همچنین مکانیابی نقاط بهینه تنش مورد بررسی قرار گرفته است. در فصل چهارم فرمولبندی روش ایزوژئومتریکی در تحلیل مسائل متقارن محوری بیان شده است و بعد از آن به توسعه روش بازیافت تنش بر مبنای نقاط فوق همگرای گوسی جهت برآورد خطای تحلیل ایزوژئومتریکی مسائل متقارن محوری پرداخته شده است. ارائه فرمولبندی مسائل سه بعدی ایزوژئومتریکی در فصل پنجم می‌باشد. همچنین در این فصل به توسعه روش برآورد خطا بر مبنای نقاط فوق همگرا در مسائل سه بعدی ایزوژئومتریکی و بررسی تاثیر نقاط گوسی در تشکیل تنش بهبود یافته این مسائل پرداخته شده است. فصل ششم به معرفی یک روش ابداعی دیگر، بر پایه بازیافت تنش، جهت برآورد خطای حاصل از تحلیل مسائل با روش ایزوژئومتریکی می‌پردازد. در این روش با استفاده از نیروهای وارد بر هر وصله از تحلیل ایزوژئومتریکی و استفاده از قید معادلات تعادل، یک سطح بهبود یافته حاصل می‌شود که دقت بیشتری نسبت به تنش ایزوژئومتریکی و نیز تنش بهبود یافته مبتنی بر نقاط فوق همگرا، دارد. در این فصل با ارائه شش مثال مختلف کارایی روش مورد

ارزیابی قرار گرفته است. در آخرین فصل نیز به بیان نتایج و پیشنهادات پرداخته شده است.

7-2- نتیجه گیری

در این رساله، با ایده گرفتن از روشهایی که در اجزای محدود، جهت برآورد خطا و بهبود نتایج آن مورد استفاده قرار گرفته بود، به ابداع و توسعه روشهایی نوین جهت بهبود تنش و برآورد خطای روش ایزوژئومتریکی پرداخته شد. با توجه به شباهتهایی که روش ایزوژئومتریکی با اجزای محدود دارد، وجود برخی تفاوت‌های اساسی بین این دو روش، مشکل جدی در انتقال ایده‌های برگرفته از روش اجزای محدود، جهت برآورد خطا و بازیافت تنش مسائل ایزوژئومتریکی در این رساله بود. مقالات اصلی که در روش اجزای محدود، به معرفی چگونگی برآورد خطا و بهبود نتایج پرداخته و در این رساله مورد توجه قرار گرفته بودند عبارتند از:

(1) روش برآورد خطای ارائه شده توسط زینکوویچ و زو که در سال 1992 به معرفی روش SPR

جهت بازیافت تنش و برآورد خطای روش اجزای محدود پرداختند [9].

ایده استفاده از نقاط فوق همگرای گوسی در تحلیل ایزوژئومتریکی از این مقاله و دیگر مقالات مرتبط به آن گرفته شد. با توجه به اینکه استفاده از نقاط فوق همگرای گوسی در روش اجزای محدود اولین بار به صورت اتفاقی و توسط بارلو مطرح شد [2]، این سوال وجود داشت که آیا این نقاط در روش ایزوژئومتریکی نیز همانند روش اجزای محدود از خاصیت فوق همگرایی برخوردار هستند یا خیر؟. همچنین با توجه به اینکه تنش بهبود یافته در اجزای محدود بر روی هر وصله که حاصل از چند المان بود، بدست می‌آمد، این چالش را در روش ایزوژئومتریکی که در آن، المانها همانند روش اجزای محدود وجود نداشت، ایجاد می‌نمود. در این رساله اثبات می‌شود که چرا نقاط گوسی در تحلیل ایزوژئومتریکی نیز از خاصیت فوق همگرایی برخوردار می‌باشند. همچنین با استفاده از تکنیک نریز در تولید سطح تنش بهبود یافته بر روی هر وصله از تحلیل ایزوژئومتریکی، این روش بخوبی جهت برآورد خطا و بهبود تنش روش ایزوژئومتریکی پیاده سازی شد و نتایج بدست آمده در فصل‌های سه، چهار و

پنج، کاربرد موفقیت آمیز این روش را در مسائل دو بعدی تنش-کرنش مسطح، متقارن محوری و مسائل سه بعدی نشان می‌دهد.

(2) روش برآورد خطای ارائه شده توسط برومند و زینکوویچ که در سال 1997 به معرفی روش REP پرداختند [13]، همچنین روش ارائه شده توسط باته و همکاران که در سال 2011 به معرفی روشی مشابه روش REP، جهت افزایش دقت تنش حاصل از تحلیل اجزای محدود پرداخته‌اند [57].

ایده استفاده از نیروهای وارد بر هر وصله از تحلیل ایزوژئومتریکی و قید معادلات تعادل از این مقالات و دیگر مقالات مرتبط با آنها گرفته شد. یکی از اساسی ترین چالشهایی که این قسمت از پژوهش با آن روبرو شده بود، وجود تفاوت بین نقاط گرهی در روش اجزای محدود (که بر روی مرز المانها و سازه قرار داشتند) با نقاط کنترلی روش ایزوژئومتریکی (که در فضایی خارج از مرز سازه و مرز بردارهای گرهی قرار داشتند) بود. تشکیل فرمولبندی این روش بر اساس استفاده از بازه تاثیر توابع نیز نیز یکی دیگر از مشکلات استفاده از این ایده در روش ایزوژئومتریکی به شمار می‌رود. با وجود این مشکلات و دیگر چالشهایی که در پیاده سازی این ایده در روش ایزوژئومتریکی وجود داشت، این ایده جهت برآورد خطای روش ایزوژئومتریکی به کار گرفته شد و نتایج بدست آمده در فصل شش، نشان دهنده کارایی رضایت بخش این روش می‌باشد.

(3) روش برآورد خطای ارائه شده توسط تابارا و همکاران، که در آن با استفاده از روش مینیمم مربعات متحرک به بهبود حل و برآورد خطا در روش اجزای محدود پرداخته شده است [18]. با توجه به اینکه روش مینیمم مربعات متحرک در برآورد خطای روش اجزای محدود از کارایی مناسبی برخوردار است تصور می‌شد که با توسعه این روش در تحلیل ایزوژئومتریکی نیز بتوان به یک دستاورد جدید در برآورد خطای آن دست یافت. فرمولبندی و الگوریتم های لازم جهت پیاده سازی این روش در تحلیل ایزوژئومتریکی استخراج شد و برنامه کامپیوتری به زبان فرترن نوشته شد.

متأسفانه این روش آنچنان که تصور می‌شد در روش ایزوژئومتریکی کارایی مناسبی نداشته و نتایج ضعیفی از خود نشان داده است. تصور می‌شود که دلیل عدم کارایی ایده گرفته شده از این روش در تحلیل ایزوژئومتریکی، وجود تفاوت‌هایی است که بین روش ایزوژئومتریکی و اجزای محدود می‌باشد.

(4) روش برآورد خطای ارائه شده توسط اُبرتینی¹، که در آن با استفاده از فرمولبندی انرژی

مکمل به بازیافت تنش و برآورد خطا در روش اجزای محدود پرداخته شده است [60].

این روش برآورد خطا و دیگر روش‌های مرتبط با آن در تحلیل اجزای محدود از کارایی مناسبی برخوردار است و به نظر می‌رسید که بتوان با توسعه آن در روش ایزوژئومتریکی نیز به یک دستاورد جدید در برآورد خطای آن دست یافت. برای این روش نیز فرمولبندی و الگوریتم‌های لازم جهت پیاده سازی آن در تحلیل ایزوژئومتریکی استخراج شد و برنامه کامپیوتری به زبان فرترن نوشته شد. اما نتایج این روش نیز بسیار ضعیف بوده و تخمین کننده خطا با استفاده از این روش کارایی مناسبی در تحلیل ایزوژئومتریکی از خود نشان نداد.

همان طور که در بالا اشاره شد، با وجود شباهت‌هایی که روش اجزای محدود با روش ایزوژئومتریکی دارد، اما پیاده سازی ایده‌های گرفته شده از موارد سه و چهار در روش ایزوژئومتریکی به خوبی صورت پذیرفت که این امر ممکن است حاصل از دو دلیل عمده باشد، یکی اینکه روش بدرستی در تحلیل ایزوژئومتریکی فرمولبندی نشده باشد، که این امر با توجه به اینکه فرمولبندی روش چندین مرتبه بازبینی شده است، بعید به نظر می‌رسد. و دلیل دوم وجود تفاوت‌ها بین روش ایزوژئومتریکی و اجزای محدود است که باعث عدم کارایی صحیح بعضی روش‌های ارائه شده در اجزای محدود می‌شود که این امر کار تحقیقاتی بیشتر جهت تطابق بیشتر این روش‌ها در تحلیل ایزوژئومتریکی را خواستار است.

✓ عمده نتایجی که از انجام این رساله حاصل شده است به شرح زیر می‌باشد:

ü استفاده از ایده‌های مطرح شده در روش اجزای محدود جهت برآورد خطای تحلیل مسائل به روش ایزوژئومتریکی دارای پیچیدگی‌هایی است که از تفاوت بین این دو روش ناشی می‌شود و

¹ F. Ubertini

نمی‌توان همیشه اطمینان داشت که بتوان با پیاده سازی روشهای ارائه شده در اجزای محدود جهت بازیافت تنش و برآورد خطای نتایج تحلیل سازه، به نتایج قابل قبول و مناسبی در روش ایزوژئومتریکی دست یافت.

ü نقاط انتگرال گیری گوسی در تحلیل ایزوژئومتریکی، مشابه روش اجزای محدود، دارای خاصیت فوق همگرایی می باشند، در این نقاط مرتبه همگرایی تنش، یک مرتبه از مقداری که انتظار می‌رود از مشتق تابع شکل مربوط به حل جابجایی بدست آید، بالاتر است و هم مرتبه با تقریب تابع جابجایی است.

ü نتایج حاصل از بررسی تعداد نقاط گوسی به عنوان نقاط بهینه تنش در برآورد خطای مسائل حل شده در این پژوهش بیان کننده این موضوع است که، تعداد نقاط بهینه تنش وابسته به مرتبه توابع شکل مورد استفاده در تحلیل مسئله می‌باشد، به طوری که با توجه به مرتبه توابع شکل، محل نقاط بهینه تنش منطبق بر حداقل تعداد نقاط انتگرال گیری به روش گوس در تحلیل ایزوژئومتریکی است. اما با مقایسه شاخص تاثیر حاصل از برآورد کننده خطا با تعداد مختلف نقاط گوسی، این نتیجه نیز حاصل می‌شود که برآورد کنند خطا در تمام نقاط گوسی ارائه شده دارای شاخص تاثیرهای نزدیک به هم و قابل قبولی می‌باشد که این موضوع نشان دهنده فوق همگرا بودن تمام نقاط گوسی، بدون در نظر گرفتن تعداد آنها در تحلیل ایزوژئومتریکی می‌باشد. از اینرو در استفاده از روش برآورد خطا مبتنی بر نقاط فوق همگرا در تحلیل ایزوژئومتریکی، نگرانی بابت تعداد نقاط انتگرال گیری گوس به عنوان نقاط فوق همگرا وجود ندارد و می‌توان این اطمینان را داشت که برآورد کننده خطا با هر تعداد نقاط انتگرال گیری گوسی، به تقریب مناسبی از توزیع خطا در دامنه حل مسئله دست یابد.

ü با استفاده از خاصیت فوق همگرایی نقاط گوسی و با استفاده از روش حداقل مینیمم مربعات، سطح تنش بهبود یافته بوسیله تکنیک نربز بدست می‌آید که از تنش ایزوژئومتریکی دقیقتر

است و از آن می‌توان به عنوان معیاری جهت برآورد خطای تحلیل ایزوژئومتریکی استفاده نمود. کارایی این برآورد کننده خطا در مسائل تنش- کرنش مسطح، متقارن محوری و مسائل سه بعدی بررسی شد و تمامی نتایج بیان کننده مناسب بودن این برآورد کننده خطا در تحلیل ایزوژئومتریکی مسائل دوبعدی و سه‌بعدی است.

ü ویژگی بارز روش برآورد خطا مبتنی بر نقاط فوق همگرا در تحلیل ایزوژئومتریکی مسائل دوبعدی و سه‌بعدی الاستیسیته، سادگی و اقتصادی بودن آن می‌باشد. هزینه کم محاسبات در این روش از این بابت است که با توجه به فرمولبندی این روش، برای تمام مولفه‌های تنش، ماتریس ضرایب A فقط یکبار محاسبه شده و معکوس می‌شود.

ü برای اولین بار در روش ایزوژئومتریکی، استفاده از نیروهای وارد بر هر وصله از فضای محاسباتی تحلیل ایزوژئومتریکی و قید معادلات تعادل در تولید تنش بهبود یافته به کار گرفته شد. با استفاده از این روش، محدودیتی برای میدان تنش دقیق حاکم بر مسئله بدست می‌آید که به طور مستقیم و بدون استفاده از مشتق تابع جابجایی (که باعث کاهش دقت توابع شکل درونیاب است) حاصل می‌شود. با استفاده از این محدودیت، می‌توان هر مولفه تنش را که به صورت یک سطح نریز با مختصه سوم مجهول فرض شده است، بدون استفاده از مشتق توابع شکل تغییر مکان بدست آورد.

ü کارایی روش برآورد خطا بر مبنای استفاده از نیروهای وارد بر هر وصله از تحلیل ایزوژئومتریکی در شش مسئله الاستیسیته که دارای حل دقیق می‌باشند، مورد بررسی قرار گرفت و نتایج بیان کننده رفتار خوب این تخمین کننده خطا در برآورد خطای روش ایزوژئومتریکی می‌باشند. همچنین شاخص تاثیر این برآورد کننده خطا در تمامی مسائل نسبت به شاخص تاثیر بدست آمده از برآورد خطا بر مبنای نقاط فوق همگرا، بهتر بوده و توزیع نرم خطای تقریبی بدست آمده از این روش نسبت به روش مبتنی بر نقاط فوق همگرا،

دقیقت است.

ü ویژگی بارز روش برآورد خطا بر مبنای استفاده از تعادل در هر وصله از تحلیل ایزوژئومتریکی، عدم نیاز به نقاط انتگرال گیری گوسی به عنوان نقاط فوق همگرایی تنش در تشکیل سطح تنش بهبود یافته است. در اینصورت می توان این روش را در مسائلی که جهت انتگرال گیری عددی از روشی به جزء روش انتگرال گیری گوس، استفاده می نمایند، به کار گرفت. همچنین تصور می شود، با توجه به فرمولبندی این روش، می توان به سادگی از آن در برآورد خطای تحلیل ایزوژئومتریکی مسائل غیر خطی الاستو-پلاستیک استفاده نمود.

ü با توجه به فرمولبندی روش برآورد خطا بر مبنای تعادل در هر وصله از تحلیل ایزوژئومتریکی، می توان دریافت که هزینه این روش در تولید سطح تنش بهبود یافته نسبت به روش مبتنی بر نقاط فوق همگرا بیشتر است. این افزایش هزینه بدین علت است که باید ماتریس ضرایب C برای هر مولفه تنش به صورت مجزا حساب شده و معکوس شود. اما این افزایش هزینه به دلیل استفاده از خاصیت بازه تاثیر توابع نرَبز در تشکیل سطح تنش بازیافتی در این روش نسبت به سطح تنش بازیافتی حاصل از نقاط فوق همگرا، تا حدی کاهش یافته است.

7-3- پیشنهادات

در مقاله ای که در سال 2003 توسط پروفیسور ادن¹، بلیشکو²، بابوشکا³ و پروفیسور هیوز⁴، که از جمله معروفترین دانشمندان شاخه علم مکانیک محاسباتی می باشند، به چاپ رسید بود، از برآورد خطا و حل تطبیقی به عنوان یکی از ده شاخه اصلی و مهم تحقیقات آینده در شاخه مکانیک محاسباتی یاد شده است [61]. بدون شک در صورتی که نتوان به نتایج بدست آمده از تحلیل مسائل مهندسی توسط کامپیوتر اعتماد نمود، طراحی مسائل مهندسی با مشکل مواجه می شود و یکی از مهمترین

¹ J. Tinsley Oden

² Ted Belytschko

³ Ivo Babuska

⁴ T.J.R. Hughes

شاخه‌های تحقیقات آینده این خواهد بود که با استفاده از روش‌های برآورد خطا و بدنبال آن حل تطبیقی، بتوان به نتایج با قابلیت اطمینان بالا دست پیدا کرد. این امر اهمیت موضوع ارائه شده در این رساله را نشان می‌دهد و اهمیت ادامه این مسیر را جهت کارهای تحقیقاتی بیشتر در آینده روشن می‌سازد. همچنین با توجه به اینکه روش تحلیل ایزوژئومتری یک روش نوین در آنالیز مسائل مهندسی است، هنوز کمبودهای فراوانی در زمینه پژوهش بر روی تخمین خطای نتایج بدست آمده از آن وجود دارد، که این امر نیاز به ادامه تحقیقات را در این زمینه بیشتر از پیش روشن می‌سازد.

✓ پیشنهاداتی که در ادامه موضوع این رساله می‌توان به آنها اشاره کرد به شرح زیر می‌باشند:

ü توسعه روش برآورد خطا بر مبنای تعادل در هر وصله از تحلیل ایزوژئومتریک مسائل تنش- کرنش مسطح جهت برآورد خطای مسائل متقارن محوری و سه بعدی و بررسی کارایی این روش در تشکیل سطح تنش بهبود یافته در این مسائل.

ü استفاده از روش برآورد خطا بر مبنای تعادل در هر وصله از تحلیل ایزوژئومتریک، جهت برآورد خطای مسائل غیر خطی الاستو-پلاستیک و مقایسه آن با روش برآورد خطا بر مبنای نقاط فوق همگرا.

ü تحقیق و تلاش بیشتر بر روی پیاده سازی روشهای برآورد خطا با استفاده از روش مینیمم مربعات متحرک و انرژی مکمل در تحلیل ایزوژئومتریک.

ü بررسی بهبود روشهای برآورد خطای ارائه شده در این پژوهش، با ایده گرفتن از روشهایی که جهت بهبود میدان تنش بازیافتی در روش اجزای محدود مورد استفاده قرار گرفته است.

ü ابداع و توسعه روشهای برآورد خطای باقیمانده‌ای در روش ایزوژئومتریک و مقایسه آن با روشهای برآورد خطا بر مبنای بازیافت تنش ارائه شده در این رساله.

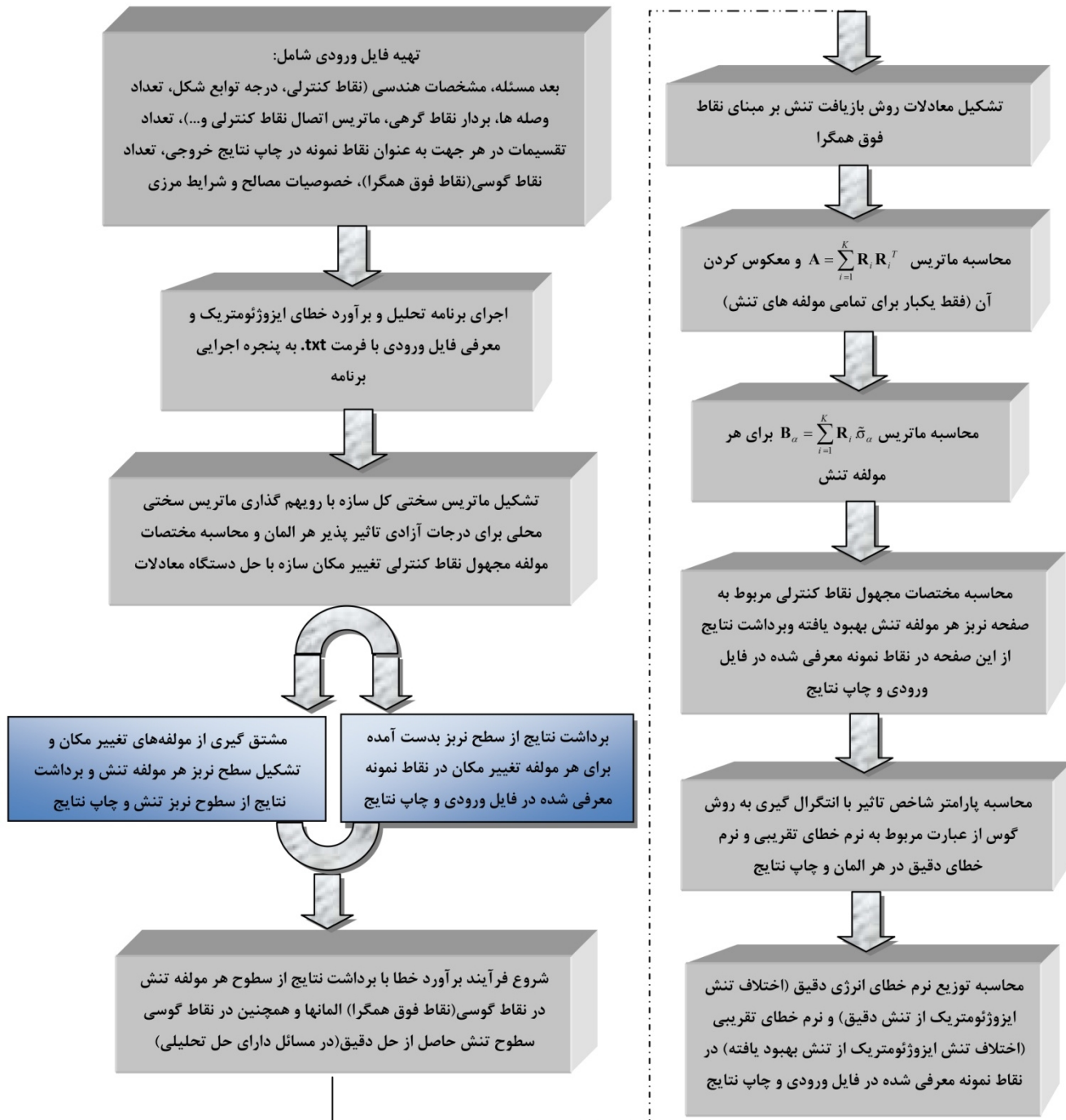
ü ابداع و توسعه روشهایی جهت بهبود شبکه تحلیل ایزوژئومتریک و استفاده از روشهای برآورد خطای ارائه شده در این رساله در حل تطبیقی و افزایش دقت حاصل از تحلیل ایزوژئومتریک.

- ü مقایسه سرعت همگرایی در حل تطبیقی مسائل، با استفاده از الگوریتم برآورد خطا بر مبنای نقاط فوق همگرا و برآورد خطا بر مبنای تعادل در هر وصله از تحلیل ایزوژئومتریکی.
- ü استفاده از روشهای بهبود تنش ارائه شده در این رساله در مسائل مکانیک شکست و گسترش ترک در جامدات و همچنین مسائل بهینه سازی و بررسی میزان سرعت همگرایی این مسائل در مقایسه با عدم استفاده از روشهای بهبود تنش.

پوست

**معرفی الگوریتم و برنامه تحلیل و برآورد خطای
روش ایزوژئومتریکی در مسائل تنش-کرنش مسطح،
متقارن محوری و مسائل سه بعدی**

فلوچارت و روند کلی برنامه تحلیل ایزوژئومتریکی و برآورد خطای آن بر مبنای نقاط فوق همگرا در مسائل دو بعدی و سه بعدی

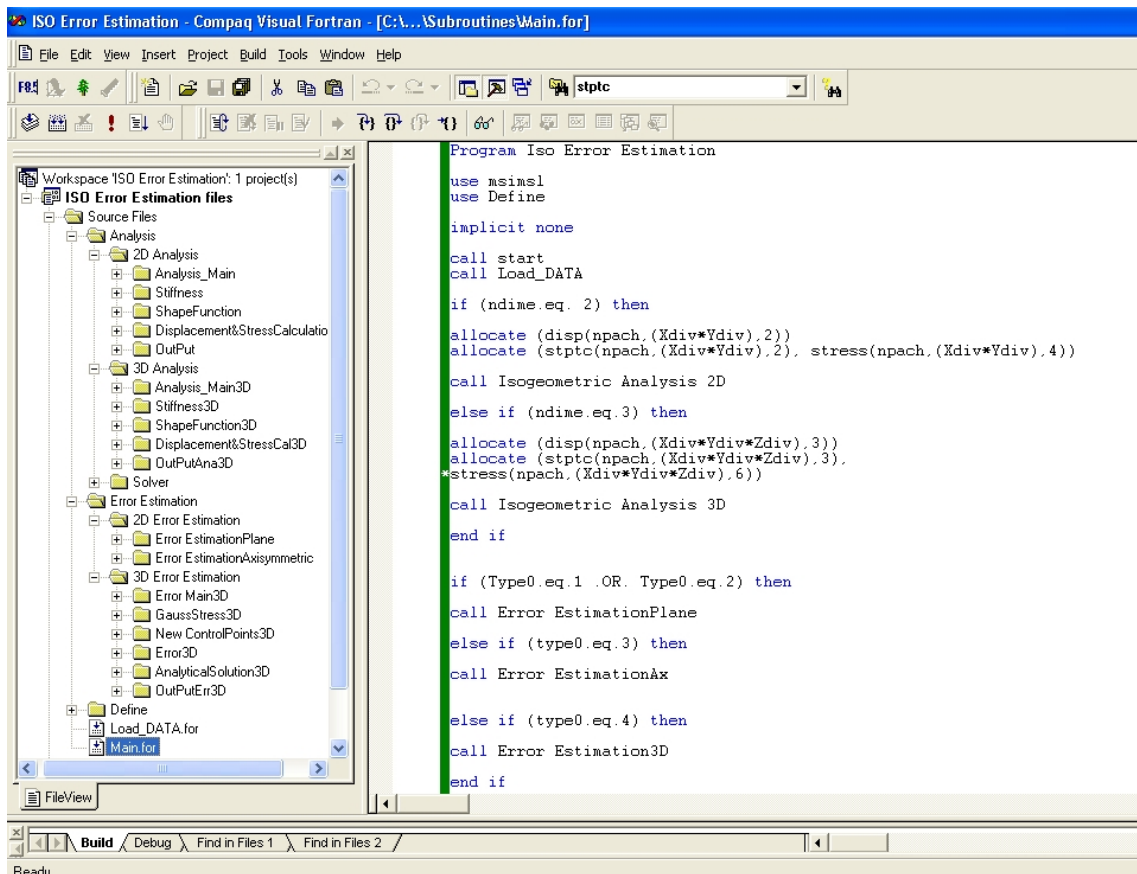


فلوچارت و روند کلی برنامه تحلیل ایزوژئومتریکی و برآورد خطای آن بر مبنای تعادل در هر وصله از دامنه



در این قسمت به معرفی برنامه کامپیوتری که در نرم افزار Compaq Visual Fortran V6.6 نوشته شده است، پرداخته می‌شود. با توجه به وجود 49 زیر برنامه و در حدود 116905 خط برنامه نوشته شده به زبان فرترن در این برنامه کامپیوتری، ضروری به نظر می‌رسد که در این قسمت به تشریح قسمتهای مختلف آن و نحوه تشکیل فایل ورودی و تشریح نتایج خروجی پرداخته شود.

در شکل 1 نمای کلی از برنامه نشان داده شده است. همانطور که مشاهده می‌شود این برنامه کامپیوتری از دو قسمت کلی تحلیل سازه¹ و برآورد خطا² تشکیل شده است. بخش تحلیل سازه به دو قسمت تحلیل دوبعدی³ و سه بعدی⁴ تقسیم می‌شود که در قسمت تحلیل دو بعدی، زیر برنامه‌های مربوط به تحلیل مسائل تنش مسطح، کرنش مسطح و مسائل متقارن محوری وجود دارد.



شکل 1- نمای کلی از برنامه تحلیل مسائل به روش ایزوژئومتریکی و برآورد خطای آن

¹ Analysis

² Error Estimation

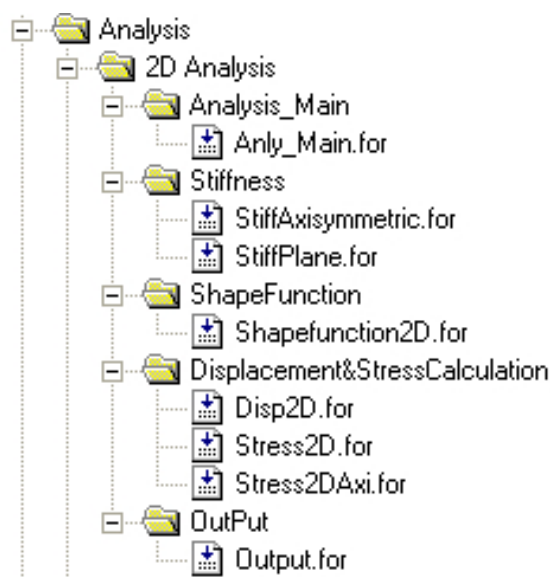
³ 2D Analysis

⁴ 3D Analysis

بخش برآورد خطا، حاوی زیربرنامه‌های برآورد خطای مسائل دوبعدی و سه‌بعدی می‌باشد؛ که زیر برنامه‌های مربوط به برآورد خطای مسائل تنش- کرنش مسطح¹ و برآورد خطای مسائل متقارن محوری² در قسمت برآورد خطای مسائل دوبعدی³ قرار داده شده است. زیر برنامه مربوط به دریافت داده‌های ورودی⁴، و زیربرنامه‌های قسمت تعاریف⁵ به همراه زیربرنامه‌های مربوط به حل دستگاه معادلات خطی⁶ از دیگر قسمت‌های این برنامه می‌باشند که در شکل 1 مشاهده می‌شوند. ارتباط بین تمام این زیر برنامه‌ها در قسمت زیر برنامه اصلی⁷ صورت می‌پذیرد. در ادامه به تشریح هر یک از قسمت‌های ذکر شده در بالا پرداخته شده است.

1- زیر برنامه‌های مربوط به تحلیل دو بعدی

در شکل 2 نمای کلی از زیر برنامه‌های مربوط به تحلیل دو بعدی نشان داده شده است. در ادامه به تشریح وظیفه هر یک از زیر برنامه‌های این قسمت پرداخته شده است.



شکل 2- زیر برنامه‌های مربوط به تحلیل دو بعدی

¹ Error EstimationPlane

² Error EstimationAxisymmetric

³ 2D Error Estimation

⁴ Load_DATA.for

⁵ Define

⁶ Solver

⁷ Main.for

Anly_Main.for : این زیربرنامه ارتباط بین زیر برنامه‌های این قسمت را برقرار می‌کند.

StiffAxisymmetric.for : در این قسمت ماتریس سختی کل دامنه مدلسازی شده در مسائل متقارن محوری محاسبه می‌شود.

StiffPlane.for : این بخش نیز وظیفه تشکیل ماتریس سختی کل دامنه مدلسازی شده در مسائل تنش-کرنش مسطح را بر عهده دارد.

Shapefunction2D.for : توابع شکل نریز در مسائل دو بعدی در این زیر برنامه محاسبه می‌شود. در هر قسمت از برنامه که نیاز به محاسبه توابع شکل نریز می‌باشد، این زیر برنامه فراخوانده می‌شود.

Disp2D.for : بعد از تشکیل ماتریس سختی کل سازه و حل دستگاه معادلات در زیربرنامه Solver و محاسبه مختصات سوم نقاط کنترلی، در این قسمت به تشکیل نقاط سطح نریز تغییر مکان در مسائل تنش-کرنش مسطح و متقارن محوری پرداخته می‌شود. لازم به ذکر است که تعداد نقاط لازم در تشکیل سطح نریز، در فایل ورودی به صورت تعداد تقسیمات جهت x و y داده می‌شود.

Stress2D.for : بعد از محاسبه تغییر مکان سازه، در این بخش با مشتق گیری از تغییر مکان، کرنش و تنش در مسائل تنش-کرنش مسطح محاسبه می‌شود.

Stress2DAxi.for : محاسبه کرنش و تنش مسائل متقارن محوری در این قسمت انجام می‌شود.

Output.for : در این قسمت نیز به چاپ نتایج بدست آمده از تحلیل دو بعدی در فایل خروجی پرداخته می‌شود.

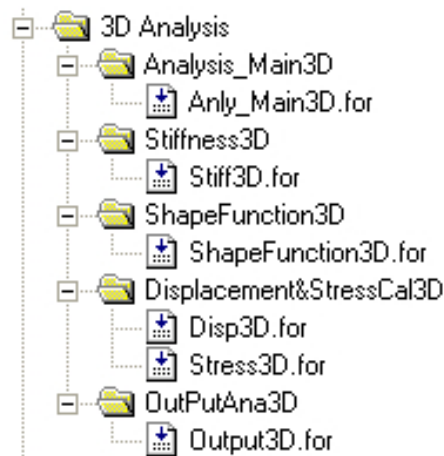
2- زیر برنامه‌های مربوط به تحلیل سه بعدی

همانطور که در شکل 3 مشاهده می‌شود، این قسمت نیز مشابه قسمت قبل در تحلیل دوبعدی، از زیر برنامه‌های مشابهی تشکیل شده است که از توضیح دوباره آن خوداری می‌شود.

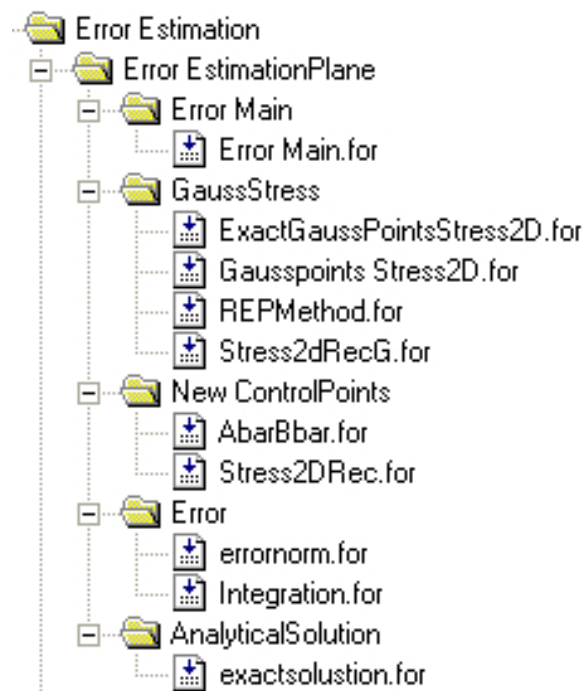
3- زیر برنامه‌های مربوط به برآورد خطای مسائل دوبعدی

در شکل 4 نمای کلی از زیر برنامه‌های مربوط به برآورد خطای مسائل دوبعدی نشان داده شده است.

در ادامه به تشریح وظیفه هر یک از زیر برنامه‌های این قسمت پرداخته شده است.



شکل 3- زیر برنامه‌های مربوط به تحلیل سه بعدی



شکل 4- زیر برنامه‌های مربوط به برآورد خطای مسائل دوبعدی

Error Main.for : این زیربرنامه ارتباط بین زیر برنامه‌های این قسمت را برقرار می‌کند. همچنین در این زیر برنامه با مشخص کردن عدد ضرایب AlfaLP و BetaLP می‌توان انتخاب کرد که برنامه نحوه برآورد خطای ایزوژئومتریکی را در مسائل دوبعدی تنش-کرنش مسطح به روش استفاده از تعادل نیروهای و یا استفاده از خاصیت نقاط فوق همگرا انجام دهد.

ExactGaussPointsStress2D.for : در این زیر برنامه مقادیر تنش دقیق در نقاط انتگرال گیری

گوسی در متغیر **SigEac** ذخیره می‌شود.

Gausspoints Stress2D.for : در این زیر برنامه مقادیر تنش بدست آمده از حل تقریبی

ایزوژئومتری در نقاط انتگرال گیری گوسی در متغیر **SigIso** ذخیره می‌شود.

REPMMethod.for : در این بخش پارامترهای مورد نیاز برای روش برآورد خطا بر مبنای استفاده از

تبادل در هر وصله بدست می‌آید.

Stress2dRecG.for : در این قسمت مقادیر تنش بدست آمده از حل بازیافتی در نقاط انتگرال گیری

گوسی در متغیر **SigRecG** ذخیره می‌شود.

AbarBbar.for : در این زیر برنامه پارامترهای مربوط به برآورد خطا بر مبنای استفاده از نقاط فوق

همگرا محاسبه می‌شود.

Stress2DRec.for : در این زیر برنامه مقادیر تنش بهبود یافته در نقاط نمونه‌ای که تعداد آنها در

فایل ورودی مشخص شده است، در متغیر **SigRec** ذخیره می‌شود.

errornorm.for : در این قسمت نرم خطای انرژی دقیق و تقریبی در نقاط نمونه محاسبه می‌شوند.

Integration.for : در این زیر برنامه مقادیر نرم خطای انرژی دقیق و تقریبی در نقاط انتگرال گیری

گوسی محاسبه و با استفاده از آن، این نرم خطا با انتگرال گیری عددی به روش گوس بر روی کل

دامنه هر المان محاسبه می‌شود.

exactsolustion.for : در این زیر برنامه روابط الاستیسیته مربوط به حل دقیق مسائل برای محاسبه

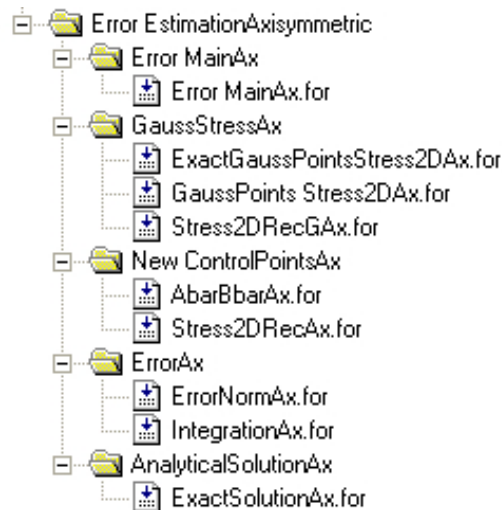
مقدار هر مولفه تنش وجود دارد.

4- زیر برنامه‌های مربوط به برآورد خطای مسائل متقارن محوری

در شکل 5 نمای کلی از زیر برنامه‌های مربوط به برآورد خطای مسائل با شرایط تقارن محوری نشان

داده شده است. لازم به ذکر است که کارایی روش برآورد خطا مبتنی بر تعادل نیروها، در مسائل

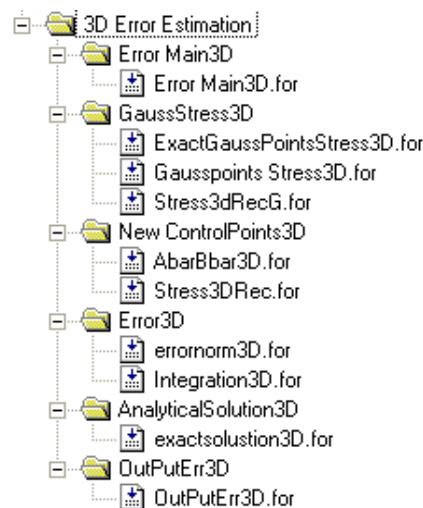
مقارن محوری بررسی نشده است لذا بعضی از زیر برنامه‌هایی که در قسمت قبل جهت محاسبه پارامترهای موجود در روش برآورد خطا بر مبنای تعادل نیروها وجود داشته است در این قسمت موجود نیست و بقیه زیر برنامه‌های موجود در این قسمت وظیفه‌ای مشابه نسبت به قسمت قبل دارند که از توضیح مجدد آن خوداری می‌شود.



شکل 5- زیر برنامه‌های مربوط به برآورد خطای مسائل متقارن محوری

5- زیر برنامه‌های مربوط به برآورد خطای مسائل سه بعدی

در شکل 6 نمای کلی از زیر برنامه‌های مربوط به برآورد خطای مسائل سه بعدی نشان داده شده است.



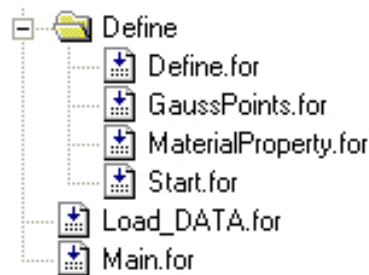
شکل 6- زیر برنامه‌های مربوط به برآورد خطای مسائل سه بعدی

زیر برنامه‌هایی که در این بخش وجود دارد با اسامی و وظیفه مشابه با زیربرنامه‌های بخش برآورد

خطای مسائل تنش-کرنش مسطح می‌باشند و از توضیح دوباره آنها در این بخش خوداری می‌شود.

6- زیر برنامه‌های مربوط به بخش تعاریف

در این قسمت نیز تعدادی زیر برنامه وجود دارد که بیشتر جنبه تعریف دارند به همین منظور این قسمت به عنوان Define نامگذاری شده است که نمایی کلی از آن به همراه زیربرنامه دریافت داده‌های ورودی و زیر برنامه اصلی برنامه در شکل 7 مشاهده می‌شود.



شکل 7- زیر برنامه‌های مربوط به بخش تعاریف

Define.for: این بخش به عنوان یک ماژول¹ تعریف شده و در تمام زیر برنامه‌ها فراخوانده می‌شود که در آن به تعریف تمام متغیرهایی که در برنامه استفاده شده است پرداخته شده است.

GaussPoints.for: در این زیر برنامه به تعریف مختصات و وزن‌های نقاط گوسی پرداخته شده است.

MaterialProperty.for: ماتریس سختی مربوط به مسائل تنش مسطح، کرنش مسطح، متقارن محوری و مسائل سه بعدی در این بخش تعریف می‌شوند.

Start.for: وظیفه نمایش اطلاعاتی که در هنگام اجرای برنامه در پنجره اجرا نمایش داده می‌شوند بر عهده این زیربرنامه می‌باشد.

Load_DATA.for: در این زیر برنامه داده‌های ورودی که در فایل ورودی مرتب شده فراخوانده می‌شوند و در متغیرهای مربوطه ذخیره می‌شوند.

در ادامه به توضیح نحوه تشکیل فایل ورودی برنامه پرداخته می‌شود.

¹ module

7- فایل ورودی برنامه

در شکل 8 به عنوان نمونه فایل ورودی مربوط به تیر طره تیموشنکو نشان داده شده است؛ که در

ادامه به توضیح پارامترهای استفاده شده در آن پرداخته می‌شود.

```

*****
Solving the 2D&3D Elasticity Problems with Error Estimation
By Using
NURBS Basis Functions
*****
Developed by : A. Ganjali

Shahrood University of Technology
Civil and Structural Engineering Department
=====
Result Beam.txt
##### Analysis Data #####
#####
##pre Load Data##
!Type: 1=PlaneStress 2=PlaneStrain 3=Axisymmetric
-Type -npach -ntcpt -ndime -nintp
1 2 45 2 16
-ipach -doapx -nxknt -doapy -nyknt
1 1 9 1 4
2 1 9 1 4
#Output Data
-xdir -ydir
100 20
##Load Data##
-Control Point Coordinates
1 0 0 1
2 0 1 0
3 0 2 0
4 0.714285744 0 0 1
5 0.714285744 1 0 1
6 0.714285744 2 0 1
7 1.428571437 0 0 1
8 1.428571437 1 0 1
9 1.428571437 2 0 1
10 2.142857151 0 0 1
11 2.142857151 1 0 1
12 2.142857151 2 0 1
13 2.857142763 0 0 1
14 2.857142763 1 0 1
15 2.857142763 2 0 1
16 3.571428591 0 0 1
17 3.571428591 1 0 1
18 3.571428591 2 0 1
19 4.285714305 0 0 1
20 4.285714305 1 0 1
21 4.285714305 2 0 1
22 4.999999909 0 0 1
23 4.999999909 1 0 1
24 4.999999909 2 0 1
25 5.714285756 0 0 1
26 5.714285756 1 0 1
27 5.714285756 2 0 1
28 6.428571524 0 0 1
29 6.428571524 1 0 1
30 6.428571524 2 0 1
31 7.142857175 0 0 1
32 7.142857175 1 0 1
33 7.142857175 2 0 1
34 7.857142769 0 0 1
35 7.857142769 1 0 1
36 7.857142769 2 0 1
37 8.571428526 0 0 1
38 8.571428526 1 0 1
39 8.571428526 2 0 1
40 9.28571419 0 0 1
41 9.28571419 1 0 1
42 9.28571419 2 0 1
43 10 0 0 1
44 10 1 0 1
45 10 2 0 1
-ipach -Patch Connectivity
1 1 2 3 4 5 6 7 8 9 10 11 12 13 14 15 16 17 18 19 20 21 22 23 24
2 22 23 24 25 26 27 28 29 30 31 32 33 34 35 36 37 38 39 40 41 42 43 44 45
-ipach -Knot Vectors
1 0 0 0.14 0.28 0.43 0.57 0.71 0.86 1 1
1 0 0 0.5 1 1 1
2 0 0 0.14 0.28 0.43 0.57 0.71 0.86 1 1
2 0 0 0.5 1 1
#Material Properties
-E -No0
1500 0.25
#Boundary Conditions
-No.supports -No.forces
4 3
-supports
1 0
3 0
5 0
4 0
-Forces
86 75
88 150
90 75
##type of analytical solution##
!type: 1=cantilever beam 2=circle hole 3=crack 4=....
1

```

شکل 8- فایل ورودی مربوط به مسئله تیر طره تیموشنکو

اولین داده که از فایل ورودی خوانده می‌شود نام فایل خروجی نتایج تحلیل ایزوژئومتریکی می‌باشد که در فایل نمونه بالا این نام با Result Beam.txt مشخص شده است. در ادامه به توضیح دیگر پارامترهای فایل ورودی پرداخته می‌شود.

Type: توسط این پارامتر نوع تحلیل ایزوژئومتریکی مشخص می‌شود که همانطور که در فایل ورودی نیز مشخص شده است عدد 1 به معنای تحلیل مسائل تنش مسطح، 2 کرنش مسطح و 3 تحلیل مسائل متقارن محوری می‌باشد.

npach: تعداد وصله‌های مورد نیاز جهت تشکیل دامنه مسئله با توابع نریز، توسط این پارامتر مشخص می‌شود.

ntctp: تعداد کل نقاط کنترلی که جهت تحلیل و مدلسازی هندسه مسئله مورد نیاز است توسط این پارامتر به برنامه معرفی می‌شود.

ndime: بعد مسئله را مشخص می‌کند. عدد 2 برای تحلیل دوبعدی و 3 تحلیل سه بعدی مسائل را مشخص می‌کند.

nintp: تعداد نقاط گوسی جهت انتگرال گیری عددی و نقاط بهینه تنش توسط این پارامتر مشخص می‌شود. اعداد 4، 9، 16، 25 و 36 تعداد نقاط گوسی است که در زیربرنامه GaussPoints.for تعریف شده اند و می‌توان در این قسمت به برنامه معرفی نمود.

ipach: توسط این پارامتر شماره وصله‌ای که اطلاعات آن در ادامه می‌خواهد ارائه شود، مشخص می‌شود.

doapx: درجه توابع پایه نریز در جهت x بردار گره‌ای را مشخص می‌کند.

nxknt: مقدار m را برای هر وصله در جهت x مشخص می‌کند. برای محاسبه مقدار آن به صورت زیر عمل می‌گردد.

$$m = n + p + 1$$

m+1: تعداد گره‌ها در جهت x، n+1: تعداد نقاط کنترلی در جهت x، p: درجه توابع شکل در جهت x

doapy: درجه توابع پایه نریز در جهت y بردار گره‌ای را مشخص می‌کند.

nyknt : مقدار m را برای هر وصله در جهت y مشخص می‌کند؛ که مقدار آن مشابه جهت x محاسبه می‌شود.

Xdir : تعداد نقاط نمونه¹ در جهت x را مشخص می‌کند. لازم به ذکر است که بعد از بدست آمدن سطوح نربز جابجایی، تنش و... جهت ترسیم آنها نیاز به یک سری نقاط نمونه می‌باشد که از روی سطوح مذکور برداشت شده باشند. بعد از چاپ مختصات نقاط نمونه و مقدار توابع مجهول در آن نقاط در یک فایل با پسوند .txt، می‌توان با نرم افزار Tecplot 360 به ترسیم سطوح مفروض پرداخت.

Ydir : تعداد نقاط نمونه در جهت y را مشخص می‌کند.

Control Point Coordinate : در این قسمت مشخصات نقاط کنترلی به برنامه معرفی می‌شود که به صورت زیر می‌باشد.

ستون پنجم	ستون چهارم	ستون سوم	ستون دوم	ستون اول
وزن نقطه کنترلی	مختصات جهت z	مختصات جهت y	مختصات جهت x	شماره نقطه کنترلی

ipach : شماره وصله‌ای که در ادامه ترتیب اتصال نقاط کنترلی آن بیان شده است.

Patch Conectivity : در جلوی شماره وصله مربوطه، ترتیب اتصال نقاط کنترلی در این قسمت بیان می‌شود. لازم به ذکر است که این ترتیب شماره گذاری همواره باید بگونه‌ای باشد که از سمت چپ شکل شروع و در ابتدا در جهت y شماره‌ها خوانده شود و بعد یک واحد در جهت x حرکت و دوباره در جهت y ، تا در نهایت کل نقاط کنترلی هر وصله معرفی شود.

Knot Vectors : بردار گرهی مربوط به هر وصله در این بخش به برنامه معرفی می‌شود. به طوری که در جلوی شماره هر وصله، در ردیف اول، مختصات نقاط گرهی در جهت x (x) و در ردیف دوم مختصات نقاط گرهی در جهت h (y) بیان می‌شود.

Material Properties : خواص مصالح فرض شده برای مسئله در این قسمت به برنامه معرفی می‌شود. ضریب E مشخص کننده ضریب الاستیسیته و ضریب ν مشخص کننده ضریب پواسون می‌باشد.

¹ Sample points

No.supports : تعداد درجات آزادی که به عنوان تکیه گاه محدود شده است در این قسمت به برنامه معرفی می‌شود. همچنین مقدار این محدودیت در قسمت Supports در جلوی هر درجه آزادی معرفی می‌شود.

No.forces : تعداد درجات آزادی که در آن جهات به سازه نیرو وارد می‌شود در این قسمت معرفی می‌شود. مقدار این نیروها در قسمت Forces در جلو درجه آزادی مربوطه به برنامه معرفی می‌شود. لازم به ذکر است که تعداد کل درجات آزادی سازه برابر است با تعداد کل نقاط کنترلی ضربدر در بعد مسئله که ترتیب شماره گذاری این درجات آزادی بگونه‌ای است که اولین نقطه کنترلی در جهت x درجه آزادی یک و در جهت y درجه آزادی دو، و به همین ترتیب تمام نقاط کنترلی درجات آزادیشان مشخص می‌شود.

type of analytical solution : در این بخش با توجه به این که چه مسئله‌ای برای تحلیل و برآورد خطا انتخاب شده است، شماره مسئله مورد نظر بیان می‌شود.

8- فایل‌های نتایج خروجی

تمامی نتایج خروجی در فایل‌هایی با پسوند txt. در دایرکتوری برنامه چاپ می‌شوند که در این قسمت به معرفی آنها پرداخته می‌شود. لازم به ذکر است که جهت ترسیم نتایج خروجی از نرم افزار 360 Tecplot می‌توان استفاده نمود.

Result Beam.txt : همانطور که پیشتر بیان شد، نتایج تحلیل ایزوژئومتریکی در فایلی که نام آن در فایل ورودی مشخص می‌شود، چاپ می‌شود. محتویات فایل نتایج خروجی تحلیل ایزوژئومتریکی که در فایل ورودی نمونه، نام آن Result Beam.txt فرض شده بود، در مسائل تنش-کرنش مسطح به صورت زیر خواهد بود.

ستون اول	ستون دوم	ستون سوم	ستون چهارم	ستون پنجم	ستون ششم	ستون هفتم
مختصه x نقطه نمونه	مختصه y نقطه نمونه	مقدار تغییر مکان در جهت x	مقدار تغییر مکان در جهت y	مقدار تنش S_x	مقدار تنش S_y	مقدار تنش t_{xy}

Recovery stress.txt : نتایج تنش بهبود یافته در این فایل چاپ می‌شود؛ که همانند فایل خروجی نتایج ایزوژئومتری می‌باشد؛ با این تفاوت که دو ستون مربوط به تغییر مکانها در این فایل وجود ندارد.

exact stress.txt : نتایج بدست آمده از حل الاستیسیته مولفه‌های تنش در این فایل ذخیره می‌شود.

recovery error norm.txt : نتایج توزیع نرم خطای انرژی تقریبی (اختلاف تنش ایزوژئومتری با تنش بازیافتی) در این فایل چاپ می‌شود؛ که در سه ستون تنظیم شده است. ستون اول مختصه x نقطه نمونه، ستون دوم مختصه y و ستون سوم مقدار نرم خطای انرژی تقریبی در آن نقطه می‌باشد.

exact error norm.txt : نتایج توزیع نرم خطای انرژی دقیق (اختلاف تنش ایزوژئومتری با تنش دقیق) در این فایل چاپ می‌شود.

exact and recovery error norm per element.txt : مقدار نرم خطای انرژی در هر المان در این فایل چاپ می‌شود. در ستون اول نرم خطای انرژی دقیق المانها و در ستون دوم نرم خطای انرژی تقریبی المانها قرار دارد.

مراجع:

- [1] Zienkiewicz, O.C. (2000), "Achievements and some unsolved problems of the finite element method", *Int. J. Numer. Meth. Engng.*, Vol. 47, pp.28.
- [2] Zienkiewicz, O.C., Taylor, R.L. and J.Z. Zhu. (2005), "The Finite Element Method" 6th edition, *Elsevier Butterworth-Heinemann*.
- [3] Reddy, J. N. (1993), "An Introduction to the Finite Element Method", *McGraw-Hill, Singapore*.
- [4] Zienkiewicz, O. c. (2006), "The background of error estimation and adaptivity in finite element computations" , *Comput. Methods Appl. Mech. Engrg.* 195, 207–213.
- [5] Babuska, I. and Rheinboldt, W.C. (1981), "A-posteriori error analysis of finite element solution for one-dimension problems", *SIAM J Num. Anal.*, Vol. 18, pp. 565-589.
- [6] Gyi, W. and Babuska, I., (1986), "The h, p and h-p version of the finite element method in one dimension: Part 1: The error analysis of the p version. Part 2: The error analysis of the h and h-p version. Part 3: The adaptive h-p version", *Numerische Math.*, Vol. 48, pp. 577-683.
- [7] Zienkiewicz, o.c. and Zhu, Z. (1987), "A simple error estimator and adaptive procedure for practical engineering analysis", *Int. J. Numer. Meth. Engng.*, Vol. 24, pp. 337-357.
- [8] Zienkiewicz, o.c. and Zhu, Z. (1989), "Error estimates and adaptive refinement for plate bending problems", *Int. J. Numer. Meth. Engng.*, Vol. 28, pp. 2839-2853.
- [9] Zienkiewicz, o.c. and Zhu, Z. (1992), "The superconvergent patch recovery and a posteriori error estimates. Part 1: The recovery technique", *Int. J. Numer. Meth. Engng.*, Vol. 33, pp. 1331-1364.
- [10] Zienkiewicz, o.c. and Zhu, Z. (1992), "The superconvergent patch recovery and a posteriori error estimates. Part 2: Error estimates and adaptivity", *Int. J. Numer. Meth. Engng.*, Vol. 33, pp. 1365-1382.
- [11] Ainsworth, M. and Oden, J. T. (1993), "A unified approach to a posteriori error estimation using element residual methods", *Numer. Math.*, Vol. 65, pp.23-50.
- [12] Bugeada, G. and Oliver, J. (1993), "A general methodology for structural shape optimization problems using automatic adaptive remeshing", *Int. J. Numer. Meth. Engng.*, Vol. 36, pp. 3161-3185.
- [13] Boroomand, B. and Zienkiewicz, o.c. (1997), "Recovery by equilibrium in patches (REP)", *Int. J. Numer. Meth. Engng.*, Vol.40, pp. 137-164.
- [14] Boroomand, B. and Zienkiewicz, O. C. (1997), "An Improved REP Recovery and effectivity Robustness Test", *Int. J. Numer. Meth. Eng.*, Vol. 40, pp. 3247-3277.

- [15] I. Babuska, T. Strouboulis, C.S. Upadhyay and S.K. Gangaraj, (1994), "A model study of the quality of a posteriori estimators for linear elliptic problems error estimation in the interior of patch wise uniform grids of triangles", *Comput. Methods Appl. Mech. Engrg.* 114, 307-378.
- [16] Hinton, E. and Campbell J. (1974), "Local and Global Smoothing of Discontinuous Finite Element Functions Using a Least Square Method", *Int. J. Numer. Meth. Eng.*, Vol. 8, pp.461-480.
- [17] Oden, T. J. and Brauchli J. (1971), "On the Calculation of Consistent Stress Distribution in Finite Element Approximation", *Int. J. Numer. Meth. Eng.*, Vol. 3, pp. 317-325.
- [18] Tabbara, M., Blacker, T., Belytschko, T. (1994) "Finite element derivative recovery by moving least square Interpolants", *Comput. Methods Appl. Mech. Engrg.* 117 211-223.
- [19] Wiberg, N. E., Abdulwahab, F. and Ziukas, S., (1994) "Enhanced Superconvergent Patch Recovery Incorporation Equilibrium and Boundary Conditions", *Int. J. Numer. Meth. Eng.*, Vol. 37, pp. 3417-3440.
- [20] Blacker, T., and Belytschko, T., (1994) "Superconvergent Patch Recovery With Equilibrium and Conjoint Interpolant Enhancements", *Int. j. Numer. Meth. Eng.*, Vol. 37, pp. 517-536.
- [21] Taeoh, Lee. Hoon C. Park, Sung W. Lee , (1997) "A superconvergent stress recovery technique with equilibrium constraint" *Int. J. Numer. Meth. Engrg.*, vol. 40, 1139-1160.
- [22] LO, S. H. LEE, C. K. (1998) "On using different recovery procedures for the construction of smoothed stress in finite element method", *Int. J. Numer. Meth. Engrg.* 43, 1223-1252.
- [23] Zienkiewicz, O.C. and Morgan, K. (1983), "Finite Elements & Approximation" *New York : J. Wiley.*
- [24] Hassani, B; Ganjali, A; Tavakkoli, M; (2012) "An isogeometrical approach to error estimation and stress recovery", *European Journal of Mechanics A/Solids*, 31, 101-109.
- [25] Hughes T.G.R, Cottrell J.A., Bazilevs Y., (2005), "Isogeometric analysis: CAD, finite elements, NURBS, exact geometry and mesh refinement," *Comput. Method Appl. Mech. Engrg.* 194 4135-4195.
- [26] Auricchio F, Beirão da Veiga L, Hughes TJR, Reali A, Sangalli G (2010) "Isogeometric collocation methods. Math. Models Methods," *Appl. Sci.* 20(11): 2075-2107.
- [27] Bazilevs Y, Beirão da Veiga L, Cottrell JA, Hughes TJR, Sangalli G (2006) "Isogeometric analysis: approximation, stability and error estimates for h-refined meshes." *Math. Models Methods Appl. Sci.* 16(7): 1031-1090.
- [28] Cottrell JA, Hughes TJR, Reali A (2007) "Studies of refinement and continuity in isogeometric analysis." *Comput. Methods Appl. Mech. Engrg.* 196: 4160-4183.

- [29] Drfel M, Jüttler B, Simeon B (2010) “Adaptive isogeometric analysis by local h-refinement with T-splines.” *Comput. Methods Appl. Mech. Engrg.* 199(5–8): 264–275.
- [30] Evans JA, Bazilevs Y, Babuška I, Hughes TJR (2009) “n-width, sup-infs, and optimality ratios for the k-version of the isogeometric finite element method.” *Comput. Methods Appl. Mech. Engrg.* 198: 1726–1741.
- [31] Hughes TJR, Reali A, Sangalli G (2008) “Duality and unified analysis of discrete approximations in structural dynamics and wave propagation: comparison of p-method finite elements with k-method NURBS. Comput.” *Methods Appl. Mech. Engrg.* 197(49–50): 4104–4124.
- [32] Hughes TJR, Reali A, Sangalli G (2010) “Efficient quadrature for NURBS-based isogeometric analysis. Comput.” *Methods Appl. Mech. Engrg.* 199(5–8): 301–313.
- [33] Bazilevs Y, Calo VM, Cottrell JA, Hughes TJR, Reali A, Scovazzi G (2007) “Variational multiscale residual-based turbulence modeling for large eddy simulation of incompressible flows.” *Comput. Methods Appl. Mech. Engrg.* 197(1–4): 173–201.
- [34] Bazilevs Y, Calo VM, Hughes TJR, Zhang Y (2008) “Isogeometric fluid–structure interaction: theory, algorithms, and computations.” *Comput. Mech.* 43(1): 3–37.
- [35] Bazilevs Y, Calo VM, Zhang Y, Hughes TJR (2006) “Isogeometric fluid–structure interaction analysis with applications to arterial blood flow.” *Comput. Mech.* 38: 310–322.
- [36] Bazilevs Y, Hughes TJR (2008) “NURBS-based isogeometric analysis for the computation of flows about rotating components.” *Comput. Mech.* 43: 143–150.
- [37] Buffa A, deFalco C, Sangalli G (2010) “Isogeometric analysis: new stable elements for the stokes equation.” *Int. J. Numer. Meth. Fluids 2000*, 00:1–6.
- [38] Gmez H, Calo V, Bazilevs Y, Hughes TJR (2008) “Isogeometric analysis of the Cahn–Hilliard phase–field model.” *Comput. Methods Appl. Mech. Engrg.* 197(49–50): 4333–4352.
- [39] Auricchio F, Beirao da Veiga L, Lovadina C, Reali A (2010) “The importance of the exact satisfaction of the incompressibility constraint in nonlinear elasticity: mixed FEMs versus NURBS-based approximations.” *Comput. Methods Appl. Mech. Engrg.* 199(5–8): 314–323.
- [40] Auricchio F, Beirao da Veiga L, Buffa A, Lovadina C, Reali A, Sangalli G (2007) “A fully “locking-free” isogeometric approach for plane linear elasticity problems: astream function formulation.” *Comput. Methods Appl. Mech. Engrg.* 197(1–4): 160–172.
- [41] Benson DJ, Bazilevs Y, Hsu MC, Hughes TJR (2010) “Isogeometric shell analysis: the Reissner–Mindlin shell.” *Comput. Methods Appl. Mech. Engrg.* 199(5–8): 276–289.
- [42] Cottrell JA, Reali A, Bazilevs Y, Hughes TJR (2006) “Isogeometric analysis of structural vibrations.” *Comput. Methods Appl. Mech. Engrg.* 195(41–43): 5257–5296.

- [43] Elguedj T, Bazilevs Y, Calo VM, Hughes TJR (2008) “B and –F projection methods for nearly incompressible linear and non-linear elasticity and plasticity using higher-order NURBS elements. *Comput. Methods Appl. Mech. Engrg.* 197: 2732–2762.
- [44] Lipton S, Evans JA, Bazilevs Y, Elguedj T, Hughes TJR (2010) “Robustness of isogeometric structural discretizations under severe mesh distortion.” *Comput. Methods Appl. Mech. Engrg.* 199(5–8): 357–373.
- [45] Wall WA, Frenzel MA, Cyron C (2008) “Isogeometric structural shape optimization.” *Comput. Methods Appl. Mech. Engrg.* 197(33–40): 2976–2988.
- [46] Zhang Y, Bazilevs Y, Goswami S, Bajaj CL, Hughes TJR (2007) “Patient-specific vascular NURBS modeling for isogeometric analysis of blood flow.” *Comput. Methods Appl. Mech. Engrg.* 196(29–30): 2943–2959.
- [47] Hassani B, Khanzadi M, Tavakkoli SM, Moghadam NZ, (2009) “Isogeometric shape optimization of three dimensional problems.” *8th World Congress on Structural and Multidisciplinary Optimization June 1–5, Lisbon, Portugal.*
- [48] Buffa A, Rivas J, Sangalli G, Vazquez R (2010) “Isogeometric analysis in electromagnetics: theory and testing.” *Technical Report, Pubblicazione: 13PV10/13/0, Istituto di Matematica Applicata e Tecnologie Informatiche (I.M.A.T.I.) –C.N.R.*
- [49] Buffa A, Sangalli G, Vazquez R (2010) “Isogeometric analysis in electromagnetics: Bsplines approximation.” *Comput. Methods Appl. Mech. Engrg.* 199(17–20): 1143–1152.
- [50] Cottrell JA, Hughes TJR, Bazilevs Y (2009) “Isogeometric analysis: toward integration of CAD and FEA.” *Wiley.*
- [51] Piegl, L.; Tiller, W. (1997) “The NURBS Book” , 2nd ed., *Springer-Verlag, New York.*
- [52] Rogers D.F., (2001), “An Introduction to NURBS,” *Morgan Kaufmann Publishers.*
- [53] Hughes, T.J.R.; Reali, A.; Sangalli, G.; (2010) “Efficient quadrature for NURBS-based isogeometric analysis”, *Comput. Methods Appl. Mech. Engrg.* 199 (5–8), 301–313.
- [54] Sadd, M.H. (2005). “ELASTICITY: Theory, Applications, and Numerics,” *Elsevier Butterworth–Heinemann.*
- [55] Gratsch, T.; Bathe, KJ, (2005), “A posteriori error estimation techniques in practical finite element analysis” *Computers and Structures*, 83: 235–265.
- [56] Timoshenko, S. Woinowsky-Krieger, S. “Theory of Plates and Shells”, *McGraw-Hill, 2nd ed.*, (1959).
- [57] Payen DJ, Bathe KJ (2011) “The use of nodal point forces to improve element stresses.” *Computers and Structures*, 89: 485–495.
- [58] Timoshenko, S.P.; Goodier, J.N. (1977), “Theory of Elasticity,” *McGraw-Hill, New York.*
- [59] Anderson, T.L.; (1991) “Fracture Mechanics: Fundamentals and Applications, first

ed. ”, *CRC Press, Boca Raton*.

- [60] Ubertini, F.; (2004) “Patch recovery based on complementary energy”, *Int. J. Numer. Meth. Engng*; 59:1501–1538.
- [61] Oden, J.T.; Belytschko, T.; Babuska, I.; Hughes, T.J.R.; (2003) “Research directions in computational mechanics”, *Comput. Methods Appl. Mech. Engrg.* 192; 913–922.

Abstract:

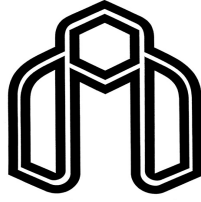
Employing the computer aided design technique in the newly developed isogeometric analysis method has many advantages, e.g. removing the error of geometrical modeling.

On the other hand, in all numerical methods, errors due to approximation of unknown functions are inevitable and researchers have been concerned about the reliability of the results. This thesis is to develop methods that can be used to estimate error rate of the isogeometric analysis method. These concepts are arranged in two main parts.

In the first section, the error estimation method based on the superconvergent points property for isogeometric analysis of stress-strain, axisymmetric and three-dimensional problems have been considered; and will show why the Gauss integral points has convergence properties in the isogeometric analysis method. In this method, by making use of the superconvergent points, each of the components of the improved stress tensor is considered as an imaginary surface. This surface is generated by using the same NURBS' basis functions that are employed for approximation of the primary variable in the isogeometrical analysis. The obtained results of all examples indicate the effectiveness of the proposed method in the estimating the error of isogeometric analysis of the stress-strain, axisymmetric and three-dimensional problems.

In the second part, a new method is introduced for calculation of stress field in the isogeometric analysis method that makes use of equilibrium of patches. In this technique, by considering the forces induced on the patches of isogeometric analysis, the surface denoting the variations of each component of the stress tensor is approximated by the same order of NURBS' shape functions that are used for approximation of the displacements. One of the useful features of this method is being independent of the Gauss integration points, that is especially advantageous when a different integration method than the Gauss quadrature is employed. To demonstrate the performance of the method, six examples are taken into consideration and their exact and approximate error energy norms are calculated in the rest of the article. The obtained results indicate that in all of the considered examples error estimation by this approach is superior to our previous method based on using the superconvergent points and therefore can be considered as a another simple and efficient method for error estimation and stress recovery in isogeometric analysis.

Key words: Isogeometric Analysis, Error Estimation, Stress Recovery, Superconvergent Points, Patch Equilibrium.



Shahrood University of Technology
Faculty of Civil Engineering

**Development of New Methods for Stress Recovery
and Error Estimation in Isogeometric Analysis**

AHMAD GANJALI

Supervisor:

DR. BEHROOZ HASSANI

Date: OCTOBER 2013